

ФЕДЕРАЛЬНОЕ ГОСУДАРСТВЕННОЕ БЮДЖЕТНОЕ УЧРЕЖДЕНИЕ НАУКИ  
ИНСТИТУТ НЕФТЕГАЗОВОЙ ГЕОЛОГИИ И ГЕОФИЗИКИ ИМ. А.А. ТРОФИМУКА  
СИБИРСКОГО ОТДЕЛЕНИЯ РОССИЙСКОЙ АКАДЕМИИ НАУК

*На правах рукописи*

ПОНОМАРЕВА ЕЛЕНА ВЛАДИМИРОВНА

**ГЕОХИМИЯ ОРГАНИЧЕСКОГО УГЛЕРОДА  
В БАЖЕНОВСКОМ ГОРИЗОНТЕ ЗАПАДНО-СИБИРСКОГО  
НЕФТЕГАЗОНОСНОГО БАССЕЙНА**

25.00.09 – геохимия, геохимические методы поисков полезных ископаемых

ДИССЕРТАЦИЯ  
на соискание ученой степени  
кандидата геолого-минералогических наук

Научный руководитель  
Конторович Алексей Эмильевич  
доктор геолого-минералогических наук,  
академик РАН, профессор

НОВОСИБИРСК  
2021

## ОГЛАВЛЕНИЕ

<b>ОГЛАВЛЕНИЕ .....</b>	<b>2</b>
<b>ВВЕДЕНИЕ.....</b>	<b>4</b>
<b>Глава 1. КРАТКИЙ ОЧЕРК ГЕОЛОГИИ БАЖЕНОВСКОГО ГОРИЗОНТА .....</b>	<b>17</b>
1.1 Стратиграфия, литология.....	17
1.2 Структурная карта кровли баженовского горизонта. Тектоника .....	32
1.3 Палеогеография волжского века и раннего берриаса .....	44
1.4 Катагенез органического вещества.....	54
1.5 Современные температуры пород.....	76
<b>Глава 2. МЕТОДИКА И МАТЕРИАЛ ИССЛЕДОВАНИЯ .....</b>	<b>86</b>
2.1 Методика исследований .....	86
2.1.1 Химический метод определения концентрации $C_{\text{орг}}$ в породах .....	86
2.1.2 Пиролитический метод определения концентрации $C_{\text{орг}}$ в породах (определение $C_{\text{орг}}$ методом пиролиза Rock-Eval).....	89
2.1.3 Определение концентрации $C_{\text{орг}}$ в породах по данным ГИС с использованием гамма-каротажа.....	92
2.1.4 Методика увязки керна к геофизическим исследованиям «керн – ГИС»	99
2.2 Материал исследования .....	126
<b>Глава 3. РАСПРЕДЕЛЕНИЕ КОНЦЕНТРАЦИЙ ОРГАНИЧЕСКОГО УГЛЕРОДА В ОСАДОЧНЫХ ПОРОДАХ БАЖЕНОВСКОГО ГОРИЗОНТА .....</b>	<b>148</b>
3.1 Средние содержания органического углерода в баженовском горизонте и отдельных свитах, его слагающих .....	149
3.2 Пространственные закономерности распределения современных концентраций органического углерода в отдельных разрезах баженовского горизонта.....	160

3.3 Схематические численные модели пространственного распределения органического углерода в породах баженовского горизонта.....	170
ЗАКЛЮЧЕНИЕ .....	178
СПИСОК СОКРАЩЕНИЙ.....	181
СПИСОК ЛИТЕРАТУРЫ.....	183
СПИСОК РИСУНКОВ.....	206
СПИСОК ТАБЛИЦ .....	211

## ВВЕДЕНИЕ

**Актуальность работы и степень разработанности исследования.** Уже в самом начале шестидесятых годов XX века благодаря работам Ф.Г. Гураги, Н.П. Запивалова, А.Э. Конторовича, И.И. Нестерова, В.Ф. Никонова, Г.П. Сверчкова, К.А. Черникова стало ясно, что баженовская свита обогащена органическим веществом (ОВ) и является одной из главных нефтепроизводящих свит в осадочном чехле Западно-Сибирской геосинеклизы. Выделил в 1959 г. эту толщу в разрезе осадочного чехла первоначально как пачку, а затем как свиту, Ф.Г. Гураги. Через два года, в 1961 г. он выдвинул гипотезу, что эта свита является не только нефтепроизводящей, но и нефтеносной. В 1967 г. Ф.К. Салманов, Г.Р. Новиков и А.В. Тян на Салымском месторождении впервые получили фонтан нефти из баженовской свиты.

В 70-80-е годы XX века исследованиями баженовской свиты занимались научные коллективы ВНИГРИ, ЗапСибНИГНИ, ИГГ СО АН СССР, ИГИРГИ, СНИИГГиМС, Главтюменьгеологии – Тюменского, Новосибирского, а затем, после создания, и Томского геологических управлений. В последующие тридцать лет баженовскую свиту исследовали специалисты ВНИГНИ, ИГГ СО АН, ныне ИНГГ им. А.А. Трофимука СО РАН, МГУ, РГУ им. И.М. Губкина, Центра рационального природопользования им. В.И. Шпильмана, ТИУ, ведущих нефтегазовых компаний ПАО «НК «Роснефть», ПАО «Газпром нефть», ПАО «НК «Лукойл», ПАО «Сургутнефтегаз» и других институтов, университетов, компаний.

В настоящее время Западно-Сибирская нефтегазоносная провинция, в особенности территории ХМАО, юга ЯНАО и Томской области, вступила в зрелый этап развития, и добыча нефти в ней падает. В этой связи, баженовская свита приобретает особое значение не только как главная нефтепроизводящая формация в осадочном чехле Западно-Сибирского осадочного бассейна, но и как одна из ведущих нефтеносных формаций. По данным ИНГГ СО РАН свыше 80 % от общей массы геологических ресурсов нефти в традиционных залежах Западно-Сибирского осадочного бассейна являются продуктом нефтеобразования в

баженовской свите [Западная..., 2000, с. 117]. Перспективы дальнейшей добычи нефти в Западной Сибири в значительной мере связаны с ресурсами нефти в самой баженовской свите. Она становится основным объектом потенциального прироста запасов и добычи легкой высококачественной нефти [Нестеров и др., 1987; Конторович и др., 2014; и др.].

Проблема нефтеносности баженовской свиты изучается с начала 60-х годов прошлого века. Однако до настоящего времени не выработано единой методики выявления и оконтурирования залежей нефти в ней, не решён однозначно вопрос о природе и типах коллекторов, что не позволяет эффективно проектировать поисковые и геологоразведочные работы, научно обосновать методику подсчета запасов нефти месторождений в баженовской свите и оценить ресурсы нефти и газа.

Баженовская свита представляет собой уникальный по генезису, содержанию органического вещества, литологии, геохимии и роли в нефтегазоносности Западной Сибири объект. Образование баженовских осадков происходило в глубоком эпиконтинентальном море в результате захоронения продуктов жизнедеятельности простейших морских эукариотов и прокариотов (архей, бактерий). Органическое вещество (кероген) баженовской свиты «представляет собой комплекс полимерлипидов (былых липидов) планктонных и бентосных архей, бактерий, простейших эукариотов» [Конторович и др., 2014, с. 2].

На начало 2017 года в Западно-Сибирской нефтегазоносной провинции в результате поисково-разведочных работ в пласте Ю<sub>0</sub> баженовской свиты было открыто более 180 залежей нефти на 92 месторождениях. Большинство этих месторождений находится в западных районах ХМАО – в пределах Среднеобской, Фроловской, Красноленинской НГО.

В южной части ЯНАО и северной части Тюменской области открыто по шесть месторождений с залежами в пласте Ю<sub>0</sub>. Одно месторождение открыто на территории Томской области. Залежи нефти в пласте Ю<sub>0</sub> выявлены в классических и аномальных разрезах баженовской свиты.

Основные объемы опытно-промышленной эксплуатации залежей нефти в пласте Ю<sub>0</sub> баженовской свиты выполняют четыре нефтегазовые компании: ПАО «Газпром нефть», ПАО «Сургутнефтегаз», ПАО «НК «Роснефть» и ОАО «РИТЭК», в разработке которых находится около 40 залежей на 24 месторождениях. Наиболее крупными объектами с накопленной добычей нефти из пласта Ю<sub>0</sub> являются Салымское (4.1 млн т) и Ай-Пимское (1.8 млн т) месторождения.

Несмотря на то, что в ближайшее десятилетие баженовская свита должна стать одним из главных объектов добычи нефти в Российской Федерации, многие теоретические и прикладные вопросы ее нефтеносности, оценки ресурсов, методики поисков и разведки залежей нефти, методики подсчета запасов, технологий разработки залежей нефти до сих пор не решены.

Многолетние исследования позволили выявить главные факторы, контролирующие формирование залежей нефти в баженовской свите. Выделим главные из них:

- литологический состав пород;
- обстановки захоронения органического вещества в относительно глубоководном морском эпиконтинентальном бассейне;
- аномально высокие концентрации органического вещества;
- планктоно- и бентосогенная природа органического вещества (аквагенное, тип II), источником которого являлись археи, бактерии, сине-зеленые водоросли и простейшие одноклеточные организмы (радиолярии, фораминиферы и др.);
- среда превращений осадков и органического вещества в диагенезе;
- глубина переработки пород и органического вещества в катагенезе;
- уровень изоляции пород баженовского горизонта непроницаемыми породами от подстилающих или перекрывающих отложений и др.

Каждый из этих факторов требует самостоятельного и глубокого анализа.

Обычно при изучении распределения органического углерода ( $C_{opt}$ ) в баженовской свите исследователи ограничивались построением карт средних

содержаний  $C_{опр}$  или ОВ, используя при этом ограниченные по объему выборки. Для решения задачи прогноза и поиска залежей нефти в баженовской свите и ее стратиграфических аналогах схематических построений недостаточно. Необходимы максимально детальные, по возможности, трёхмерные построения.

**Объектом исследования** являются баженовская свита и нижнетутлеймская подсвита и их стратиграфические аналоги (нижняя подсвита мулымынской свиты, верхняя подсвита даниловской свиты, верхние части марьяновской, яновстанской, гольчихинской, баганской и максимоярской свит) волжско-раннеберриасского возраста в Западно-Сибирском осадочном мегабассейне, т.е. в баженовском стратиграфическом горизонте. **Предметом исследования** является распределение концентраций органического углерода в породах баженовского горизонта.

**Цель исследования** – выявить главные закономерности распределения и оценить средние содержания органического углерода в породах баженовского горизонта и отдельных свит в его составе; построить карту средних концентраций органического углерода в породах горизонта масштаба 1 : 2 500 000; построить численные модели пространственного распределения концентраций органического углерода в породах горизонта.

**Научная задача** – изучить закономерности распределения концентраций органического углерода в породах баженовского горизонта Западно-Сибирского нефтегазоносного бассейна и выполнить построение набора карт, дающих детальное, и по возможности, трёхмерное распределение  $C_{опр}$  в его породах.

Решение этой задачи является необходимым элементом работы (одной из перечисленных выше подзадач) при оценке ресурсов и выборе методики прогноза нефтеносности, поиска и разведки скоплений нефти в баженовской свите, чем определяется ее **актуальность и экономическая значимость**. Как было отмечено выше, до последнего времени, в силу ограниченности исходного аналитического материала, часто строились схематические карты распределения  $C_{опр}$  в породах баженовской свиты и нижнетутлеймской подсвиты, которые при решении задачи зонального и локального прогноза нефтеносности самой баженовской свиты не отвечали по уровню детальности необходимым требованиям. Исследования

поставленной задачи в диссертационной работе должны были компенсировать этот пробел.

#### **Основные этапы исследования:**

1. Изучение геологии баженовского горизонта и геохимии органического вещества в породах в Западно-Сибирском осадочном бассейне по опубликованным и фондовым материалам (А.Д. Алексеев, Т.Ф. Антонова, О.К. Баженова, Н.С. Балушкина, В.И. Белкин, Ф.Я. Боркун, Ю.В. Брадучан, Л.М. Бурштейн, Н.Б. Вассоевич, Ф.Г. Гураи, Т.И. Гурова, М.В. Дахнова, В.М. Добрынин, Т.В. Дорофеева, Т.П. Емец, А.Г. Замирайлова, Ю.Н. Занин, Н.П. Запивалов, О.Г. Зарипов, М.С. Зонн, М.Ю. Зубков, В.П. Казаринов, Г.А. Калмыков, Ю.Н. Карогодин, Т.Т. Клубова, А.Э. Конторович, Е.А. Костырева, Б.А. Лебедев, Н.В. Лопатин, В.Н. Меленевский, В.И. Москвин, В.Д. Наливкин, В.Д. Немова, С.Г. Неручев, И.И. Нестеров, Г.М. Парпарова, Г.Н. Перозио, И.И. Плуман, Е.А. Предтеченская, Г.Э. Прозорович, Б.Н. Пьянков, З.З. Ронкина, С.В. Рыжкова, А.В. Рыльков, Ф.К. Салманов, С.В. Сараев, Р.С. Сахибгареев, Г.П. Сверчков, З.Я. Сердюк, В.П. Сонич, А.В. Тян, И.Н. Ушатинский, А.А. Трофимук, П.А. Трушков, В.С. Славкин, В.П. Степанов, С.И. Филина, А.Н. Фомин, А.С. Фомичев, В.В. Хабаров, В.Г. Эдер, П.А. Ян, и др.).
2. Проведение детальной корреляция свит в пределах баженовского горизонта (баженовская свита, нижние подсвиты тутлеймской и мулымьинской свит, верхняя подсвита даниловской свиты, верхние части баганской, максимоярской, марьяновской, яновстанской и гольчихинской свит) по данным геофизических исследований скважин (ГИС) с учётом опубликованной литературы по корреляции баженовского горизонта, палеонтологическим данным и структурным построениям по данным сейсморазведки МОГТ.
3. Сбор материалов о концентрациях органического углерода в породах по данным аналитических (химический и пиролитический методы)

исследований керна, проведенных в геохимических лабораториях ИНГГ СО РАН, ВНИГНИ, ЗапСибНИГНИ, ИГИРГИ, СНИИГГиМС и других организаций.

4. Сбор данных гамма-каротажа о поле естественной радиоактивности пород из электронного банка данных ИНГГ СО РАН.
5. Построение, после привязки керна и ГИС по глубине, зависимостей «керн – ГИС» для скважин хорошо охарактеризованных керном с аналитическими данными и значениями радиоактивности по данным гамма-каротажа (ГК).
6. Районирование территории по типам зависимостей «керн – ГИС», выявленных в эталонных скважинах.
7. Построение в пределах зон развития различных фациальных типов разреза диаграмм распределения органического углерода в каждой скважине с использованием корреляционных зависимостей «керн – ГИС» в программе Geosolver.
8. Составление баз данных в формате Microsoft Excel по соответствующим целевым характеристикам: толщины, содержание органического углерода в породах по данным керна и ГИС.
9. Анализ распределения содержаний  $C_{\text{орг}}$  в породах и частоты встречаемости значений  $C_{\text{орг}}$  в интервале баженовского горизонта в целом и в каждой свите по отдельности.
10. Построение в программе Surfer детальных карт распределения  $C_{\text{орг}}$  в породах баженовского горизонта.

**Фактический материал и методы исследования.** В процессе выполнения работы были использованы материалы ГИС, собранные специалистами ИНГГ СО РАН, в том числе и автором, в геологических организациях гг. Новосибирск, Омск, Красноярск, Тюмень, Томск, в ходе работ по изучению геологического строения и перспектив нефтеносности баженовской свиты и ее возрастных аналогов; аналитические определения  $C_{\text{орг}}$  по керновому материалу, полученные в разные годы в геохимических лабораториях ИНГГ СО РАН, ВНИГНИ, СНИИГГиМС и др.

Лабораторные исследования выполнялись на экспресс-анализаторе АН 7529 (высокотемпературный нагрев породы в токе кислорода и определение количества образующегося CO<sub>2</sub> методом титрования), пиролиз Rock Eval (The SR AnalyzerTM ТРН/ТОС WorkStation). Интерпретация ГИС ГК осуществлялась с использованием зависимостей «керн – ГИС». Всего в работе были использованы 4998 химико-аналитических определений (в том числе пиролиз – 3325 анализов из 135 скважин) содержания C<sub>опг</sub> в породах баженовского горизонта из 268 скважин и результаты 102320 замеров C<sub>опг</sub> по данным ГИС в 1627 скважинах, пробуренных на территории Западно-Сибирского осадочного бассейна. Замеры по данным ГИС проводились в разрезах баженовского горизонта через 0.5 м.

При проведении исследования было принято решение комплексировать определения C<sub>опг</sub>, полученные при лабораторных методах изучения керна скважин (химический и пиролитический методы) и определения C<sub>опг</sub>, оцененные по данным ГК с помощью зависимости «керн – ГИС», имеющей вид:

$$C_{\text{опг}} = a \cdot \gamma + b,$$

где **a** и **b** – параметры, значения которых определены по выборке лабораторных определений C<sub>опг</sub> в керне и замеров по каротажу;

**γ** – значения естественной радиоактивности пород по ГК.

Подобный методический подход применялся и ранее (И.И. Плуман, В.И. Москвин, В.А. Конторович и др.), но авторы этих работ искали корреляционную зависимость между средним содержанием C<sub>опг</sub> в разрезе свиты в каждой скважине и средним значением радиоактивности пород, также в целом в разрезе свиты. Такой методический подход обеспечивал необходимую детальность построений 2D, но не давал характеристики изменения значений C<sub>опг</sub> в разрезе каждой скважины.

В настоящей работе зависимости «керн – ГИС» строились для всей совокупности значений C<sub>опг</sub> в каждой скважине, хорошо охарактеризованной керном с аналитическими данными и значениями радиоактивности по данным ГК-каротажа. Это позволило значительно повысить плотность наблюдений на площади и оценить концентрации C<sub>опг</sub> в породах баженовского горизонта для

каждой изученной скважины во всем разрезе точечно через каждые 0.5 м. Затем осуществлялось районирование территории по виду зависимости «керн – ГИС». При этом, как это принято в промыслово-геофизических исследованиях по подсчету запасов, предварительно в каждой скважине осуществлялась увязка измерений керн и ГИС по глубине. Критерием эффективности привязки был принят максимум коэффициента корреляции между  $C_{\text{опр}}$  – аналитическое и  $C_{\text{опр}}$  – измеренное на диаграмме.

В ходе выполнения настоящей работы было построено значительное количество целевых (итоговых) и вспомогательных карт различных геологических параметров и характеристик баженовского горизонта. Картостроения выполнялись в программе Surfer (разработка Golden Software, LLC) методом интерполяции «Kriging», дополнительная обработка (сглаживание, зональная и точечная коррекция) – в редакторе GridMaster. Для окончательного графического оформления карт использовалась программа CorelDRAW X4.

Итоговыми (результатирующими) явились следующие 8 карт:

- Средние концентрации органического углерода в породах баженовского горизонта на территории Западно-Сибирского бассейна, в %;
- Толщины пород баженовского горизонта с современным содержанием органического углерода менее 5 % на территории Западно-Сибирского бассейна;
- Толщины пород баженовского горизонта с современным содержанием органического углерода 5-7 % на территории Западно-Сибирского бассейна;
- Толщины пород баженовского горизонта с современным содержанием органического углерода 7-10 % на территории Западно-Сибирского бассейна;
- Толщины пород баженовского горизонта с современным содержанием органического углерода более 10 % на территории Западно-Сибирского бассейна;

- Карта средних концентраций органического углерода в породах нижней части разреза баженовского горизонта центральных и южных районов Западно-Сибирского бассейна, в %;
- Карта средних концентраций органического углерода в породах средней части разреза баженовского горизонта центральных и южных районов Западно-Сибирского бассейна, в %;
- Карта средних концентраций органического углерода в породах верхней части разреза баженовского горизонта центральных и южных районов Западно-Сибирского бассейна, в %.

**Достоверность** полученных научных результатов и обоснованность выводов автора обусловлена:

- опорой на теоретические основы осадочно-миграционной (биогенной) теории образования нефти и газа, разработанные в трудах Н.Б. Вассоевича, В.С. Вышемирского, И.М. Губкина, Н.А. Еременко, А.Э. Конторовича, С.Г. Неручева, И.И. Нестерова, Б.А. Соколова, А.А. Трофимука, В.А. Успенского, Д. Вельте, Б. Тиссо, Дж. Ханта и др.;
- максимально полным использованием имеющихся геофизических исследований скважин и геолого-геохимических (аналитические определения Сорг по керну) данных для формирования представительной коллекции фактического материала;
- применением современного программно-методического комплекса вычислений (Geosolver, Microsoft Excel) и картостроений (Surfer, GridMaster, CorelDRAW X4);
- комплексным характером выполненного исследования для выявления закономерностей распределения современных и на начало катагенеза содержаний органического углерода и органического вещества.

### **Защищаемые научные положения и результаты:**

1. Методика определения концентраций органического углерода в породах баженовского горизонта, основанная на комплексировании лабораторных

определений и результатов интерпретации ГИС и адаптированная для зон развития различных типов разреза.

2. Оценка на представительной выборке (4998 прямых определений, 102320 определений по результатам интерпретации ГИС) средних содержаний органического углерода в осадочных породах баженовского горизонта и отдельных свит, его образующих.

3. Карта и численная модель латерального распределения современных средних концентраций органического углерода в баженовском горизонте Западно-Сибирского нефтегазоносного бассейна.

*Под численной (сеточной) моделью автор понимает совокупность значений картируемой величины, привязанных к равномерной координатной сетке с шагом 1 км. Основным преимуществом использования численного представления карт геолого-геохимических параметров является возможность их непосредственного использования в различных системах компьютерного моделирования, включая системы моделирования процессов нефтегазообразования в осадочных бассейнах.*

4. Численная модель пространственного распределения концентраций органического углерода в баженовском горизонте Западно-Сибирского нефтегазоносного бассейна, представленная в виде набора карт концентраций органического углерода в нижней, средней и верхней частях горизонта и карт толщин пород с содержанием органического углерода менее 5 %, 5-7 %, 7-10 %, более 10 %.

**Личный вклад автора.** Автором в составе рабочих групп собрана и лично систематизирована в 2012-2016 гг. первичная информация по ГИС (КС, ПС, ИК, БК, ГК, НГК, АК, КВ). Составлена база разбивок баженовской свиты и её стратиграфических аналогов на территории Западно-Сибирского осадочного бассейна. Сформирован банк данных по распределению концентраций  $C_{\text{орг}}$  в породах баженовского горизонта (аналитические определения  $C_{\text{орг}}$  – по керну; определения  $C_{\text{орг}}$  – по материалам интерпретации ГИС (гамма-каротаж) на основании зависимостей «керн – ГИС»). Оценены по большим выборкам средние содержания  $C_{\text{орг}}$  в отдельных свитах, входящих в баженовский горизонт, и в

породах баженовского горизонта в целом. Построены численные модели пространственного (латерального) распределения концентраций  $C_{\text{опрг}}$  в породах баженовского горизонта в пределах Западно-Сибирского нефтегазоносного бассейна.

**Научная новизна.** За последние 60 лет неоднократно предпринимались попытки описать закономерности распределения органического углерода в породах баженовского горизонта, и особенно баженовской свиты. Однако это были схематические построения и, они, как правило, опирались на относительно ограниченный аналитический материал. В настоящей работе была выбрана методика, которая опиралась не только на аналитические данные, а также и на определения  $C_{\text{опрг}}$ , полученные с помощью зависимости «керн – ГИС». Это резко повысило плотность наблюдений на площади. Кроме того, использование зависимостей «керн – ГИС» позволило охарактеризовать распределение органического углерода в породах баженовского горизонта не только в отдельных точках отбора проб керна, а для каждой изученной скважины во всем разрезе. Это, в свою очередь, позволило решить три независимые подзадачи:

- оценить средние содержания органического углерода в породах отдельных свит баженовского горизонта;
- построить для большей части территории Западно-Сибирского нефтегазоносного бассейна детальные карты средних содержаний органического углерода в породах баженовского горизонта масштаба 1 : 2 500 000;
- построить численные модели пространственного распределения концентраций органического углерода в породах баженовского горизонта.

**Теоретическая и практическая значимость полученных результатов.** В настоящее время, когда баженовская свита становится одним из ведущих объектов добычи нефти в уникальном Западно-Сибирском бассейне, детальное изучение литологии и органической геохимии баженовского горизонта становится не только важнейшей задачей фундаментальной геологии (геохимия органического

вещества, геохимия урана, нафтидогенез, природа и механизм формирования коллектора и др.), но и прикладной научной задачей государственной важности при решении широкого круга задач прогноза, поисков и разведки залежей нефти в баженовской свите.

Полученные материалы могут использоваться в бассейновом моделировании и являются исходной базой при оценке перспектив нефтеносности оксфордских (васюганский горизонт), волжско-нижнеберрийских (баженовский горизонт) и берриас-аптских отложений.

**Апробация работы и публикация результатов.** Основные результаты проведенных исследований полностью изложены в 20 публикациях, в том числе в 9 статьях в журналах, входящих в Перечень научных изданий, в которых должны быть опубликованы основные научные результаты диссертаций («Доклады Академии наук», «Геология нефти и газа», «Геология и геофизика», «Геология и минерально-сырьевые ресурсы Сибири», «Литология и полезные ископаемые», «Нефтегазовая геология. Теория и практика»).

Основные результаты, представленные в работе, докладывались автором на международных (международная научная конференциях «Недропользование. Горное дело. Новые направления и технологии поиска, разведки и разработки месторождений полезных ископаемых. Геоэкология». Новосибирск, 2013, 2014, 2017, 2018, 2019; международной научно-практической конференции «Геомодель», г. Геленджик, 2013, 2014, 2015) и всероссийских (4-й международной научно-практической конференции, г. Тюмень, 2015) научных конференциях.

**Объем и структура работы.** Диссертационная работа состоит из введения, 3 глав и заключения. Объем диссертации составляет 212 страниц машинописного текста, включая 63 рисунка и 21 таблицу. Список литературы содержит 178 наименований, включая 6 иностранных работ.

**Благодарности.** Работа выполнена в ИНГГ СО РАН в лаборатории теоретических основ прогноза нефтегазоносности под руководством д.г.-м.н., профессора, академика РАН А.Э. Конторовича. Автор выражает ему, своему

учителю на протяжении обучения в Новосибирском государственном университете и во время работы в ИНГГ СО РАН, глубокую признательность и благодарность.

Также автор выражает благодарность за консультации, рекомендации, предоставленные материалы и ценные советы при подготовке работы чл.-корр. РАН В.Н. Глинских, чл.-корр. РАН В.А. Каширцеву, д.г.-м.н. Л.М. Бурштейну, д.г.-м.н. А.Н. Фомину, д.г.-м.н. В.В. Лапковскому, к.г.-м.н. В.А. Казаненкову, к.г.-м.н. Е.А. Костыревой, к.ф.-м.н. В.Н. Меленевскому, к.г.-м.н. М.А. Павловой, к.г.-м.н. С.В. Рыжковой, к.г.-м.н. А.Г. Замирайловой, к.г.-м.н. В.Г. Эдер, к.г.-м.н. П.А. Яну, Е.В. Беловой, О.А. Мосиной, а также Н.В. Аксёновой, выполнившей аналитические определения  $C_{\text{опр}}$  по керну в ИНГГ СО РАН.

## **Глава 1. КРАТКИЙ ОЧЕРК ГЕОЛОГИИ БАЖЕНОВСКОГО ГОРИЗОНТА**

Органическое вещество является наиболее лабильным компонентом в осадках и осадочных породах. Оно претерпевает в процессе седиментогенеза, диагенеза и катагенеза глубокие преобразования, одним из важнейших результатов которых является образование нефти и газа. Поэтому изучение закономерностей распределения органического вещества в той или иной осадочной толще обязательно требует знания его превращений в диагенезе и катагенезе (Н.Б. Вассоевич, Н.М. Страхов, Т.К. Баженова, Ф.Г. Гураи, А.Э. Конторович, С.Г. Неручев, Б.А. Соколов, В.А. Успенский и др.). В настоящей главе описаны наиболее важные элементы геологической истории баженовского горизонта, которые оказали решающее влияние на современное распределение органического вещества в нем, историю и интенсивность процессов нефтегазообразования. Настоящая глава написана, в основном, по литературным публикациям и носит компилятивный характер, но, на взгляд автора, в работе она необходима для целостности описания объекта исследования и его геологической истории. Разделы главы, в разработке которых автор принимал личное участие, будут выделены в тексте главы.

### **1.1 Стратиграфия, литология**

Вопросами стратиграфии юрских отложений Западной Сибири занимались многие исследователи. Наиболее известными являются работы Н.Н. Ростовцева, В.Н. Сакса, Ф.Г. Гураи, В.А. Захарова, М.С. Месежникова, И.И. Нестерова, Б.Л. Никитенко, Б.Н. Шурыгина, Н.И. Байгородских, Ю.В. Брадучана, С.П. Булынниковой, А.В. Гольберта, Е.А. Гайдебуртовой, В.П. Девятова, В.И. Ильиной, И.Г. Климовой, В.Ф. Козыревой, В.И. Левиной, П.Ф. Ли, С.В. Мелединой, А.Г. Мухер, Г.П. Мясниковой, А.Н. Резапова, Л.В. Ровниной, Л.Я. Трушковой, В.Я. Шерихоры, Г.С. Ясовича, и др.

Как было отмечено во Введении, объектом исследования в настоящей работе являются породы баженовского горизонта (Рисунок 1.1), которые входят в состав

осадочного чехла Западно-Сибирского бассейна, представленного отложениями мезозоя и кайнозоя. Толщина осадочного чехла в бассейне изменяется от десятков и сотен метров – на окраинах, до 3-4 км – в центральной части бассейна, и до 8-10 км – в северных районах. Литологический состав отложений верхней юры, толщина пачек пород и особенности их переслаивания очень изменчивы как по латерали, так и в разрезе [Алексерова и др., 1958; Гуарди, 1959; Гуарди и др., 1963; Конторович и др., 1975; Булынникова и др., 1978; Брадучан и др., 1986; Решение..., 2004].

В составе верхнеюрских отложений на территории Западно-Сибирской равнины выделяются васюганский, георгиевский и баженовский горизонты [Конторович и др., 1975; Объяснительная записка..., 1976; Решение..., 2004; Рыжкова и др., 2018] (Рисунок 1.2).

Верхнеюрские отложения вскрыты на глубинах от 1100 м до 4200 м более чем 10000 опорных, параметрических, поисковых и разведочных скважин. Почти повсеместно они залегают трансгрессивно на подстилающих образованиях преимущественно континентального генезиса тюменской свиты (средняя юра) и морской нижней подсвиты васюганской свиты, и перекрываются отложениями куломзинского горизонта (нижний мел) [Решение..., 2004; Брадучан и др., 1986; Шурыгин и др., 2000; Рыжкова и др., 2018].

В соответствии с задачей настоящей работы, ниже рассмотрены стратиграфия и литология баженовского горизонта. Схема распространения свит баженовского горизонта на территории Западно-Сибирского бассейна уточнена в соответствии с новейшими данными [Рыжкова и др., 2018], и показана на рисунке 1.1. Границы кровли и подошвы баженовского горизонта были выделены по материалам ГИС в соответствии с критериями выделения кровли и подошвы баженовской свиты и её стратиграфических аналогов, описанными в работах [Рыжкова и др., 2018; Эдер и др., 2020].

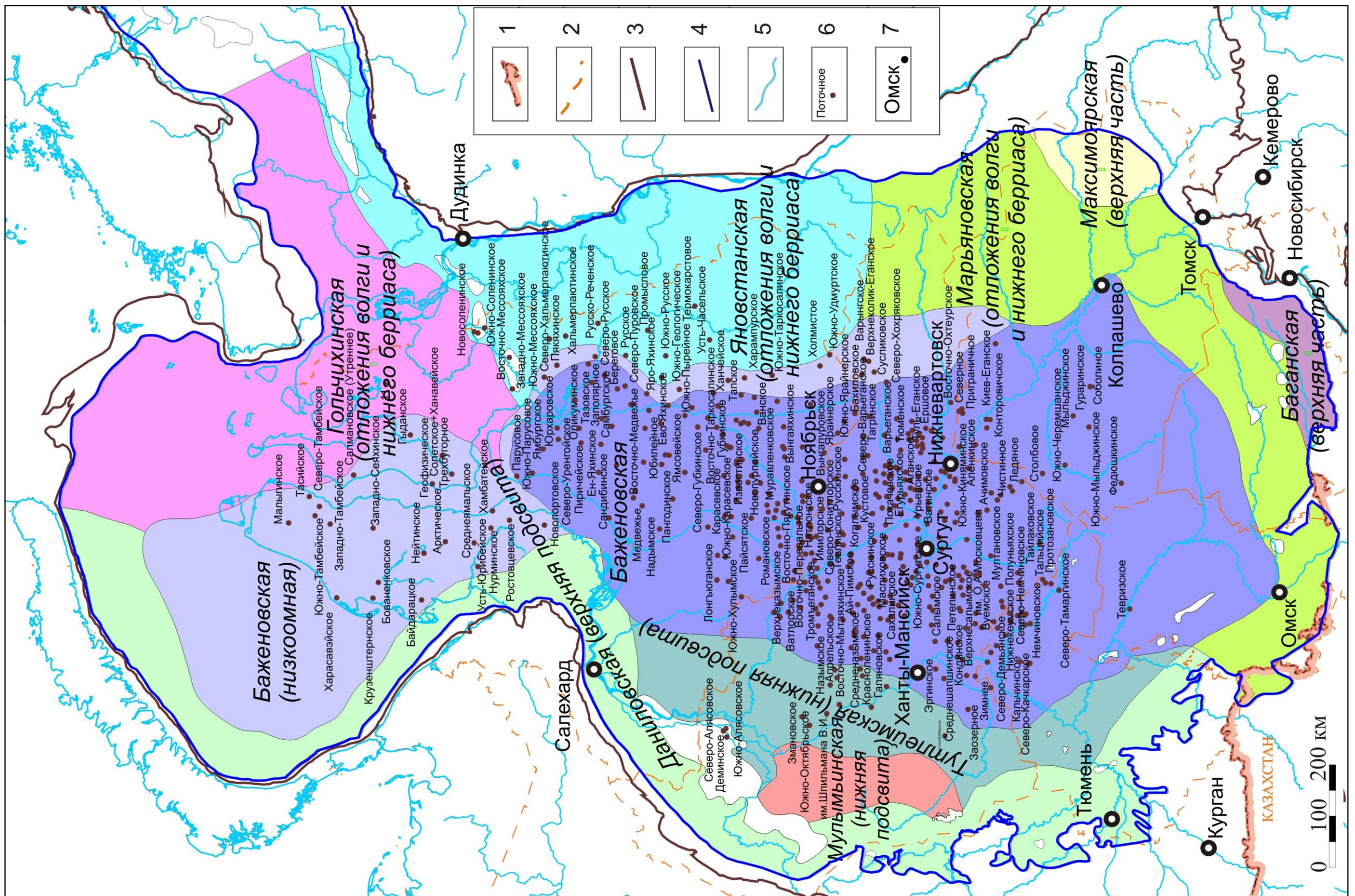


Рисунок 1.1 – Фациально-стратиграфическое районирование отложений баженовского горизонта Западно-Сибирского осадочного бассейна [Рыжкова и др., 2018] со схемой расположения залежей нефти в пласте Ю<sub>0</sub> и горизонтах берриаса-антра

Условные обозначения: 1–4 – границы: 1 – государственная; 2 – административная; 3 – площадного распространения отложений мезозоя; 4 – площадного распространения верхнеюрских отложений. 5 – гидросеть; 6 – центры месторождений с залежами в продуктивных горизонтах Ю<sub>0</sub> и берриас-апта; 7 – населенные пункты.

Автор принимал непосредственное участие в составлении схем фациально-стратиграфического районирования, приведенных в этой работе.

Баженовский горизонт, согласно официально принятым Межведомственным стратиграфическим комитетом (МСК) стратиграфическим схемам, выделен в объеме верхов нижневолжского подъяруса – нижней части нижнего берриаса [Конторович и др., 1975; Атлас моллюсков..., 1990; Шурыгин и др., 2000; Решение..., 2004]. Изучением вещественного состава баженовского горизонта занимались многие ученые: Т.Ф. Антонова, Т.И. Гурова, Т.В. Дорофеева, А.Г. Замирайлова, Ю.Н. Занин, М.С. Зонн, М.Ю. Зубков, В.П. Казаринов, Г.А. Калмыков, Г.Н. Карцева, Т.Т. Клубова, А.Э. Конторович, Б.А Лебедев, И.И. Нестеров, Г.М. Парпарова, Г.Н. Перозио, Г.Э. Прозорович, З.З. Ронкина, С.В. Сараев, Р.С. Сахибгареев, З.Я. Сердюк, И.Н. Ушатинский, С.И. Филина, В.В. Хабаров, В.Г. Эдер, П.А. Ян и др.

Юрская		Меловая		Система	
Средний	Верхний	Нижний	Отдел	Ярус	Региоярус
<i>Келловейский</i>	<i>Оксфордский</i>	<i>Батский</i>	<i>Берриасский</i>	<i>Рязанский</i>	<i>Горизонт</i>
			<i>Кимериджский</i>	<i>Титонский</i>	<i>Волжский</i>
					<b>Свиты</b>
			<i>Васюганский</i>	<i>Георгиевский</i>	<i>Баженовский</i>
			<i>Маурынинская</i>	<i>Попсинская</i>	<i>Федоровская</i>
				<i>Даниловская</i> (нижняя подсвита)	<i>Даниловская</i> (верхняя подсвита)
				<i>Вогулкинская топча</i>	<i>Мульминская</i> (нижняя подсвита)
				<i>Абалацкая</i>	<i>Тулеймская</i> (нижняя подсвита)
				<i>Абалацкая</i>	<i>Абалацкая</i>
				<i>Нурминская</i>	<i>Баженовская</i>
				<i>Гольчихинская</i>	
			<i>Точинская</i>	<i>Сиговская</i>	<i>Яновстанская</i>
				<i>Абалацкая</i>	<i>Баженовская</i>
			<i>Васюганская</i>	<i>Георгиевская</i>	<i>Баженовская</i>
			<i>Татарская</i>	<i>Георгиевская</i>	<i>Баженовская</i>
			<i>Татарская</i>	<i>Марьиновская</i>	<i>Баженовская</i>
			<i>Науакская</i>	<i>Георгиевская</i>	<i>Баженовская</i>
			<i>Науакская</i>	<i>Марьиновская</i>	<i>Максимиорская</i>

Рисунок 1.2 – Свиты, выделяемые в составе келловея и верхней юры Западно-Сибирского осадочного бассейна [Рыжкова и др., 2018]

Баженовский горизонт, как показано выше на рисунках 1.1 и 1.2, включает баженовскую, федоровскую свиты, нижние подсвиты тутлеймской и мулымьинской свит, верхнюю подсвиту даниловской свиты и верхние части

разрезов марьяновской, баганской, максимоярской, гольчихинской и яновстанской свит. Породы баженовской свиты залегают трансгрессивно, со стратиграфическим несогласием на верхневасюганской подсвите или согласно перекрывают породы георгиевской, подстилаемой татарской свитой, – в Омском, и научакской свитой – в Сильгинском структурно-фациальных районах (СФР), абалакской свиты – на западе – в Казым-Кондинском и Фроловско-Тамбейском СФР [Шурыгин и др., 2000; Решение..., 2004; Рыжкова и др., 2018].

*Баженовская свита* (волжско-нижнеберриасский возраст) выделена Ф.Г. Гурари в 1959 г. как баженовская пачка в составе марьяновской свиты. Решением МСК в 1969 г. она была переведена в ранг свиты [Решения..., 1969; Решение..., 2004]. Стратотипом свиты является разрез скважин Саргатской площади и скважины Большелереченская 1-Р [Гурари, 1959]. Баженовская свита распространена в центральных и северных районах Западной Сибири и является хорошо известным репером в мезозойской толще [Конторович и др., 1975; Брадучан и др., 1986; Гурари и др., 1988; Западная Сибирь. Геология..., 2000; Шурыгин и др., 2000].

Относительно названия пород баженовской свиты среди исследователей (Т.И. Гурова [1960]; Т.Т. Клубова [1960]; Б.А Лебедев [Лебедев и др., 1979]; И.Н. Ушатинский [1981; 1989]; И.И. Нестеров [Салымский..., 1970]; Ю.В. Брадучан [Брадучан и др., 1986]; А.Э. Конторович [Конторович и др., 1998; 2016; и др.] шла длительная дискуссия. Автор придерживается классификации, предложенной А.Э. Конторовичем с соавторами [Конторович и др., 2016], построенной на основе анализа соотношения четырех породообразующих компонентов в баженовской свите: кремнистых, глинистых, карбонатных минералов и органического вещества (керогена). Породы баженовской свиты, в основном, имеют биогенное и, в меньшей степени, аллотигенное происхождение. По результатам аналитического определения химического и минерального состава были выделены четыре основных класса пород, разделённые на подклассы. Для пород баженовской свиты авторами было введено понятие микститы, в которых содержание ни одного из компонентов не достигает 50 % [Конторович и др., 2016]. Микститы, в свою

очередь, подразделяются на подгруппы по минеральному составу и содержанию керогена. Наиболее распространенными подгруппами являются кремнисто-глинистые, кероген-кремнистые, кероген-глинисто-кремнистые микститы и керогеновые силициты, на долю которых приходится около 65 % общей выборки образцов.

А.Э. Конторовичем с соавторами [Конторович и др., 2016] было выявлено, что основная масса пород баженовской свиты сложена нижеперечисленными минеральными и минералоидными компонентами:

- кальцит, кремнезём – это продукты биохимической концентрации минерального вещества;
- планктоно- и бентосогенное органическое вещество (кероген) – это остатки архей, бактерий, простейших морских эукариотов, сохранившиеся после диагенетических и катагенетических превращений;
- глинистый аллотигенный материал – это продукты химического разрушения и тончайшей дисперсии первичных пород, принесённых из областей водосборов;
- аутигенные продукты химической концентрации минерального вещества, образовавшиеся на стадиях позднего диагенеза и катагенеза [Конторович и др., 2016]. В ходе диагенеза осадков формирование аутигенно-минералогических форм железа происходит последовательно от лептохлорита к сидериту, и далее – к пириту [Страхов, 1962].

Авторы описанной классификации [Конторович и др., 2016] обращают внимание, что классификация не является в полной мере генетической. Так как на отдельных этапах образования и преобразования пород баженовской свиты в результате биохимических и химических процессов могли формироваться идентичные по минералогическому и химическому составу фазы, когда источником вещества для минералообразования на более поздних стадиях катагенеза являлись продукты более ранних этапов литификации.

Важной особенностью геохимии баженовской свиты, по мнению большинства исследователей (Н.Б. Вассоевич, Ф.Г. Гуари, Ю.Н. Занин,

Н.П. Запивалов, Ю.Н. Карогодин, А.Э. Конторович, Е.А. Костырева, В.И. Москвин, В.Д. Наливкин, С.Г. Неручев, И.И. Нестеров, В.Ф. Никонов, И.И. Плуман, Г.П. Сверчков, А.А. Трофимук, И.Н. Ушатинский, А.С. Фомичев и др.), является очень высокое содержание в них органического вещества, что отразилось на особенностях накопления в осадках некоторых химических элементов, таких как кремний, кальций, фосфор, уран, ванадий, никель, марганец, железо и сера. По мнению многих исследователей [Конторович и др., 1972а, б; Нестеров и др., 1987; Занин и др., 1997; и др.], существует почти прямая зависимость – с ростом содержания органического вещества увеличивается количество биогенных компонентов (аутигенного кремнезёма, известняков, фосфора, серы). С другой стороны, уменьшается содержание петрогенных компонентов (терригенного кремнезёма, глинозёма, определенной части железа, щелочей). Такая генетическая взаимосвязь отражает условия накопления осадков и дальнейшее их преобразование [Нестеров и др., 1987].

В изученной выборке образцов авторами работы [Конторович и др., 2016] были выявлены следующие содержания компонентов пород (%): минералы кремнезёма – от 0.8 до 88.6 (среднее 37.1), глинистые минералы – от 1.1 до 51.6 (среднее 22.3), альбит – от 0 до 23.9 (среднее 8.4), карбонатные минералы – от 0 до 92.3 (среднее 14.3), органическое вещество – от 0.2 до 27.8 (среднее 10.8), пирит – от 0 до 23.5 (среднее 6.2), апатит – от 0.1 до 14.5 (среднее 0.8). Четыре основные класса пород (кремнистые, глинистые, карбонатные минералы и ОВ (кероген)) разделены, в свою очередь, на 16 подклассов. Для пород баженовской свиты были введены понятия биогенно-хемогенных микститов.

В работе [Конторович и др., 2016] было установлено, что кероген в концентрациях более 10 % встречается прежде всего в породах, в которых преобладает кремнистое вещество:

- в силицитах (8.9 % всей выборки, средняя концентрация  $C_{опт}$  – 13.1 %);
- в кероген-кремнистых микститах (17.8 % выборки, средняя концентрация  $C_{опт}$  – 16.6 %);

- в кероген-глинисто-кремнистых микститах (16.0 % выборки, средняя концентрация  $C_{\text{опр}} - 14.1 \%$ ).

Очень редко повышенные концентрации керогена ( $>10 \%$ ) встречаются в породах, обогащенных карбонатами:

- в карбонатах (0.8 % всей выборки, 10.3 % – от выборки карбонатных пород, средняя концентрация  $C_{\text{опр}} - 10.8 \%$ );
- в кероген-карбонатных микститах (5.2 % всей выборки, 6.9 % – от выборки микститов, средняя концентрация  $C_{\text{опр}} - 14.1 \%$ );
- в кероген-глинисто-карбонатных микститах (2.6 % всей выборки, 3.5 % – от выборки микститов, средняя концентрация  $C_{\text{опр}} - 12.9 \%$ ).

Таким образом, согласно данным, полученным в ИНГГ СО РАН, керогеном обогащены силициты (8.9 % всей выборки) и содержащие в повышенных концентрациях кремнезём микститы (43.2 % всей выборки).

В баженовской свите выявлено повышенное, по сравнению с подстилающими и перекрывающими глинами, абсолютное содержание следующих элементов (%): бора (0.007), бария (0.25), ванадия (0.05), марганца (0.04), никеля (0.02), молибдена (0.015), меди (0.012), стронция (0.02), циркония (0.02), серы, урана др. [Конторович и др., 1972а,б; Плуман, 1971; Прозорович и др., 1973а; Лебедев и др., 1979; Гавшин, Бобров, 1982; Нестеров и др., 1987; Занин и др., 1997; Конторович и др., 1998]. По данным Т.И. Гуровой, А.Э. Конторовича и С.Г. Неручева, чаще всего элементы в повышенных концентрациях рассеяны в органо-минеральной массе породы, находясь в форме металлоорганических соединений, и не образуют выделений в виде самостоятельных минералов. Тем не менее отмечаются случаи, когда образуются значительные по массе включения пирита, халькопирита, сфалерита, галенита, барита и фосфорита на фоне общей повышенной концентрации элементов [Гурова, Казаринов, 1962; Конторович, 1967; Неручев, 2007; и др.].

Близкие взгляды на состав пород баженовской свиты развиты в работах многих исследователей [Лебедев и др., 1979; Хабаров и др., 1980; Ушатинский, 1981; Дорофеева и др., 1983; Нестеров, Высоцкий, 1985; Рыльков, Григорьева,

1985; Сараев, 1987; Гураи и др., 1988; Зубков и др., 1998, Зубков, 1999; Занин и др., 1999; Балушкина и др., 2013].

Баженовская свита хорошо выражена по латерали и прослеживается в Западной Сибири на площади около 1 млн км<sup>2</sup> [Гураи и др., 1963; Новиков, Салманов, Тян, 1970; Конторович и др., 1975; 2013; Лебедев и др., 1979; Рыжкова и др., 2018; и др.]. На региональных временных разрезах кровля баженовского горизонта соответствует отражающему сейсмогоризонту Б, подошва – отражающему сейсмогоризонту IIa. Толщины пород баженовского горизонта изменяются в следующих пределах: от 15 м до 25 м – в области распространения баженовской и тутлеймской свит; 30-35 м – в мулымяинской свите; до 35 м – в баганской свите; 35-40 м – в максимоярской свите; до 45 м – в даниловской свите; 40-65 м – в марьяновской; до 100 м – в гольчихинской свите; до 350 м и более – в яновстанской свите [Рыжкова и др., 2018]. С баженовской свитой связан продуктивный нефтеносный пласт Ю<sub>0</sub>.

Границы баженовской свиты со вмещающими породами по керну обычно проявляются нечетко, иногда на протяжении 3-5 м, особенно, с глинами кровли, поэтому часто границы свиты определяются по каротажным кривым радиоактивности, удельного электрического сопротивления и индукционного каротажа [Брадучан и др., 1986; Нестеров и др., 1987; Рыжкова и др., 2018].

Как стратиграфическое подразделение баженовская свита выделяется по характерным комплексам фоссилий, среди которых аммониты – *Dorsoplanites* spp., *Aulacostephanus* s.str., белемниты – *Cylindroteuthis* sp., *Pachyteuthis* sp., *Simobelus* sp., *Lagonibelus* sp., двустворки – *Buchia* spp., фораминиферы – *Ammodiscus veteranus*, *Dorothia tortuosa* и др. (С *Hectoroceras* spp. – Омский ФР, С *Surites* spp. – Сильгинский, *Evolutinella emeljanzevi*, *Trochammina septentrionalis* – Пур-Иртышский ФР) [Решение..., 2004].

Несмотря на длительное изучение юрских и нижнемеловых разрезов, до сих пор не решена проблема определения нижней границы берриаса – базального яруса меловой системы [Шурыгин, Дзюба, 2015]. Трудность выделения границы в межрегиональной биостратиграфической корреляции приграничных толщ юры и

мела Сибири, связана с различиями биот бореальных и тетических палеобассейнов в конце юрского и начале мелового периода. Помимо этого, вопрос определения стратотипа границ берриасского яруса осложняется непрекращающейся дискуссией о выборе уровня и природы маркера границы, в качестве которого рассматриваются биостратиграфические либо магнитостратиграфические реперы [Шурыгин, Дзюба, 2015].

При использовании набора параллельных биостратиграфических шкал с учётом изотопных и палеомагнитных событий [Булынникова, 1973; Конторович и др., 1975; Брадучан и др., 1986; Атлас моллюсков..., 1990; Захаров и др., 1999; Шурыгин и др., 2000; Маринов и др., 2006; 2009; и др.] интервал неопределённости положения границы юры и мела в сибирских разрезах приурочен к верхней части регионального баженовского горизонта, соответствующей верхней части аммонитовой зоны *Craspedites taimyrensis* – коинтервала этой зоны с белемнитовой зоной *Arctoteuthis tehamaensis*. К этому же интервалу относится подошва палеомагнитной зоны M18r и широко коррелируемый положительный изотопный экскурс изотопов углерода [Шурыгин, Дзюба, 2015]. По мнению Б.Н. Шурыгина и О.С. Дзюбы, в конкретных бореальных разрезах при оперативном определении положения границы юры и мела необходимо использовать коинтервалы параллельных зональных шкал по разным группам фоссилий.

При названии литологического состава пород баженовского горизонта многими авторами используется эпитет «битуминозные». Согласно данным И.И. Нестерова с соавторами [Атлас и объяснительная записка..., 1976] термину «глины с битуминозными прослойками» соответствуют содержания органического вещества в породах 3-6 %; «породы с высоким содержанием ОВ» – породы с концентрациями ОВ 8-15 %, «битуминозные породы» – породы с содержанием ОВ 4-8 % [Атлас и объяснительная записка..., 1976]. Этот же подход автор использовал в данной работе.

По мнению А.Э. Конторовича, термин «битуминозные» правильнее применять к породам, содержащим более 5 % битумоидов. А поскольку содержание битумоидов в баженовском горизонте в них редко превышает 2-3 %, то логичнее

называть такие породы – «углеродистые», «высокоуглеродистые», и подчеркивать аквагенную (акритархо-, бактерио- планктоно и бентосогенную) природу органического вещества.

Баженовская свита резко отличается от выше- и нижележащих пород по своим литологическим характеристикам и химическому составу, в частности, по содержанию урана, что позволяет выделять её в разрезе осадочного чехла по результатам интерпретации геофизических исследований скважин и материалов сейсморазведки МОГТ.

*Тутлеймская свита* ранневолжско-ранневаланжинского возраста распространена в Казым-Кондинском СФР [Решение..., 2004]. Свита была выделена в 1956 г. П.Ф. Ли в разрезе скважин Тутлеймской площади [Конторович и др., 1975]. По данным Ю.В. Брадучана тутлеймская свита состоит из низкоуглеродистых глинистых пород – на севере, южнее – глин и известковистых пород с повышенной углеродистостью. Стратиграфическим аналогом баженовской свиты является нижнетутлеймская подсвита (ранневолжского-раннеберриасского возраста). В нижней части свиты отмечаются кремнистость, прослои известняков и радиоляритов, пирит, одиночные конкреции фосфоритов [Брадучан и др., 1986]. Цвет пород свиты от темно-серого, коричневатого до черного. В западном направлении количество углеродистых пород уменьшается [Конторович, 1967; Конторович и др., 1967; 1975; Шурыгин и др., 2000]. Толщина тутлеймских отложений составляет до 40 м. В свите найдены следующие комплексы фоссилий: *Praetollia* spp., *Dorsoplanites* spp., *Pachyteuthis mosquensis*, *Simobelus mamillaris*, *Buchia* spp., *Evolutinella emeljanzevi*, *Spiroplectammina vicinalis*, *Trochammina septentrionalis* и др.

*Мулымьинская свита* выделяется в объеме ранневолжско-раннеготеривского возраста, была выделена в 1972 г. В.Г. Елисеевым и В.С. Бочкаревым в Шаймском НГР по разрезу скважины 13-Р Мулымьинской площади. Свита представлена глинами темно-серыми, листоватыми, низкоуглеродистыми. Встречаются редкие конкреции фосфатов, карбонатные прослои, стяжения пирита, онихиты, остатки рыб [Брадучан и др., 1986]. В мулымьинской свите встречаются характерные

остатки фауны в виде *C Craspedites* sp., *Dorsoplanites* sp., *Evolutinella emeljanzevi*, *Dorothia tortuosa* и др. Толщина свиты составляет порядка 60 м. В пределах Шаймского мегавала в основании свиты развита трехозерная толща, достигающая толщины до 70 м, состоящая из конгломератов, гравелитов, песчаников, которые замещаются на глины. В толще встречаются остатки *C Laugeites* sp., *Dorsoplanites* и др. [Решение..., 2004]. Стратиграфическим аналогом баженовской свиты является нижнемулыминская подсвита (ранневолжского-раннеберриасского возраста).

*Марьяновская свита* (верхнеоксфордско-нижнеберриасский возраст) выделена З.Т. Алескеровой и Т.И. Осыко в 1957 г., название дано по селу Марьяновка Омской области. Свита имеет сложную историю изменения территории, на которой она выделялась, и стратиграфического объема [Решения..., 1991]. Переведена в ранг свиты по предложению Ф.Г. Гуари в 1959 г., развита в пределах Тебисского и Ажарминского СФР [Решение..., 2004]. В качестве эталонного разреза баженовского горизонта для территории южных районов Западно-Сибирского осадочного бассейна принят стратотип свиты в скважине Татарская 1 [Шурыгин и др., 2000]. Марьяновская свита представлена глинами, прослойями углеродистыми, на юго-востоке территории – с прослойями песчаников и алевролитов. Стратиграфическое положение марьяновской свиты определяется по находкам многочисленных представителей морской фауны: *C Hectoroceras* cf. *kochi*, *Dorsoplanites* sp. ind., *Rasenia* sp., *Aulacostephaninae*, *Pictonia* sp., *Buchia* cf. *mosquensis*, *Trochammina rosaceaformis*, *Ammodiscus veteranus*, *Spiroplectammina vicinalis*, *Dorothia tortuosa*, *Pseudolamarckina lopsiensis*, *P. voliaensis*, *Trochammina omskensis*, *Verneuilinoides graciosus* и др. [Решение..., 2004]. Свита залегает на татарской свите в Тебисском СФР и на научакской свите – в Ажарминском ФР. В низах марьяновской свиты встречаются песчаники глауконитовые *барабинской пачки* с карбонатными конкрециями, объединенными в пласт Ю<sub>1</sub><sup>0</sup>.

*Даниловская свита* (келловей-волжско-нижнеберриасский возраст) была выделена Ю.В. Брадучаном и Г.С. Ясовичем в 1977 г. в разрезах Даниловской и Лемьянской площадей. Свита развита на западной и северо-западной окраине

Западно-Сибирского осадочного бассейна в Ямalo-Тюменском СФР [Решение..., 2004]. Стратотипом свиты является разрез скважины Даниловская 62-Р в интервале глубин 1734-1824 м [Брадучан, Ясович, 1984]. Стратиграфическим аналогом баженовской свиты является *верхнеданиловская подсвита* волжско-нижнеберриасского возраста.

Состав отложений верхнеданиловской подсвиты глинистый, прослойми углеродистый, темно-серого, буроватого цвета с карбонатными конкрециями. Как стратиграфическое подразделение верхнеданиловская подсвита выделяется по характерным комплексам фоссилий, среди которых *C Buchia ex gr. Rugosa*, *B. ex gr. mosquensis*, *Ammodiscus veteranus*, *Evolutinella emeljanzevi*, *Trochammina septentrionalis*, *Spirolectammina vicinalis*, *Pseudolamarckina voliaensis* [Решение..., 2004]. Толщина верхнеданиловской подсвиты до 45 м.

*Федоровская свита* (волжско-нижнеберриасский возраст) выделена В.А. Лидером в 1956 г. со стратотипом по рекам Лопсии, Толье, Яны-Манье и Сев. Сосьвы [Решения..., 1969; Решение..., 2004]. Свита распространена в Приуральском СФР. Свита представлена алевролитами и песчаниками зеленовато-серыми, глауконито-кварцевыми с оолитами шамозита, линзами гравия, известковыми конкрециями, ходами червей [Шурыгин и др., 2000]. В федоровской свите найдены многочисленные остатки следующих микроорганизмов: *C Borealites* sp., *Chetaites* spp., *Praetollia* spp., *Strajevskya* spp., *Lagonibelus* spp., *Simobelus* spp., *Pachyteuthis* sp., *Aguilerella* sp., *Inoceramus* spp., *Spirolectammina vicinalis*, *Dorothia tortuosa*, *Pseudolamarckina voliaensis*, *Tolyrammina virgula*, *Planularia pressula* и др. Толщина отложений достигает до 100 м. Свита залегает на глинистых породах лопсинской свиты [Решение..., 2004].

*Гольчихинская свита* (верхний бат-нижнеберриасский возраст) была выделена в 1986 г. Кислухиным В.И. у пос. Гольчиха близ устья р. Енисей, в скважине Дерябинская 5, в интервале глубин 2937-3312 м [Кукушкина, Кислухин, 1983; Кислухин, 1986]. Свита находится на северо-восточной окраине Западно-Сибирского бассейна в Гыданском СФР. Породы свиты представлены мощной толщей до 950 м аргиллитов, с прослойми алевролитов, реже песчаников. С

гольчихинскими отложениями связаны следующие фоссилии: *C Craspedites sp. ind.*, *Quenstedtoceras spp.*, *Longaeciceras spp.*, *Cadoceratinae*, *Kosmoceras*, *Arctocephalitinae*, *Buchia spp.*, *Tolyrammina virgula*, *Planularia pressula* и др. [Решение..., 2004]. Стратиграфическим аналогом баженовской свиты являются верхние горизонты глинистых, прослойми углеродистых отложений гольчихинской свиты, охарактеризованные комплексами морских макро- и микрофоссилий, типичных для баженовского горизонта [Шурыгин и др., 2000; Рыжкова и др., 2018].

*Яновстанская свита* (верхнекиммериджско-нижнеберриасский возраст) была выделена А.А. Булынниковой и А.Н. Резаповым в 1965 г. со стратотипом в Туруханской опорной скважине в интервале 2032-2260 м [Белкина и др., 1965; Решения ..., 1969]. Свита развита на востоке Западной Сибири в пределах Тазо-Хетского СФР [Решение..., 2004]. Свита состоит из глин и аргиллитов с подчиненным количеством пластов песчаников и алевролитов. Как стратиграфическое подразделение яновстанская свита выделяется по характерным комплексам фоссилий, среди которых *C Craspedites sp.*, *Laugeites sp. ind.*, *Dorsoplanites spp.*, *Pectinatites spp.*, *Amoeboceras spp.*, *Rasenia spp.*, *Prorasenia sp. ind.*, *Pictonia sp. ind.*, *Lagonibelus gustomesovi*, *Simobelus russiensis*, *S. mamillaris*, *Cylindroteuthis comes*, *Pachyteuthis spp.*, *Buchia spp.*, *Ammodiscus veteranus*, *Evolutinella emeljanzevi*, *Spiroplectammina vicinalis*, *Dorothia tortuosa*, *Pseudolamarckina lopsiensis*, *Haplophragmoides canuiformis* и др. Толщина яновстанской свиты достигает до 700 м. Свита подстилается песчаниками и алевролитами сиговской свиты [Решение..., 2004]. Стратиграфическим аналогом баженовской свиты являются верхние горизонты глинистых, прослойми углеродистых отложений яновстанской свиты, содержащие комплексы морских макро- и микрофоссилий, характерных для баженовского горизонта [Шурыгин и др., 2000; Рыжкова и др., 2018].

*Максимоярская свита* (киммеридж-берриасский возраст) была выделена М.А. Толстухиной в 1965 г. в разрезе Максимоярской опорной скважины в интервале 1916-2009 м [Решения ..., 1969; Шурыгин и др., 2000; Решение ..., 2004].

Свита развита на территории Чулымо-Тасеевского СФР (Чулымо-Тасеевская ФО). К максимоярской свите относятся прослои прибрежно-морских отложений в составе существенно континентальной толщи [Шурыгин и др., 2000]. Свита представлена голубовато- и зеленовато-серыми песчаниками с прослойми алевролитов и красно-коричневых глин, толщина отложений до 90 м. В южном направлении толщина свиты сокращается до 64-73 м, несмотря на существенное опесчанивание разреза, ещё южнее (Чулымская площадь) происходит сокращение толщины свиты до полного отсутствия отложений баженовского горизонта. С максимоярской свитой связаны находки *Meleagrinella ovalis*. Свита с перерывом залегает на глинах и алевролитах с прослойми песчаников тяжинской свиты (верхний бат-оксфордский возраст) [Булынникова и др., 1968; Шурыгин и др., 2000; Решение..., 2004; Рыжкова и др., 2018].

*Баганская свита* (кимеридж-берриасский возраст) выделена В.А. Мартыновым по разрезу скважины Южно-Чулымская 1, в интервале 1090-1214 м [Решения..., 1991; Решение..., 2004]. Свита распространена на крайнем юге Западной Сибири в Баганском СФР. Свита состоит из светло-серых и зеленовато-серых песчаников, иногда с глауконитом, и глин известковистых до мергелей. Как стратиграфическое подразделение баганская свита выделяется по характерным комплексам фоссилий, среди которых *C Meleagrinella recta*, *M. Subovalis*, *Liostrea sibirica*, *Exogyra nana*, *Miliammina zolotorevae*, *Trochammina elevate*. Баганская свита с перерывом залегает на глинах с прослойми песчаников татарской свиты. Толщина свиты достигает до 130 м [Шурыгин и др., 2000; Решение..., 2004].

Изучением коллекторских свойств баженовской и тутлеймской свит начиная с 70-х годов XX века занимались Ф.Г. Гураи, И.И. Нестеров, Ф.К. Салманов, Г.Р. Новиков, А.В. Тян, А.Д. Алексеев, Н.С. Балушкина, Ф.Я. Боркун, В.М. Добрынин, Т.В. Дорофеева, Ю.В. Желтов, О.Г. Зарипов, Б.Н. Зубарев, М.Ю. Зубков, Г.А. Калмыков, Ю.Н. Карогодин, А.Э. Конторович, Б.А. Лебедев, К.И. Микуленко, В.Д. Немова, И.Н. Ушатинский, Г.Э. Прозорович, Б.Н. Пьянков, В.П. Толстолыткин, А.А. Трофимук, В.С. Славкин, В.П. Степанов, и др. [Салымский..., 1970; Прозорович и др., 1973б; Гураи, 1974; Гураи, 1981;

Микуленко, 1974; Зарипов, Нестеров, 1977; Булынникова и др., 1978; Нестеров, 1979; Вебер, Коцеруба, 1979; Лебедев и др., 1979; Дорофеева и др., 1979; Трофимук, Карогодин, 1981; Доманикиты..., 1982; Добрынин, 1982; Дорофеева и др., 1983; Желтов и др., 1984; Толстолыткин, Зубарев, 1984; Зубков и др., 1986; Нестеров и др., 1987; Ушатинский, 1989; Степанов и др., 2007; Славкин и др., 2007; Алексеев и др., 2009; Немова и др., 2011; Балушкина и др., 2013; Калмыков и др., 2015; Конторович и др., 2018; и др.].

При изучении геохимических особенностей нефти баженовской свиты были выявлены и изучены твёрдые битумы, наблюдаемые в виде тонких линз, прослойков и заполнений онихитес [Конторович и др., 1999а]. По комплексу признаков твердые битумы отнесены к керитам. При исследовании твердых битумов, как и для нормальных битумоидов и нефти генетически связанных с баженовской свитой, было отмечено высокое содержание ванадия (ванадиловых порфиринов), наследующего углеродный скелет от хлорофиллов живого вещества [Колганова, Конторович, 1966; Конторович, 1967; Конторович и др., 1975; Гончаров и др., 1985; Конторович и др., 1999б; Peters et al., 1994; и др].

## **1.2 Структурная карта кровли баженовского горизонта. Тектоника**

Тектоническое строение районов Западной Сибири рассматривается во многих научных публикациях. Наиболее известными являются карты под редакцией Н.Н. Ростовцева, В.Д. Наливкина, Г.К. Боярских, В.Г. Смирнова, М.Я. Рудкевича, Ф.Г. Гурари, И.И. Нестерова, Л.И. Ровнина, В.И. Шпильмана, А.Э. Конторовича, В.А. Конторовича, в которых отражена структура юрского тектонического яруса, а также работы В.С. Бочкирева, Г.К. Боярских, В.В. Гребенюка, О.Г. Жеро, И.А. Иванова, В.П. Казаринова, А.Э. Конторовича, В.А. Конторовича, К.И. Микуленко, В.Д. Наливкина, И.И. Нестерова, Л.И. Ровнина, Н.Н. Ростовцева, М.Я. Рудкевича, Ф.К. Салманова, В.Г. Смирнова, В.С. Старосельцева, В.С. Суркова, В.М. Тищенко, В.И. Шпильмана и др.

Формирование осадочного чехла Западно-Сибирского бассейна началось примерно 230 млн лет назад (средний триас) [Конторович и др., 1975]. В

геологической истории Западно-Сибирской плиты на протяжении мезозоя и кайнозоя существовало несколько крупных этапов эволюции седиментационного бассейна, связанных с особенностями структуры, тектоническими движениями (рельеф) и изменениями климата, влияющих на толщину накапливающихся осадков, их размещение, вещественный состав и размерность терригенного материала [Казаринов, 1958, Конторович и др., 1975; Булынникова и др., 1978; Нестеров и др., 1987; Конторович и др. 2013; Конторович и др. 2019].

Структурный план мезозойско-кайнозойского чехла Западно-Сибирской плиты был сформирован под воздействием завершающих движений структурных зон и блоков фундамента, образованных покровно-складчатыми системами рифейского, палеозойского возрастов и раннетриасовой рифтовой системой, поскольку импульс направленных тектонических движений в структурных зонах сохраняется после их образования в течение 200-250 млн лет [Западная Сибирь. Геология..., 2000].

До начала широкомасштабных геофизических исследований Западно-Сибирской плиты и бурения в 1949-1955 гг. опорных скважин тектонические схемы строения складчатого фундамента плиты основывались только на анализе тектонических структур складчатого обрамления фундамента по результатом магнитных съемок, геологических и геоморфологических карт.

В последующие годы схемы тектонического районирования платформенного чехла Западной Сибири и отдельных её крупных частей были построены следующими авторскими коллективами: в 1958 г., 1961 г., 1964 г., 1968 г. – под редакцией Н.Н. Ростовцева [Алексерова и др., 1958; Ростовцев, 1961]; в 1958 г. – под редакцией Д.В. Дробышева и В.П. Казаринова [Геология и нефтеносность..., 1958]; в 1964 г. – под редакцией Г.К Боярских [Боярских и др., 1965]; в 1971 г. – под редакцией Ф.Г. Гураги [Гураги и др., 1971]; в 1974 г. – под редакцией И.И. Нестерова [Конторович и др., 1975]; в 1981 г. – под редакцией В.С. Суркова и О.Г. Жеро [Сурков, Жеро, 1981]; 1984 г. – под редакцией В.С. Суркова [Мегакомплексы..., 1986]; 1987 г., 1999 г., 2005 г. – под редакцией В.С. Бочкарева [Бочкарев, 1987; Бочкарев, 1999; Бочкарев и др., 2014]; в 1998 г. – под редакцией

В.И. Шпильмана, Н.И. Змановского и Л.П. Подсосовой [Атлас..., 2004]; в 2001 г. – под редакцией А.Э. Конторовича [Конторович и др., 2001] и др.

Вопросы классификации тектонических структур платформенного чехла освещены в работах В.Д. Наливкина, В.С. Бочкарева, Г.К. Боярских, Ф.Г. Гуари, В.П. Казаринова, А.Э. Конторовича, В.А. Конторовича, К.И. Микуленко, И.И. Нестерова, Н.Н. Ростовцева, М.Я. Рудкевича, В.С. Старосельцева, Ф.К. Салманова, В.С. Суркова и др.

Изучение разными авторами структурных поверхностей мезозойско-кайнозойского осадочного чехла, построенных по различным реперным горизонтам, выявило в их строении на территории Западно-Сибирского бассейна принципиальные отличия.

Принципы и классификация платформенных тектонических структур были разработаны в 1963 г. В.Д. Наливкиным. Позднее М.Я. Рудкевичем и Ф.Г. Гуари были предложены существенные уточнения классификации и выделены 3 региональные структуры: Внешний пояс геосинеклизы, Ямало-Карская региональная депрессия; Среднеобская региональная ступень. В 2001 г. в ИГНГ СО РАН в соавторстве со специалистами научных коллективов и ведущих производственных геологических организаций с учетом предложенных В.А. Конторовичем с соавторами уточнений классификации тектонических структур (Таблица 1.1) были построены тектонические карты юрского и нижний мел-туронского комплексов [Конторович и др., 2001].

В осадочном чехле Западной Сибири выделяются два мегарегиональных флюидоупора, представленные выдержаными по толщине глинистыми и кремнисто-глинистыми толщами, сформировавшимися в эпохи трансгрессий и распространенными на обширных территориях, – баженовский горизонт и кузнецковская свита. Этим же геологическим реперам соответствуют наиболее энергетически выраженные отражающие сейсмические горизонты, что позволяет по результатам сейсморазведочных работ картировать поверхности мегарегиональных флюидоупоров [Конторович и др., 2001].

В основу описания современного структурного плана территории исследования положена карта тектонического районирования под редакцией А.Э. Конторовича [Конторович и др., 2001] по кровле юры Западно-Сибирского осадочного бассейна (Рисунок 1.3, Рисунок. 1.4).

Площадь распространения юрского структурно-формационного комплекса Западно-Сибирской геосинеклизы составляет почти 2692 тыс. км<sup>2</sup>. В его пределах выделены 595 тектонических элементов, в том числе 3 – региональные структуры, 12 – надпорядковые структуры, 13 – структуры нулевого порядка, 65 – структуры I порядка, 103 – структуры II порядка и 399 – структуры III порядка [Конторович и др., 2001]. Среди структур, выделенных на тектонической схеме юрского структурного яруса, положительными являются 294, отрицательными – 269, промежуточными – 29. По «критерию замкнутости» тектонические элементы являются: замкнутыми, полузамкнутыми, незамкнутыми. Согласно «критерию формы», выделяются изометричные и линейные тектонические элементы.

Таблица 1.1 – Классификация тектонических элементов мезозойско-кайнозойских платформенных отложений Западно-Сибирской геосинеклизы [по В.Д. Наливкину (1963 г.) с уточнениями В.А. Конторовича и др., 2001]

ТЕКТОНИЧЕСКИЕ ЭЛЕМЕНТЫ									
Порядок структур	Положительные			Отрицательные			Промежуточные		
	Замкнутые	Полузамкнутые	Незамкнутые	Замкнутые	Незамкнутые	Полузамкнутые	Незамкнутые	Замкнутые	Незамкнутые
Изометр ичные	Линейные	Изометричные	Линейные	Линейные	Изометричные	Линейные	Изометричные	Линейные	Изометричные
Над- порядковые $S > 60000-$ $200000 \text{ км}^2$	Мега- гряда	Мега- геми- антеклиза	Наклонная мегагряда	Mega- sinekliz a	Мега- желоб	Мега- геми- синеклиза	Наклонный мегажелоб	-	Mega- mono- клиза
0 порядка $S > 20000-$ $60000 \text{ км}^2$	Анте- клиза	Гряды	Геми- антеклиза	Наклонная гряда	Cine- kliiza	Желоб	Геми- синеклиза	Наклонный желоб	-
I порядка ( $S = > 6000 -$ $20000 \text{ км}^2$ )	Свод	Мегава- л	Струк- турный мегамыс	Наклон- ный мегавал	Мега- выступ	Мега- впадина	Мега- прогиб	Струк- турный мегазалив	Megavrez
II порядка ( $S = > 2000 -$ $6000 \text{ км}^2$ )	Куполо- видное мегапод- нятие	Мезова- л	Струк- турный мезомыс	Наклон- ный мезовал	Мезо- выступ	Мезо- впадина	Мезо- прогиб	Струк- турный мезозалив	Megavrez
III порядка ( $S = > 200 -$ $2000 \text{ км}^2$ )	Куполо- видное мезо- поднятие	Вал	Струк- турный мыс	Наклон- ный вал	Выступ	Впадина	Прогиб	Структур- ный залив	Мезо- седло- вина
IV порядка ( $S < 200 \text{ км}^2$ )	Локальное поднятие	-	-	-	-	Локальная впадина	-	-	-

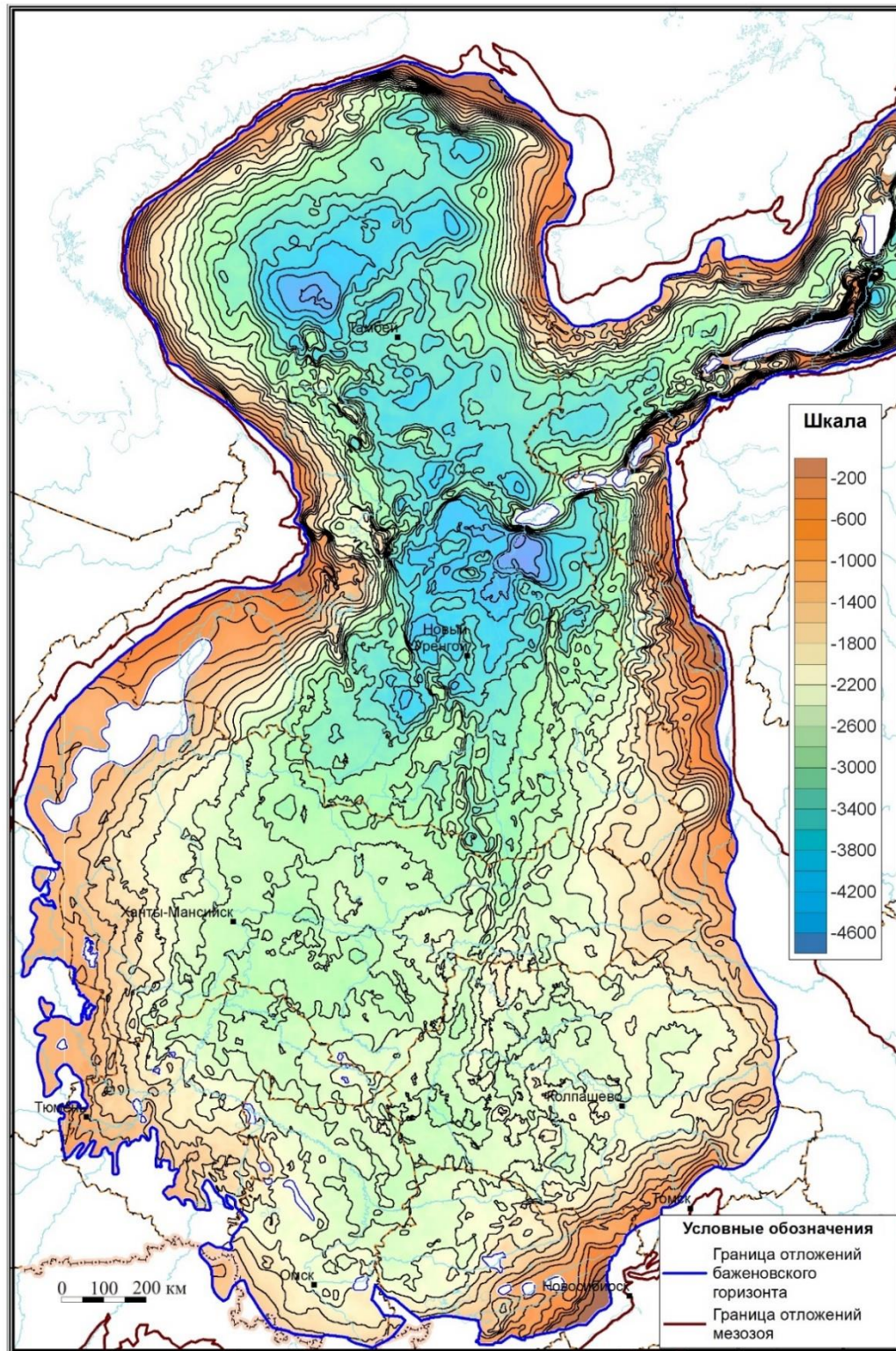


Рисунок 1.3 – Структурная карта по кровле юрского комплекса Западно-Сибирской геосинеклизы [Конторович и др., 2001]

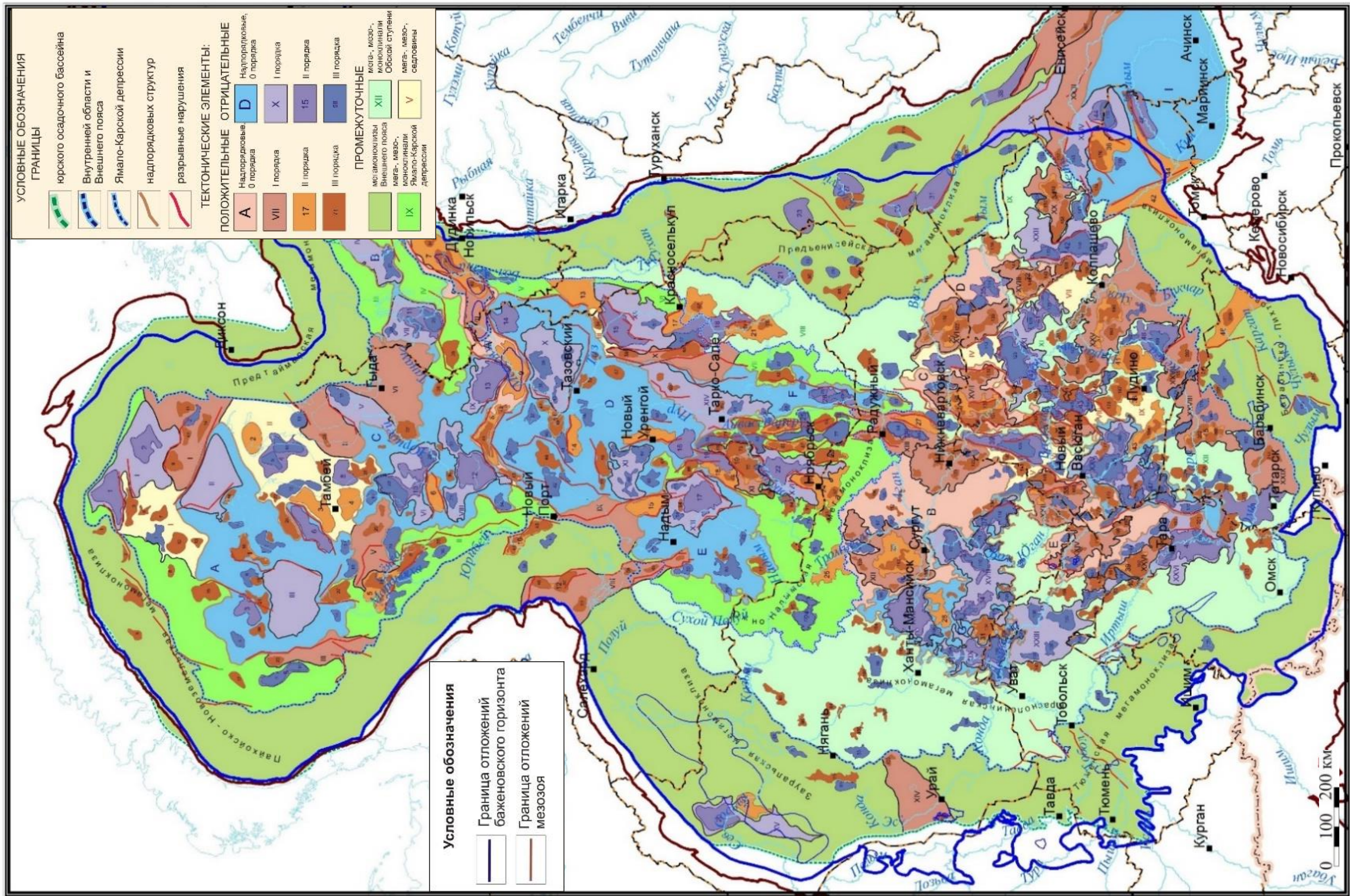


Рисунок 1.4 – Карта тектонического районирования кровли юрского комплекса Западно-Сибирской геосинеклизы [Конторович и др., 2001]

Условные обозначения к Рисунку – 1.4

## ТЕКТОНИЧЕСКИЕ ЭЛЕМЕНТЫ надпорядковые, 0, I, II, III порядков

## ПОЛОЖИТЕЛЬНЫЕ

	<b>Надпорядковые структуры и структуры 0 порядка</b>		<b>II порядка</b>		<b>III порядка</b>		<b>III порядка</b>		<b>III порядка</b>
	Мессояхская наклонная гряда	32	Пайдугинско-Береговое куполовидное мезоподнятие	52	Тазовское кп	119	Борский вал	186	Ягыл-Яхский вал
B	Хантейская гемиантеклиза	33	Васюгаский мезовал	53	Усть-Юридейское кп	120	Еврикское кп	187	Юбилейное кп
C	Обь-Васюганская гряда	34	Белоноговское куполовидное мезоподнятие	54	Русско-Реченское кп	121	Верхнеажарминское кп	188	Яртояхский вал
D	Куржинская гряда	35	Нововасюганский мезовал	55	Западно-Песцовское кп	122	Сосновский вал	189	Чинжарское кп
E	Верхневасюганская антеклиза	36	Степановское куполовидное мезоподнятие	56	Песцовский вал	123	Ореховское кп	190	Игольско-Таловое кп
	<b>I порядка</b>	37	Колпашевский мезовал	57	Заполярное кп	124	Советско-Соснинское кп	191	Тайчинский вал
I	Северо-Тамырский наклонный мегавал	38	Пудинское куполовидное мезоподнятие	58	Русский вал	125	Центрально-Ажарминский вал	192	Нововасильевское кп
II	Северо-Гыданский мегавыступ	39	Васильевский мезовал	59	Шугинский вал	126	Вахсеское кп	193	Тигинский вал
III	Притайхийский мегавыступ	40	Смоленский наклонный мезовал	60	Ярудейский вал	127	Охтейское кп	194	Лавровский вал
IV	Тундровый мегавыступ	41	Горелоярское куполовидное мезоподнятие	61	Юбилейное кп	128	Южно-Майзасское кп	195	Ивановское кп
V	Бованенковско-Нурминский наклонный мегавал	42	Белоярский мезовыступ	62	Фарковское кп	129	Зайцевский вал	196	Зимнее кп
VI	Гыданский мегавыступ	43	Лавровский наклонный мезовал	63	Уренгойское кп	130	Южно-Ажарминский вал	197	Седельниковское кп
VII	Усть-Портовский мегавыступ	44	Зимовский мезовыступ	64	Западно-Пангодинский вал	131	Зап.-Александровский стр. мыс	198	Таволгинское кп
VIII	Ярудейский мегавыступ	45	Западно-Межевское куполовидное мезоподнятие	65	Южно-Русский вал	132	Окуневский вал	199	Бочкаревско-Камышинское кп
IX	Медвежье-Нутинский наклонный мегавал	46	Верхнешегарский мезовыступ	66	Ямсовское кп	133	Криволуцкий вал	200	Олимпийское кп
X	Часельский наклонный мегавал		<b>III порядка</b>	67	Красноселькупское кп	134	Верхнесалымское кп	201	Муромцевское кп
XI	Северный свод	1	Грушевое кп	68	Северо-Губкинский вал	135	Колонковый вал	202	Братский вал
XII	Сургутский свод	2	Серповый вал	69	Восточно-Таркосалинское кп	136	Киняминский вал	203	Сергеевское кп
XIII	Варьеганско-Тагринский мегавыступ	3	Северо-Карский вал	70	Хойтаркинское кп	137	Полуденный стр. мыс	204	Паганийское кп
XIV	Шаимский мегавыступ	4	Мотыжное кп	71	Западно-Таркосалинский вал	138	Тымское кп	205	Южно-Калгачский вал
XV	Нижневартовский свод	5	Внешнее кп	72	Верхнетанловское кп	139	Северо-Демянское кп	206	Веселовское кп
XVI	Пыль-Караминский мегавал	6	Кольевое кп	73	Пурпейское кп	140	Кедровско-Матюшкинское кп	207	Голубкинское кп
XVII	Александровский свод	7	Щитовое кп	74	Южно-Худосейский вал	141	Границный вал	208	Воробьевское кп
XVIII	Пайдугинский мегавал	8	Моноклинальное кп	75	Пякупурское кп	142	Мурасовский выступ	209	Пихтовское кп
XIX	Средневасюганский мегавал	9	Выступное кп	76	Ингуземское кп	143	Ледовое кп	210	Большереченское кп
XX	Владимировский структурный мегамыс	10	Седловинное кп	77	Хеттинское кп	144	Западно-Пайдугинское кп	211	Дубровское кп
XXI	Верхнекетский мегавыступ	11	Притаймырское кп	78	Восточно-Толькинское кп	145	Северо-Васюганский вал	212	Чернолучинское кп
XXII	Каймысовский свод	12	Согласное кп	79	Муравленковское кп	146	Трассовое кп	213	Нижнеомское кп
XXIII	Казачинский мегавыступ	13	Южно-Седловинное кп	80	Потымецкий наклонный вал	147	Кальчинско-Демянское кп	214	Тебисский выступ
XXIV	Верхнедемянский мегавал	14	Ножевой вал	81	Северо-Етыпурский вал	148	Берегово кп	215	Индерский вал
XXV	Параильский наклонный мегавал	15	Меридиональное кп	82	Харампурский вал	149	Катыльгинское кп		
XXVI	Пологрудинский мегавал	16	Шубертовский вал	83	Вынгаяхинский вал	150	Вездеходное кп		
XXVII	Калгачский наклонный мегавал	17	Северо-Западное кп	84	Коллективное кп	151	Первомайский вал		
XXVIII	Межевский структурный мегамыс	18	Северо-Рагозинское кп	85	Западно-Ватгорское кп	152	Тростниковый стр. мыс		
XXIX	Тебисско-Воробьевский структурный мегамыс	19	Подшапочное кп	86	Северо-Сургутское кп	153	Минкайское кп		
	<b>II порядка</b>	20	Западно-Маточкинское кп	87	Вынгапукунинское кп	154	Ларломкинское кп		
1	Рагозинский мезовал	21	Восточно-Маточкинское кп	88	Южно-Потымецкий накл. Вал	155	Тибинацкое кп		
2	Неупокоевское куполовидное мезоподнятие	22	Дровяное кп	89	Ноябрьское кп	156	Новотевризский вал		
3	Северо-Тамбейский мезовал	23	Западно-Карское кп	90	Раттовское кп	157	Ярское кп		
4	Южно-Тамбейское куполовидное мезоподнятие	24	Малыгинский вал	91	Итурский стр. мыс	158	Ингузецкий вал		
5	Нурминский мезовал	25	Западно-Зеленомысовское кп	92	Ярайнерское кп	159	Тамаргинское кп		
6	Геофизический мезовал	26	Восточно-Зеленомысовский вал	93	Холмогорское кп	160	Куржинское кп		
7	Рассохинский мезовыступ	27	Харасавьеское кп	94	Кельсинское кп	161	Двойной стр. мыс		
8	Нижнемессояхский мезовал	28	Пэксадское кп	95	Вынгапурское кп	162	Лонтыньяхский вал		
9	Среднемессояхский мезовал	29	Восточно-Бованенковский вал	96	Няргинский выступ	163	Сильгинское кп		
10	Южно-Ямальский мезовал	30	Бованенковское кп	97	Пограничное кп	164	Мыльджинское кп		
11	Юрхаровский мезовал	31	Верхненянгдинское кп	98	Верхнекаралькинское кп	165	Усть-Тегусский вал		
12	Шучинский мезовал	32	Гыданское кп	99	Северо-Сымское кп	166	Нарымский вал		
13	Тогульский мезомыс	33	Северо-Арктический вал	100	Ендырский вал	167	Длинный вал		
14	Оликуминский мезовал	34	Суходудинское кп	101	Верхнетазовское кп	168	Минасовское кп		
15	Медвежий мезовал	35	Южно-Арктический вал	102	Верхненадымский вал	169	Герасимовский вал		
16	Центрально-Уренгойский мезовал	36	Южно-Гыданское кп	103	Северо-Зенковское кп	170	Сенъкинское кп		
17	Северо-Красноселькупский мезовыступ	37	Устьмалахеттинское кп	104	Среднеляминский вал	171	Соболинный вал		
18	Ярзийский наклонный мезовал	38	Трехбуторное кп	105	Верхнеколыкьеское кп	172	Южно-Демянское кп		
19	Среднепурпейское куполовидное мезоподнятие	39	Пагодское кп	106	Ягунское кп	173	Карандашовское кп		
20	Алтатумское куполовидное мезоподнятие	40	Устьсоленый вал	107	Среднезенковский вал	174	Западно-Чачанское кп		
21	Южно-Красноселькупский мезовыступ	41	Нижнетояхский вал	108	Южно-Селькупское кп	175	Болотниковское кп		
22	Етыпурский мезовал	42	Устьхореутгэнское кп	109	Северо-Тетеревское кп	176	Чачанская кп		
23	Вынгапурский мезовал	43	Парусный вал	110	Варьеганский вал	177	Фестивальный вал		
24	Ортъягунский мезомыс	44	Малоямальское кп	111	Среднекасский вал	178	Лугинецкое кп		
25	Лукъянинский наклонный мезовал	45	Новопортовский вал	112	Тевлинско-Венглинский вал	179	Крапивинско-Монсеевское кп		
26	Центрально-Сургутское куполовидное мезоподнятие	46	Еркутаяхинское кп	113	Федоровско-Минчининское кп	180	Инкинское кп		
27	Айтульский мезовал	47	Находкинский вал	114	Северо-Майзасский вал	181	Тайтымское кп		
28	Салымское куполовидное мезоподнятие	48	Ямбургское кп	115	Южно-Зенковское кп	182	Шудельское кп		
29	Сосново-Борское куполовидное мезоподнятие	49	Юрхаровское кп	116	Пимский вал	183	Наталынский вал		
30	Трайгородский вал	50	Танловояхинский вал	117	Сев.-Ажарминский вал	184	Восточно-Казачинский вал		
31	Демьянское куполовидное мезоподнятие	51	Хадытаяхинское кп	118	Самотлорское кп	185	Кулайский вал		

## Условные обозначения к Рисунку – 1.4

## ТЕКТОНИЧЕСКИЕ ЭЛЕМЕНТЫ надпорядковые, 0, I, II, III порядков

## ОТРИЦАТЕЛЬНЫЕ

	<b>Надпорядковые структуры и структуры 0 порядка</b>		<b>II порядка</b>		<b>III порядка</b>		<b>III порядка</b>		<b>III порядка</b>	
A	Карская мегасинеклиза	29	Безымянный мезопрогиб	43	Нижнемессояхский прогиб	108	Малореченская впадина	173	Северо-Казанская впадина	
B	Агапско-Енисейский желоб	30	Сытоминская мезовпадина	44	Верхнепойловояхский прогиб	109	Северо-Косецкий прогиб	174	Южно-Казанская впадина	
C	Антипаютинско-Тадебеяхинская мегасинеклиза	31	Верхневахская мезовпадина	45	Верхнеиндикъянская впадина	110	Южно-Гантельская впадина	175	Южно-Седельниковский прогиб	
D	Большехетская мегасинеклиза	32	Ларькская мезовпадина	46	Хаддутейский прогиб	111	Северо-Рыскинская впадина	176	Пешковская впадина	
E	Мегасинеклизаадымская гемисинеклиза	33	Северо-Юганский мезопрогиб	47	Среднетабояхинский прогиб	112	Восточно-Кондинский прогиб	177	Муромцевская впадина	
F	Среднепурский наклонный мегајелоб	34	Салымский мезопрогиб	48	Верхненыдинский прогиб	113	Сангильская впадина	178	Среднешимская впадина	
G	Манисийская мегасинеклиза	35	Косецкий мезопрогиб	49	Западно-Уренгойская впадина	114	Южно-Ныдинская впадина	179	Шипицинский накл. прогиб	
H	Колтогорско-Нюрольский желоб	36	Усть-демьянская мезовпадина	50	Южно-Ныдинская впадина	115	Южно-Рыскинский прогиб	180	Дедовская впадина	
I	Тегульдетская мегагемисинеклиза	37	Придемьянский мезопрогиб	51	Сидоровская впадина	116	Лымкайская впадина	181	Николаевская впадина	
	<b>I порядка</b>	38	Верхнекетский мезоврез	52	Правонадымская впадина	117	Западно-Юганская впадина	182	Михайловская впадина	
I	Северо-Карская мегавпадина	39	Колтогорский мезопрогиб	53	Западно-Коротчаевская впадина	118	Малоюганская впадина	183	Чулымская впадина	
II	Центрально-Карская мегавпадина	40	Неготский мезопрогиб	54	Правохеттинская впадина	119	Юровская впадина			
III	Южно-Карская мегавпадина	41	Пыжинский мезопрогиб	55	Хеттинский прогиб	120	Южно-Юганская впадина			
IV	Агапский мегапрогиб	42	Варгатский мезопрогиб	56	Пыряхинская впадина	121	Северо-Тоголикская впадина			
V	Среднегыданский мегаврез	43	Сампратский мезопрогиб	57	Среднечесальский накл. прогиб	122	Северо-Ледовая впадина			
VI	Тадебеяхинский мегапрогиб	44	Южно-Киселевская мезовпадина	58	Среднеямбяхинский накл. прогиб	123	Неготская впадина			
VII	Енисейская мегавпадина	45	Центральнонюрольская мезовпадина	59	Верхнехейгейхская впадина	124	Большекуньязкий прогиб			
VIII	Яптикасалинская мегавпадина	46	Тегульдетский мезопрогиб	60	Ловохеттинская впадина	125	Ильякская впадина			
IX	Восточно-Антипаютинская мегавпадина	47	Южно-Нюрольская мезовпадина	61	Северо-Харампурская впадина	126	Кульганская накл. прогиб			
X	Северо-Газовская мегавпадина	48	Бакчарская мезовпадина	62	Левонадымский прогиб	127	Заболотная впадина			
XI	Нерутинская мегавпадина	49	Муромцевская мезовпадина	63	Восточно-Пурпейский прогиб	128	Туртасский прогиб			
XII	Тазовский структурный мыс	50	Кыштовский наклонный мезопрогиб	64	Среднекарампурская впадина	129	Северо-Пыжинская впадина			
XIII	Верхнетандовская мегавпадина		<b>III порядка</b>	65	Верхнекуповатский прогиб	130	Западно-Пихтовская впадина			
XIV	Среднепурский наклонный мегапрогиб	1	Промежуточная впадина	66	Новинская впадина	131	Бореуковская впадина			
XV	Висимский наклонный мегапрогиб	2	Северо-Восточный прогиб	67	Восточно-Харампурская впадина	132	Южно-Таголикская впадина			
XVI	Пякупурско-Ампутинский наклонный мегапрогиб	3	Белая впадина	68	Южно-Харампурская впадина	133	Северо-Варгатская впадина			
XVII	Тундринская мегавпадина	4	Внешняя впадина	69	Етыпурровский прогиб	134	Южно-Неготская впадина			
XVIII	Юганская мегавпадина	5	Тареякская впадина	70	Унторский прогиб	135	Южно-Пыжинский прогиб			
XIX	Нижнедемьянская мегавпадина	6	Шапочная впадина	71	Верхнепякупурская впадина	136	Атнисская впадина			
XX	Кетский мегаврез	7	Скуратовская впадина	72	Вынглорская впадина	137	Северо-Мыльдинская впадина			
XXI	Усть-Тымская мегавпадина	8	Шокальская впадина	73	Раттовская впадина	138	Южно-Колтогорская впадина			
XXII	Восточно-Пайдугинская мегавпадина	9	Северо-Вайгачская впадина	74	Восточно-Вынглорский прогиб	139	Бичаская впадина			
XXIII	Среднетобольский наклонный мегапрогиб	10	Песчаная впадина	75	Верхненятюнгягунская впадина	140	Южно-Турьяхская впадина			
XXIV	Киселевский структурный мегазалив	11	Южно-Вайгачская впадина	76	Северо-Аганская впадина	141	Авякская впадина			
XXV	Нюрольская мегавпадина	12	Дровяной прогиб	77	Ярайперская впадина	142	Балкинская впадина			
XXVI	Муромцевско-Седельниковский наклонный мегапрогиб	13	Оленяя впадина	78	Поколькинская впадина	143	Центральный прогиб			
	<b>II порядка</b>	14	Шараповская впадина	79	Южно-Аганская впадина	144	Восточно-Тамаргинская впадина			
1	Новоземельская мезовпадина	15	Среднеесаяхская впадина	80	Восточно-Ярайнерский прогиб	145	Тоголикская впадина			
2	Северная мезовпадина	16	Пыкахаяхская впадина	81	Нягенская впадина	146	Карагайский прогиб			
3	Извилистая мезовпадина	17	Якимская впадина	82	Верхнетазовская впадина	147	Восточно-Варгатская впадина			
4	Северо-Гыданская мезовпадина	18	Тивтеяхская впадина	83	Ваньеганская впадина	148	Южно-Варгатская впадина			
5	Прироливный мезопрогиб	19	Поруйская впадина	84	Соимский прогиб	149	Салатский прогиб			
6	Верхнетамбейский мезопрогиб	20	Поликарповская впадина	85	Аганский прогиб	150	Южно-Каймысовская впадина			
7	Агапская мезовпадина	21	Мунгуйский прогиб	86	Итьяхская впадина	151	Озерная впадина			
8	Монгтеяхинская мезовпадина	22	Первая Белая впадина	87	Ягунская впадина	152	Еленкинский прогиб			
9	Дудылинская мезовпадина	23	Верхнеесаяхская впадина	88	Сынварский прогиб	153	Кулан-Игайская впадина			
10	Парисентовская мезовпадина	24	Нябыякский прогиб	89	Ай-Пимская впадина	154	Аремзянская впадина			
11	Беловская мезовпадина	25	Крестовский прогиб	90	Седельная впадина	155	Киселевская впадина			
12	Чугорная мезовпадина	26	Муртыяхский прогиб	91	Нижнеколыганская впадина	156	Чернокольский прогиб			
13	Внутренняя мезовпадина	27	Носокский прогиб	92	Южно-Ягунская впадина	157	Южно-Соболинская впадина			
14	Южно-Мессояхская мезовпадина	28	Среднеюрибейская впадина	93	Верхнеаганская впадина	158	Северо-Карандашовский врез			
15	Нижнегазовская мезовпадина	29	Карауловская впадина	94	Северо-Безымянная впадина	159	Тамрадская впадина			
16	Ягенетинская мезовпадина	30	Верхнеяхская впадина	95	Дубчесский прогиб	160	Южно-Чачанская впадина			
17	Маретайхинская мезовпадина	31	Южно-Геофизическая впадина	96	Пимский прогиб	161	Форпостовая впадина			
18	Среднетазовский наклонный мезопрогиб	32	Сыдыйский прогиб	97	Верхнеколыганская впадина	162	Северо-Парбигский прогиб			
19	Южно-Ягенетинский наклонный мезопрогиб	33	Долгонский прогиб	98	Усть-Кульганская впадина	163	Осевой прогиб			
20	Северо-Сосьвинская мезовпадина	34	Каменномымская впадина	99	Южно-Безымянный прогиб	164	Ерытовский прогиб			
21	Корелькинская мезовпадина	35	Адергаютинская впадина	100	Западно-Тундринская впадина	165	Восточно-Нюрсинский прогиб			
22	Пякупурский мезопрогиб	36	Еркутаяхская впадина	101	Западно-Ларькский прогиб	166	Тамрадская впадина			
23	Налимья мезовпадина	37	Усть-Пойловояхская впадина	102	Северо-Колтогорская впадина	167	Южно-Пудинский прогиб			
24	Ляминско-Танловская мезовпадина	38	Нижнеиндикъянская впадина	103	Северо-Гантельская впадина	168	Тамянский прогиб			
25	Ярайнерско-Етыпурровский мезопрогиб	39	Среднеиндикъянская впадина	104	Алтайская впадина	169	Южно-Парбигская впадина			
26	Верхнеаганский мезопрогиб	40	Среднепойловояхская впадина	105	Южно-Сымская впадина	170	Антоновская впадина			
27	Среднеелогуйская мезовпадина	41	Западно-Новопортовская впадина	106	Кондинский прогиб	171	Ошский прогиб			
28	Северо-Сымская мезовпадина	42	Ямбургская впадина	107	Северо-Салымский накл. прогиб	172	Северо-Межовский накл. прогиб			

Внешний пояс Западно-Сибирской геосинеклизы площадью 1165.6 тыс. км<sup>2</sup> охватывает краевые районы бассейна. Для него характерно наличие крупных моноклиналей, разделенных незамкнутыми и полузамкнутыми положительными тектоническими элементами I порядка. Среди надпорядковых структур сочленения выделяются следующие структуры: Пайхойско-Новоземельская, Зауральская, Тюменская, Предтаймырская, Предъенисейская и Барабинско-Пихтовская мегамоноклизы; и одна отрицательная полузамкнутая структура – Тегульдетская мегагемисинеклиза. Площади мегамоноклиз, осложняющих Внешний пояс, изменяются в интервале от 93 тыс. км<sup>2</sup> до 314.3 тыс. км<sup>2</sup>. В пределах надпорядковых структур и структур I порядка отмечается незначительное развитие тектонических элементов II и III порядка, представленных куполовидными поднятиями и валами, впадинами и прогибами [Конторович и др., 2001].

Внутренняя область Западно-Сибирской геосинеклизы состоит из Ямalo-Карской депрессии площадью 809.8 тыс. км<sup>2</sup> (30 % от площади геосинеклизы) и Обской ступени площадью 716.6 тыс. км<sup>2</sup> (27 % от площади геосинеклизы). Ямalo-Карская региональная структура представляет собой впадину с изогипсой в рельефе юрских отложений минус 2800 м. Среднеобская региональная ступень является полузамкнутым отрицательным тектоническим элементом. В меридиональном сечении она представляет собой моноклиналь, а в широтном – депрессию. В пределах Ямalo-Карской региональной депрессии выделяются три отрицательные надпорядковые структуры: Карская, Антипаютинско-Тадебеяхинская и Большехетская мегасинелизы, со средней площадью структуры 85.3 тыс. км<sup>2</sup> [Конторович и др., 2001].

В пределах Внутренней области геосинеклизы находятся промежуточные надпорядковые тектонические элементы, представляющие собой зоны сочленения Внешнего пояса и синклинальных зон, осложняющих геосинеклизу – региональных структур: в Ямalo-Карской региональной депрессии – Южно-Надымской мегамоноклизы с площадью структур 166.6 тыс. км<sup>2</sup>; в Среднеобской региональной ступени – Красноленинской мегамоноклизы с площадью структур 163.2 тыс. км<sup>2</sup>.

Анализ изменения толщин отложений позволил В.А. Конторовичу с соавторами [Конторович и др., 2001] прийти к выводу, что при унаследованном развитии территории Западно-Сибирского бассейна в целом, когда происходило погружение внутренних районов бассейна относительно внешнего обрамления, а также северной части бассейна относительно южной, в ранний мел-туронский и коньак-кайнозойский этапы развития территории имели место некоторые принципиальные отличия.

Во время раннего мел-туронского этапа тектонического развития Западно-Сибирской геосинеклизы (этап формирования изометрических структур) происходило активное постоянное погружение северных районов геосинеклизы, в результате которого была образована Ямало-Карская региональная депрессия с осложняющими ее отрицательными надпорядковыми структурами. В отличие от неё, Среднеобская региональная ступень в туронском палеорельефе волжских отложений представляла собой ровную, почти горизонтальную поверхность, не имеющую регионального наклона, которая была осложнена структурами разных порядков. В пределах Среднеобской структуры происходил относительный рост изометрических положительных структур, приуроченных к монолитным выступам палеозойского фундамента с сокращенными толщинами домеловых платформенных отложений. Гипсометрическое положение положительных структур I порядка относительно друг друга в туронском палеорельефе кровли юры было отличным от современного. На структурной карте по кровле юрского комплекса наблюдается ступенчатое погружение рельефа структур по линии Александровский свод (с оконтуривающей изогипсой минус 2380 м) – Нижневартовский свод (с оконтуривающей изогипсой минус 2520 м) – Сургутский свод (с оконтуривающей изогипсой минус 2740 м). Авторами [Конторович и др., 2001] отмечается, что в туронском палеорельефе волжских отложений еще не существовало контрастного Колтогорского мезопрогиба (формирование большего количества положительных структур II и III порядка произошло к концу аптского времени, но они не были объединены в современные тектонические структуры более низких рангов), а смежные структуры I порядка принадлежали единому

тектоническому элементу 0 порядка – Александровско-Нижневартовской палеоантеклизе, с перепадом отметок глубин между этой структурой и Сургутским сводом в три раза меньше современного. В результате дальнейшей перестройки рельефа была сформирована новая положительная полузамкнутая структура 0 порядка – Хантийская гемиантеклиза [Конторович и др., 2001].

Принципиальным отличием туронского палеорельефа юрского структурно-информационного комплекса от современного, по мнению В.А. Конторовича с соавторами [Конторович и др., 2001], является «почти полное отсутствие линейно-вытянутых структур, приуроченных к бортовым частям Колтогорского мезопрогиба и Среднепурского жёлоба» [Конторович и др., 2001, с. 1840].

На основе анализа распределения толщин ранних мел-туронских отложений было выявлено, что в пределах Ямalo-Карской депрессии тенденцию к вздыманию испытывали следующие тектонические элементы: Мессояхская наклонная гряда; в пределах Южно-Карской мегаседловины – осложняющие её структуры II порядка; Северный свод, являющийся единственной замкнутой положительной структурой I порядка в пределах Ямalo-Карской депрессии, которая носит унаследованный характер тектонического развития (наиболее активно структура формировалась в кайнозойское время).

Изучение дизъюнктивной тектоники авторами работы «Тектоническое строение...» [Конторович и др., 2001] проводилось на основе анализа следующих параметров: региональных сейсмических разрезов; структурных карт; карт изопахит и градиентов структурных поверхностей; толщин структурно-информационных комплексов. В основе выделения разрывных нарушений, трассирования разломов и их дифференциации по времени формирования и глубине проникновения находятся классические сейсмостратиграфические критерии: нарушение осей синфазности отражающих горизонтов, наличие дифрагированных волн, падение энергетического уровня сейсмической записи и т.д. Зоны увеличенных значений параметра на картах градиентов структурных поверхностей соответствуют зонам разломов [Конторович и др., 2001].

Протяженность и характер разрывных нарушений зависят от интенсивности происходивших на разных этапах развития региона тектонических процессов. На основе анализа сейсмических материалов В.А. Конторовичем с соавторами [Конторович и др., 2001] было выделено два класса постъюрских разрывных нарушений:

- 1) сформированные в берриас-барреме, проникающие в нижнемеловые горизонты. Разрывные нарушения характеризуются разнонаправленностью и незначительной протяженностью;
- 2) сформированные в позднем палеоцене, проникающие в кайнозойские отложения. Разрывные нарушения характеризуются четкой ориентацией север-северо-восточного простирания, образуют региональную систему разломов с протяженностью до сотен километров.

Следует заметить, что близкие по глубине проникновения в осадочный чехол разломы выделяли в 1971 г. Ф.Г. Гураги и его соавторы [Гураги и др., 1971].

Особенностями неотектонических движений на территории Западной Сибири, по данным И.П. Варламова и др. [Варламов и др., 1981], А.Э. Конторовича, В.С. Суркова и др. [Западная Сибирь. Геология..., 2000], являются их общая восходящая направленность. Суммарная амплитуда новейших движений в пределах Западно-Сибирской плиты изменяется от 50-100 до 300-400 м, что значительно меньше по сравнению с амплитудой областей новейшего горообразования Алтае-Саянской области [Западная Сибирь. Геология..., 2000].

### **1.3 Палеогеография волжского века и раннего берриаса**

Палеогеографические реконструкции играют важную роль при анализе закономерностей накопления органического вещества. На территории Западной Сибири палеогеографическими исследованиями мезозойско-кайнозойских пород занимались многие ученые. Наиболее известными являются работы В.П. Казаринова, В.Н. Сакса, А.В. Гольберта, Ф.Г. Гураги, Т.И. Гuroвой, М.С. Зонн, А.Э. Конторовича, И.И. Нестерова, И.Д. Поляковой, З.З. Ронкиной, С.И. Филиной, А.А. Булынниковой, Ю.В. Брадучана, В.П. Девятова,

В.А. Захарова, Ю.Н. Занина, А.М. Казакова, И.Г. Климовой, Л.Ф. Найденова, Л.В. Ровниной, С.В. Рыжковой, В.В. Сапьянича, Б.Н. Шурыгина, В.Г. Эдер, Г.С. Ясовича и др.

В течение юрского периода на территории Западной Сибири произошло несколько этапов смен палеогеографических обстановок. В позднем оксфорде в Евразии началась самая крупная длительная трансгрессия, наступавшая со стороны Арктического бассейна. На значительной территории Западно-Сибирского морского бассейна был сформирован маломощный и хорошо выдержаный по площади глауконитовый глинисто-алевролито-песчаный базальный пласт Ю<sub>1</sub><sup>0</sup> (барабинская пачка) биотурбированный, со множеством остатков морской флоры и фауны [Гурова, Казаринов, 1962; Булынникова и др., 1978; Шурыгин и др., 2000; Эдер, 2006; и др.].

Площадь морского бассейна в кимеридже составляла более 2 млн км<sup>2</sup>. В волжском веке контуры бассейна остались такими же, как и в кимеридже, но увеличились его глубины. Значительно расширились площади глубоководных зон, они составляли около 1 млн км<sup>2</sup> [Конторович и др., 1975; Брадучан и др., 1986].

По данным исследований большинства авторов (В.П. Казаринов, С.П. Булынникова, А.В. Гольберт, Т.И. Гурова, В.П. Девятов, В.А. Захаров, М.С. Зонн, А.Э Конторович, М.В. Корж, И.И. Нестеров, И.Д. Полякова, В.Н. Сакс, С.И. Филина, А.С. Фомичев, и др.) образование баженовской свиты происходило в условиях максимума позднеюрско-неокомской трансгрессии моря эвстатической природы при относительном тектоническом покое на территории Западной Сибири и выравнивании рельефа в её обрамлении [Казаринов, 1958; Гуари и др., 1963; Конторович и др., 1971; Конторович и др., 1975; Гуари, 1981; Брадучан и др., 1986; Девятов и др., 2011; и др.]. В это время в результате устойчивого тектонического опускания значительных территорий произошло погружение под уровень моря кимериджских островов в пределах бассейна [Атлас и объяснительная записка..., 1976].

Согласно палеогеографическим реконструкциям волжского века с учетом результатов исследований последних лет (Рисунок 1.5) главными формами рельефа

были: внутренняя область плиты, представляющая собой обширную Центральную впадину, и внешний пояс, охватывающий впадину. Объектами денудации и источниками терригенного материала были наиболее расчленённые холмогорья Енисейского кряжа и возвышенное плато западных районов Восточно-Сибирской суши с высотами 200-500 м, а также холмогорья и низкогорья Алтая-Саянской складчатой области, денудационная равнина Казахской складчатой страны с небольшими абсолютными высотами порядка 0-200 м [Булынникова и др., 1978; Брадучан и др., 1986; Девятов и др., 2011; Конторович и др., 2013; 2019; и др.].

Сушей в волжское время оставались лишь юго-западные, южные (приказахстанские) и юго-восточные районы плиты. Континентальные отложения в волжское время накапливались лишь на склонах восточного Урала (лангурская свита) [Конторович и др., 1975]. Побережье волжского моря на западе и юге было покрыто зарослями папоротников, среди которых произрастали хвойные леса. Южные береговые зоны также были заняты и хейролепидиевыми кустарниками [Брадучан и др., 1986; Западная Сибирь. Геология..., 2000; Конторович и др., 2019].

На севере, северо-востоке и северо-западе бассейна, на территории палеоостровов Новой Земли, Палеотаймыра и Палеоурала, существовали архипелаги островов, с которых поступало незначительное количество терригенного материала [Булынникова и др., 1978; Брадучан и др., 1986; Девятов и др., 2011; Конторович и др., 2019; и др.] Пролив на северо-востоке был сравнительно мелководным, его существование не оказывало значительного влияния на газовый режим придонных вод Центральной впадины баженовского моря, в то время как через северный глубоководный пролив поступал большой объем арктической воды. По мнению В.А. Захарова [Захаров, 2006], в районе этого порога существовало подводное поднятие, регулировавшее поступление водных масс и аэрацию на дне Центральной впадины при вертикальных движениях [Нестеров и др., 1987; Захаров, 2006].

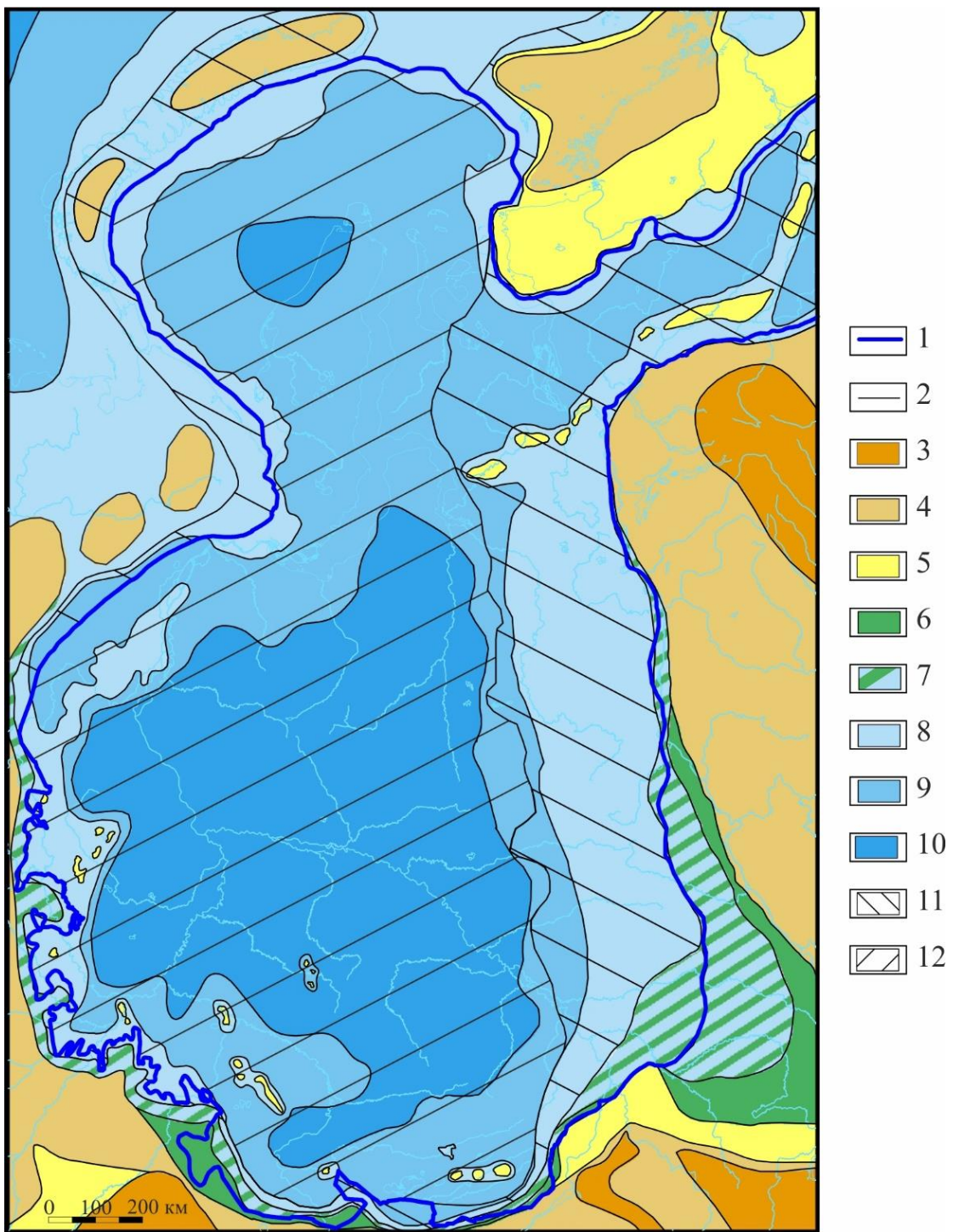


Рисунок 1.5 – Палеогеографическая карта. Волжский век [Конторович и др., 2019]

Условные обозначения: 1 – современная граница регионального распространения пород баженовского горизонта, 2 - границы палеогеографических элементов, 3 - горы низкие, 4 – суша холмистая; равнины: 5 – денудационная, 6 – аккумулятивная, низменная, 7 – аккумулятивная низменная, периодически заливавшаяся морем; море (глубина), м: 8 – <100, 9 – 100-200, 10 – 200-500; 11 – акватория развития маргинальных фильтров, 12 – акватория «голодного» морского бассейна.

В ранневолжское время связь морей Западной Сибири с восточноевропейскими морями (Печорское море и др.) осуществлялась через Уральские проливы. Эта связь в средневолжское время была периодической и непродолжительной и прекратилась в поздневолжское время [Булынникова и др., 1978; Нестеров и др., 1987].

Реконструкции условий осадконакопления в волжско-берриасское время позволили Ф.Г. Гуари, А.В. Гольберту, В.А. Захарову, А.Э. Конторовичу, Б.Л. Никитенко, В.Н. Саксу, Б.Н. Шурыгину и другим исследователям прийти к выводу, что баженовское море было с нормальной солёностью (близкой к современной океанической – 35 ‰). Ю.В. Брадучан с соавторами считают, что даже в прикраевых частях моря, таких как Приполярное Зауралье и Хатангский пролив, согласно составу фауны и биохимическим исследованиям, палеосоленость воды составляла 33-34 ‰ [Брадучан и др., 1986]. При изучении изотопного состава ростров белемнитов В.М. Мазур (1971) пришла к выводу, что температура морского бассейна в начале волжского века была порядка 21 °С, а на границе с валанжинским веком температура понизилась до 15 °С [Филина и др., 1984].

В ориктоценозах баженовского моря разными авторами [Атлас и объяснительная записка..., 1976; Булынникова и др., 1978; Брадучан и др., 1986; Ильин и др., 2005; Захаров, 2006; Девятов и др., 2011; и др.] отмечается преобладание планктонных и нектонных форм и подчинённое значение бентосных фильтраторов низкого уровня, а также отсутствие следов жизнедеятельности редуцентов.

На основе изучения количества и таксономического разнообразия волжских представителей разных групп фауны в разрезах юры Приуральского региона В.П Девятов с соавторами [Девятов и др., 2011] пришли к выводу, что в этой части бассейна существовали условия более теплого и мелководного шельфа с наличием медленных поверхностных течений в Западно-Сибирской акватории, направленных против часовой стрелки [Булынникова и др., 1978]. Существует мнение, что имело место также придонное противотечение, несшее холодные воды Восточной Арктики [Девятов и др., 2011]. В наддонных водах за счет придонных

течений была улучшена аэрация, что способствовало появлению многочисленного и разнообразного микробентоса – фораминефер.

Массовая гибель морских организмов в баженовском море, отмечаемая в работах многих исследователей, была вызвана различными причинами: в центральных районах – наличием мигрирующего сероводородного облака в придонной и наддонной частях бассейна [Булынникова и др., 1978; Конторович и др., 2013; и др.]; в южных и западных прибрежных зонах на большей части открытого моря – проникновением с севера холодных арктических вод [Конторович и др., 1975; Нестеров и др., 1987; и др.]. Ещё одной причиной, обуславливающей угнетенность микрофaуны и моллюсков, по мнению С.Г. Неручева и И.И. Нестерова, было наличие уранового заражения вод центральных районов бассейна [Неручев, 1974, 1982; Нестеров и др., 1987]. Уран и другие элементы, вероятно, поступали в бассейн с фумарольными водами по периодически оживлявшимся глубинным разломам Колтогорско-Уренгойского жёлоба в пределах комплексов позднегерцинской складчатости [Неручев, 1982; Пономарева, 2018].

Оставаясь теплым, климат волжского времени был прохладнее кимериджского и келловейского. Позднеюрский климат на юге Западной Сибири был semiаридным, а в северных районах – гумидный, способствующий более интенсивному выносу терригенного материала с Восточно-Сибирской суши. Значительное похолодание произошло в поздневолжское время [Брадучан и др., 1986; Западная Сибирь. Геология..., 2000; Конторович и др., 2013; 2019].

При изучении геоморфологии дна и гидрогеологии баженовского моря С.П. Булынниковой, А.В. Гольбертом, А.Э. Конторовичем и др. [Булынникова и др., 1978] было отмечено, что глубина баженовского моря в широтном направлении была асимметричной: центр глубокого моря был смещен на юго-запад, что позднее было отмечено и в работе В.А. Захарова [Захаров, 2006].

Согласно палеогеографической карте [Конторович и др., 2019], в Западно-Сибирском море волжского века было обособлено несколько палеогеографических областей (Рисунок 1.5). Наиболее глубоководные условия с глубинами 200-500 м

существовали на большей территории южной части Западной Сибири и в пределах центральной части Карской мегасинеклизы. Здесь накапливались черные и буровато-черные, тонкоотмученные, тонкослоистые глинистые илы, обогащенные органическим веществом. Характер распределения органического вещества отмечается двух видов – в виде тонко рассеянного в глинистой массе и в виде самостоятельных прослойков и линзочек [Атлас и объяснительная записка..., 1976].

Акваторию глубокого моря населяли планктонные организмы – кокколитофориды, перединеи, динофлагеллаты, радиолярии, головоногие моллюски, аммониты, теутиды и белемниты. Макробентос был представлен двустворками рода *Buchia* и иноцерамами. Анализ состава фауны и органического вещества, высокие концентрации пирита и серы позволили многим исследователям предположить о существовании сероводородного заражения или дефицита кислорода в придонных и, иногда, наддонных водах, в удаленных глубоководных частях бассейна, где сформировались листоватые высокоуглеродистые кремнисто-глинисто-карбонатные осадки, содержащие более 8-15 % органического вещества [Булынникова и др., 1978; Брадучан и др., 1986; Амон и др., 2011; Конторович и др., 2013; Конторович и др., 2018; Конторович и др., 2019; и др.].

В зоне мелкого моря с глубинами 100-200 м формировались тонкоотмученные черные и буроватые высокоуглеродистые осадки. К периферии Западно-Сибирского бассейна содержание органического вещества в породах уменьшается, породы становятся более светлыми, прослоями встречаются алевролиты и песчаники [Булынникова и др., 1978; Конторович и др., 2013; 2018]. Области морских осадков сублиторали, примыкающие к палеоберегу, непрерывной полосой огибают глубоководную часть. В этой палеогеографической зоне органический мир был более разнообразен и многочисленен и представлен: нектоном (аммониты, белемниты, рыбы), микропланктоном (радиоляриями и кокколитофоридами) и бентосом (двустворки, брахиоподы, гастropоды и фораминиферы). На северо-востоке, в районе Енисей-Хатангского прогиба, шло накопление осадков гольчихинской свиты на глубинах 100-200 м – в центральной

части прогиба, и глубинах менее 100 м – в прибрежной зоне и вдоль архипелага островов [Брадучан и др., 1986; Ильин и др., 2005; Конторович и др., 2013; 2019; и др.].

Мелкое море с глубиной менее 100 м простиралось узкой полосой (10-100 км) на западе и юге волжского бассейна, и ширина его увеличивалась почти до 300 км – на востоке территории. Здесь накапливались тонкоотмученные и алевритовые разности глин, иногда углеродистых. В породах встречаются остатки морских двустворок, фораминефер, гастропод и водорослей. На юго-западе территории, вокруг Североуральской полуостровной суши и на юго-востоке территории, в пределах Чулымо-Енисейского района, существовали обширные приморские равнины. В южной и юго-восточной части бассейна накапливались пески и глины марьяновской, яновстанской свит. В зоне прибрежной равнины, временами заливаемой морем, шло накопление песчаников с прослойями алевролитов и глин максимоярской и баганской свит [Рыжкова и др., 2018] (толщина до 100-130 м). В северо-западной части бассейна существовала система островов Палеоураля, вокруг которых в неширокой прибрежной зоне накапливались трёхзерная толща (до 70 м), состоящая из кластических отложений, и федоровская свита (толщина до 100 м), представленная глауконитокварцевыми и лептохлоритовыми песками и алевролитами [Девятов и др., 2011], которые замещались глинистыми илами (даниловская свита), сменяющимися на юг углеродистыми разновидностями волжско-берриасских отложений (тутлеймская и мулымяинская свиты) [Девятов и др., 2011; Конторович и др., 2013; и др.].

Современная толщина пород баженовского горизонта в пределах Западно-Сибирской геосинеклизы меняется от 0-5 м до 450 м (Рисунок 1.6), причем толщины более 40 м характерны для восточных и северо-восточных областей. В центральных и западных областях геосинеклизы толщины пород горизонта не превышают 35-40 м. Такое распределение толщин объясняется наличием маргинального по А.П. Лисицину фильтра [Лисицин, 1994] в волжско-берриасское время в морском бассейне [Конторович и др., 2019], который за счет биогеохимической трансформации осадочного материала рек привел к переводу

растворенных и коллоидных частиц во взвешенные формы с последующим их осаждением на дно в зоне фильтра. Результат работы маргинального фильтра показан на рисунке 1.7.

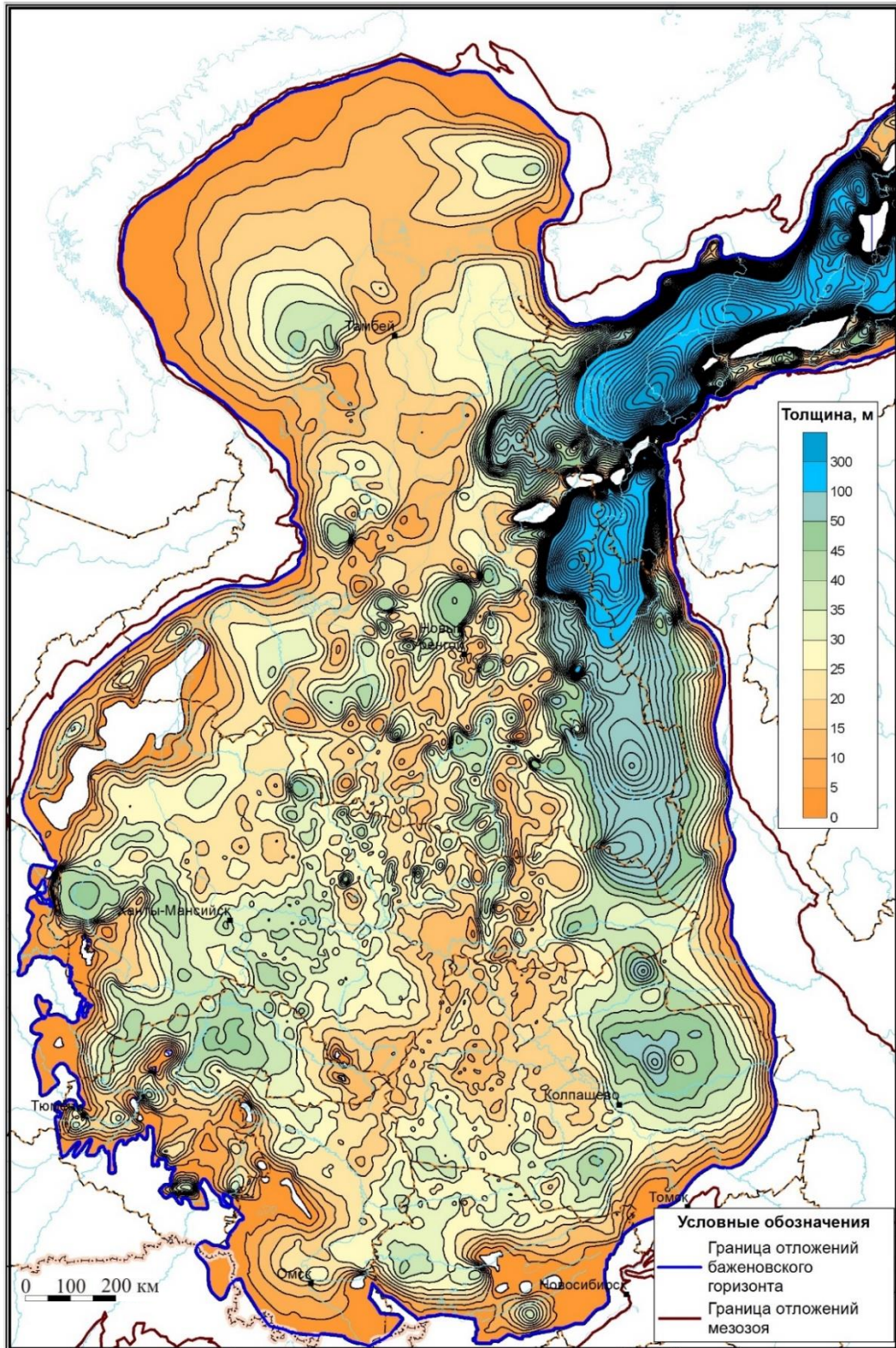


Рисунок 1.6 – Карта толщин баженовского горизонта [Рыжкова и др., 2018]

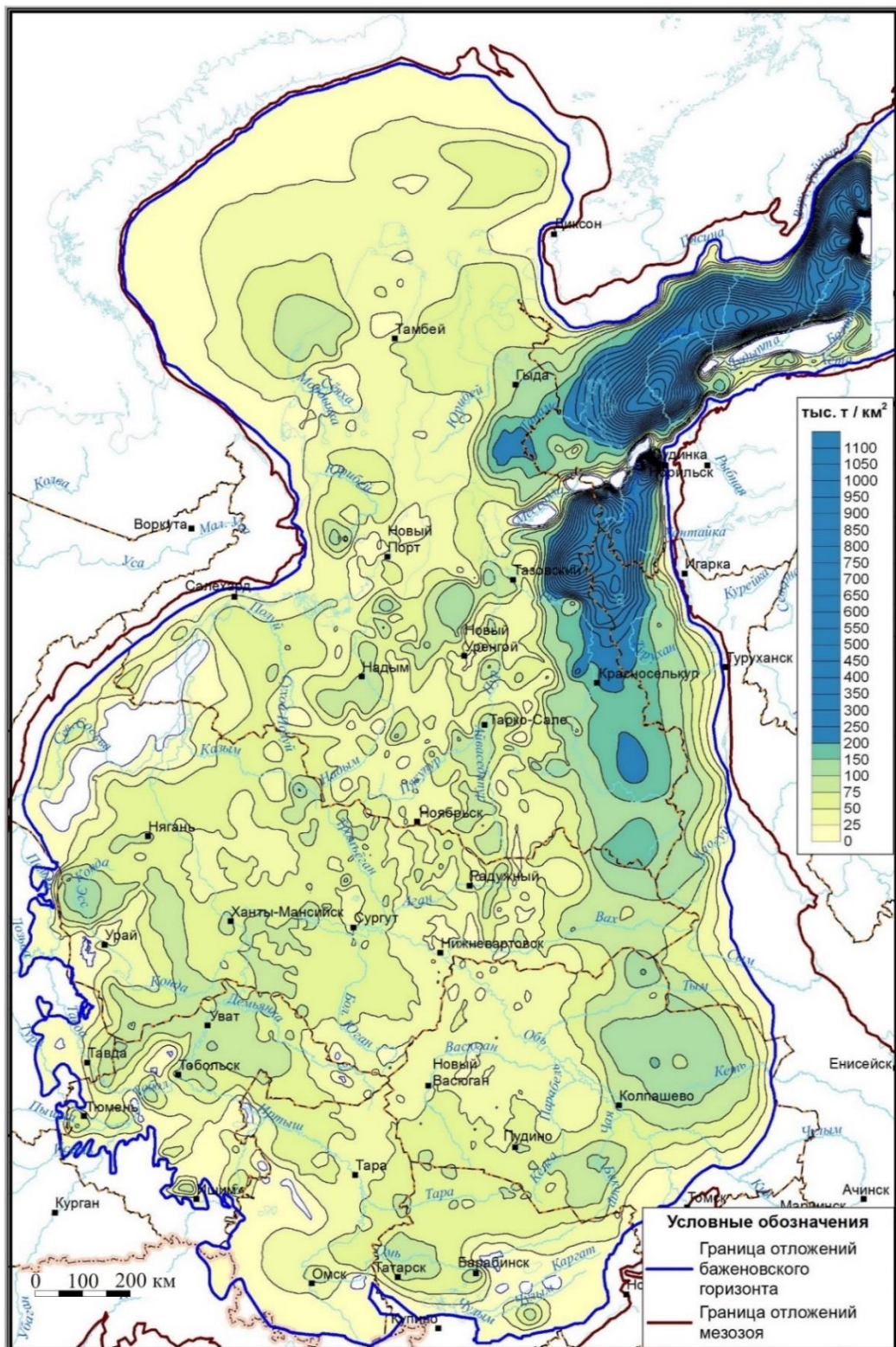


Рисунок 1.7 – Карта массы минеральных компонентов в осадках (бездонных) баженовского горизонта на конец диагенеза, тыс. т/км<sup>2</sup> [Конторович и др., 2019]

## 1.4 Катагенез органического вещества

Задача настоящей работы – анализ закономерностей размещения органического вещества в породах баженовского горизонта. Исследования последних 70 лет однозначно показали, что органическое вещество является самым лабильным компонентом осадков и осадочных пород.

Значительная часть живого вещества, продуцируемого в осадочном бассейне теряется в трофических (пищевых) наземных и морских трофических цепях еще в седиментогенезе. Процесс окисления, биохимической деструкции и преобразования фоссилизированного и живого вещества продолжается в диагенезе, в ходе которого осадки продолжают терять органическое вещество. При этом образуются углекислый газ, вода, метан, сульфат-ион воды восстанавливается до пирита, сероводорода, элементарной серы. С геохимической точки зрения этот вопрос впервые был детально рассмотрен Н.М. Страховым и К.Ф. Родионовой [1954].

Процесс деструкции органического вещества в результате термокаталитических реакций продолжается и в катагенезе, при этом новообразуются все компоненты нафтидов – углеводородные газы  $C_1$ ,  $C_2-C_4$ , высокомолекулярные углеводороды и гетероциклические соединения (смолы, асфальтены и др.) нефти,  $CO_2$ ,  $H_2O$ ,  $NH_3$ ,  $H_2S$  и другие соединения.

Все эти диагенетические и катагенетические процессы ведут к сокращению концентрации биогенного углерода ( $C_{орг}$ ) в осадках и породах. При изучении геохимии органического углерода в осадочном процессе и оценке генерационного потенциала органического вещества в осадках и породах учет этих процессов обязательно необходим.

В геологическом пространстве Земли процессы нефтегазообразования четко локализованы. Одним из первых вертикальную зональность (биохимическая, переходная и термокаталитическая зоны) процессов нефтегазообразования предложил в 1948 г. В.А. Соколов. В 1967 г. Н.Б. Вассоевич [1967] выделил главную фазу нефтеобразования (ГФН), представляющую собой этап в геохимической истории осадочной толщи, когда в результате погружения она

находится под действием температуры и давления, при которых в составе рассеянного органического вещества (РОВ) происходит новообразование битумоидов (в том числе УВ) наиболее интенсивно. В этом же году, независимо, А.Э. Конторович и Е.А. Рогозина [Конторович, Рогозина, 1967] эту же часть зоны катагенеза, назвали главной зоной нефтеобразования (ГЗН). Во время проявления ГЗН основная масса липидного материала расходуется на образование жидких и газообразных углеводородов, что подтверждается изменением состава РОВ (потерей липидного материала) и одновременным быстрым возрастанием количества образующегося битумоида и углеводородных газов в расчете на ОВ [Неручев, 1973].

Наличие в разрезе стратисферы ГЗН и зон интенсивного газообразования в настоящее время признается абсолютным большинством исследователей. Согласно А.Э. Конторовичу, в осадочной толще при реализации единого цикла нефтеобразования выделяются последовательно следующие фазы: созревание потенциально нефтегенерирующих отложений; начало и прогрессивное развитие нефтепроизводящих процессов; главная фаза процессов нефтеобразования; затухание нефтеобразовательных процессов; и заключительная фаза – существование нефтепроизводивших отложений [Конторович, 1976]. Зоны, соответствующие каждой из фаз, выделяются в разрезах осадочных бассейнов [Конторович, Неручев, 1971; Конторович, 1976].

Изучение катагенеза (метаморфизма) рассеянного ОВ и углей в мезозойских отложениях Западно-Сибирской равнины было начато в пятидесятых годах А.Б. Травиным (1955) и В.А. Успенским (1956). Было выявлено, что с ростом катагенетической превращенности, подобно углю, кероген обогащается углеродом, теряет водород и гетероэлементы. Изменение величины соотношения С/Н в процессе катагенеза для генетически однородного ОВ позволяет использовать этот параметр в качестве показателя уровня зрелости ОВ [Успенский и др., 1958].

В 1964 г. на территории Западно-Сибирской равнины Л.И. Богородской, Ф.Г. Гурари, А.Э. Конторовичем, В.В. Иванцовой, И.И. Нестеровым, П.А. Трушковым, Г.М. Парпаровой и другими было выявлено, что катагенез ОВ

возрастает от периферии к наиболее погруженной центральной части равнины. При определении стадий катагенеза органического вещества А.Э. Конторович с соавторами [Конторович и др., 1967а] использовали в качестве основных показателей отражательную способность витринита и, в меньшей степени, элементарный состав ОВ. По полученным данным были построены схематические карты катагенеза ОВ в юрских и нижнемеловых отложениях. Было отмечено, что катагенез ОВ определяется, в первую очередь, геотермическими условиями и контролируется современным структурным планом бассейна. Отложения с повышенным катагенезом приурочены к отрицательным структурам первого порядка – впадинам и мегапрогибам [Конторович и др., 1967а].

Начиная с 70-х годов прошлого века, определение уровня катагенетической зрелости юрских пород проводилось авторскими коллективами следующих научных организаций: СНИИГГиМС, ВНИГРИ, ИГИРГИ, ИГиМ, ВНИИгеосистем, ВНИИгаз, ЗапСибНИГНИ и др. Верхнеюрские (баженовская свита и ее аналоги) морские и озёрные отложения, являющиеся основными нефтегенерирующими толщами в Западно-Сибирской провинции, в настоящее время вскрыты тысячами скважин. Интерпретация огромного количества фактического материала по уровню катагенеза ОВ в породах с использованием аппарата математического моделирования позволила сотрудникам ИНГГ СО РАН [Фомин и др., 2001; Конторович и др., 2009; Фомин, 2011] детализировать выполненные в предыдущие годы построения. На основе анализа более 4000 замеров отражательной способности витринита ( $R_{vt}^0$ ) с учетом опубликованных данных по уровню зрелости ОВ сотрудниками ИНГГ СО РАН были построены схемы катагенеза ОВ на всю территорию Западно-Сибирского мегабассейна [Конторович и др., 2009].

До середины 70-х годов прошлого века для обозначения степени преобразованности ОВ использовались углемарочные названия и буквенные индексы стадий (марок угля): Б – бураугольная, Д – длиннопламенная, Г – газовая, Ж – жирная, К – коксовая, ОС – отощенно-спекающаяся, Т – тощая, ПА – полуантрацитовая, А – антрацитовая. В 1976 г. С.Г. Неручев, Н.Б. Вассоевич и

Н.В. Лопатин [Неручев и др., 1976] опубликовали проект международной шкалы преобразованности ОВ, в основу которой был положен термин «катагенез». Независимо от этих авторов, в этом же году, близкая шкала несколько иных градаций катагенеза была предложена А.Э. Конторовичем [Конторович, 1976]. Обозначения градаций катагенеза, применяемые российскими исследователями приведены в таблице 1.2. Основным критерием шкалы принят показатель отражательной способности витринита [Фомин, 2011].

Таблица 1.2 – Обозначения градаций катагенеза, применяемые российскими исследователями (по [Неручев и др., 1976], [Конторович, 1976])

Стадия	Подстадия	Этапы / Подэтапы (Конторович, 1976)		Подэтапы (Неручев, Вассоевич, Лопатин, 1976)		Марки углей	$R^o_{vt}$ , %
литогенеза					ГОСТ 12113-94	на начало градации	
Катагенез	Прото (ПК)		ПК <sub>1</sub> ПК <sub>2</sub> ПК <sub>3</sub>	ПК <sub>1</sub> ПК <sub>2</sub> ПК <sub>3</sub>	Б <sub>1</sub> Б <sub>2</sub> Б <sub>3</sub>	0.25 0.30 0.40	
	Мезо (МК)	Начальный (МК <sub>1</sub> )	МК <sub>1</sub> <sup>1</sup> МК <sub>1</sub> <sup>2</sup>	МК <sub>1</sub> МК <sub>2</sub>	Д Г	0.50 0.65	
		Средний (МК <sub>2</sub> )	МК <sub>2</sub>	МК <sub>3</sub>	Ж	0.85	
		Глубинный (МК <sub>3</sub> )	МК <sub>3</sub> <sup>1</sup> МК <sub>3</sub> <sup>2</sup>	МК <sub>4</sub> МК <sub>5</sub>	К ОС	1.15 1.50	
	Апо (АК)		АК <sub>1</sub> АК <sub>2</sub> АК <sub>3</sub> АК <sub>4</sub>	АК <sub>1</sub> АК <sub>2</sub> АК <sub>3</sub> АК <sub>4</sub>	Т ПА А А	2.00 2.50 3.50 5.00	

Катагенетическая стадия начинается на конечном этапе диагенеза и продолжается до начала метагенеза, при этом пластовая температура пород возрастает до 250-300 °С. Свойства ОВ претерпевают изменения при перестройке его структуры во время погружения пород на глубину. Согласно исследованиям по катагенезу органического вещества в угленосных бассейнах, степень углефикации ОВ изменяется как по разрезу, так и по площади. Такая же ситуация отмечается повсеместно в пределах Западно-Сибирской равнины при нарастании катагенеза ОВ с глубиной [Конторович и др., 1967а].

### Катагенетические преобразования ОВ.

Для катагенетической стадии, наиболее длительной, в истории ОВ определяющими являются две группы процессов:

- 1) глубокие и направленные преобразования физико-химических свойств и структуры ОВ, сопровождающиеся большим количеством новообразований;
- 2) миграция в огромных масштабах продуктов катагенетических превращений ОВ.

Согласно А.Э. Конторовичу [1976], обязательной и неотъемлемой чертой катагенеза осадочных пород является первичная миграция УВ, CO<sub>2</sub>, H<sub>2</sub>S, NH<sub>3</sub> и других продуктов катагенетических превращений ОВ. Результатом этого процесса, при благоприятных геологических условиях, является образование скоплений нефти газа [Конторович, 1976].

По данным И.И. Аммосова [1961], В.С. Вышемирского [1973], А.Э. Конторовича [1976] и других авторов, главными факторами катагенеза являются температура и давление. В зоне катагенеза происходит значительное изменение состава ОВ. Концентрация углерода в ОВ, при прочих равных условиях, тем выше, чем в более жестких термодинамических условиях оно находилось, и, соответственно, ниже содержание водорода, кислорода, азота и серы [Конторович, 1976].

Аналогичная закономерность, давно известная и хорошо изученная для углей, для РОВ и КОВ (концентрированное ОВ) была впервые отмечена В.А. Успенским и Ф.Б. Инденбомом в 1958 г. [Успенский и др., 1958]. При общей направленности процессов катагенетических превращений ОВ сапропелевого и гумусового типов в них имеются и заметные различия – сапропелевое РОВ морских толщ имеет более высокие содержания водорода, азота и серы, и пониженное – кислорода [Успенский и др., 1958].

Изменение глубины погружения нефтематеринских толщ (НМТ) влияет на основные характеристики керогена и битумоидов, а также на физические свойства пород – плотность, общую и открытую пористость, а также расчетные величины закрытой пористости, объем закрытых пор, отношение закрытой пористости к

общей и т.д. По направленности изменения этих параметров С.Г. Неручев и Е.А. Рогозина [2010] для баженовской свиты (Рисунок 1.8) выделили этапы, на которых процесс преобразования РОВ пород подчиняется определенным закономерностям:

*Первый этап.* Стадия катагенеза МК<sub>1</sub> (МК<sub>1</sub><sup>1</sup> – по шкале А.Э. Конторовича). Глубина погружения отложений 1.7-2.0 км. На этом этапе преобладают процессы декарбоксилирования и дегидратации, для этапа характерно:

- максимальное, по сравнению с последующими, содержание  $\beta_{\text{СБВ}}$ ;
- максимальное (до 82.1 об. %) содержание CO<sub>2</sub>;
- незначительное (до 2.0 об. %) содержание CH<sub>4</sub>;
- элементный состав НОВ (дебитуминизированная, нерастворимая в хлороформе часть ОВ) хорошо согласуется с характеристиками вышеуказанных продуктов преобразования РОВ [Неручев, Рогозина, 2010].

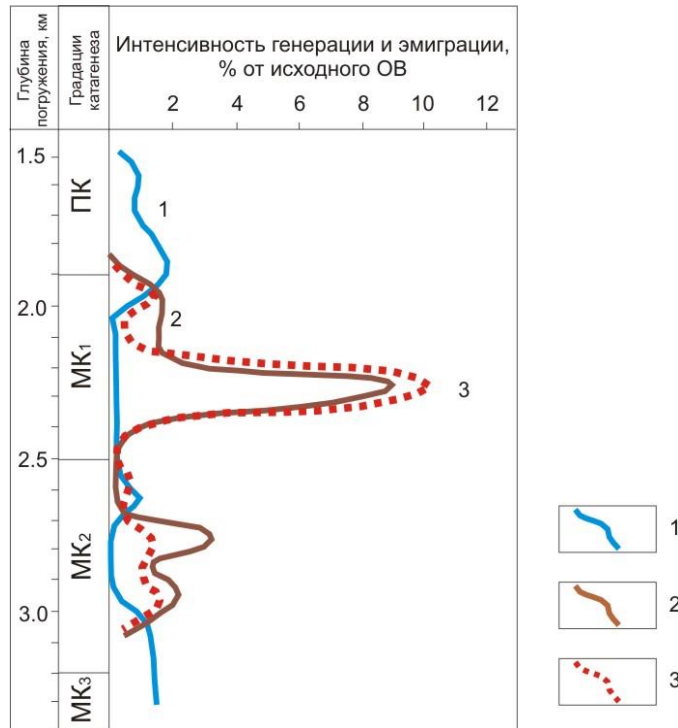


Рисунок 1.8 – Интенсивность генерации углеводородных газов и битумоидов и эмиграции битумоидов ОВ баженовской свиты [Неручев, Рогозина, 2010]

Условные обозначения:

- 1 – интенсивность генерации: 1 – углеводородных газов; 2 – битумоидов.  
3 – интенсивность эмиграции битумоидов.

*Второй этап.* Стадия катагенеза МК<sub>1</sub> (МК<sub>1</sub><sup>2</sup> – по шкале А.Э. Конторовича).

Глубина погружения отложений 2.0-2.4 км. На этом этапе изменение многих характеристик перестает быть однонаправленным, что подтверждает сложность процессов генерации и миграции подвижных продуктов превращения органического вещества. По направленности изменения элементного состава керогена второй этап разделяется на два подэтапа (2.0-2.2 км и 2.2-2.4 км). Согласно данным экспериментальных исследований баженовской свиты, на глубине 2.0 км начинается процесс интенсивной генерации нейтральных битумоидов и метаново-нафтеновых УВ. Изучение состава битумоидных компонентов позволяет сделать вывод, что процессы генерации УВ на этом подэтапе ещё преобладают над процессами эмиграции УВ. Происходит резкое снижение содержания CO<sub>2</sub> в составе газовых компонентов и нарастание содержания гомологов CH<sub>4</sub>. На этом подэтапе уменьшается закрытая пористость, доля её в общей и объем закрытых пор. Снижение в породе общего содержания газовых компонентов приурочено к глубине 2.2 км [Неручев, Рогозина, 2010].

Второй подэтап второго этапа преобразования РОВ баженовской свиты (2.0-2.4 км) является переломным – с резким снижением основных параметров НОВ – C<sup>Г</sup>, H<sup>Г</sup> и V<sup>Г</sup> (выход летучих), свидетельствующем о возросшем масштабе генерации и одновременной миграции всех подвижных продуктов преобразования РОВ. В интервале глубин этого подэтапа прослеживается два импульса по газовым компонентам:

- на глубине 2.3 км – за счет ухода CO<sub>2</sub> с резким уменьшением общей и закрытой пористости, доли закрытой пористости в общей и объема закрытых пор. Данные по качественному составу газовых компонентов позволяют сделать предположение, что миграция битумоидных компонентов до глубины 2.3 км стимулировалась, в основном, двуокисью углерода. Согласно исследованиям С.Н. Белецкой, растворяющая способность CO<sub>2</sub>, являющегося активным агентом, позволяет уже при температуре 40 °С и давлении 100 атм. растворить более 3 г/кг породы битуминозных веществ [Неручев, Рогозина, 2010];

– в интервале глубин 2.3-2.4 км отмечается очередное возрастание в составе газов –  $\text{CO}_2$ , а в углеводородной части – метана, этана и пропана. В результате этого происходит небольшое увеличение объёма закрытых пор. С глубины 2.4 км отмечается нарушение фазового состояния системы флюидов, характерное термобарическим условиям для этих глубин, за счёт ухода самых подвижных продуктов генерации органического вещества из породы. Что влечёт за собой выпадение высокомолекулярных асфальтово-смолистых компонентов битумоидов с образованием отложений на стенках пор. В породе происходит перезакрытие пор и снижение плотности [Неручев, Рогозина, 2010].

*Третий этап* выделяется на глубинах от 2.4 до 2.7 км на градации катагенеза  $\text{MK}_1\text{-}\text{MK}_2$  ( $\text{MK}_1^1\text{-}\text{MK}_1^2$  – по шкале А.Э. Конторовича). Для этого этапа характерно однонаправленное увеличение содержания  $\text{C}^\Gamma$  в НОВ при том, что остальные параметры ведут себя неоднонаправленно:

– на глубине 2.4 км меняется направленность изменения  $\text{H}^\Gamma$  и  $\text{V}^\Gamma$  в составе НОВ, что свидетельствует о переходе асфальтово-смолистых компонентов битумоида в нерастворимое состояние. Качественное изменение состава НОВ ведёт к преобразованию ОВ с нового уровня. Переход на путях миграции высокомолекулярных компонентов битумоида в нерастворимое состояние ведёт к увеличению пористости пород и ее разуплотнению [Неручев, Рогозина, 2010]. Максимальное действие этого процесса происходит в интервале глубин 2.4-2.5 км. Изучение величины  $\beta_{tu}$  и концентрации гомологов метана позволяет прийти к выводу, что глубже отметки 2.3 км в процессе миграции происходят значительные изменения в составе газовых компонентов с преобладанием гомологов метана, которые в отличие от  $\text{CO}_2$  (на предыдущих этапах), обладают большей растворяющей и другой избирательной способностью. По мнению С.Г. Неручева и Е.А. Рогозиной, к глубине 2.5 км в составе газов значительно возрастает содержание метана при уменьшении общей концентрации газов и гомологов метана, что позволяет значениям закрытой пористости и объему закрытых пор оставаться достаточно высокими [Неручев, Рогозина, 2010];

– с глубины 2.5 км, на фоне неоднозначности поведения  $V^\Gamma$  и сложности происходящих процессов генерации и миграции, происходит дальнейшее увеличение содержания  $C^\Gamma$  в НОВ, что связано с усилением процесса газообразования при снижении содержания  $H^\Gamma$  и  $V^\Gamma$  в НОВ. Подчиненное значение битумоидов в продуктах преобразования ОВ, при преобладании газовых компонентов, ведёт к карбонизации НОВ. Анализ изменения концентраций метана и углеводородов в составе битумоидов позволяет предположить, что в интервале глубин ниже 2.5 км (максимальное проявление в интервале 2.6-2.7 км) процесс генерации битуминозных веществ непрерывно сопровождается их эмиграцией. На этих глубинах, видимо,  $CH_4$  становится ведущим в этом процессе. При уходе из породы новой порции новообразованных подвижных продуктов, происходит нарушение фазового состояния системы, сопровождающееся, как и ранее, «высаживанием высокомолекулярных компонентов в нерастворимое состояние» на путях миграции и новой фазой разуплотнения пород. Несмотря на увеличение доли общей и открытой пористости, на этом подэтапе происходит снижение закрытой пористости, что объясняется, по всей видимости, максимальным уходом из породы  $CH_4$  и уменьшением интенсивности последующей его генерации в этих термобарических условиях. На этой глубине закрытые поры пород содержат, в основном, гомологи  $CH_4$  и  $CO_2$  [Неручев, Рогозина, 2010].

*Четвертый этап* катагенетического преобразования ОВ начинается с глубины 2.7 км, в конце градации  $MK_2$  ( $MK_1^2$  – по шкале А.Э. Конторовича). На глубинах 2.7-3.2 км отмечается новая фаза деструкционных процессов, сопровождающаяся уменьшением содержания  $C^\Gamma$  и  $H^\Gamma$  и увеличением доли гетероэлементов в составе НОВ. Происходит значительное уменьшение летучих соединений ( $V^\Gamma$ ). Согласно данным изучения состава  $\beta_{XL}$  на этом подэтапе при деструкции ОВ происходит разрыв «более прочных» молекул циклического строения, что говорит о глубоких процессах преобразования ОВ. На этих глубинах в породе отмечается увеличение плотности пород и уменьшение пористости общей и открытой на фоне относительно постоянного объёма закрытой пористости и величины закрытой пористости в общей пористости [Неручев, Рогозина, 2010].

На глубине 2.8 км начинается интенсивное газообразование. Доля метана в составе газов закрытых пор возрастает с увеличением его содержания в породе и в ОВ. Этот процесс продолжается до определенного уровня, после чего происходит резкое импульсное снижение генерации метана. В очередной раз идёт перестройка поровой системы в породе, в результате чего увеличиваются все виды пористости, но, в отличие от предыдущих подэтапов, не происходит разуплотнения породы, так как в процессе миграции участвуют битуминозные компоненты, которые значительно подвижнее, чем были ранее. В шлифах пород с этих глубин фиксируется сильное преобразование нерастворимых веществ асфальтово-смолистого состава, которыми заполнены пути миграции флюидов, образованные в предыдущие фазы [Неручев, Рогозина, 2010].

На глубинах, превышающих 3.0 км, в породах баженовской свиты происходит резкое снижение  $C_{\text{орг}}$ , отмечается общий высокий уровень преобразованности ОВ, градация катагенеза соответствует МК<sub>3</sub> (МК<sub>2</sub> – по шкале А.Э. Конторовича),  $R_{\text{vt}}^0$  – 0.85 %. Генерация битумоидов в свите прекращается. В процессе реализации нефтематеринского потенциала происходят значительные преобразования молекулярной структуры ОВ, что влечёт за собой утрату им сапропелевого облика. При дальнейшем превращении рассеянное органическое вещество пород баженовской свиты способно генерировать газ, так как показатели содержания летучих ( $V^\Gamma$ ) и водорода ( $H^\Gamma$ ) свидетельствуют о ещё высоком генерационном потенциале. На глубинах более 3.0 км наблюдается увеличение концентраций метана и двуокиси углерода в составе газа. Третью часть объема в составе углеводородной части газовых компонентов занимают метан ( $CH_4$ ) и этан ( $C_2H_6$ ). Доля битумоида в ОВ увеличивается, и его состав становится более благородным. На этом подэтапе отмечается значительное снижение всех видов пористости и уменьшение в породе объёма закрытых пор на фоне продолжающегося уплотнения пород [Неручев, Рогозина, 2010].

На основе комплексного подхода к рассмотрению закономерностей преобразования ОВ баженовской свиты С.Г. Неручев и Е.А. Рогозина выявили, что в составе газовых компонентов для сапропелевого и гумусового РОВ наблюдается

определенная зональность: зона углекислых газов сменяется зоной углекисло-углеводородных газов, затем преимущественно углеводородных газов [Неручев, Рогозина, 2010].

В таблице 1.3 приведена информация по потерям массы керогена и количеству новообразованных соединений (в кг) в результате катагенетических преобразований аквагенного керогена для всех градаций катагенеза по данным Л.М. Бурштейна и А.Э. Конторовича [Геологическая..., 2014-2016ф].

В диапазоне глубин от 5-6 км до 8-10 км наступает этап затухания процессов нефтегазообразования, происходящий после главной фазы газообразования. Этот этап характеризуется очень слабой генерацией жидких УВ и относительно небольшой генерацией УВ газа, представленного преимущественно метаном. Существенной чертой этого времени является развитие собственно метаморфических процессов, в результате которых РОВ взаимодействует с минеральной частью пород, чаще всего с окислами железа, генерируя при этом огромные количества углекислоты, которая становится преобладающим компонентом образующегося газа. По преобладанию CO<sub>2</sub> в составе газов этот заключительный этап катагенеза РОВ сходен с начальным этапом, но на начальном этапе катагенеза CO<sub>2</sub> полностью растворяется в водах и при реагировании с минеральной частью пород удаляется из них, в отличие от конечного этапа катагенеза, когда углекислота остается в водах в растворенном или в свободном состоянии, предопределяя углекисло-метановый состав газов больших глубин [Генерация углеводородов..., 1976].

На протяжении периода от начальной стадии протокатагенеза до высоких стадий катагенеза постепенно изменяется молекулярная структура ОВ, происходит его деструкция, на заключительной стадии катагенеза органическое вещество по своему строению приближается к графиту [Неручев, Рогозина, 2010].

Таблица 1.3 – Выход продуктов катагенетических преобразований аквагенного керогена по данным Л.М. Бурштейна, А.Э. Конторовича [Геологическая..., 2014-2016г]

Градации катагенеза	Диапазон концентраций углерода, %	Потери массы керогена, кг	Новообразованные соединения, кг					
			CO <sub>2</sub>	H <sub>2</sub> O	CH <sub>4</sub>	H <sub>2</sub> S	NH <sub>3</sub>	нефть
ПК <sub>1</sub>	55-62	16.40	9.42	2.22	1.91	2.31	0.44	0.09
ПК <sub>2</sub>	62-67	8.05	4.41	1.20	0.63	1.30	0.29	0.21
ПК <sub>3</sub>	67-75	9.87	4.87	1.64	0.80	1.66	0.49	0.41
МК <sub>11</sub>	75-80	7.01	2.20	0.83	0.62	0.75	0.30	2.31
МК <sub>12</sub>	80-83	6.54	0.95	0.38	0.48	0.34	0.15	4.24
МК <sub>2</sub>	83-85	5.14	0.47	0.20	0.34	0.17	0.08	3.89
МК <sub>31</sub>	85-87	3.63	0.35	0.16	0.32	0.14	0.07	2.59
МК <sub>32</sub>	87-91	3.88	0.49	0.23	0.56	0.21	0.11	2.29
АК <sub>1</sub>	91-92	3.58	0.09	0.05	0.12	0.04	0.02	3.25
АК <sub>2</sub>	92-93	0.88	0.08	0.05	0.12	0.04	0.02	0.56
АК <sub>3</sub>	93-95	0.78	0.15	0.09	0.24	0.08	0.05	0.17
Антрацитовая	95-97	0.74	0.11	0.09	0.32	0.08	0.06	0.07
Протокатагенез	55-75	34.32	18.71	5.06	3.35	5.27	1.23	0.71
Ранний-средний мезокатагенез	75-85	18.69	3.62	1.41	1.43	1.26	0.53	10.44
Поздний мезокатагенез, апокатагенез	85-97	13.49	1.27	0.67	1.68	0.59	0.34	8.92
Всего	50-97	66.50	23.60	7.14	6.46	7.13	2.09	20.08

При анализе потерь органического вещества в катагенезе С.Г. Неручевым [2007] были рассчитаны поэтапные потери, связанные с разными стадиями катагенеза. На начальной стадии катагенеза (породы с концентрированным сапропелевым ОВ соответствуют сапропелевым горючим сланцам) в результате медленных и незначительных превращений сапропелевого ОВ пород, в связи с отщеплением летучих газообразных продуктов ( $\text{CO}_2$ ,  $\text{H}_2\text{O}$ ,  $\text{NH}_3$ ,  $\text{CH}_4$  и  $\text{H}_2\text{S}$ ), происходит уменьшение исходной массы ОВ на 18-20 % [Неручев, 2007].

На этапе мезокатагенеза в ГЗН при температурах от 90-100 °C до 160-170 °C начинается процесс интенсивной термодеструкции полимерлипидных компонентов, в результате чего значительно увеличивается битуминозность ОВ с последующей миграцией подвижных нефтяных углеводородов при дальнейшем погружении НМТ. В этом процессе теряется порядка 30 % от исходного количества ОВ, в результате чего масса ОВ в долях от первоначальной его массы в начале катагенеза составляет не более 50-55 % [Неручев, 2007].

При росте температуры от 160-170 °C до 200-250 °C и дальнейшем погружении толщи (ГФГ углеводородных газов) продолжается быстрое термическое разложение ОВ, которое сопровождается затуханием генерации жидких УВ при активном образовании газообразных, в составе которых резко преобладает метан. За счёт потери газообразных летучих компонентов преобразования органическое вещество теряет ещё порядка 13 % от исходного количества ОВ, и остаточная его масса составляет уже не более 40-45 % от исходной массы. К завершению этого этапа планктоногенное ОВ, потерявшее большую часть летучих компонентов, уже полностью теряет свои исходные генетические черты. Отложения, содержащие сапропелевое ОВ, преобразованное на стадии МК<sub>4</sub> (МК<sub>3</sub><sup>1</sup> – по шкале А.Э. Конторовича) и выше, квалифицируются как «бывшие нефтегазоматеринские породы» [Неручев, 2007].

На антрацитовой и более высоких стадиях катагенеза происходит термический распад углеродистого ( $C^\Gamma = 80-90 \%$ ) сапропелевого ОВ с одновременным упорядочением молекулярной структуры и выделением летучих газообразных продуктов – водорода, метана, сероводорода и азота в сравнительно

небольших количествах. Затем существенно изменяется характер процесса превращения ОВ. При повышении температуры более 250-300 °С начинается процесс взаимодействия ОВ с окислами металлов (в основном железа), содержащимися в минеральной части породы. Происходит восстановление окислов железа в результате окисления углерода, и образование большого количества метаморфогенного CO<sub>2</sub>. На этом этапе потеря ОВ составляет ещё порядка 7-10 % от исходной массы. В итоге остаточная масса ОВ равна не более 30 % от исходной [Неручев, 2007].

Таким образом, по данным С.Г. Неручева [2007], от начала катагенеза до стадии «углеродистых» и «графитовых» сланцев на всех стадиях литогенеза суммарная потеря массы сапропелевого ОВ составляет от 70 до 80 % – за счёт процесса генерации газообразных и жидких летучих продуктов, оказывающих влияние на преобразование минеральной части породы и перенос различных элементов, включая металлы.

На рисунках показаны современное (Рисунок 2.13) и к началу катагенеза (Рисунок 2.14) содержание органического вещества в породах баженовской свиты по данным ИНГГ СО РАН.

Обобщая опубликованную разными авторами информацию по условиям катагенетических превращений РОВ, масштабам и условиям проявления ГФН и первичной миграции УВ, А.Э. Конторович [1976] отметил, что катагенетическая история ОВ предопределается палеоландшафтами бассейнов осадконакопления, контролировавших литологию, состав глинистых минералов, и захоронившееся в бассейне ОВ. Также значительная роль принадлежит тектоническому развитию территории и геотермическому режиму.

Определение уровня катагенетической зрелости ОВ проводится различными методами: углепетрографическими, геохимическими, пиролитическими, минералогическими и др. Основным, наиболее надежным, методом диагностики уровня зрелости гумусового органического вещества является углепетрографический метод – выявление показателей отражения (отражательная способность витринита (коллинита) ( $R_{vt}^0$ ) и преломления ( $N_{pr}$ )) мацералов ОВ.

Источником витринита являются лигниноцеллюлозные материалы растений (стебли, древесина и т.д.). Витринит – это основной мацерал гумусовых углей, также он имеет большое распространение среди растительных остатков, рассеянных в породе. С возрастанием степени катагенеза происходит равномерное увеличение показателей преломления всех мацералов ОВ. По степени чувствительности к изменению термобарических условий мацералы гумусового ОВ находятся в ряду (по убыванию): альгинит, лейптинат, витринит. Наиболее закономерно показатель преломления изменяется у витринита. Если эти мацералы отсутствуют или плохой сохранности, то привлекаются следующие мацералы: семивитринит, семифюзинит, фюзинит и лейптинат [Фомин, 2011].

Преобразованность ОВ в морских и древних (додевонских) отложениях, где витринит отсутствует, определяется по мацералам аквагенного РОВ – псевдовитриниту, коллоальгиниту, коллохитиниту и сорбомикстиниту [Фомин, 2011]. В 1985 г. А.Н. Фоминым [1985] для диагностики уровня зрелости составлена шкала отражательной способности псевдовитринита, исходным материалом которого являются остатки донных водорослей. Схожесть витринита и псевдовитринита обусловлена близостью химического состава донных водорослей и стеблевых тканей высших растений.

Для РОВ баженовской свиты, представленного аквагенным материалом, по которому нет пока стандартных шкал для оценки степени зрелости по мацералам, используются онихиты (остатки зооорганизмов). Для стадий катагенеза ПК-МК<sub>1</sub><sup>2</sup> Г.М. Парпаровой и А.В. Жуковой [1990] построена шкала отражения по онихитам. При сравнении отражательной способности витринита и онихитов выявлено, что отражательная способность у онихитов ниже [Фомин, 2011].

В результате сопоставления отражательной способности витринита с другими параметрами, характеризующими уровень зрелости материнских пород, а также с распределением нефтяных и газовых залежей, были выделены стадии созревания ОВ [Серебренникова, 2008]:

1. значения  $R_{vt}^0 < 0.5-0.7 \%$ ; стадия диагенеза, материнская порода незрелая;

2.  $0.5\text{-}0.7\%$  < значения  $R_{vt}^0 < 1.3\%$ ; стадия катагенеза, главная зона нефтеобразования «oil window»;
3.  $1.3\% < \text{значения } R_{vt}^0 < 2.0\%$ ; стадия катагенеза, зона жирного газа и конденсата;
4. значения  $R_{vt}^0 > 2.0\%$ ; стадия метакатагенеза; метан остается единственным углеводородом (зона сухого газа).

Нерезкость границ стадий созревания объясняется различиями в составе гумусового и сапропелевого ОВ и, соответственно, темпами превращения органического вещества [Серебренникова, 2008].

Определение показателя преломления  $N_{pr}$  мацералов ОВ, в основном витринита, является другим (менее распространенным) углепетрографическим методом количественной оценки уровня зрелости ОВ. Как и отражательная способность витринита, показатель преломления мацералов ОВ характеризует изменения молекулярной структуры ОВ в процессе катагенеза. Определение  $N_{pr}$  происходит за счёт сравнения показателя преломления мацералов исследуемого ОВ с  $N_{pr}$  иммерсионной жидкости с помощью полоски Бекке [Богородская и др., 2005].

До внедрения в практику углепетрографических методов (показатели отражения и преломления мацералов) углехимические параметры (элементный и групповой состав) служили основными критериями для диагностики уровня зрелости ОВ. В качестве главного параметра для определения стадий катагенеза использовался элементарный состав горючей массы РОВ и углей.

Основными углехимическими параметрами являются  $C^\Gamma$  (содержание углерода),  $V^\Gamma$  (выход летучих веществ). Информативность этих параметров не одинаковая и их роль меняется в зависимости от стадий катагенеза. Существенное влияние на них оказывает состав исходного материала ОВ и минеральные примеси. Чтобы минимизировать это влияние, используют анализы гелиолитов. Гелифицированное вещество имеет однородный состав и реагирует на термобарические условия, плавно изменяя свои характеристики при возрастании катагенеза [Богородская и др., 2005].

Химические показатели степени зрелости породы основаны на изучении керогена (элементный анализ) и битумоида (содержание битумоида; количество и состав УВ, легких УВ; коэффициент преобладания нечетных н-алканов над четными; распределение изопреноидов, наftenов по числу колец, стеранов и гопанов, ароматических УВ, отношение изотопов углерода). Важным геохимическим параметром, характеризующим зрелость ОВ, является CPI – соотношение нечетных насыщенных УВ к четным [Борисова и др., 2011; Васильев, 2012].

Определение элементного состава керогена основано на удалении минеральной компоненты тонкозернистых пород соляной и плавиковой кислотой, с последующим элементным анализом низкозольного концентрата керогена. При катагенетических преобразованиях ОВ под действием температуры из керогена удаляется кислород – в виде воды и двуокиси углерода; водород – в виде воды, УВ и, частично (на заключительных этапах), – в виде  $H_2S$ , углерод – в виде двуокиси углерода и УВ [Васильев, 2012].

**Групповой состав ОВ** определяется при «техническом анализе», в результате которого определяются следующие параметры:  $V^\Gamma$  – выход летучих веществ;  $Q$  – теплотворная способность;  $W^\Gamma$  – влажность;  $A$  – зольность;  $\rho$  – плотность. Горючую массу ОВ характеризуют  $V^\Gamma$ ,  $Q$  и  $\rho$ . К балласту ОВ относятся  $W^\Gamma$  и  $A$ . Для определения уровня зрелости ОВ наиболее информативным показателем является  $V^\Gamma$  [Фомин, 2011].

Процесс метаморфизма ОВ сопровождается выделением летучих углефикаций, в состав которых входят углекислота, метан и другие газообразные УВ, сероводород, аммиак и вода. Зная выход летучих, можно рассчитать количество летучих углефикаций, потерянных ОВ при достижении им определенной стадии метаморфизма [Конторович, 1964].

Выход летучих веществ ( $V^\Gamma$ ) – это масса летучих компонентов преобразования органического вещества, выделяющихся при нагревании ОВ до 850 °C. Величина  $V^\Gamma$  характеризует потенциал нефтегазообразования органического вещества. На начальной стадии катагенеза, согласно С.Г. Неручеву

и Е.А. Рогозиной [2010], содержание летучих веществ достигает 50-90 %, а на последующих стадиях происходит снижение  $V^{\Gamma}$ .

Показатель  $V^{\Gamma}$  коррелируется с содержанием водорода, т.к. связан с генетическим типом ОВ и уровнем его зрелости. Для ОВ, сформировавшегося в восстановительных условиях, характерно повышенное содержание  $V^{\Gamma}$ , хотя это отражается до среднего мезокатагенеза. На выход летучих существенное влияние оказывают минеральные примеси. У аквагенного ОВ в начале катагенеза отмечается повышенное содержание  $V^{\Gamma}$  по сравнению с террагенным (гумусовым). После завершения ГФН значения параметра  $V^{\Gamma}$  у аквагенного и террагенного типов ОВ постепенно выравниваются в апокатагенезе. Наличие липоидных компонентов в керагене оказывает влияние на величину выхода летучих, подобно аквагенному типу ОВ [Богородская, Конторович, 1982; Фомин, 2011].

Влажность ( $W^{\Gamma}$ ). С ростом катагенеза ОВ постепенно теряет влагу, содержание которой связано с пористостью органической массы, с одной стороны, и с наличием в составе ОВ гидрофильных групп. Плотность гелитолитов ( $\rho$ ) с нарастанием катагенеза постепенно понижается, достигая минимальных значений на стадиях на  $MK_1^2 - MK_2$ . При последующих стадиях катагенеза отмечается увеличение этого показателя. Это связано с тем, что в начале катагенеза ОВ теряет соединения, богатые кислородом, в виде летучих продуктов – воду и углекислоту. В результате чего происходит относительное обогащение ОВ водородом [Богородская и др., 2005; Фомин, 2011].

Теплотворная способность (Q). Этот показатель подходит для характеристики ОВ, которое не претерпело сильного окисления и преобразования. Величина Q зависит от типа ОВ. Повышенная теплота сгорания свойственна липтобиолитам и сапропелитам, имеющим высокие концентрации водорода, по сравнению с гумолитами. Теплотворная способность является малоинформативным параметром для определения уровня зрелости органического вещества [Фомин, 2011].

Т.о., поскольку для определения уровня зрелости ОВ нет равноценного одного углехимического показателя для всех градаций катагенеза, то для надежной

диагностики углехимические данные должны быть сопоставлены с углепетрографическим, которые информативны по всей шкале катагенеза.

**Термические методы** определения степени преобразованности ОВ используются в случаях, когда невозможно выполнить углепетрографические или углехимические анализы (или в дополнение к ним). К термическим методам исследования керогена относятся следующие методы: пиролиз, показатель термической устойчивости, дифференциальный-термический анализ [Фомин, 2011].

Для определения степени катагенеза ОВ метод пиролиза первыми в СССР применили Л.И. Богородская и А.Э. Конторович. В работе «Метод определения показателей термической устойчивости ОВ (ПТУ)» они связали температуры нагрева ОВ со стадиями катагенеза, а также составили карты катагенеза ОВ Западной и Восточной Сибири [Меленевский, 1991]. Степень преобразованности ОВ по данным пиролиза  $T_{max}$  коррелирует с определениями отражательной способности витринита:  $T_{max}$  до  $435^{\circ}\text{C}$  – соответствует значениям  $R_{vt}^0 < 0.5$ ;  $435-460^{\circ}\text{C}$  –  $R_{vt}^0 = 0.5-1.15$ ; выше  $460^{\circ}\text{C}$  –  $R_{vt}^0 > 1.15$  [Peters, 1986; Геология и геохимия..., 2000].

Метод пиролиза керогена применяют в основном для оценки нефтегенерационного потенциала ОВ осадочных отложений. Помимо этого, пиролитические характеристики керогена дают возможность судить об уровне зрелости ОВ. Преимуществом метода является быстрота процесса определения и небольшая масса навесок пробы [Фомин, 2011].

На рисунке 1.9 приведена карта катагенеза органического вещества в баженовском горизонте и ее стратиграфических аналогах на территории Западно-Сибирского мегабассейна. Согласно карте катагенеза (Рисунок 1.9), уровень катагенетической зрелости ОВ в кровле юрского комплекса изменяется в пределах ПК<sub>3</sub>-АК<sub>1</sub> градаций.

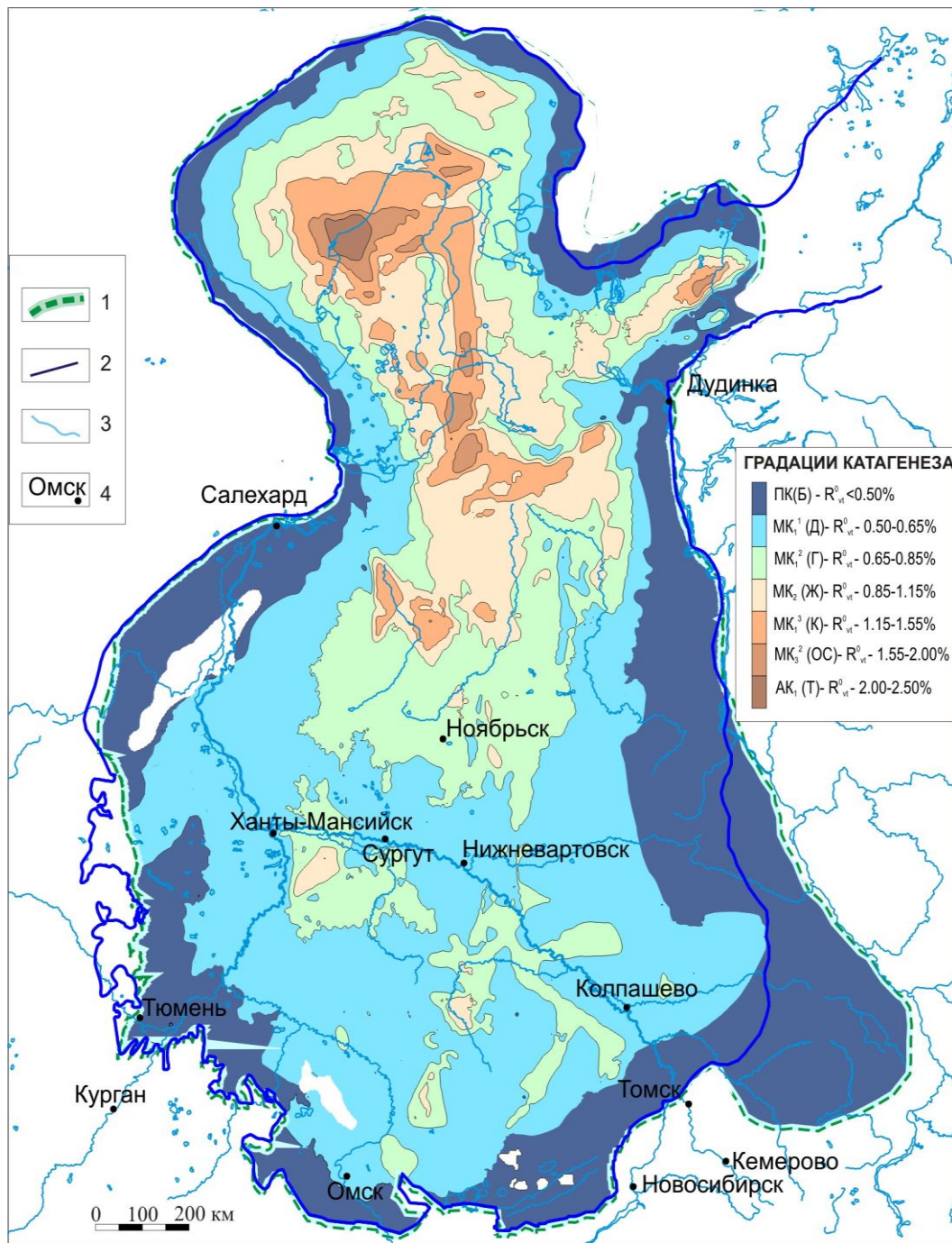


Рисунок 1.9 – Схематическая карта катагенеза органического вещества в кровле юрского комплекса Западно-Сибирского мегабассейна [Конторович и др., 2009, с изменениями автора]

Условные обозначения: 1–2 – границы: 1 – юрского осадочного бассейна; 2 – площадного распространения верхнеюрских отложений по [Рыжкова и др., 2018]. 3 – гидросеть; 4 – населенные пункты.

Наименее преобразованное ОВ – градация ПК<sub>3</sub>,  $R_{vt}^0$  – 0.40-0.50 % – находится на окраинах мегабассейна, что соответствует в тектоническом плане (за исключением северных и северо-западных территорий) Внешнему поясу [Конторович и др., 2001] с осложняющими его структурами. В юго-западной части провинции (Тюменская мегамоноклиза) уровень зрелости ОВ соответствует концу ПК<sub>3</sub> ( $R_{vt}^0$  – 0.48 %). На восточной окраине мегабассейна (Предъенисейская мегамоноклиза) катагенез отвечает началу ПК<sub>3</sub> ( $R_{vt}^0$  – 0.40 %). Южнее, в пределах Барабинско-Пихтовской мегамоноклизы и на юге Тегульдетской мегагемисинеклизы отражательная способность витринита составляет  $R_0^{vt}$  – 0.42-0.45 % до  $R_{vt}^0$  – 0.48 %. Зона протокатагенеза ОВ с градацией  $R_{vt}^0$  – 0.45 % находится в окраинных частях Енисей-Хатангского прогиба. В пределах северных и западных окраин мегабассейна, на территории Предтаймырской, Пайхойско-Новоземельской и Зауральской мегамоноклиз отмечается переходное состояние между градациями ПК<sub>3</sub> и МК<sub>1</sub><sup>1</sup> ( $R_{vt}^0$  – 0.48-0.52 %). Низкая преобразованность ОВ в этих районах связана с тем, что в прошлом здесь существовал слабый геотермический режим. Современные пластовые температуры на участках пониженного катагенеза значительно меньше (50-60 °C), чем температуры в соседних районах (80-100 °C). По данным А.Н. Фомина [Фомин, 2011] уровень зрелости ОВ в пределах Шаймского мегавала соответствует градации МК<sub>1</sub><sup>1</sup>  $R_{vt}^0$  – 0.50-0.52 %, а на некоторых площадях мегавала до  $R_{vt}^0$  – 0.55-0.59 %.

Для Внутренней тектонической области Западно-Сибирской нефтегазоносной провинции отмечаются следующие закономерности:

- на территории Среднеобской региональной ступени преимущественно развиты отложения, в которых катагенетическая зрелость ОВ соответствует градации МК<sub>1</sub><sup>1</sup> ( $R_{vt}^0$  – 0.50-0.65 %);
- в пределах Ямало-Карской региональной депрессии наиболее широко распространены отложения с уровнем зрелости ОВ градации МК<sub>1</sub><sup>2</sup> ( $R_{vt}^0$  – 0.65-0.85 %) и МК<sub>2</sub> ( $R_{vt}^0$  – 0.85-1.15 %).

В южной части провинции (Среднеобская региональная ступень) преобразованность ОВ середины градации МК<sub>1</sub><sup>2</sup> ( $R_{vt}^0 - 0.65\text{-}0.85 \%$ ) находится в пределах нескольких территорий:

- Мансиjsкой синеклизы – с увеличением степени катагенеза до МК<sub>2</sub> ( $R_{vt}^0 - 0.85\text{-}1.15 \%$ ) в районе Салымского куполовидного поднятия;
- локального участка Красноленинской мегамоноклизы с увеличением степени катагенеза до МК<sub>2</sub> ( $R_{vt}^0 - 0.85\text{-}1.15 \%$ ) в северо-западной части;
- на севере и юге Нюрольской мегавпадины с более сильным преобразованием ОВ до МК<sub>2</sub> ( $R_{vt}^0 - 0.85\text{-}1.15 \%$ ) в центральных частях;
- севернее и восточнее Колтогорско-Нюрольского жёлоба линейные зоны, пересекающие различные тектонические элементы;
- небольшие участки в районе Нижнеомской, Журавлевской, Северо-Колпашевской и других площадей.

Преобразованность ОВ в северной части провинции (Ямalo-Карская депрессия) значительно выше, чем в южной части. На фоне общего фона преобразованности ОВ градации МК<sub>1</sub><sup>2</sup> ( $R_{vt}^0 - 0.65\text{-}0.85 \%$ ) здесь выделяются обширные территории с катагенезом МК<sub>2</sub> ( $R_{vt}^0 - 0.85\text{-}1.15 \%$ ), соответствующие отрицательным надпорядковым тектоническим элементам: Карской, Антепаутинско-Тадебеяхинской, Большехетской мегасинеклизам, Надымской гемисинеклизе, Агапско-Енисейскому жёлобу и структуре I порядка – Северо-Карской мегавпадине. Преобразованность ОВ градации МК<sub>3</sub><sup>1</sup> ( $R_{vt}^0 - 1.15\text{-}1.55 \%$ ) характерна для северной части Большехетской и Надымской структур, юго-западной и центральной частей Антепаутинско-Тадебеяхинской мегасинеклизы, для северо-восточной части Агапского прогиба, а также почти полностью соответствует площади Карской мегасинеклизы, с нарастанием катагенеза до градации АК<sub>1</sub> ( $R_{vt}^0 - 2.0\text{-}2.50 \%$ ) в пределах Южно-Карской мегавпадины [Фомин, 2011].

Таким образом, выявленная в 70-е годы прошлого века закономерность [Нефтепроизводящие толщи..., 1967; Конторович, 1967] увеличения уровня зрелости ОВ от окраин мегабассейна к центральным и арктическим районам по

мере погружения толщ осадочного чехла, подтверждается и по современным данным катагенетической преобразованности ОВ в Западно-Сибирском мегабассейне [Фомин, 2011; и др.].

При оценке перспектив нефтегазоносности отложений и прогноза фазового состояния углеводородных флюидов в рамках органической теории происхождения нефти важная роль принадлежит катагенезу органического вещества осадочных толщ. Катагенез является важнейшим этапом генерации нефти и углеводородных газов из рассеянного органического вещества. Кроме того, катагенетические данные позволяют по разрезам скважин более надёжно реконструировать палеотектонические и палеотемпературные режимы, а также выявлять осадочные толщи, прогретые интрузивными телами, и выявлять перерывы в осадконакоплении [Фомин, 2011].

### **1.5 Современные температуры пород**

При изучении корреляционных связей между показателями преломления витринита и катагенеза ОВ и температурой вмещающих пород и глубиной их погружения, в 1967 г. А.Э. Конторовичем с соавторами [Конторович и др., 1967а] было выявлено, что наиболее сильная корреляционная связь существует с температурой, что позволило авторам сделать вывод, что решающим фактором катагенеза является температура. Катагенез, по мнению большинства исследователей, контролируется, в основном, увеличением температур пород с глубиной в связи с увеличением толщины перекрывающих отложений [Конторович и др., 1967а, б].

Источниками тепловой энергии могут быть различные процессы: радиоактивный распад, экзотермические реакции, гравитационные процессы, магматические внедрения, тектоника и т.д. По данным Н.Л. Добрецова и А.Г. Кирдяшкина [1994], интенсивность теплового потока в верхних горизонтах литосферы связана с периодически поднимающимися мантийными плутонами, которые уносят избыток тепла с границы ядро-мантия, что сопровождается

интенсивным магматизмом. Периодичность этого события составляет около 30 млн лет [Добрецов, Кирдяшкин, 1994; Добрецов, 2011].

Термическое (термокаталитическое) преобразование исходного ОВ в зоне регионального катагенеза является одним из необходимых важнейших условий для образования нефти, газа и углей. Росту степени зрелости ОВ с глубиной соответствует увеличение пластовых температур. Величина геотермического градиента может изменяться в широких пределах и зависит от тектонической активности территории. Согласно исследованиям, низкие значения геотермического градиента находятся в пределах щитов – 0.6-0.9 °C/100 м, на платформах его значения составляют порядка 0.9-2.5 °C/100 м. Высокие величины геотермического градиента отмечаются в зонах альпийской складчатости – 2.5-10.0 °C/100 м, за исключением вулканически активных областей, где этот показатель ещё выше [Конторович и др., 1973].

В распределении среднего геотермического градиента в пределах Западно-Сибирского мегабассейна отражаются общие закономерности характера температурных полей в осадочном чехле. По данным Н.М. Кругликова и соавторов [Кругликов и др., 1985] низкие значения от 1.5-2.5 °C/100 м имеют место только в прибрежных частях бассейна, особенно в приенисейской. Ширина полосы с градиентами, не превышающими 3 °C/100 м в восточной части мегабассейна значительно больше, чем в западной части (150-600 км против 50-120 км). Авторами [Кругликов и др., 1985] отмечается обособление двух зон распределения средних геотермических градиентов:

- зона с преобладающими градиентами 3.5 °C/100 м – находится в пределах наиболее погруженной внутренней части бассейна (Ханты-Мансийская, Надымская впадины). Для этой зоны характерны слабая дифференцированность температурных полей и небольшое число положительных температурных аномалий;

- зона с преобладающими градиентами более 3.5 °C/100 м – имеет сложную конфигурацию. Западная ветвь этой зоны протягивается в субмеридиональном направлении полосой различной ширины (от 75 до 300 км), захватывая Ямальский

полуостров и протягиваясь до ширины г. Тюмень вдоль западного борта мегабассейна, а восточная часть охватывает Танловскую впадину, проходит через Нижневартовский свод (вдоль Колтогорско-Уренгойского жёлоба) и занимает всю юго-восточную часть мегабассейна. Самыми высокими геотермическими градиентами в этой зоне выделяются Шаймский мегавал (до 5-6 °C/100 м), Красноленинский свод (до 5 °C/100 м), северо-западная часть Нурминского мегавала (более 4 °C/100 м) [Кругликов и др., 1985].

Северная часть мегабассейна, входящая в обе зоны, характеризуется в целом отсутствием восточнее Ярудейского и Нурминского мегавалов участков со средними геотермическими градиентами, превышающими 4 °C/100 м (преобладают значения 3.0-3.5 °C/100 м) [Кругликов и др., 1985].

Органическое вещество, в отличие от минеральной части породы, очень чувствительно к малейшим изменениям температуры, которые приводят к необратимым реакциям при созревании ОВ. Уровень зрелости ОВ зависит от эффективного времени и максимальной температуры (связана с интенсивностью теплового потока фундамента) прогрева вмещающих отложений [Фомин, 2011].

На основе анализа данных уровня катагенеза ОВ в сейсмически активных районах с высокими показателями геотермических градиентов и в зонах контакта интрузивных тел с углами, с привлечением экспериментального моделирования, разными авторами были выявлены минимальные температуры для достижения органическим веществом определенных градаций катагенеза. За основу расчетов принято предложенное И.И. Аммосовым в 1967 г. утверждение, что органическое вещество, достигшее определенной степени зрелости в результате воздействия температуры при максимальном погружении вмещающих толщ, при последующей инверсии тектонических движений практически не претерпевает изменений. Этот метод прогноза палеотемператур «основан на сопоставлении изменений параметров ОВ с современными температурами в глубоких скважинах, пробуренных в областях наибольшего погружения осадочных толщ, где показатель отражения витринита соответствует максимальным температурам» [Фомин, 2011, с. 124-125].

По данным изучения структурно-химических особенностей углей и моделировании катагенеза в различных бассейнах была установлена второстепенная роль давления, как одного из факторов катагенеза, в преобразовании ОВ. Согласно законам термодинамики, давление приостанавливает течение химических реакций углефикации, что препятствует эмиграции газов, а также других продуктов преобразования, из ОВ. По данным К.Г. Рожковой [Рожкова, 1993] в условиях затрудненного оттока флюидов и существовании аномально высоких пластовых давлений превращения ОВ замедляются, и главная фаза нефтеобразования проявляется при более высокой температуре, по сравнению с открытой системой с нормальным гидростатическим давлением [Рожкова, 1993]. Соответственно, при увеличении давления, необходимы более высокие температуры для течения процессов превращения ОВ и его деструкции [Фомин, 2011].

Региональные карты температур осадочного чехла на всю территорию Западно-Сибирского бассейна впервые были построены в 1967 г. А.Э. Конторовичем, Ю.Г. Зиминым и Л.И. Швыдковой по данным точечных замеров пластовых температур водоносных и нефтеносных горизонтов с разбраковкой данных по степени достоверности [Конторович и др., 1967б; Зимин и др., 1972].

В последующие годы построения карт температур на эту территорию выполнялись Н.М. Кругликовым (1967, 1985), А.Э. Конторовичем (1971, 1974) А.Э. Конторовичем и И.И. Нестеровым (1975), Т.В. Дорофеевой, Б.А. Лебедевым, Т.В. Петровой (1979, 1983), А.Р. Курчиковым и Б.П. Ставицким (1981, 1987), А.Э. Конторовичем и А.Р. Курчиковым (1991), А.Р. Курчиковым (1992, 2001), В.В. Нелюбиным и О.Н. Яковлевым (1985), В.И. Ермаковым и В.А. Скоробогатовым (1986), Д.А. Новиковым (2011) и др.

Дифференцированно построенное геотермическое поле Западно-Сибирского мегабассейна находит свое отражение в температуре подземных вод в пластовых условиях, выявленных на основе прямых измерений температур в различных частях разреза осадочного чехла. В 1985 г. Н.М. Кругликов с соавторами

[Кругликов и др., 1985], используя геотермические параметры (геотермический градиент и ступень, определенные по сводным геотермограммам для отдельных месторождений и разведочных площадей) мезозойского чехла, путем экстраполяции построили геотермические карты на различные стратиграфические уровни, с учетом структурного плана (Рисунок 1.10). Согласно геотермической карте (Рисунок 1.11), положительные структуры разного порядка наиболее отчетливо оконтуриваются на картах по подошве осадочного чехла. В кровле юрского комплекса температура пластовых вод изменяется от 20-30 °C в периферийной части до 120-130 °C – в крупных впадинах и на отдельных локальных поднятиях. Диапазон изменения температур в пределах нефтегазоносного бассейна составляет 50-70 °C. На западе, в приуральской части повышенные температуры (80-100 °C) характерны для Шаймского мегавала и прилегающих к нему участков, а также находятся в пределах Красноленинского свода (105-125 °C). Севернее, в Березовском районе, температуры в кровле юрской водонапорной толщи становятся более умеренные – 60-80 °C [Кругликов и др., 1985].

В центральных и юго-восточных районах мегабассейна картина распределения температур выглядит достаточно мазаично. Температура изменяется от 90 °C – в Ханты-Мансийской впадине (в южной части) до 120 °C (в северной). В Юганской впадине температуры, как правило, не превышают 100 °C, а в единичных случаях достигают 115 °C [Кругликов и др., 1985]. Зона относительно пониженных температур < 90 °C приурочена к Хантейской гемиантеклизе, где температуры закономерно снижаются в направлении уменьшения абсолютных отметок баженовского горизонта. Восточнее, в Нюрольской и Усть-Тымской впадинах, температура изменяется от 80 до 105 °C. Геотермические значения в пределах других крупных отрицательных структур (Омской, Кыштовской, Бачкарской, Тегульдетской, Пайдугинской), расположенных на окраинах мегабассейна, не превышают 70-80 °C.

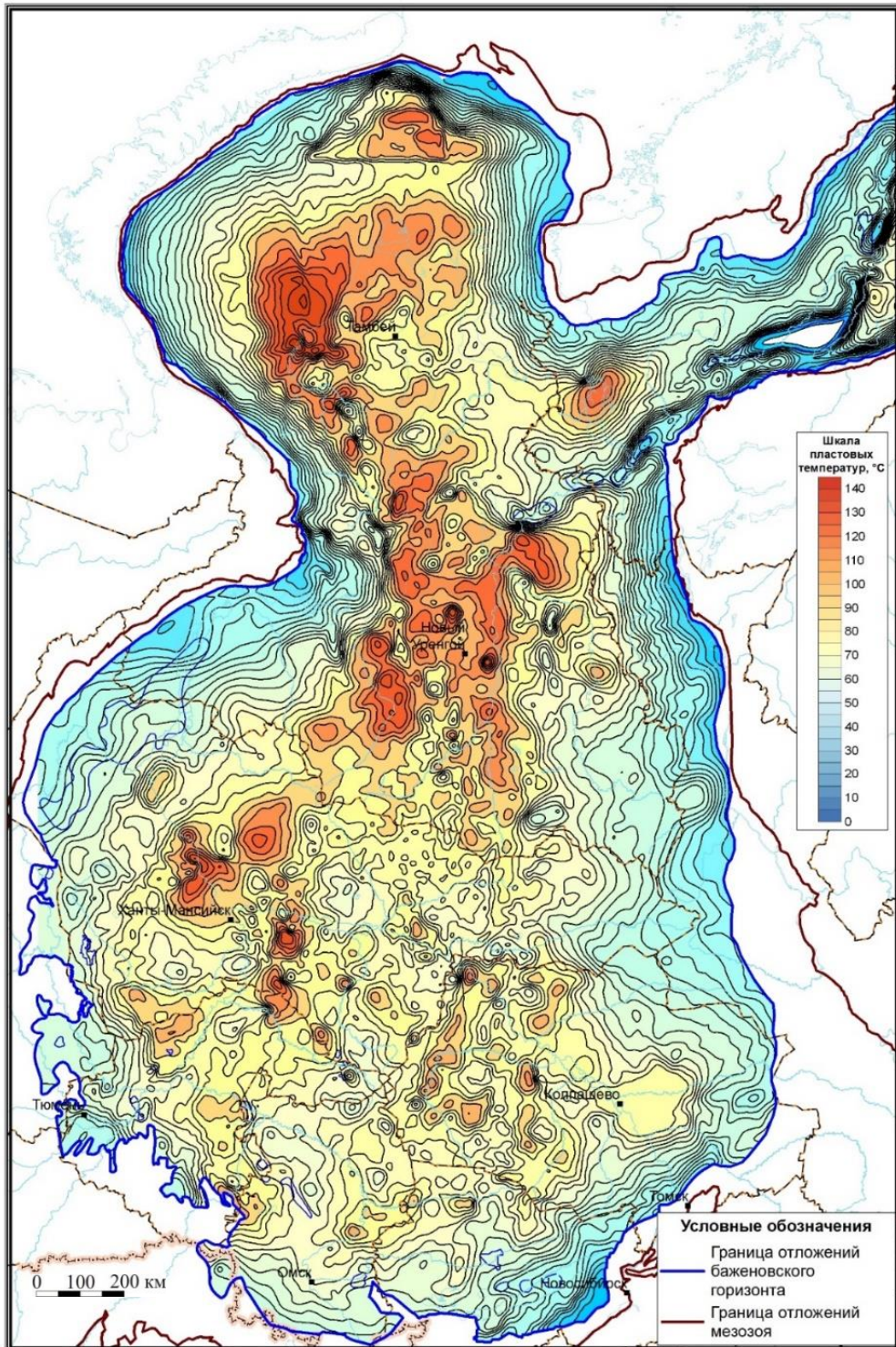


Рисунок 1.10 – Карта пластовых температур верхней части баженовского горизонта  
[Геологическая..., 2014-2016г]

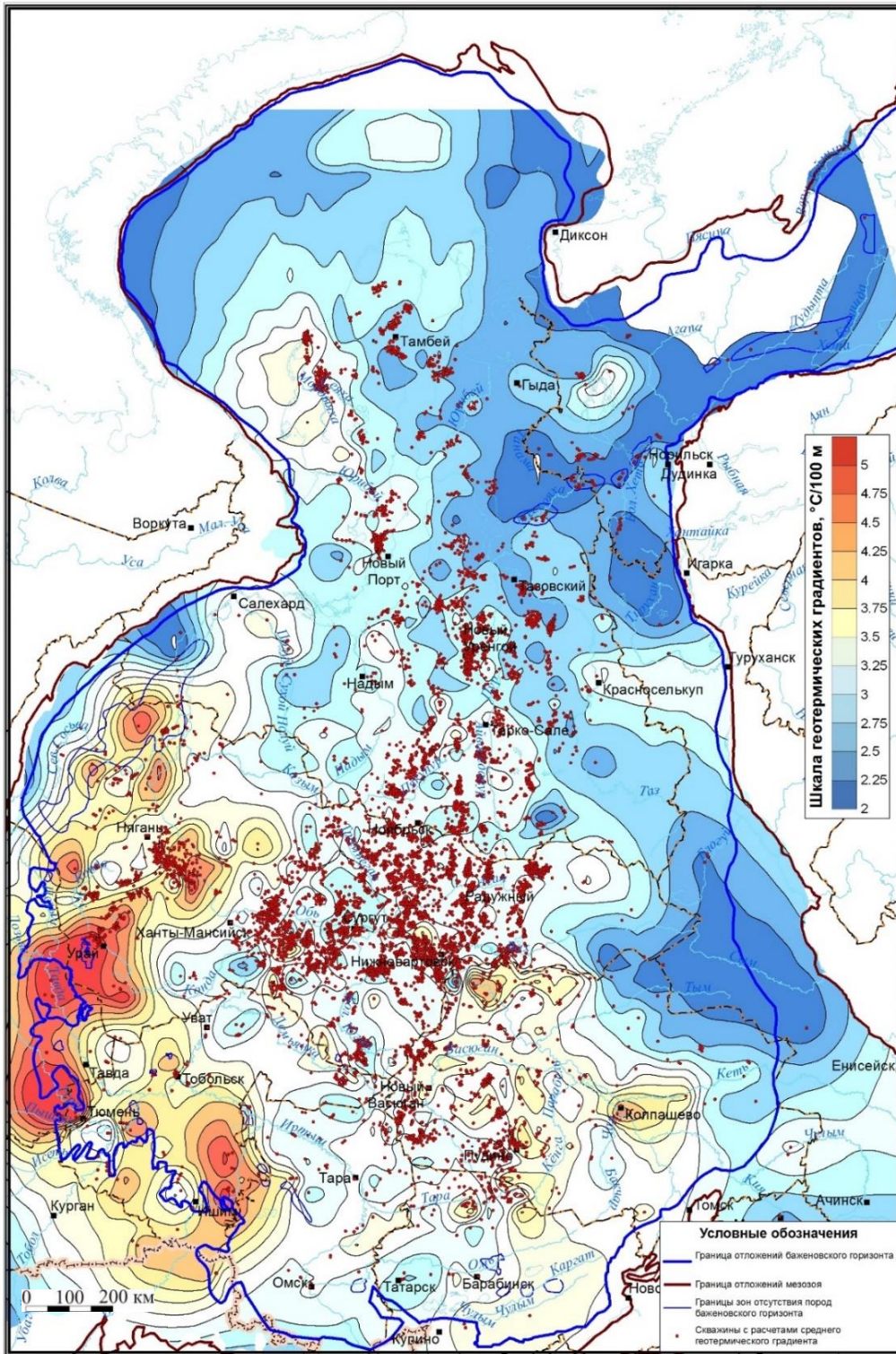


Рисунок 1.11 – Карта районирования Западно-Сибирского осадочного бассейна по величине геотермического градиента [Геологическая..., 2014-2016г]

Температуры не ниже 90 °С характерны для южных районов Колтогорского мегапрогиба. Среди положительных структур явно оконтуривается Сургутский свод с изотермой 90 °С, южнее которого температура поднимается до 100 °С и более – в пределах Сургутско-Демьянской седловины. В районе Нижневартовского свода температуры изменяются от 90 до 110 °С. Также положительными аномалиями в южной части мегабассейна выделяются Каймысовский, Александровский своды, отдельные участки Парабельского мегавала с температурами 95-100 °С. Высокоамплитудная аномалия 115-120 °С фиксируется на Салымском, Верхнесалымском куполовидных поднятиях и на прилегающих площадях. Несколько положительных температурных аномалий находятся на отдельных локальных структурах и площадях [Кругликов и др., 1985].

Высокие температуры (более 120 °С) в кровле юрского горизонта выделяются на севере Западно-Сибирского мегабассейна в пределах следующих структур: Танловской впадины, Нижнепурпейского и Парусового мегапрогибов, в юго-западной части Большехетской впадины, в северной части Ямальского полуострова. Максимальная пластовая температура (до 140 °С) находится в пределах Южно-Карской мегавпадины. На территории локальных поднятий температуры изменяются от 65 до 110 °С. Наиболее высокая температура до 116 °С установлена в скважине 71 Восточно-Таркосалинской площади на глубине 3400 м [Кругликов и др., 1985].

Уже на начальных этапах исследования было выявлено, что изменения температур в отложениях осадочного чехла контролируются особенностями тектонического строения региона. Закономерности изменения температур в региональном плане обусловлены следующими факторами: интенсивностью теплового потока фундамента (зависит от времени, когда консолидировались отдельные его блоки); толщиной перекрывающих отложений [Конторович, Зимин, 1969]. Чем древнее возраст фундамента, тем меньше геотермический градиент в отложениях осадочного чехла и тем меньше значения теплового потока [Нефтепроизводящие..., 1967].

В 70-90 годы прошлого века изменения современных тепловых потоков были изучены разными авторскими коллективами: А.Э. Конторович, И.И. Нестеров, Ф.К. Салманов (1975); Б.П. Ставицкий (1987); А.Р. Курчиков, (1987, 1992); А.Д. Дучков (1979, 1985, 1987, 1994) и др. Методика оценки теплового потока опирается на анализ значений отражательной способности витринита, что согласуется с картиной распределений теплового потока, полученной на основании современного распределения температур в баженовской свите.

На основе анализа региональных закономерностей изменения теплового потока А.Э. Конторовичем с соавторами [Нефтепроизводящие..., 1967] был подтвержден сделанный ранее вывод, что на величину теплового потока существенно влияет вещественный состав пород структурных зон, слагающих фундамент Западно-Сибирской плиты. Повышенные значения теплового потока характерны для районов, где вскрыты гранитные интрузии. На площадях, где в фундаменте развиты осадочные и вулканогенные образования, существуют пониженные величины теплового потока [Конторовичи др., 1975].

По данным А.Д. Дучкова [1985], Н.М. Кругликова, [Кругликов и др., 1985], А.Р. Курчикова и Б.П. Ставицкого [Курчиков, Ставицкий, 1987; Курчиков, 2001], плотность теплового потока в пределах Западно-Сибирской плиты изменяется от 20 до 98 мВт/м<sup>2</sup> (среднее 57 мВт/м<sup>2</sup>).

Согласно исследованиям А.Р. Курчикова [Курчиков, 2001] (учтено порядка 6000 определений значений теплового потока) в пределах Западной Сибири выделяются две значительные по размерам области со значениями теплового потока менее 50 мВт/м<sup>2</sup>: первая – занимает территории, которые примыкают к восточному обрамлению Западно-Сибирской плиты, Гыданский и частично Ямальский полуострова; вторая – находится в южной части региона. Вдоль западного обрамления плиты выявлено чередование зон высокого (более 80-90 мВт/м<sup>2</sup>) и низкого (менее 50-60 мВт/м<sup>2</sup>) теплового потока. Ранее, при меньшем количестве данных, на этой территории выделялась обширная по размерам область высокого теплового потока. Для оставшейся территории Западной Сибири характерно обособление области однородного и низкого теплового поля порядка

50-55 мВт/м<sup>2</sup> – на севере; и области сильно дифференцированных значений от 40 мВт/м<sup>2</sup> (Сургутский свод) до 85 мВт/м<sup>2</sup> (Салымский и Вартовский районы) – на юге [Курчиков, 2001].

В зонах глубинных разломов возможно возникновение геотемпературных аномалий, исчисляемых первыми миллионами лет – в случае появления дополнительных источников тепла из глубин Земли. При наличии условий, благоприятных для интенсивных вертикальных перетоков подземных флюидов, площадь распространения геотемпературной аномалии зависит от объема флюидов, проникающих по приразломным горизонтам [Курчиков, Ставицкий, 1987]. По данным М.М. Митника, температура глубинных вод становится равной фоновой уже на расстоянии первых километров от разлома. В случае группы одинаково ориентированных и близко расположенных разломов, геотермический эффект будет более значительным. На территории Западно-Сибирского бассейна превышение температур над фоновыми отмечается на некоторых площадях в зоне Колтогорско-Уренгойского грабен-рифта. Незначительные увеличения величин плотности теплового потока на 1-2 мВт/м<sup>2</sup> зафиксированы в скважинах Губкинской, Уренгойской и других площадях. Согласно накопленной геологической и геотермической информации, на современное геотемпературное поле Западной Сибири значимого влияния процессы рифтообразования в раннемезозойское время не оказывают, что не исключает возможности прогрева осадочного чехла в предшествующие геологические эпохи [Курчиков, Ставицкий, 1987].

## **Глава 2. МЕТОДИКА И МАТЕРИАЛ ИССЛЕДОВАНИЯ**

### **2.1 Методика исследований**

В настоящей работе для изучения закономерностей распределения  $C_{\text{орг}}$  в породах баженовского горизонта использовались определения  $C_{\text{орг}}$ , полученные при комплексировании всех методов определения  $C_{\text{орг}}$ : химическом, пиролитическом и определении  $C_{\text{орг}}$  по результатам интерпретации ГИС, за счёт чего была значительно увеличена плотность наблюдений на площади и оценены концентрации органического углерода в разрезе изученных скважин.

Ниже приводится описание каждого метода.

#### **2.1.1 Химический метод определения концентрации $C_{\text{орг}}$ в породах**

При изучении РОВ осадочных пород и осадков, в нем выделяют следующие аналитические группы: растворимые в органических растворителях компоненты – гуминовые кислоты и битумоиды; и нерастворимые в органических растворителях компоненты ОВ – кероген [Геология и геохимия..., 2000; 2004; Богородская и др., 2005].

Гуминовые кислоты – это фракция ОВ, извлекаемая водным раствором щелочи из почв, осадков, углей и осаждаемая минеральными кислотами. Гуминовые вещества имеют темно-коричневые цвета и представляют собой высокомолекулярные полимерные соединения с высоким содержанием кислорода, серы и азота. Битумоиды – вещества, извлекаемые органическими растворителями – хлороформом, бензолом, петролейным эфиром, ацетоном, спирто-бензолом и др.

На начальном этапе для решения фундаментальных и прикладных задач нефтяной геологии, необходимым было развитие современных методов анализа в органической геохимии с использованием новейших физических и физико-химических исследований, позволяющих исследовать механизм химического преобразования ОВ в процессе диагенеза и катагенеза, установить генетические связи («маркеры») живого вещества с фоссилизированным ОВ и нефтью,

обосновать геолого-геохимические факторы, влияющие на состав битумоидов и нефлей и др. [Конторович, 1973].

На основе схемы изучения нерастворимого ОВ (керогена), разработанной в 50-70-е годы прошлого века В.А. Успенским с соавторами [1958; 1966; 1973; и др], в СНИИГГиМСе был разработан рациональный комплекс современных методов анализа в органической геохимии с учетом достижений отечественных и зарубежных лабораторий в области изучения объектов органической геохимии. Схема исследования рассеянного органического вещества (Рисунок 2.1), предложенная в 1973 г. А.Э. Конторовичем [1973], позволяет с максимальной детальностью изучать органическое вещество и нефти.

Прямое химическое определение концентраций  $C_{\text{опг}}$  в породе, содержащей повышенное количество карбонатов, невозможно, поскольку при проведении анализа карбонатный углерод регистрируется прибором одновременно с органическим углеродом. В связи с этим, подлежащий изучению материал предварительно декарбонатизируется посредством кислотной обработки. Поскольку определение углерода производится обычно путём сжигания в трубчатых печах, декарбонатизация породы осуществляется в порядке отдельной операции и анализу подвергается полученный нерастворимый остаток.

Таким образом, ход анализа при определении общего содержания органического вещества состоит из следующих операций:

- декарбонатизация породы (получение нерастворимого остатка);
- определение в полученном нерастворимом остатке количества  $C_{\text{опг}}$ ;
- пересчет определённых в процессе анализа значений  $C_{\text{опг}}$  на ОВ.

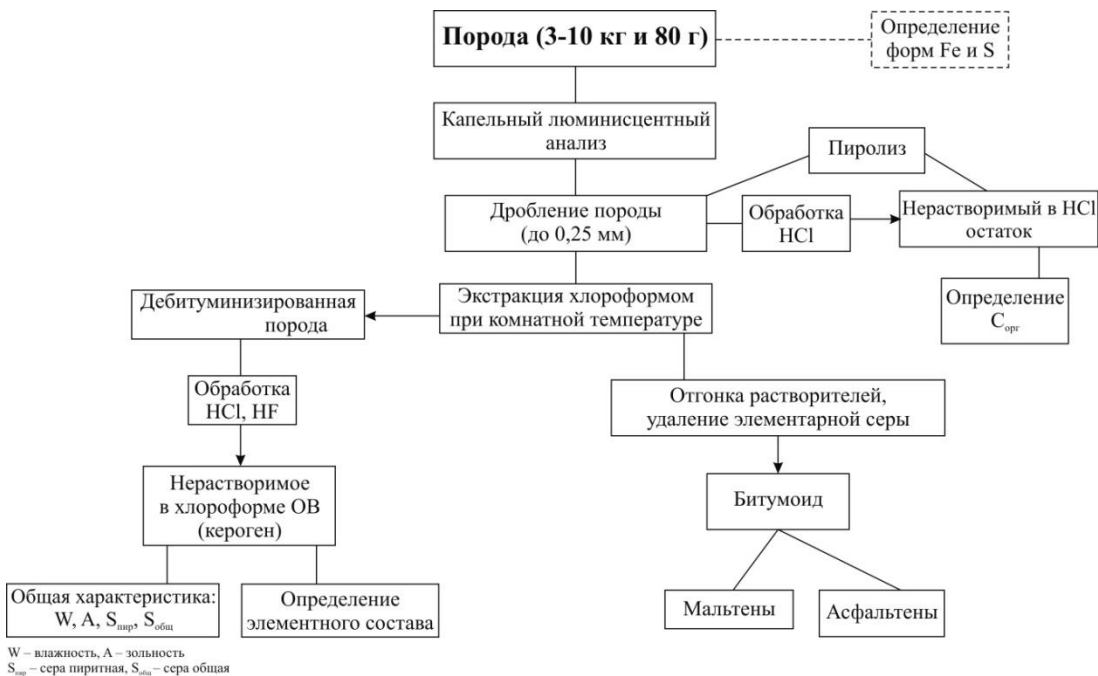
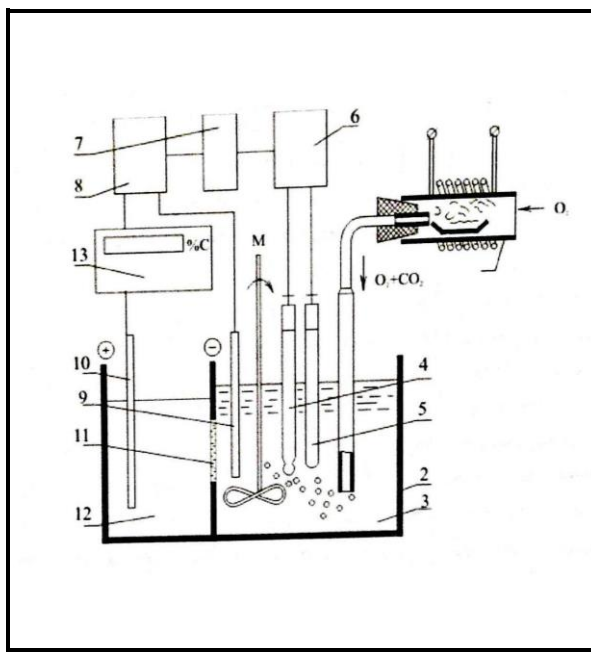


Рисунок 2.1. – Схема исследования рассеянного органического вещества в ИНГГ СО РАН  
[Борисова и др., 2011]

Рекомендуется определять общее содержание органического углерода, для чего от подлежащей экстрагированию породы отквартовывается часть ее в количестве порядка 30 г, которая подвергается разложению.

Измельчённая и просеянная сквозь сито (0.25 мм) порода хорошо перемешивается, после чего навеска породы поступает на кислотную обработку. Содержание органических веществ определяют по содержанию углерода С<sub>опр</sub>, определяемому по количеству выделившегося при сжигании углекислого газа CO<sub>2</sub>.

Методика работы на газоанализаторе ГОУ-1 описана в соответствующих руководствах: «Руководство по химическому анализу почв» [Аринушкина, 1970], «ГОСТ 23740-79 Грунты. Методы лабораторного определения содержания органических веществ» [ГОСТ..., 1979], «Руководство по анализу битумов и рассеянного органического вещества горных пород (для лабораторий геологоразведочных организаций)» [Руководство..., 1966]. Рекомендуемый метод можно использовать также и на других приборах, в которых определение содержания С<sub>опр</sub> производится сжиганием проб в токе кислорода (экспресс-анализатор на углерод АН-7529 (Рисунок 2.2), CHN – анализаторы разных типов, установки для микроанализа и др.).



- 1 – трубчатая печь;
- 2 – электролитическая ячейка;
- 3 – поглотительный раствор;
- 4 – измерительный электрод;
- 5 – вспомогательный электрод;
- 6 – высокоомный усилитель pH-метра;
- 7 – преобразователь;
- 8 – стабилизатор тока;
- 9 – катод;
- 10 – анод;
- 11 – проницаемая для тока перегородка;
- 12 – вспомогательный раствор;
- 13 – интегратор тока (пересчетное и индикаторное устройство);
- M – мешалка.

Рисунок 2.2 – Схема экспресс-анализатора АН-7529 для определения  $C_{опт}$  [Конторович, 1973]

### 2.1.2 Пиролитический метод определения концентрации $C_{опт}$ в породах (определение $C_{опт}$ методом пиролиза Rock-Eval)

В 80-е годы XXI века, одновременно с проведением комплексных анализов пород нефтегенерирующих толщ по углубленной схеме, позволяющей определять концентрацию ОВ, генетический тип органического вещества, стадию катагенеза, изучать состав керогена и битуминозных компонентов, широкое распространение приобрел пиролитический метод, дающий оценку генетического потенциала породы. Методика и практические результаты пиролиза подробно рассмотрены в работах Дж. Эспиталье с соавторами [Espitalie et al., 1980], Б. Тиссо и Д. Вельте [Tissot et al., 1984], Н.В. Лопатина, Т.П. Емец [1987], В.Н. Меленевского [1985, 1991], [Bordenave, 1993; Эспиталье и др., 1994] и др. На погрешность измерения выхода УВ при проведении пиролиза влияет абсолютное содержание УВ в исследуемом образце. Чем меньше концентрация УВ, тем больше погрешность. Погрешность измерения изменяется в диапазоне 15-20 % [Меленевский, 1985].

Метод пиролиза, по сравнению со стандартными физическими и химическими методами диагностики ОВ (экстракция + хроматография), позволяет

с помощью автоматизированной системы анализа породного образца экспрессно получать результаты (длительность аналитического цикла составляет около  $\frac{1}{2}$  часа), используемые для оценки перспектив нефтегазоносности исследуемого района, в том числе и непосредственно на скважине во время бурения без применения дорогостоящих методов анализа. Помимо этого, в составе углеводородных соединений могут находиться низкомолекулярные гомологи (ниже С<sub>10</sub>), которые обычно улетучиваются при испарении растворителя [Конторович и др., 1986; Меленевский, 1991].

Современный пиролизатор (Rock-Eval 6) содержит две помещенные в печи, нагреваемые до 850 °C ячейки, в которые последовательно автоматически помещается в керамическом или металлическом тигле исследуемая проба, термопары, контролирующие температуру нагрева исследуемого образца. В ячейку, где происходит пиролиз, подается непрерывно во время ее работы инертный газ (азот, гелий или аргон), во вторую ячейку, где происходит окисление органического вещества, подается воздух.

На выходе первой ячейки стоит генератор водорода и пламенно-ионизационный детектор (ПИД) для определения массы проходящих через нее в инертном газе углеводородов. В блоке ПИД в водородно-кислородном пламени происходит ионизация органических соединений. Измеряемый в детекторе ионный ток прямо пропорциональный массовой доле углеводородов в пробе.

На входе второй ячейки стоит баллон высокого давления с газом окислителем, а на выходе стоит инфракрасный (ИК) детектор, который позволяет определять объемное количество проходящего через ячейку СО<sub>2</sub>. В блок ИК-детектора углеводороды пиролиза подаются инертным газом.

Анализ пробы осадочной породы методом Rock-Eval делится на пиролизную и окислительную фазы.

В современных пиролизаторах (пиролизная фаза) исследуемая проба породы помещается в керамический тигель, нагревается в специальной ячейке в атмосфере инертного газа (азота, гелия аргона) до 300 °C и находится при этой температуре 3 мин. На этом допиролизном этапе из образца выделяются в качестве летучих

продуктов образованные в диагенезе и катагенезе, находящиеся в поровом пространстве свободные, а также абсорбированные и адсорбированные углеводороды ( $C_8-C_{35}$ ), смолы и значительная часть наиболее подвижных асфальтенов. Их масса определяется пламенно-ионизационным детектором и регистрируется как пик  $S_1$ . В первом приближении пик  $S_1$  характеризует содержание битумоидов в образце (исключая часть фракции асфальтенов).

Далее по программе, происходит нагрев температуры образца от 300 °C до 580 °C и крекинг содержащегося в нем органического вещества. Масса образующихся при крекинге (пиролизная фаза) углеводородов также фиксируется пламенно-ионизационным детектором как пик  $S_2$ . Пик  $S_2$  характеризует остаточный генерационный потенциал органического вещества. Одновременно выделяются образующиеся при крекинге дебитуминизированного органического вещества органические по источнику неуглеводородные летучие компоненты  $CO_2$ ,  $NH_3$  и  $H_2S$ . Получаемый  $CO_2$  аккумулируется в отдельной ловушке и затем подается в блок инфракрасного детектора. В ряде работ его значение обозначают как пик  $S_3$ .

После завершения крекинга в инертной среде оставшаяся часть пробы превращается в твердый углеродистый остаток и золу в виде минеральной части породы.

Далее оставшаяся в керамический тигле твердая часть пробы автоматически переводится во вторую печь, в которой углеродистый остаток пробы сжигается при той же температуре 580 °C в потоке воздуха (окислительная фаза) и углерод углеродистого остатка окисляется до  $CO_2$ . Образующейся в окислительной ячейке  $CO_2$  также подается в блок инфракрасного детектора NDIR – недисперсионного инфракрасного датчика, сравнительно простого, но очень точного оптического прибора. Определяемое значение количества  $CO_2$  обозначается как пик  $S_4$ .

Максимальная температура крекинга и окислительной фазы деструкции углеродистого остатка не должна превышать 600 °C, чтобы не вызвать термической деструкции карбонатов, содержащихся в пробе. Оставшаяся часть пробы представляет собой золу, полностью потерявшую органический углерод.

Весь анализ пробы, включая пиролизную и окислительную фазы, длится 20 мин.

Выделившиеся из пробы продукты пиролиза при помощи тока азота переносятся из печи в детектор ПИД и в блок ИК-детекторов.

Входящий в прибор, как составная часть, компьютер позволяет автоматически определять параметры  $S_1, S_2$  – в мг УВ/г породы,  $S_3, S_4$  – в мг  $\text{CO}_2$ /г породы.

Зная эти параметры, легко определить значение  $C_{\text{опт}}$ :

$$C_{\text{опт}}, \% = 0.1 \cdot [0.082 \cdot (S_1 + S_2) + 0.27 \cdot (S_3 + S_4)].$$

### **2.1.3 Определение концентрации $C_{\text{опт}}$ в породах по данным ГИС с использованием гамма-каротажа**

При недостатке аналитических данных, в связи с редким отбором керна, в высокорадиоактивных нефтегазоматеринских толщах, к которым относится и баженовская свита, применяется метод определения  $C_{\text{опт}}$  по данным ГИС. С помощью этого метода можно значительно детализировать карты распределения  $C_{\text{опт}}$  при оценке масштабов генерации УВ в высокоуглеродистых толщах.

По данным спектрометрического каротажа основной вклад (до 80-90%) в естественную радиоактивность пород баженовской свиты вносит уран, содержание которого зависит от концентрации ОВ в породах. К окраинам бассейна возрастает доля тория и калия, что связано с увеличением глинистой составляющей в разрезе [Плуман, 1971, 1975; Хабаров и др., 1980; и др.].

В основе метода определения концентрации  $C_{\text{опт}}$  по данным ГИС в высокорадиоактивных породах находится зависимость содержания  $C_{\text{опт}}$  от значений гамма-активности пород по радиоактивному каротажу. В некоторых работах используется зависимость содержаний  $C_{\text{опт}}$  от значений и других видов каротажа, таких как БК, КС, АК и т.д., что отражено в большом количестве публикаций зарубежных и отечественных авторов.

Выявлением корреляционной связи органического углерода и значений каротажа (в основном, гамма-каротаж) в высокоуглеродистых нефтематеринских формациях для бассейнов Европы, Америки и Азии, начиная с 1945 г., занимались в разное время ученые США: R.F. Beers (1945), Т. Бейтс, Э. Строл (1959), V.E. Swanson (1960), J.W. Schmoker (1981); Советского Союза: И.И. Плуман (1971-1977), Н.П. Запивалов, (1977), В.В. Хабаров (1980), В.И. Москвин (1984), Ф.Г. Гураи (1988); Германии: U.I. Mann (1986); Франции: A.L. Curiel, R. Moretto (1988); США: Q.R. Passey (1990); Китая: Yaocen Chen (1996); России: Гавшин В.М., Конторович В.А. (2002); Канады: D.R. Issler (2002); России: Глинских В.Н., Павлова М.А. (2012), и др.

Первоначально, в 60-е годы прошлого века, построение карт распределения концентраций органического углерода в породах осадочного бассейна Западной Сибири проводилось только на основе данных аналитических определений по керну. На существование тесной корреляционной связи между содержанием урана и органического углерода в баженовской свите впервые обратил внимание И.И. Плуман в 1971 г. Им были предприняты первые попытки построения карт распределения  $C_{org}$  с привлечением радиоактивного каротажа и зависимости «керн – ГИС» [1971; 1975]. Используя данные гамма-каротажа по более, чем 200 глубоким скважинам и зависимость «керн – ГИС», И.И. Плуманом была построена схема распределения  $C_{org}$  в породах баженовской свиты для центральных районов Западной Сибири. В результате этого были подтверждены данные Ф.Г. Гураи, Н.П. Запивалова, А.Э. Конторовича, И.И. Нестерова, А.С. Фомичева и др., что концентрации  $C_{org}$  уменьшаются от центральных районов баженовского палеобассейна к периферии [Плуман, 1971, 1976; Плуман, Запивалов, 1977].

Учитывая опыт И.И. Плумана, в 80-е годы прошлого века для оценки содержания органического углерода в породах баженовской свиты этот метод использовали В.В. Хабаров [Хабаров и др., 1980; Хабаров, Первухина, 1989], Ф.Г. Гураи и В.И. Москвин [Гураи и др., 1988], а в начале XXI века – В.А. Конторович [2002]. При разработке способов выявления коллекторов в разрезе баженовской свиты по данным аналитических определений по керну и ГИС

П.С. Куляпин и Т.Ф. Соколова [2015] выполнили оценку содержания органического углерода с помощью интерпретации обширных данных ГИС. Помимо гамма-каротажа, в породах баженовской свиты на территории Салымского месторождения, Красноленинского и Сургутского сводов эти исследователи использовали нейтронный и боковой каротаж (НК + БК) по методу К. Пасси [Passey et al., 1990] и плотностной гамма-гамма каротаж, акустический и боковой методы каротажа (ГГК-П + БК или АК + БК) по методу Д. Айслера [Issler et al., 2002].

В 2012 г. в ИНГГ СО РАН под руководством А.Э. Конторовича при изучении баженовской свиты по данным скважин Салымского района В.Н. Глинских и М.А. Павловой были проанализированы связи аналитических определений  $C_{\text{опр}}$  по керну со всеми имеющимися видами каротажа в скважинах. В результате наилучшей сходимости результатов была найдена зависимость «керн – ГИС» от двух видов каротажа – от совместных показаний ГК и БК и только от ГК.

В настоящей работе за основу для построения уравнения связи «керн – ГИС» автором была принята зависимость значений  $C_{\text{опр}}$  от значений естественной радиоактивности по ГК, выявленная в ИНГГ СО РАН, т.к. в материалах ГИС большинства скважин глубокого бурения, вскрывших баженовский горизонт, приступает ГК, в отличие от каротажа БК, который в электронном банке данных ИНГГ СО РАН представлен менее, чем в 40 % скважин. Однако в ходе выполнения исследования стало очевидно, что уравнения связи «керн – ГИС» на разных территориях распространения баженовского горизонта не остаются постоянными. В связи с этим, после предварительной увязки данных керна и ГИС (ниже, в п. 2.1.4, приводится детальное описание методики увязки керна к геофизическим исследованиям), автором было построено порядка 30 корреляционных уравнений зависимости между содержанием  $C_{\text{опр}} (\%)$  и  $\gamma$ -активностью (мкР/ч):

$$C_{\text{опр}} = a \cdot \gamma + b,$$

где **a** и **b** – параметры, значения которых определены по выборке лабораторных определений  $C_{\text{опр}}$  в керне и замеров по гамма-каротажу.

В результате анализа полученных данных были выбраны эталонные скважины (Рисунок 2.3) с максимально возможным (для этой скважины)

коэффициентом корреляции между  $C_{\text{опр}}$  – аналитическое и  $C_{\text{опр}}$  – измеренное на диаграмме, полученной с помощью зависимости от значений ГК. В таблице 2.1 приводятся основные результаты статистической обработки исходной информации.

Таблица 2.1 – Сводные показатели зависимости  $C_{\text{опр}} = a \cdot y + b$  «керн – ГИС» в эталонных скважинах

№ п.п.	Скважина	a	b	$R^2*$	n**
1	Горшковская 1017	0.17	0.35	0.70	21
2	Салымская 2802	0.23	3.09	0.79	21
3	Малобалыкская 901	0.19	1.17	0.91	26
4	Чупальская 67	0.22	4.08	0.70	24
5	Эниторская 971	0.20	3.16	0.60	32
6	Столбовая 84	0.20	0.82	0.89	9
7	Толпаровская 2	0.21	- 0.04	0.65	15
8	Западно-Квензерская 4	0.14	2.30	0.61	19
9	Среднеюлжавская 10	0.37	- 2.22	0.78	18
10	Ракитинская 4	0.19	1.31	0.78	14
11	Боровая 8	0.14	2.09	0.68	10

\* $R^2$  – коэффициент детерминации.

\*\*n – количество лабораторных определений  $C_{\text{опр}}$  в керне, по которым оценивались параметры зависимости.

Всего в работе использовано 11 корреляционных уравнений по эталонным скважинам: Горшковская 1017, Салымская 2802, Малобалыкская 901, Чупальская 67, Эниторская 971, Столбовая 84, Толпаровская 2, Западно-Квензерская 4, Среднеюлжавская 10, Ракитинская 4, Боровая 8.

Первой особенностью методики в настоящей работе явилось то, что зависимости «керн – ГИС» строились для всей совокупности значений  $C_{\text{опр}}$  в каждой скважине, хорошо охарактеризованной керном с аналитическими данными, и значениями радиоактивности по данным гамма-каротажа. Это позволило изучить распределение  $C_{\text{опр}}$  во всем разрезе.

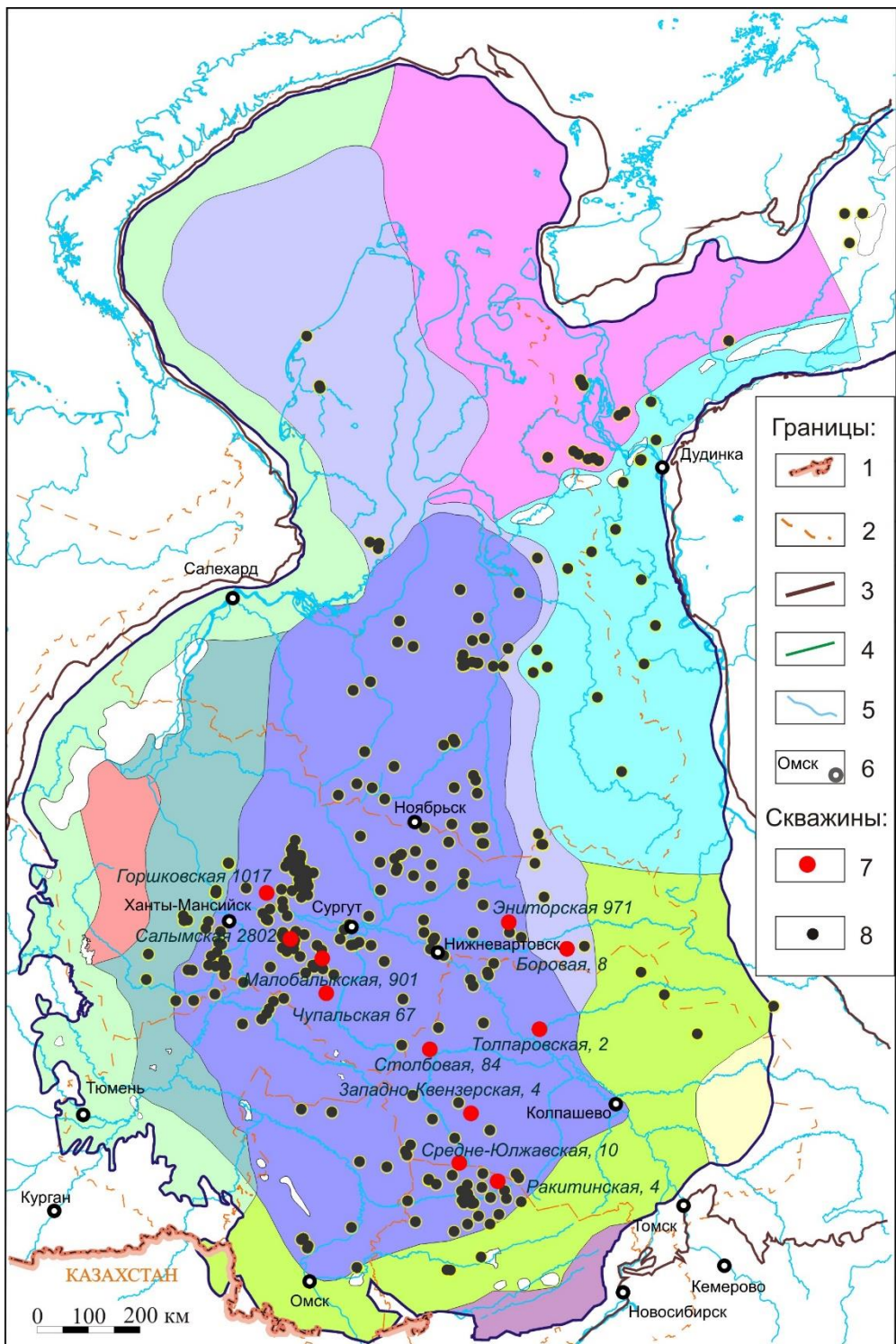


Рисунок 2.3 – Карта со скважинами с аналитическими определениями  $C_{\text{опт}}$  и с построенными корреляционными зависимостями «керн – ГИС»

Условные обозначения: 1–4 – границы: 1 – государственная; 2 – административная; 3 – распространения отложений мезозоя; 4 – площадного распространения верхнеюрских отложений. 5 – гидросеть; 6 – населенные пункты; 7-8 – скважины: 7 – с аналитическими определениями Сорг; 8 – эталонные с зависимостями «керн – ГИС» по типовым разрезам.

Далее осуществлялось районирование территории (Рисунок 2.4) по типу зависимости «керн – ГИС» на литолого-фациальные зоны с учётом вида каротажных диаграмм и толщин волжско-раннеберриасских отложений. В каждом районе применялась зависимость, выявлена по эталонной скважине. Это предопределило вторую особенность методики определения  $C_{\text{орг}}$  в породах баженовской свиты, использованной автором: для разных литолого-фациальных зон баженовского горизонта строились индивидуальные зависимости «керн – ГИС». Важным примечанием является то, что линейная связь « $C_{\text{орг}}$  – радиоактивность пород» имеет место при концентрации  $C_{\text{орг}}$  больше 5 %. Для остальной территории (Рисунок 2.4) построение карт выполнялось методом интерполяции по тренду аналитических данных (желтая краска на схеме районирования).

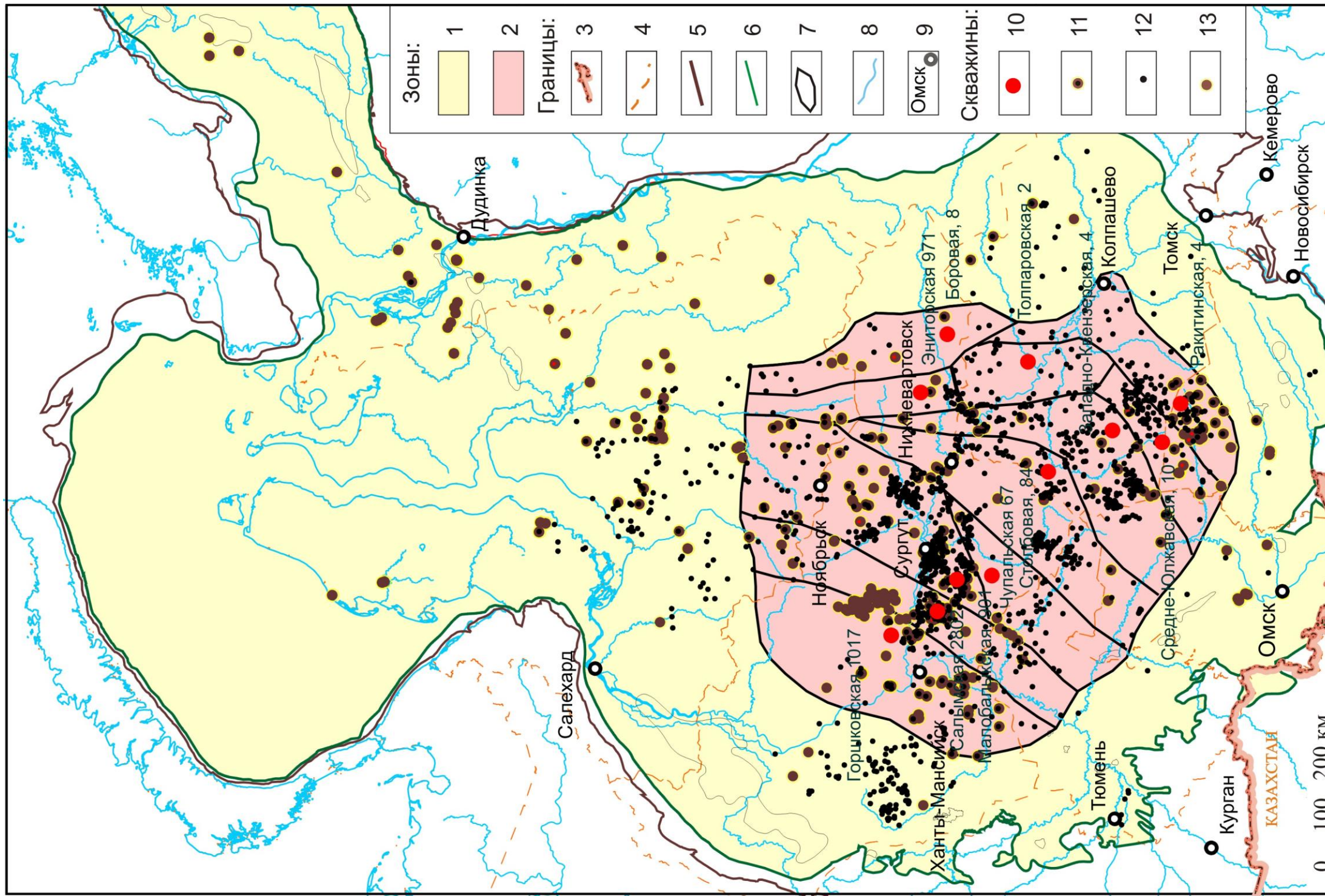


Рисунок 2.4 – Районирование территории Западно-Сибирского осадочного бассейна по методике построения карт содержания  $C_{\text{opr}}$  в породах баженовского горизонта

Условные обозначения: 1–2 – зоны: 1 – построение с использованием интерполяции данных лабораторных измерений; 2 – построение с использованием данных лабораторных измерений и ГИС. 3–7 – границы: 3 – государственная; 4 – административная; 5 – площадного распространения осадочного чехла Западно-Сибирской геосинеклизы; 6 – участков (зон), на которых определения  $C_{\text{opr}}$  в разрезе баженовского горизонта выполнялись с использованием находящихся на них эталонных скважин. 8 – гидросеть; 9 – населенные пункты; 10–13 – скважины: 10 – с аналитическими определениями  $C_{\text{opr}}$  и данными ГИС и построенные зависимостями «керн – ГИС» (эталонные); 11 – с аналитическими определениями  $C_{\text{opr}}$  и данными ГИС (определения  $C_{\text{opr}}$  в разрезе выполнены по эталонным зависимостям «керн – ГИС» с коррекцией по результатам аналитических определений); 12 – с данными ГИС, аналитические определения  $C_{\text{opr}}$  в разрезе выполнены по эталонным зависимостям «керн – ГИС»); 13 – с аналитическими определениями  $C_{\text{opr}}$ , данные ГИС отсутствуют.

## **2.1.4 Методика увязки керна к геофизическим исследованиям «керн – ГИС»**

Первым этапом построения корректной геологической модели любого геологического объекта является задача увязки керновых определений и материалов ГИС, поскольку наиболее надежную информацию об изменении свойств керна можно получить, только изучая образцы керна, а наиболее полную – результаты ГИС. Коллекция керна, используемая для формирования петрофизической модели разреза (скважины), должна в полной мере описывать изучаемый разрез по набору эталонных скважин с определенными зависимостями «керн – ГИС» по вертикали. При выполнении петрофизической настройки данных геофизических исследований скважины проводится сопоставление этих данных с определениями, полученными по керну, для единой литолого-фациальной зоны, чтобы выявить изменение корреляционной связи «керн – ГИС» по площади. При сравнении результатов непрерывной интерпретации данных геофизических исследований скважины увязка определений по керну должна проводиться поточечно [Изотова, Сорока, Пуш, 1981; Кузнецова, 2017].

Согласно Требованиям к составу и правилам оформления представляемых на государственную экспертизу материалов по подсчету запасов нефти и горючих газов (Приказ Министерства природных ресурсов и экологии РФ от 28 декабря 2015 г. № 564) в раздел «Физико-литологическая характеристика коллекторов продуктивных пластов и покрышек по результатам исследования керна» включаются разделы, описывающие методику и результаты привязки керна к разрезу скважины путем сравнения диаграммы одного из геофизических методов с результатами измерений по керну (например, диаграмм ГК-каротажа с результатами измерения радиоактивности на образцах керна). При этом нужно иметь в виду, что качество увязки данных керна и ГИС существенно понижается при низком выходе керна, редкой плотности образцов керна и без проведения профильных замеров на полноразмерном керне [Методические рекомендации..., 2003; Кузнецова, 2017]. Именно эта ситуация имеет место в случае решаемой нами задачи, когда привязка керна по латерали осуществляется по поисковым, разведочным и, только отчасти, по параметрическим скважинам, с низким, как

правило, выходом керна. Тем не менее, реализуемый ниже подход позволяет построить с приемлемой для количественной оценки перспектив точностью численные модели пространственного распределения значений  $C_{\text{опр}}$  в баженовском горизонте.

Ниже приведены основные методические приемы по увязке данных аналитических определений по керну к диаграммам гамма-каротажа.

Привязка керна к геофизическим кривым должна осуществляться согласно глубине отбора керна. Необходимо понимать, что привязка параметров, измеренных на керне, должна, но не может строго отвечать значениям тех же параметров геофизических кривых с точностью до метода эксперимента. При этом необходимо осуществлять контроль за сопоставлением значений определяемых параметров и вида каротажных кривых. Опыт подобных оценок показывает, что систематическое смещение отбора керна и отобранных образцов может достигать 2 м [Изотова, Сорока, Пуш, 1981].

При привязке керна к ГИС также возможна систематическая ошибка до 2 м. Если установлено такое несоответствие, то допускается перемещать по вертикали на диаграмме ГИС керн выше или ниже указанных отметок отбора керна, если образ диаграммы определенного по керну значения не соответствует образу диаграммы ГИС в соответствующем интервале отметок, или значение этого параметра не совпадает со значением геофизического параметра в указанных отметках глубин. Такое перемещение возможно лишь при изучении литологического описания керна и соответствии параметра по керну и по ГИС [Изотова, Сорока, Пуш, 1981; Кузнецова, 2017].

Одной из причин погрешности в определении отметок глубин керна может быть ошибка при промере бурильных труб. Такая погрешность обычно не превышает 2 м. Погрешность в значениях глубин границ пластов из-за растяжки кабеля может также составлять  $\pm 2$  м. Таким образом, возможные отклонения глубины отбора керна от глубины соответствующего ему пласта на диаграмме ГИС не должны превышать  $\pm 4$  м [Изотова, Сорока, Пуш, 1981].

Следует также отметить, что в случае, когда вынос керна неполный (менее 100 %-го выноса керна из интервала и, особенно, << 100 %-го выноса керна) допускается разделять образцы керна с целью их лучшей привязки к геофизическим кривым. Однако, если величина параметра, определенного по ГИС, в процессе увязки, не соответствует величине параметра, определенного на керне, и отличие значений этих параметров превышает точность методов, образец керна отбраковывают и не используют его в последующих исследованиях. Поскольку керн в процессе бурения отбирается последовательно, то образцы керна нельзя перемешивать [Изотова, Сорока, Пуш, 1981].

Примеры такой привязки керна и замеров ГИС, применённых в работе, приведены ниже. Для каждой эталонной скважины (Рисунок 2.3) приводится набор полученных параметров:

- Изменение содержаний  $C_{\text{орг}}$  в разрезе баженовской свиты (см. Рисунок 2.5, Рисунок 2.7, Рисунок 2.9, Рисунок 2.12, Рисунок 2.13, Рисунок 2.15, Рисунок 2.17, Рисунок 2.19, Рисунок 2.21, Рисунок 2.23, Рисунок 2.25);
- Диаграмма зависимости «керн – ГИС» содержания  $C_{\text{орг}}$  от значений  $V$ -активности пород баженовской свиты по данным ГИС (см. Рисунок 2.6, Рисунок 2.8, Рисунок 2.10, Рисунок 2.11, Рисунок 2.14, Рисунок 2.16, Рисунок 2.18, Рисунок 2.20, Рисунок 2.22, Рисунок 2.24, Рисунок 2.26);
- Значения содержаний  $C_{\text{орг}}$  в породах баженовской свиты по аналитическим данным и зависимости «керн – ГИС» (см. Таблица 2.2, Таблица 2.3, Таблица 2.4, Таблица 2.5, Таблица 2.6, Таблица 2.7, Таблица 2.8, Таблица 2.9, Таблица 2.10, Таблица 2.11, Таблица 2.12).

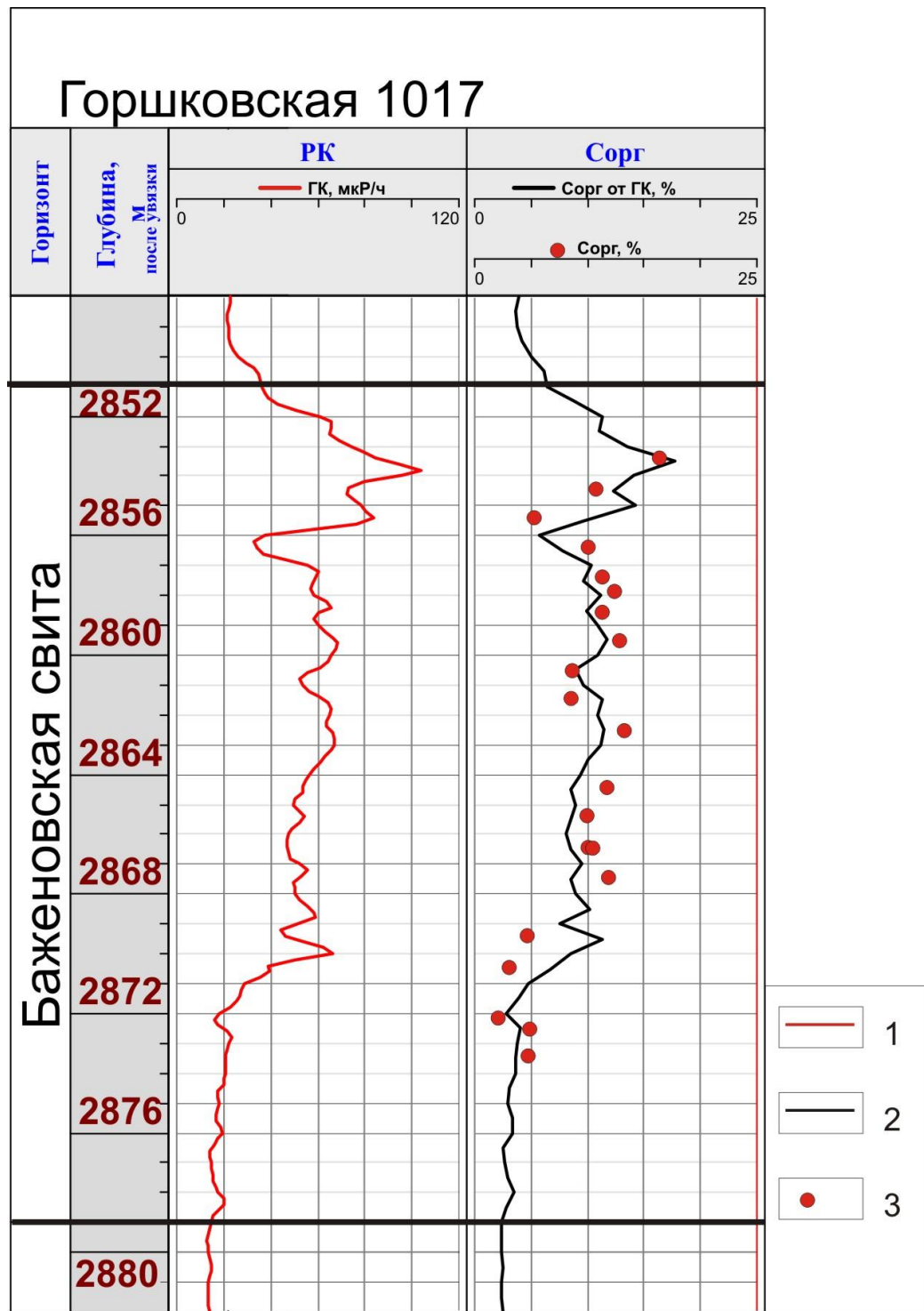


Рисунок 2.5 – Изменение содержаний  $\text{C}_{\text{опр}}$  в разрезе баженовской свиты в скв. Горшковская 1017

Условные обозначения: 1) кривая радиоактивного каротажа  $\Gamma\text{K}$ ; 2) кривая значений  $\text{C}_{\text{опр}}$  от  $\Gamma\text{K}$ , определённых по регрессионной зависимости «керн – ГИС»; 3) значения  $\text{C}_{\text{опр}}$  в породах, определённые аналитически.

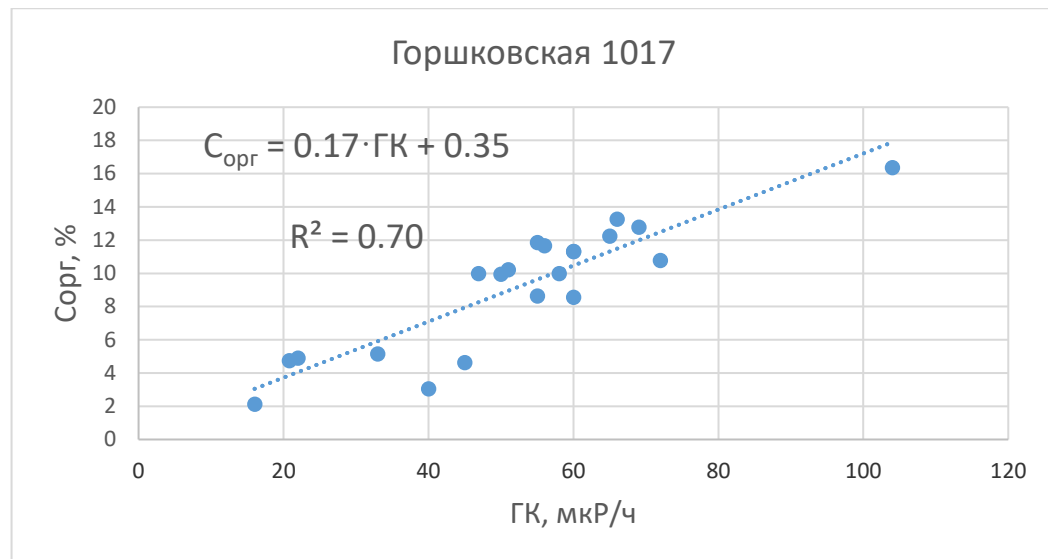


Рисунок 2.6 – Диаграмма зависимости «керн – ГИС» содержания  $C_{\text{орг}}$  от значений  $\Gamma$  - активности пород баженовской свиты по данным ГИС в скв. Горшковская 1017

Таблица 2.2 – Значения содержаний  $C_{\text{орг}}$  в породах баженовской свиты по аналитическим данным и зависимости «керн – ГИС» в скв. Горшковская 1017

№ п.п.	Глубина	ГК, мкР/ч	Содержание $C_{\text{орг}}$ аналитическое, %	Содержание $C_{\text{орг}}$ по ГИС, %	$\Delta C_{\text{орг}}, \%$
1	2853.4	104.0	16.4	17.0	0.6
2	2854.4	72.0	10.8	12.2	1.4
3	2855.4	33.0	5.2	10.6	5.5
4	2856.4	58.0	10.0	6.8	-3.2
5	2857.4	60.0	11.3	9.9	-1.4
6	2857.9	65.0	12.2	10.9	-1.3
7	2858.5	60.0	11.3	10.1	-1.2
8	2859.5	69.0	12.8	11.7	-1.1
9	2860.5	55.0	8.7	9.1	0.4
10	2861.5	60.0	8.6	11.2	2.6
11	2862.5	66.0	13.3	11.3	-2.0
12	2864.4	56.0	11.7	9.1	-2.6
13	2865.4	50.0	10.0	8.8	-1.2
14	2866.4	46.9	10.0	8.4	-1.6
15	2866.4	51.0	10.2	8.6	-1.6
16	2867.4	55.0	11.9	8.9	-3.0
17	2869.4	45.0	4.6	10.1	5.5
18	2870.4	40.0	3.1	7.5	4.5
19	2872.1	16.0	2.1	3.2	1.1
20	2872.5	22.0	4.9	4.1	-0.8
21	2873.4	20.8	4.8	3.6	-1.2
		сумма	193.6	193.1	-0.5
		среднее	9.2	9.2	0

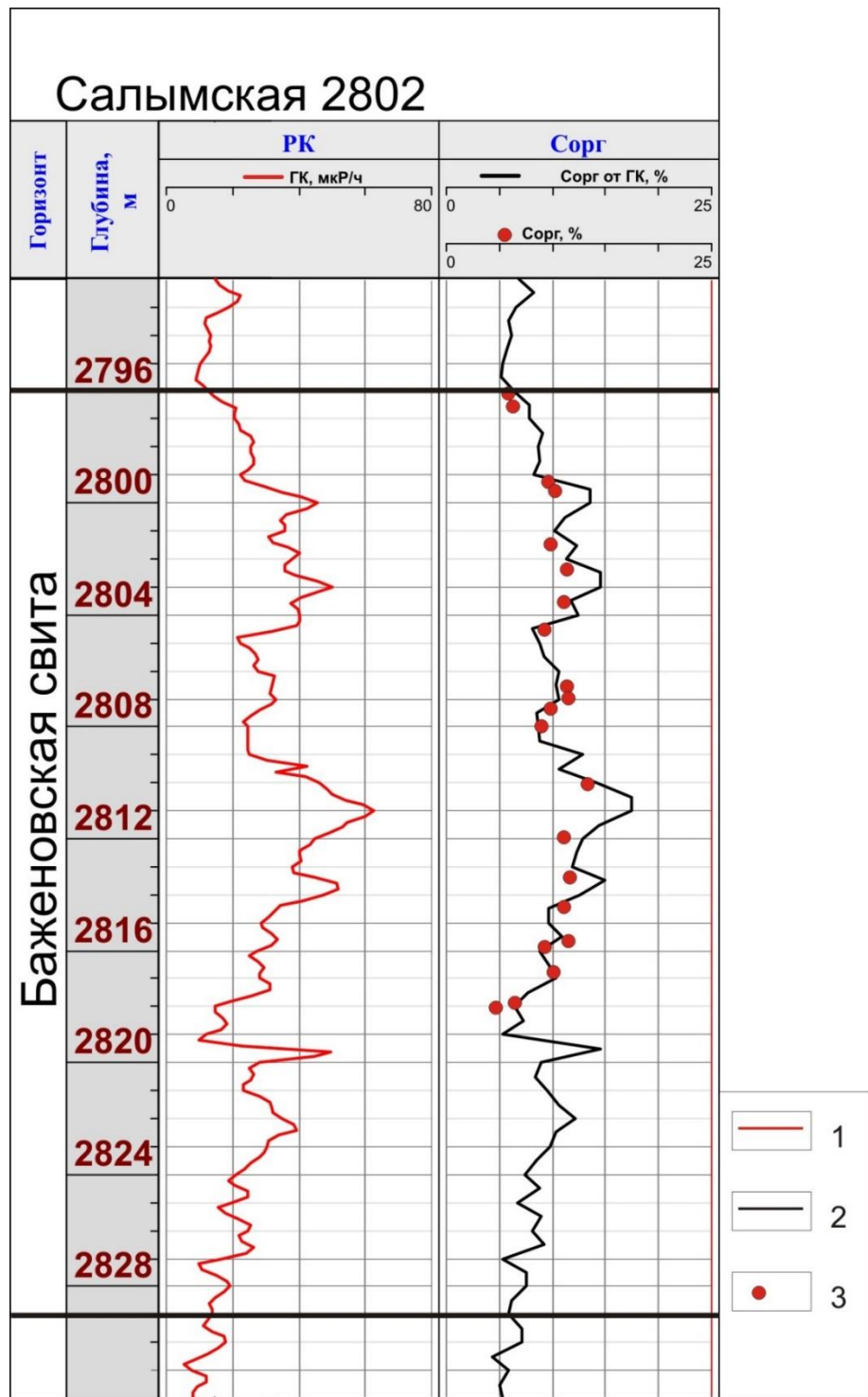


Рисунок 2.7 – Изменение содержаний  $C_{\text{опр}}$  в разрезе баженовской свиты в скв. Салымская 2802

Условные обозначения: 1) кривая радиоактивного каротажа ГК; 2) кривая значений  $C_{\text{опр}}$  от ГК, определённых по регрессионной зависимости «керн – ГИС»; 3) значения  $C_{\text{опр}}$  в породах, определённые аналитически.

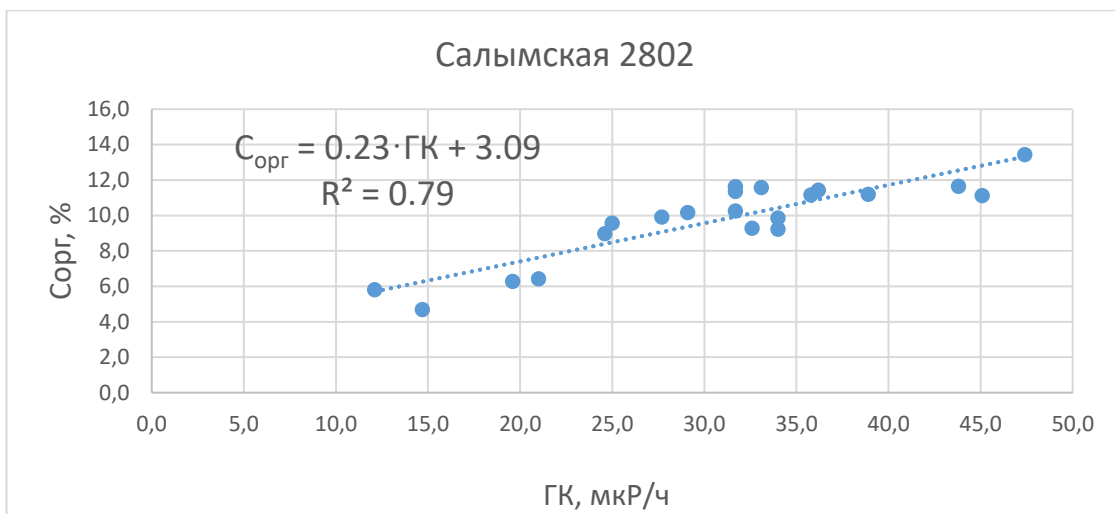


Рисунок 2.8 – Диаграмма зависимости «керн – ГИС» содержания  $C_{org}$  от значений V - активности пород баженовской свиты по данным ГИС в скв. Салымская 2802

Таблица. 2.3 – Значения содержаний  $C_{\text{орг}}$  в породах баженовской свиты по аналитическим данным и зависимости «керн – ГИС» в скв. Салымская 2802

№ п.п.	Глубина	ГК, мкР/ч	Содержание $C_{опр}$ аналитическое, %	Содержание $C_{опр}$ по ГИС, %	$\Delta C_{опр}$ , %
1	2796.0	12.1	5.8	6.6	0.8
2	2796.5	19.6	6.3	7.8	1.5
3	2799.2	25.0	9.6	11.6	2.0
4	2799.5	31.7	10.3	13.3	3.0
5	2801.4	34.0	9.9	11.9	2.0
6	2802.3	36.2	11.4	13.4	2.0
7	2803.5	38.9	11.2	11.7	0.5
8	2804.5	34.0	9.2	8.1	-1.1
9	2806.5	31.7	11.4	10.6	-0.8
10	2806.9	31.7	11.6	10.3	-1.3
11	2807.3	27.7	9.9	8.7	-1.2
12	2807.9	24.6	9.0	8.7	-0.3
13	2810.0	47.4	13.4	14.2	0.8
14	2811.9	45.1	11.1	12.8	1.7
15	2813.3	43.8	11.7	14.0	2.4
16	2814.4	35.8	11.2	9.8	-1.4
17	2815.6	33.1	11.6	10.2	-1.4
18	2815.8	32.6	9.3	10.1	0.8
19	2816.7	29.1	10.2	10.1	-0.1
20	2817.8	21.0	6.4	7.1	0.7
21	2818.0	14.7	4.7	6.7	2.0
		сумма	205.2	217.7	12.5
		среднее	9.8	10.4	0.6

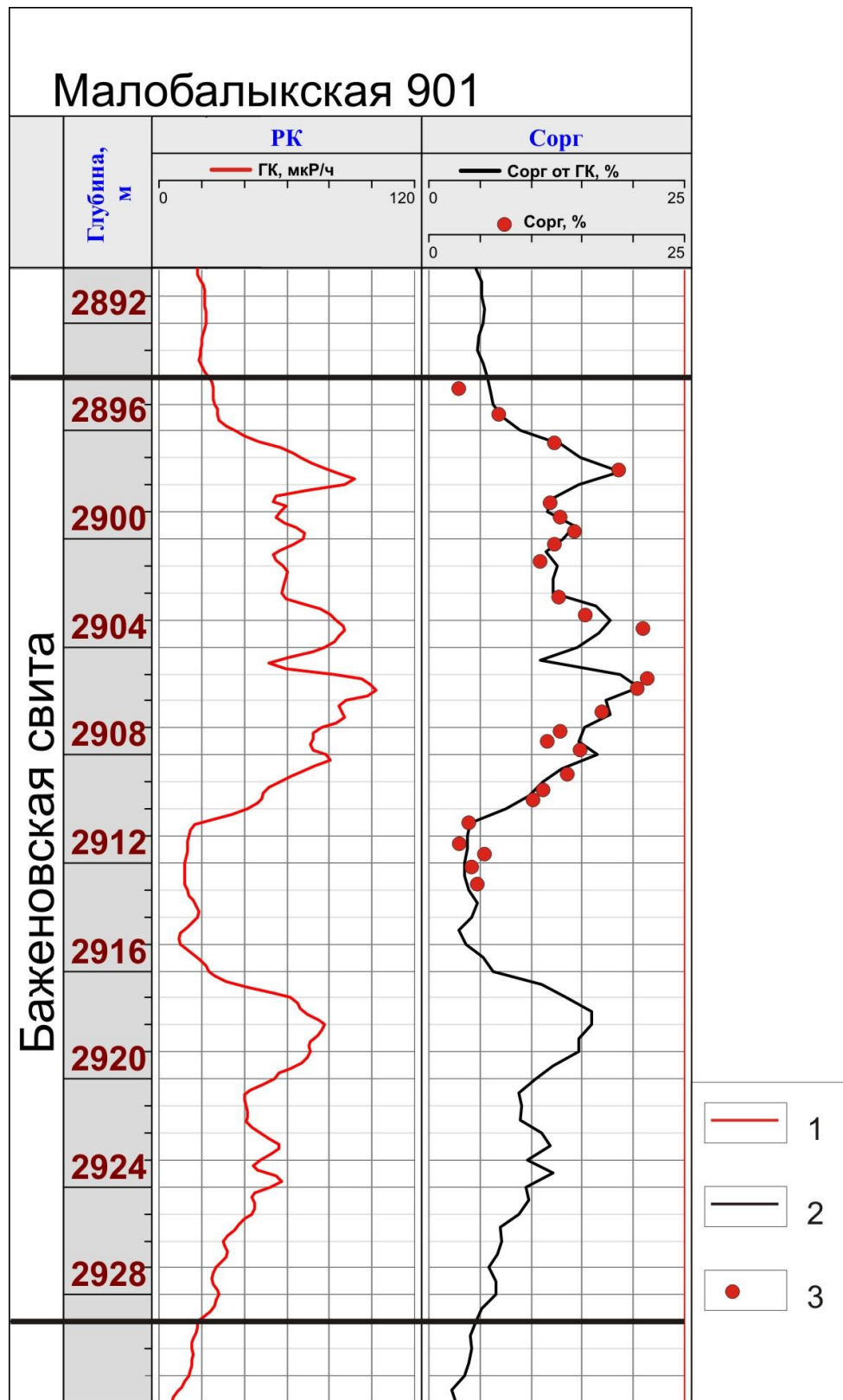


Рисунок 2.9 – Изменение содержаний  $C_{\text{опг}}$  в разрезе баженовской свиты в скв. Малобалыкская 901

Условные обозначения: 1) кривая радиоактивного каротажа ГК; 2) кривая значений  $C_{\text{опг}}$  от ГК, определённых по регрессионной зависимости «керн – ГИС»; 3) значения  $C_{\text{опг}}$  в породах, определённые аналитически.

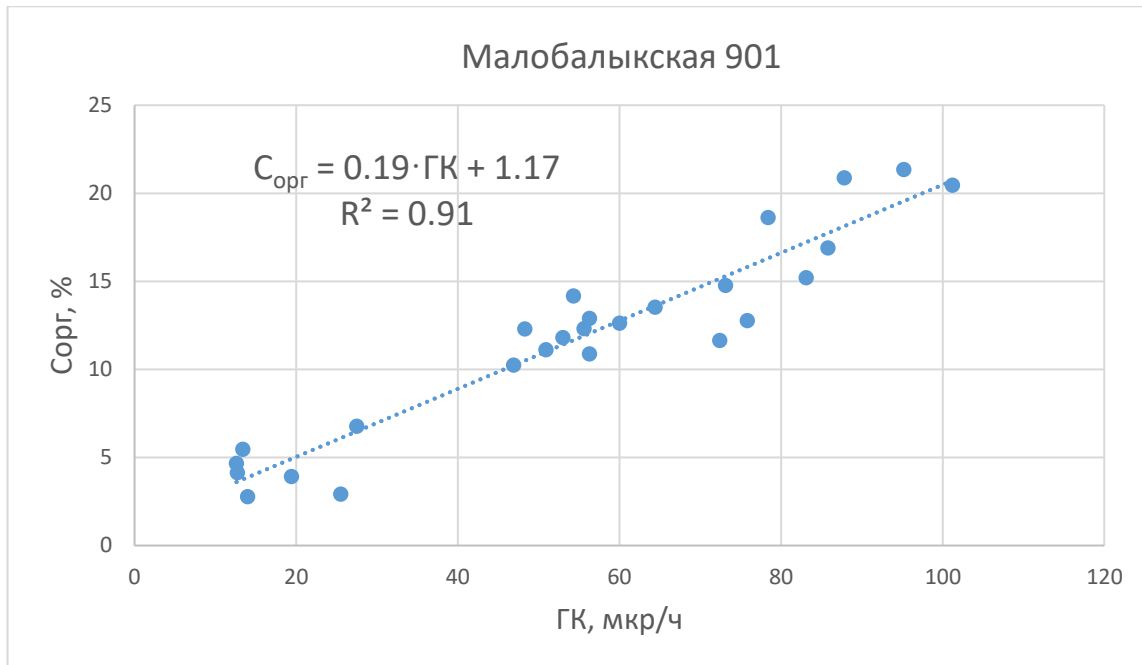


Рисунок 2.10 – Диаграмма зависимости «керн – ГИС» содержания  $C_{\text{орг}}$  от значений  $\Gamma$  - активности пород баженовской свиты по данным ГИС в скв. Малобалыкская 901

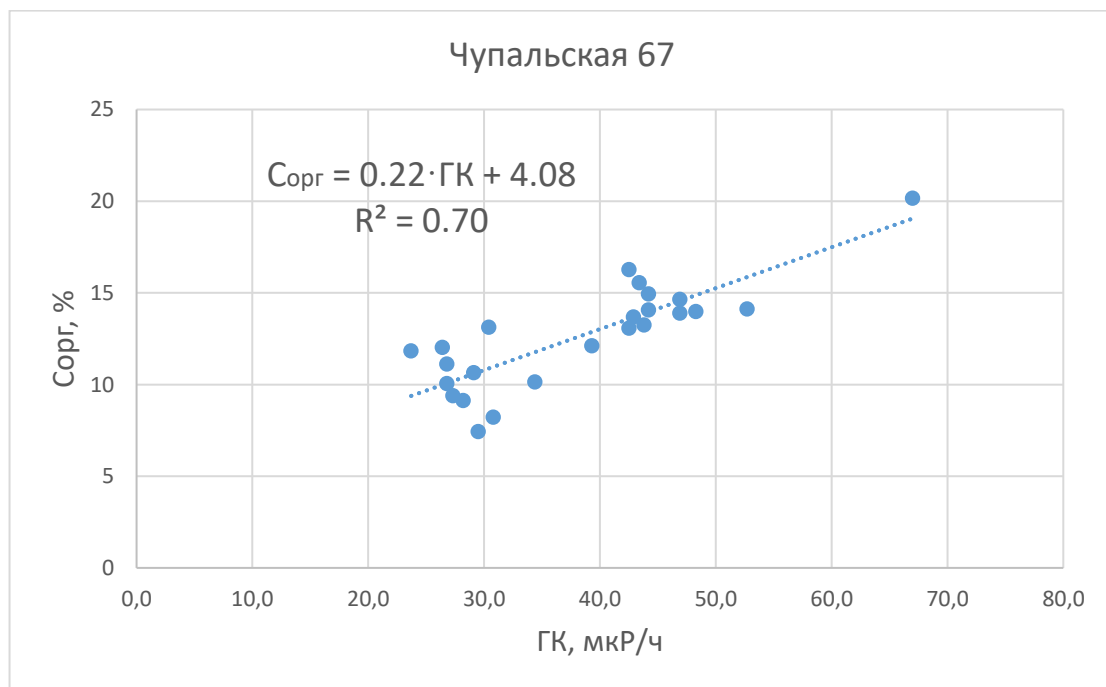


Рисунок 2.11 – Диаграмма зависимости «керн – ГИС» содержания  $C_{\text{орг}}$  от значений  $\Gamma$  - активности пород баженовской свиты по данным ГИС в скв. Чупальская 67

Таблица. 2.4 – Значения содержаний  $C_{\text{опр}}$  в породах баженовской свиты по аналитическим данным и зависимости «керн – ГИС» в скв. Малобалыкская 901

№ п.п.	Глубина	ГК, мкР/ч	Содержание $C_{\text{опр}}$ аналитическое, %	Содержание $C_{\text{опр}}$ по ГИС, %	$\Delta C_{\text{опр}}, \%$
1	2894.4	25.5	2.9	5.9	3.0
2	2895.4	27.5	6.8	7.0	0.2
3	2896.4	48.3	12.3	12.3	0.0
4	2897.4	78.4	18.6	18.6	0.0
5	2898.6	53.0	11.8	12.0	0.2
6	2899.1	56.3	12.9	12.3	-0.6
7	2899.7	54.3	14.2	13.8	-0.4
8	2900.2	55.6	12.3	12.7	0.4
9	2900.8	56.3	10.9	12.3	1.4
10	2902.1	60.0	12.6	13.0	0.4
11	2902.9	83.1	15.2	17.5	2.3
12	2903.3	87.8	20.9	17.0	-3.9
13	2905.2	95.2	21.4	20.0	-1.4
14	2905.5	101.2	20.5	20.5	0.0
15	2906.5	85.8	16.9	17.8	0.9
16	2907.1	75.8	12.8	15.2	2.4
17	2907.4	72.4	11.7	14.8	3.1
18	2907.8	73.1	14.8	16.1	1.3
19	2908.7	64.4	13.5	12.3	-1.2
20	2909.3	50.9	11.1	10.1	-1.0
21	2909.7	46.9	10.3	8.6	-1.7
22	2910.5	19.4	3.9	4.1	0.2
23	2911.2	14.0	2.8	3.8	1.0
24	2911.6	13.4	5.5	3.6	-1.9
25	2912.1	12.7	4.2	3.4	-0.8
26	2912.8	12.6	4.7	3.9	-0.8
		сумма	305.4	308.6	3.2
		среднее	11.7	11.9	0.1

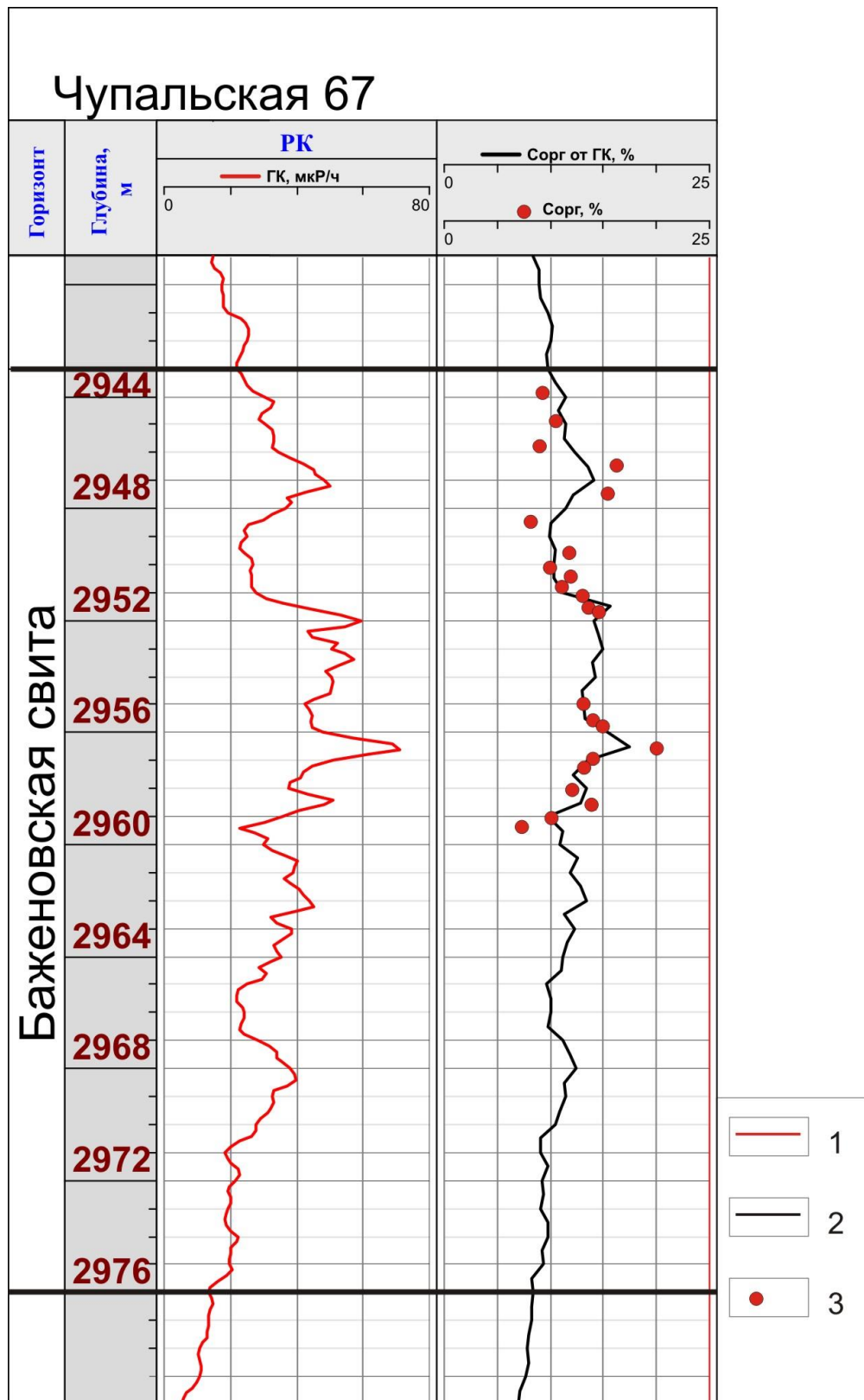


Рисунок 2.12 – Изменение содержаний С<sub>опр</sub> в разрезе баженовской свиты в скв. Чупальская 67

Условные обозначения: 1) кривая радиоактивного каротажа ГК; 2) кривая значений С<sub>опр</sub> от ГК, определённых по регрессионной зависимости «керн – ГИС»; 3) значения С<sub>опр</sub> в породах, определённые аналитически.

Таблица 2.5 – Значения содержаний  $C_{\text{орг}}$  в породах баженовской свиты по аналитическим данным и зависимости «керн – ГИС» в скв. Чупальская 67

№ п.п.	Глубина	ГК, мкР/ч	Содержание $C_{\text{орг}}$ аналитическое, %	Содержание $C_{\text{орг}}$ по ГИС, %	$\Delta C_{\text{орг}}, \%$
1	2943.8	27.3	9.4	11.2	1.8
2	2944.8	29.1	10.7	11.0	0.3
3	2945.7	28.2	9.1	11.9	2.8
4	2946.4	42.5	16.3	13.4	-2.9
5	2947.4	43.4	15.6	12.4	-3.2
6	2948.4	30.8	8.2	10.5	2.3
7	2949.5	23.7	11.8	10.5	-1.3
8	2950.1	26.8	10.1	10.2	0.1
9	2950.4	26.4	12.0	10.2	-1.8
10	2950.8	26.8	11.1	10.9	-0.2
11	2951.1	30.4	13.1	12.0	-1.1
12	2951.5	42.9	13.7	15.6	1.9
13	2951.6	46.9	14.7	15.1	0.4
14	2954.9	42.5	13.1	13.1	0.0
15	2955.5	44.2	14.1	13.5	-0.6
16	2955.7	44.2	15.0	14.1	-0.9
17	2956.5	67.0	20.2	17.7	-2.5
18	2956.9	52.7	14.1	14.0	-0.1
19	2957.2	43.8	13.3	13.1	-0.2
20	2959.0	34.4	10.2	10.1	-0.1
21	2958.0	39.3	12.1	13.4	1.3
22	2958.5	48.3	14.0	12.8	-1.2
23	2959.3	29.5	7.5	10.8	3.4
24	2958.6	46.9	13.9	12.7	-1.2
		сумма	303.1	300.2	-2.9
		среднее	12.6	12.5	-0.1

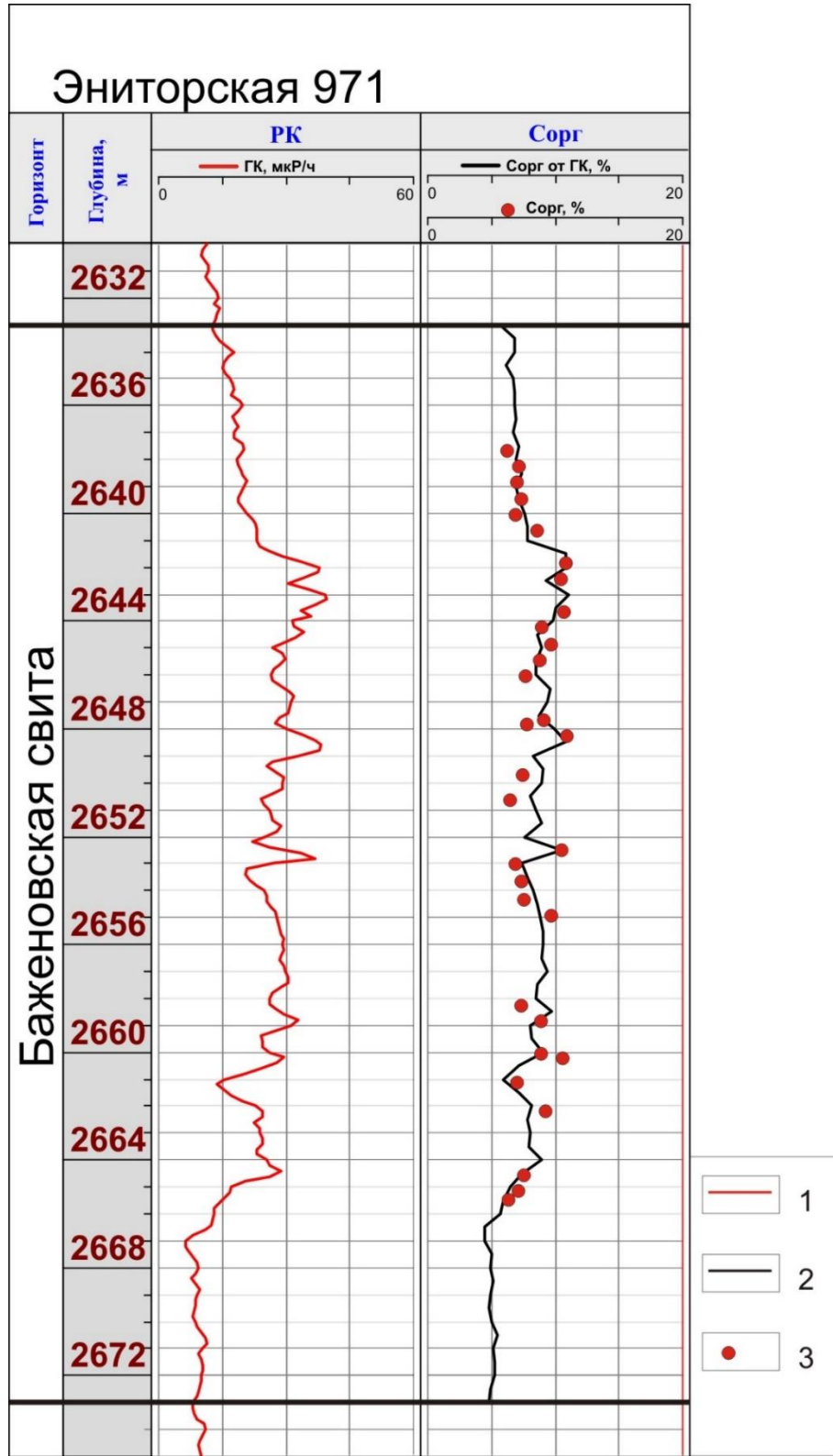


Рисунок 2.13 – Изменение содержаний С<sub>опр</sub> в разрезе баженовской свиты в скв. Эниторская 971

Условные обозначения: 1) кривая радиоактивного каротажа ГК; 2) кривая значений С<sub>опр</sub> от ГК, определённых по регрессионной зависимости «керн – ГИС»; 3) значения С<sub>опр</sub> в породах, определённые аналитически.

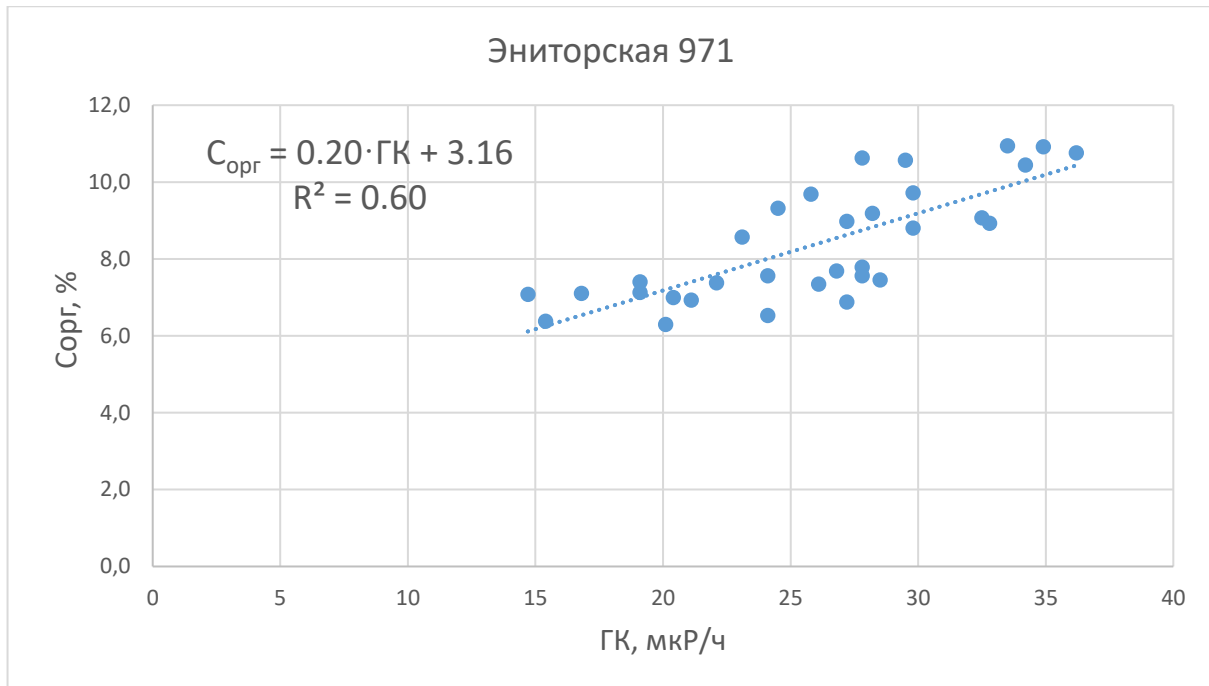


Рисунок 2.14 – Диаграмма зависимости «керн – ГИС» содержания  $C_{\text{орг}}$  от значений  $\Gamma$  - активности пород баженовской свиты по данным ГИС в скв. Эниторская 971

Таблица 2.6 – Значения содержаний  $C_{\text{орг}}$  в породах баженовской свиты по аналитическим данным и зависимости «керн – ГИС» в скв. Эниторская 971

№ точки	Глубина	ГК, мкР/ч	Содержание $C_{\text{орг}}$ аналитическое, %	Содержание $C_{\text{орг}}$ по ГИС, %	$\Delta C_{\text{орг}}, \%$
1	2637.6	20.1	6.3	7.2	0.9
2	2638.2	19.1	7.1	6.9	-0.2
3	2638.8	20.4	7.0	7.2	0.2
4	2639.4	19.1	7.4	7.0	-0.4
5	2640.0	21.1	6.9	7.7	0.8
6	2640.6	23.1	8.6	7.8	-0.8
7	2641.8	34.9	10.9	10.9	0.0
8	2642.4	34.2	10.5	9.6	-0.9
9	2643.6	36.2	10.8	10.3	-0.5
10	2644.2	32.5	9.1	9.4	0.3
11	2644.8	29.8	9.7	8.9	-0.8
12	2645.4	29.8	8.8	8.5	-0.3
13	2646.0	26.8	7.7	8.5	0.8
14	2647.6	28.2	9.2	8.9	-0.3
15	2647.8	27.8	7.8	9.8	2.0
16	2648.2	33.5	11.0	10.4	-0.5
17	2649.6	28.5	7.5	8.9	1.4
18	2650.6	24.1	6.5	8.2	1.7
19	2652.5	27.8	10.6	10.6	0.0
20	2653.0	27.2	6.9	7.9	1.0
21	2653.6	22.1	7.4	8.2	0.8
22	2654.3	24.1	7.6	8.6	1.0
23	2654.9	25.8	9.7	8.9	-0.8
24	2658.2	26.1	7.4	9.1	1.8
25	2658.8	32.8	8.9	8.7	-0.2
26	2660.0	27.2	9.0	9.2	0.2
27	2660.2	29.5	10.6	8.8	-1.8
28	2661.1	14.7	7.1	6.4	-0.7
29	2662.2	24.5	9.3	7.9	-1.4
30	2664.5	27.8	7.6	7.7	0.1
31	2665.1	16.8	7.1	6.3	-0.8
32	2665.4	15.4	6.4	6.0	-0.4
		сумма	268.1	270.4	2.3
		среднее	8.4	8.5	0.1

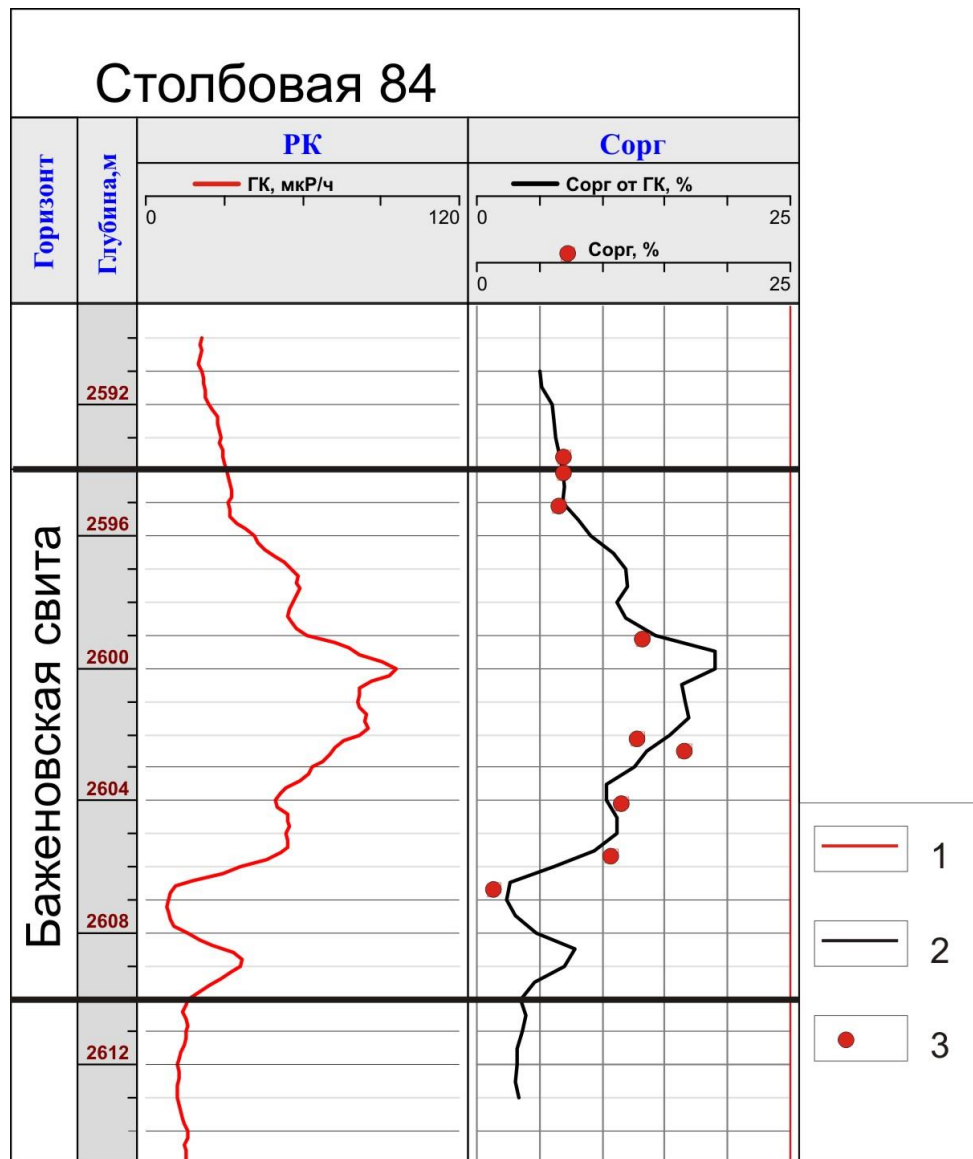


Рисунок 2.15 – Изменение содержаний  $C_{\text{опр}}$  в разрезе баженовской свиты в скв. Столбовая 84

Условные обозначения: 1) кривая радиоактивного каротажа ГК; 2) кривая значений  $C_{\text{опр}}$  от ГК, определённых по регрессионной зависимости «керн – ГИС»; 3) значения  $C_{\text{опр}}$  в породах, определённые аналитически.

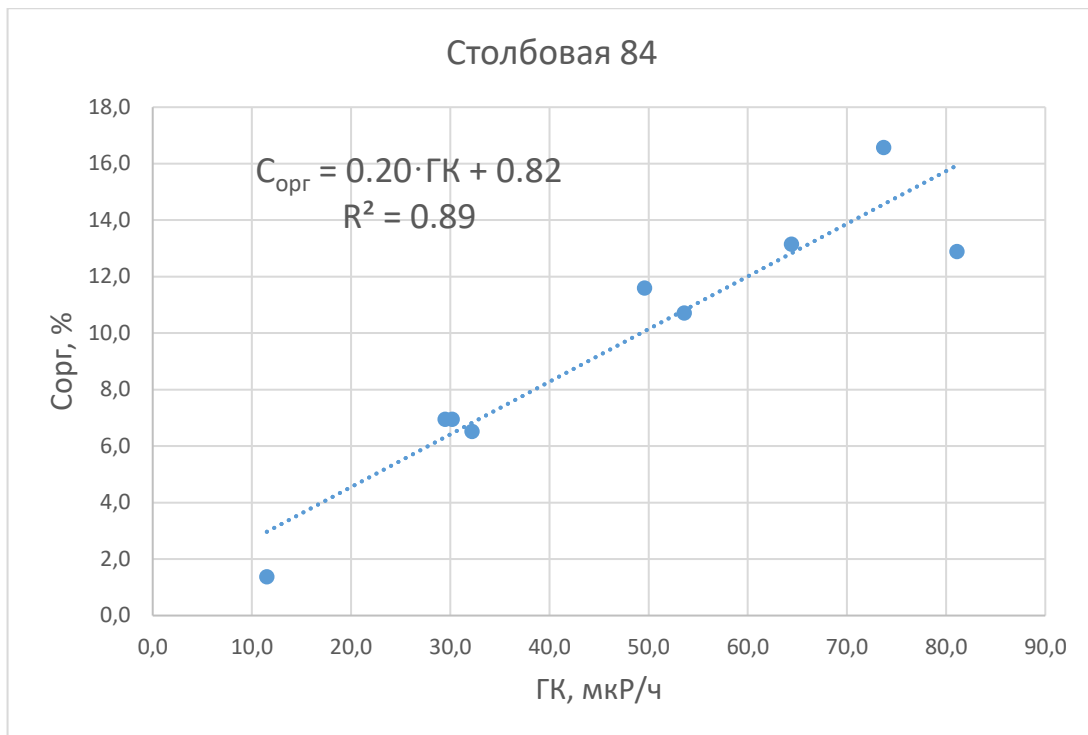


Рисунок 2.16 – Диаграмма зависимости «керн – ГИС» содержания  $C_{\text{орг}}$  от значений  $V$  - активности пород баженовской свиты по данным ГИС в скв. Столбовая 84

Таблица. 2.7 – Значения содержаний  $C_{\text{орг}}$  в породах баженовской свиты по аналитическим данным и зависимости «керн – ГИС» в скв. Столбовая 84

№ п.п.	Глубина	$\Gamma K$ , мкР/ч	Содержание $C_{\text{орг}}$ аналитическое, %	Содержание $C_{\text{орг}}$ по ГИС, %	$\Delta C_{\text{орг}}, \%$
1	2593.5	29.5	7.0	6.4	0.6
2	2594.0	30.2	7.0	7.1	-0.1
3	2595.0	32.2	6.5	6.8	-0.3
4	2599.0	64.4	13.2	14.1	-0.9
5	2602.0	81.1	12.9	15.4	-2.5
6	2602.4	73.7	16.6	14.1	2.5
7	2604.0	49.6	11.6	10.1	1.5
8	2605.6	53.6	10.7	9.2	1.5
9	2606.6	11.5	1.4	2.5	-1.1
		сумма	86.8	85.7	1.1
		среднее	9.6	9.5	0.1

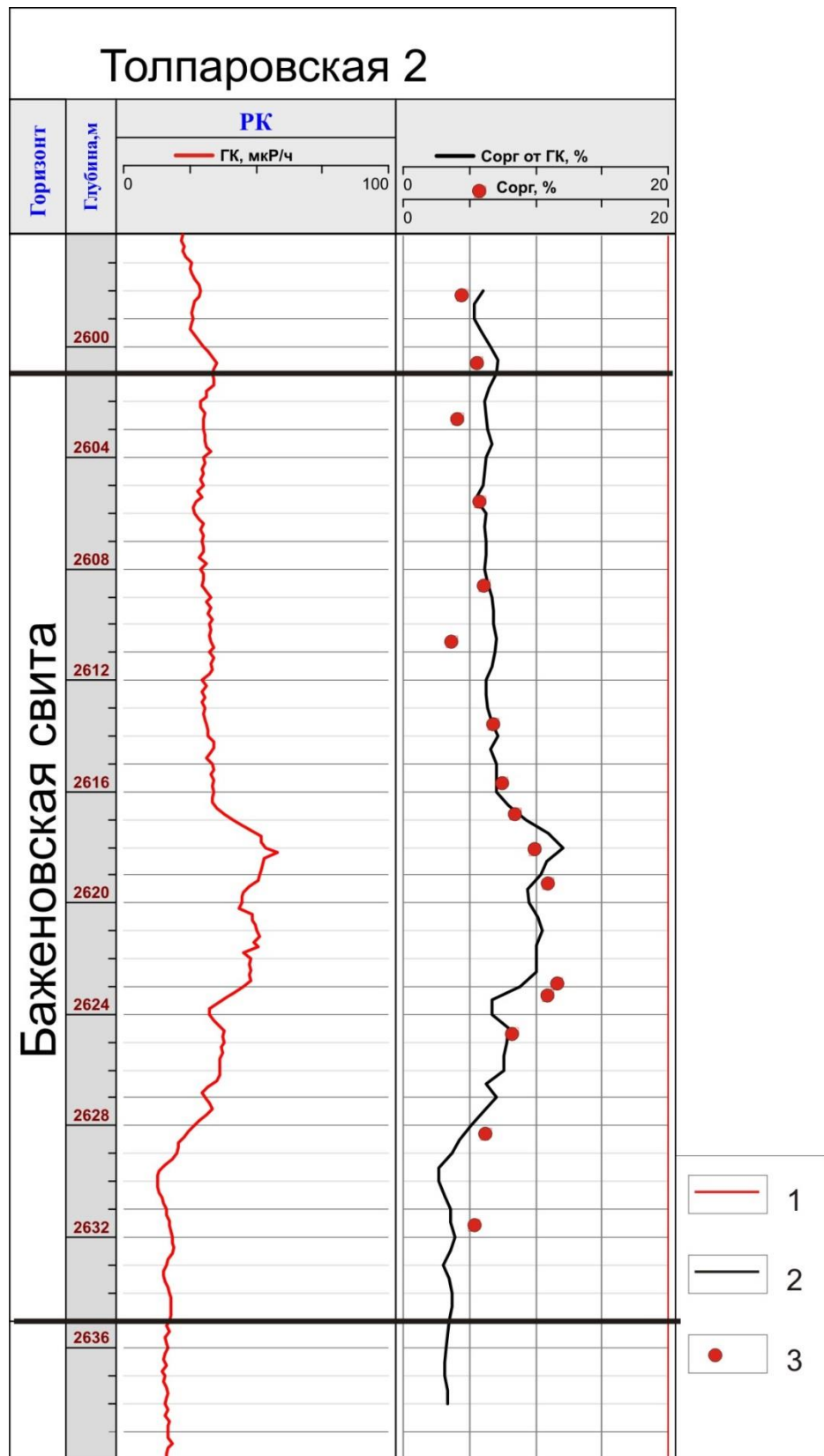


Рисунок 2.17 – Изменение содержаний Сопр в разрезе баженовской свиты в скв. Толпаровская 2

Условные обозначения: 1) кривая радиоактивного каротажа ГК; 2) кривая значений Сопр от ГК, определённых по регрессионной зависимости «керн – ГИС»; 3) значения Сопр в породах, определённые аналитически.

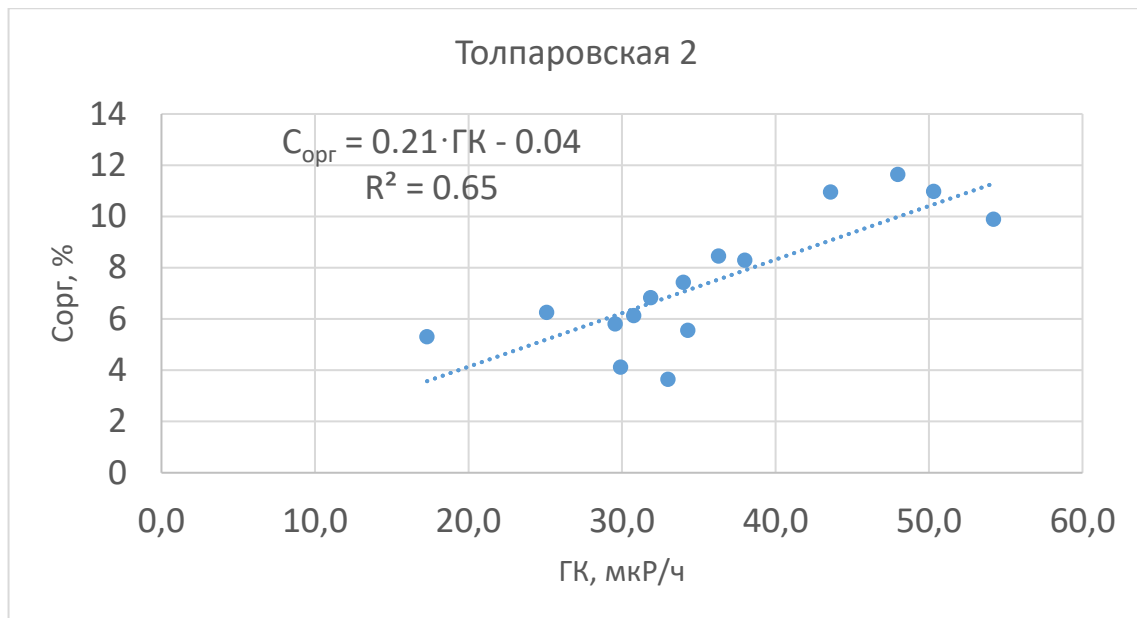


Рисунок 2.18 – Диаграмма зависимости «керн – ГИС» содержания  $C_{\text{орг}}$  от значений  $\Gamma$  - активности пород баженовской свиты по данным ГИС в скв. Толпаровская 2

Таблица. 2.8 – Значения содержаний  $C_{\text{орг}}$  в породах баженовской свиты по аналитическим данным и зависимости «керн – ГИС» в скв. Толпаровская 2

№ п.п.	Глубина	ГК, мкР/ч	Содержание $C_{\text{орг}}$ аналитическое, %	Содержание $C_{\text{орг}}$ по ГИС, %	$\Delta C_{\text{орг}}, \%$
1	2600.5	34.3	5.6	7.0	1.4
2	2602.5	29.9	4.1	6.3	2.2
3	2605.5	29.6	5.8	5.5	-0.3
4	2608.5	30.8	6.1	6.4	0.3
5	2610.5	33.0	3.7	6.9	3.3
6	2613.5	31.9	6.8	6.7	-0.1
7	2615.6	31.4	7.4	6.9	-0.5
8	2616.7	33.8	8.5	8.6	0.1
9	2618.0	54.7	9.9	12.1	2.2
10	2619.2	49.9	11.0	10.1	-0.9
11	2622.8	48.0	11.7	9.4	-2.3
12	2623.2	42.1	11.0	8.5	-2.5
13	2624.6	37.8	8.3	7.9	-0.4
14	2628.2	24.7	6.3	4.8	-1.5
15	2631.5	17.3	5.3	3.6	-1.7
		сумма	111.4	110.7	-0.7
		среднее	7.4	7.4	0

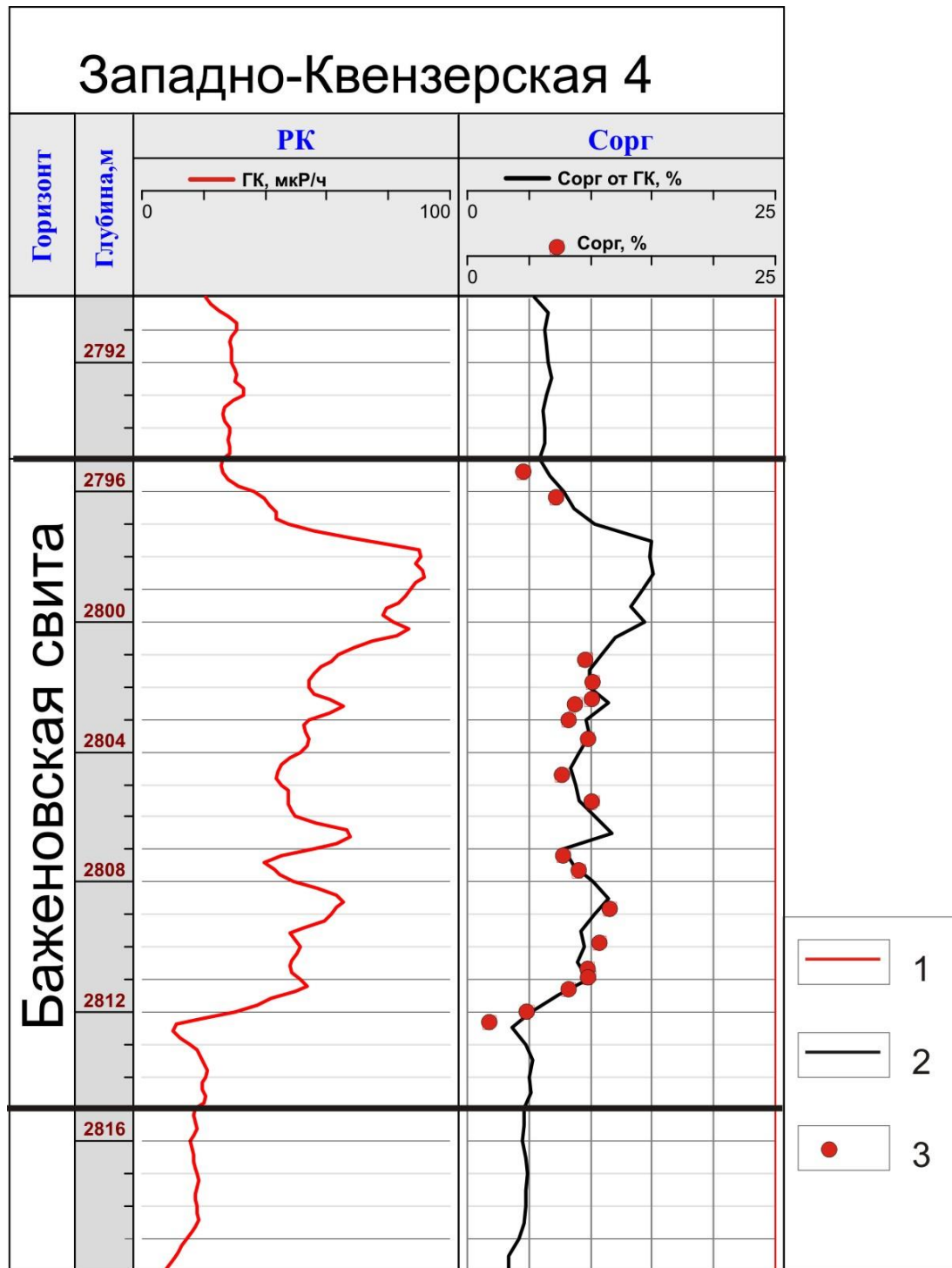


Рисунок 2.19 – Изменение содержаний С<sub>опр</sub> в разрезе баженовской свиты в скв. Западно-Квензерская 4

Условные обозначения: 1) кривая радиоактивного каротажа ГК; 2) кривая значений С<sub>опр</sub> от ГК, определённых по регрессионной зависимости «керн – ГИС»; 3) значения С<sub>опр</sub> в породах, определённые аналитически.

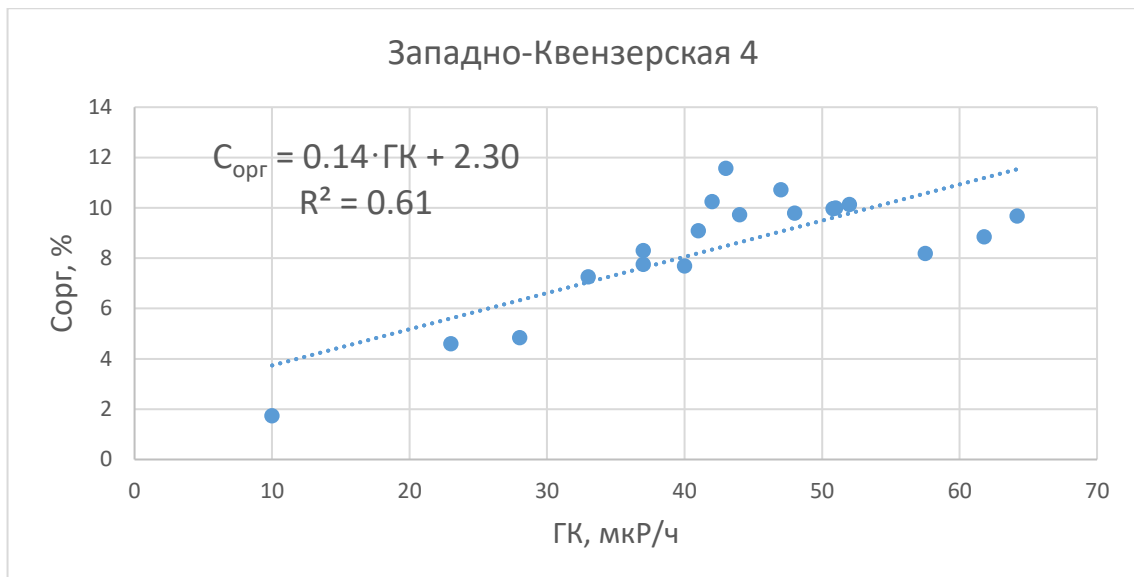


Рисунок 2.20 – Диаграмма зависимости «керн – ГИС» содержания  $C_{\text{орг}}$  от значений  $\Gamma K$  – активности пород баженовской свиты по данным ГИС в скв. Западно-Квензерская 4

Таблица. 2.9 – Значения содержаний  $C_{\text{орг}}$  в породах баженовской свиты по аналитическим данным и зависимости «керн – ГИС» в скв. Западно-Квензерская 4

№ п.п.	Глубина	$\Gamma K, \mu\text{R}/\text{ч}$	Содержание $C_{\text{орг}}$ аналитическое, %	Содержание $C_{\text{орг}}$ по ГИС, %	$\Delta C_{\text{орг}}, \%$
1	2795.3	23.0	4.6	6.3	1.7
2	2796.1	33.0	7.3	8.0	0.7
3	2801.1	64.2	9.7	10.6	0.9
4	2801.8	52.0	10.1	9.9	-0.2
5	2802.3	51.0	10.0	10.9	0.9
6	2802.5	61.8	8.9	11.3	2.5
7	2802.9	57.5	8.2	10.2	2.0
8	2803.5	48.0	9.8	9.9	0.1
9	2804.6	40.0	7.7	8.5	0.8
10	2805.5	42.0	10.3	9.2	-1.1
11	2807.1	37.0	7.8	8.2	0.4
12	2807.6	41.0	9.1	9.2	0.1
13	2808.7	43.0	11.6	11.2	-0.4
14	2809.8	47.0	10.7	9.5	-1.2
15	2810.6	44.0	9.7	9.2	-0.5
16	2810.8	50.8	10.0	9.4	-0.6
17	2811.2	37.0	8.3	8.8	0.5
18	2811.9	28.0	4.9	5.6	0.8
19	2812.2	10.0	1.8	4.3	2.6
		сумма	160.3	135.4	6.8
		среднее	8.4	9.0	0.5

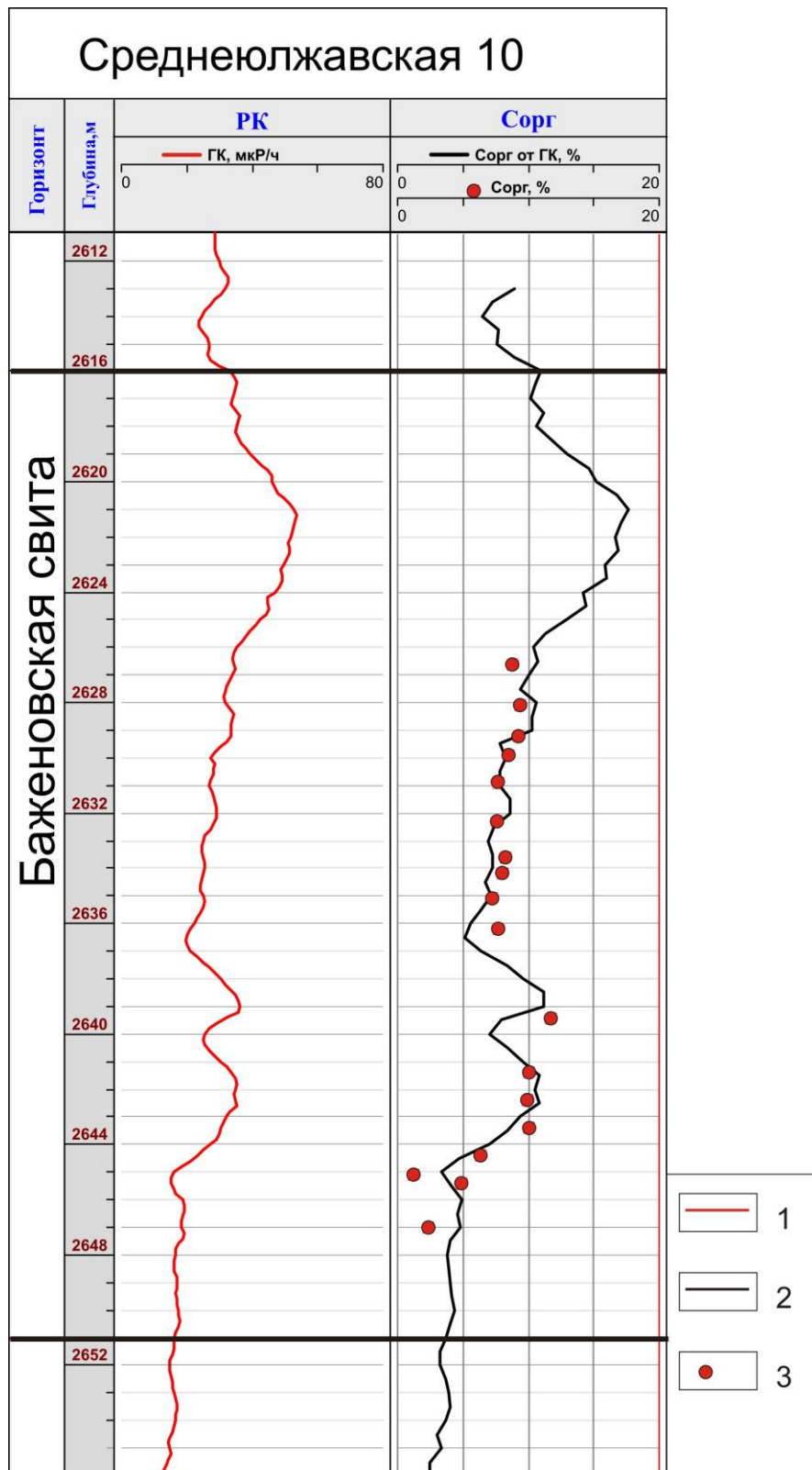


Рисунок 2.21 – Изменение содержаний  $C_{opg}$  в разрезе баженовской свиты в скв. Среднеюлжавская 10

Условные обозначения: 1) кривая радиоактивного каротажа ГК; 2) кривая значений  $C_{opg}$  от ГК, определённых по регрессионной зависимости «керн – ГИС»; 3) значения  $C_{opg}$  в породах, определённые аналитически.

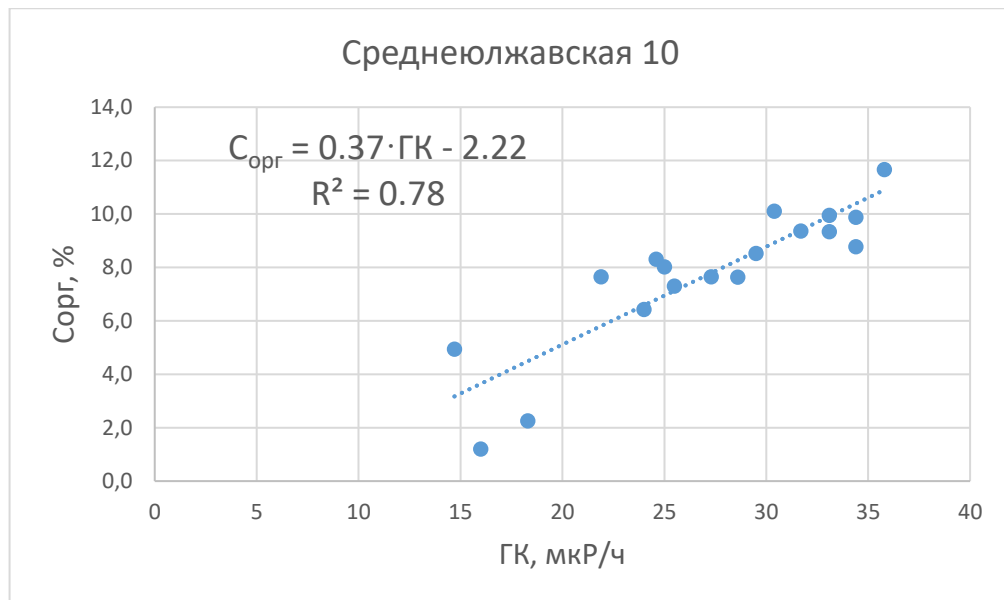


Рисунок 2.22 – Диаграмма зависимости «керн – ГИС» содержания  $C_{\text{орг}}$  от значений  $\Gamma$ -активности пород баженовской свиты по данным ГИС в скв. Среднеюльжавская 10

Таблица. 2.10 – Значения содержаний  $C_{\text{орг}}$  в породах баженовской свиты по аналитическим данным и зависимости «керн – ГИС» в скв. Среднеюльжавская 10

№ п.п.	Глубина	ГК, мкР/ч	Содержание $C_{\text{орг}}$ аналитическое, %	Содержание $C_{\text{орг}}$ по ГИС, %	$\Delta C_{\text{орг}}, \%$
1	2626.5	34.4	8.8	10.8	2.0
2	2628.0	31.7	9.4	10.7	1.3
3	2629.1	33.1	9.3	9.6	0.3
4	2629.8	29.5	8.5	8.2	-0.3
5	2630.8	27.3	7.7	7.9	0.2
6	2632.2	28.6	7.6	8.3	0.7
7	2633.5	24.6	8.3	7.4	-0.9
8	2634.1	25	8.0	7.2	-0.8
9	2635.0	25.5	7.3	7.4	0.1
10	2636.1	21.9	7.7	5.6	-2.1
11	2639.3	35.8	11.7	9.8	-1.9
12	2641.3	33.1	10.0	10.4	0.4
13	2642.3	34.4	9.9	10.7	0.8
14	2643.3	30.4	10.1	8.7	-1.4
15	2644.3	24	6.4	5.7	-0.7
16	2645.0	16	1.2	3.5	2.3
17	2645.3	14.7	4.9	3.8	-1.1
18	2646.9	18.3	2.3	4.7	2.4
		сумма	139.1	140.4	1.3
		среднее	7.7	7.8	0.1

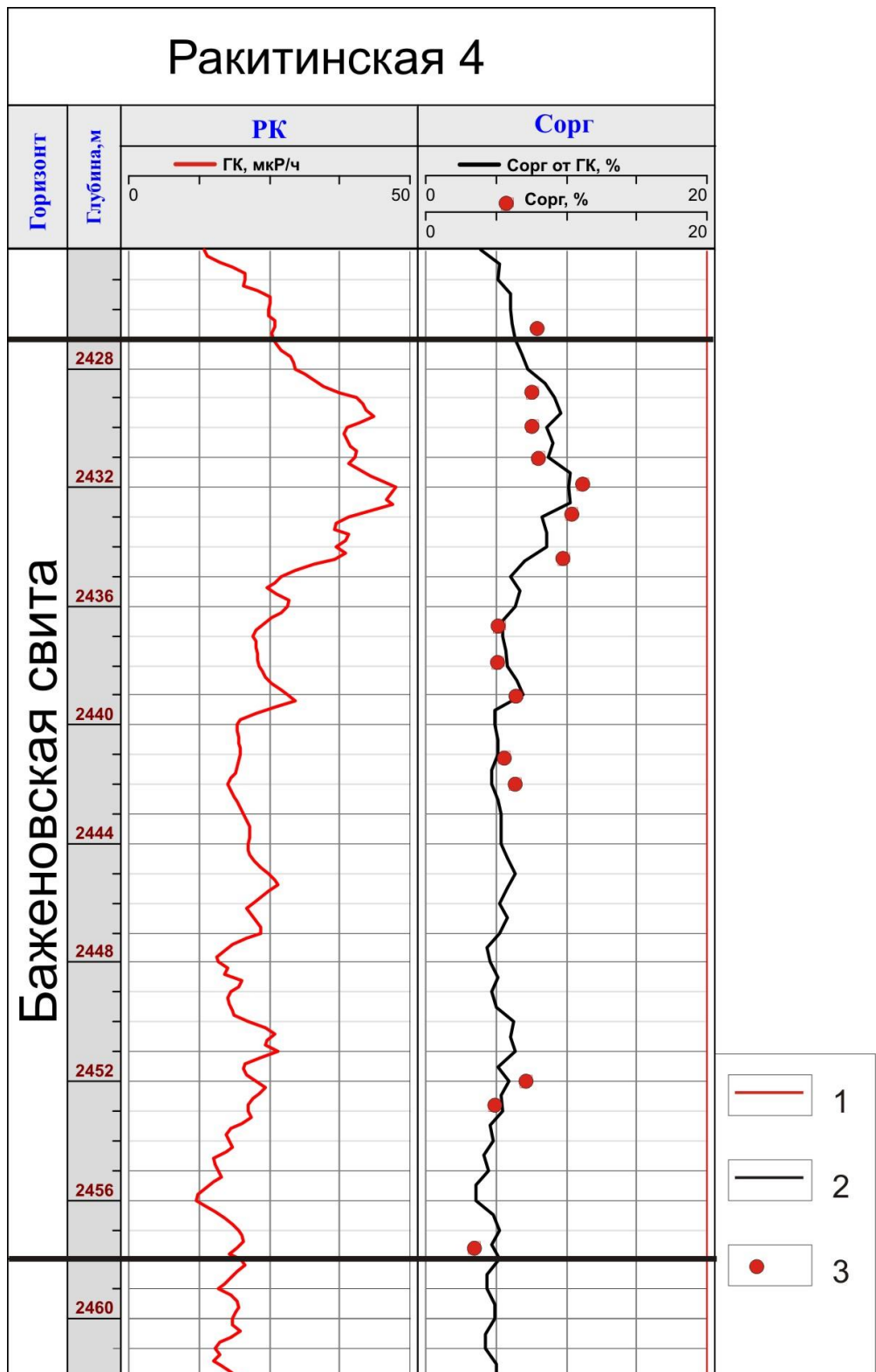


Рисунок 2.23 – Изменение содержаний С<sub>орг</sub> в разрезе баженовской свиты в скв. Ракитинская 4

Условные обозначения: 1) кривая радиоактивного каротажа ГК; 2) кривая значений С<sub>орг</sub> от ГК, определённых по регрессионной зависимости «керн – ГИС»; 3) значения С<sub>орг</sub> в породах, определённые аналитически.

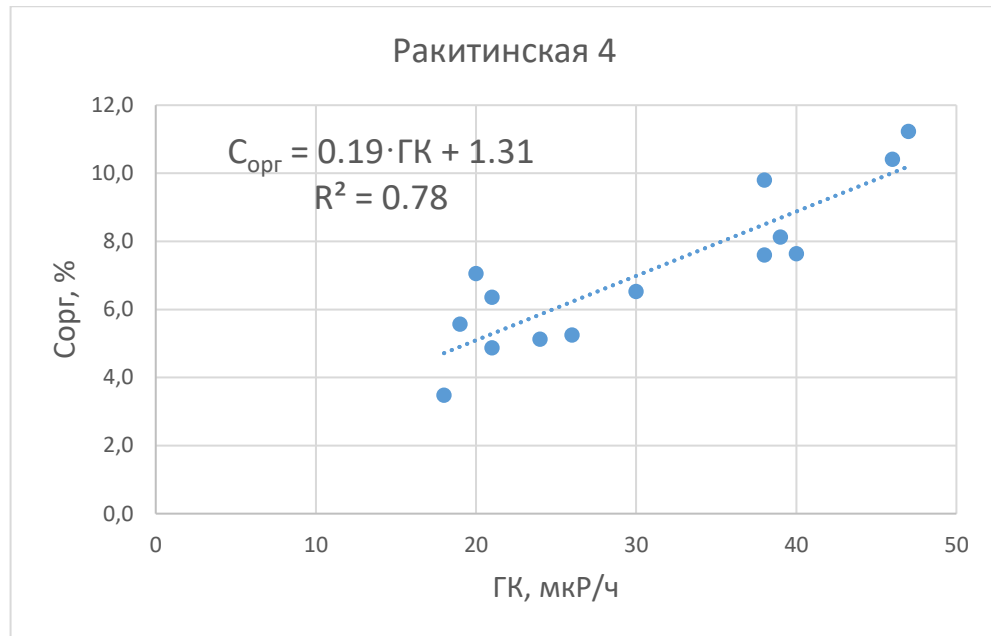


Рисунок 2.24 – Диаграмма зависимости «керн – ГИС» содержания  $C_{\text{орг}}$  от значений  $\Gamma$ -активности пород баженовской свиты по данным ГИС в скв. Ракитинская 4

Таблица. 2.11 – Значения содержаний  $C_{\text{орг}}$  в породах баженовской свиты по аналитическим данным и зависимости «керн – ГИС» в скв. Ракитинская 4

№ п.п.	Глубина	ГК, мкР/ч	Содержание $C_{\text{орг}}$ аналитическое, %	Содержание $C_{\text{орг}}$ по ГИС, %	$\Delta C_{\text{орг}}, \%$
1	2428.7	40.0	7.6	8.7	1.1
2	2429.8	38.0	7.6	8.9	1.3
3	2430.9	39.0	8.1	8.8	0.7
4	2431.8	47.0	11.2	10.3	-0.9
5	2432.8	46.0	10.4	9.1	-1.3
6	2434.3	38.0	9.8	7.7	-2.1
7	2436.6	26.0	5.3	5.5	0.2
8	2437.8	24.0	5.1	5.8	0.7
9	2438.9	30.0	6.5	6.9	0.4
10	2441.0	19.0	5.6	5.1	-0.5
11	2441.9	21.0	6.4	4.7	-1.7
12	2451.9	20.0	7.1	5.7	-1.4
13	2452.7	21.0	4.9	5.5	0.6
14	2457.5	18.0	3.5	4.8	1.3
		сумма	99.1	97.5	-1.6
		среднее	7.1	7	-0.1

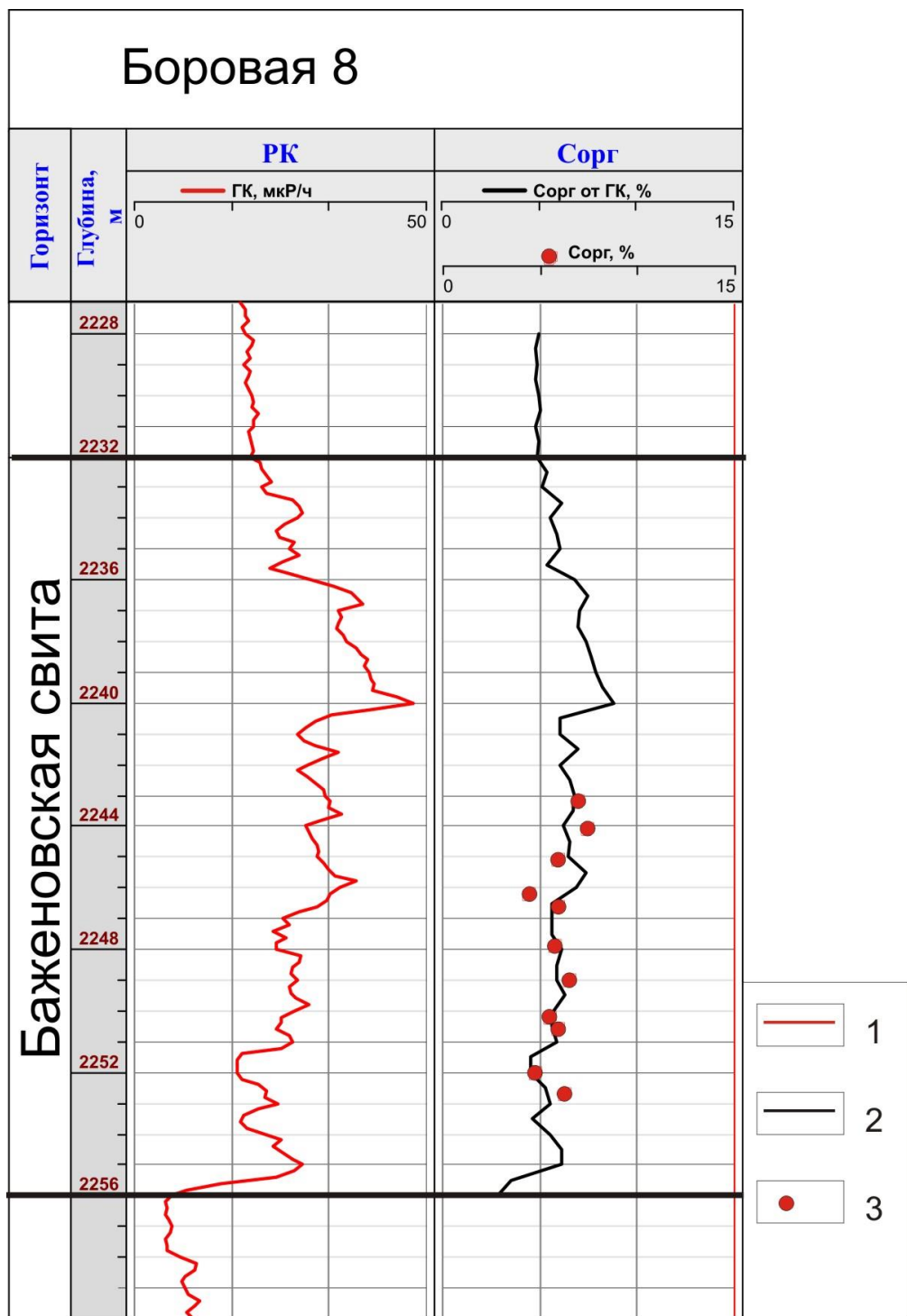


Рисунок 2.25 – Изменение содержаний С<sub>орг</sub> в разрезе баженовской свиты в скв. Боровая 8

Условные обозначения: 1) кривая радиоактивного каротажа ГК; 2) кривая значений  $C_{\text{орг}}$  от ГК, определённых по регрессионной зависимости «керн – ГИС»; 3) значения  $C_{\text{орг}}$  в породах, определённые аналитически.

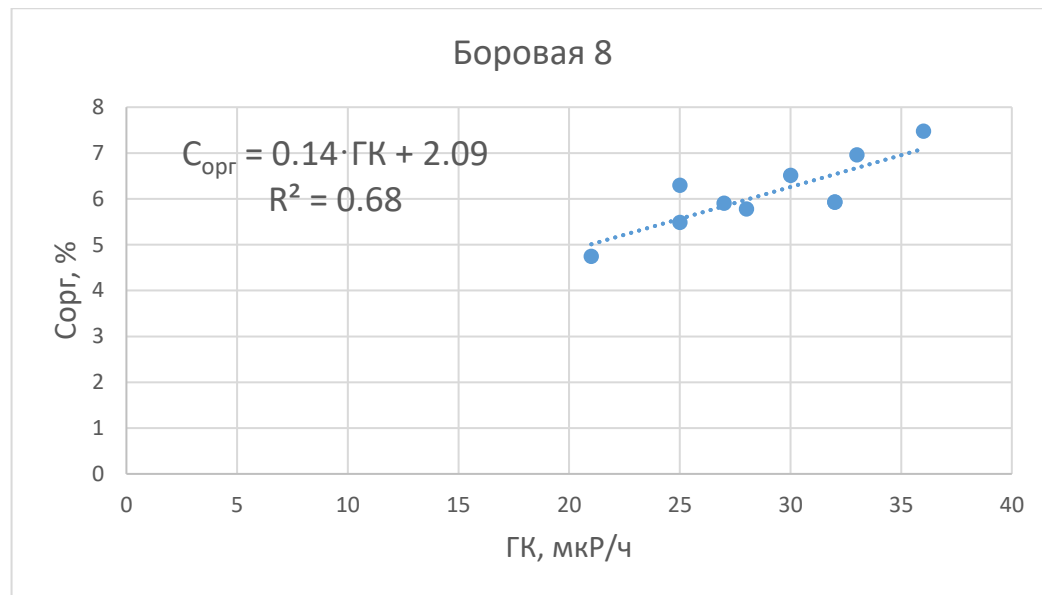


Рисунок 2.26 – Диаграмма зависимости «керн – ГИС» содержания  $C_{\text{орг}}$  от значений  $\Gamma$ -активности в скв. Боровая 8

Таблица. 2.12. Значения содержаний  $C_{\text{орг}}$  в породах баженовской свиты по аналитическим данным и зависимости «керн – ГИС» в скв. Боровая 8

№ п.п.	Глубина	ГК, мкР/ч	Содержание $C_{\text{орг}}$ аналитическое, %	Содержание $C_{\text{орг}}$ по ГИС, %	$\Delta C_{\text{орг}}, \%$
1	2243.1	33.0	7.0	6.7	0.3
2	2244.0	36.0	7.5	6.3	1.2
3	2245.0	32.0	5.9	6.5	-0.6
4	2246.5	32.0	5.9	5.5	0.4
5	2247.8	28.0	5.8	6.0	-0.2
6	2248.9	30.0	6.5	5.9	0.6
7	2250.1	25.0	5.5	5.6	-0.1
8	2250.5	27.0	5.9	5.6	0.3
9	2251.9	21.0	4.8	4.6	0.2
10	2252.6	25.0	6.3	5.4	0.9
		сумма	61.1	58.1	3.0
		среднее	6.1	5.8	0.3

Выше была подробно описана процедура привязки керна к разрезам скважин с целью построения карт  $C_{\text{орг}}$ , при этом критерием эффективности привязки был принят максимум коэффициента корреляции между  $C_{\text{орг}}$  – аналитическое (на образцах керна), и  $C_{\text{орг}}$  – измеренное на диаграмме (построена от значений ГК-каротажа).

## 2.2 Материал исследования

Автор выполнял работу в коллективе исследователей ИНГГ СО РАН и ВНИГНИ и первой его задачей было получить максимально представительную выборку образцов определения  $C_{\text{орг}}$  из пород баженовского горизонта на всей территории Западно-Сибирского бассейна. Эта работа проводилась по двум направлениям. Первое – была предпринята попытка максимально полно собрать выборку анализов  $C_{\text{орг}}$  в образцах керна скважин, выполненных ранее в СНИИГГИМСе, ВНИГРИ, ЗапСибНИГНИ. К сожалению, из-за ухода из жизни ряда исследователей (В.В. Иванцова, Г.П. Сверчков, П.А. Трушков, А.С. Фомичев, К.А. Черников и др.) и отсутствия в организациях системы хранения и архивирования результатов выполненных в 60-90 годы измерений, а также в связи с личным поведением отдельных исследователей, посчитавших результаты анализов своей интеллектуальной собственностью, хотя они были отобраны (экспедиционные работы) и выполнены (аналитические работы) за бюджетные средства, собрать полную выборку ранее выполненных анализов не удалось. Поэтому, главные усилия были направлены на отбор новых коллекций и их тщательное исследование. Во ВНИГНИ и ИНГГ СО РАН были подобраны скважины, по которым недропользователи предоставили право на отбор и исследования керна баженовской свиты. Перечень таких разведочных площадей, скважин и количество отобранных образцов приведен в таблице 2.13. Кроме того, ВНИГНИ ранее располагал анализами по ряду скважин и также передал для построения эти анализы. ИНГГ СО РАН в течение многих лет располагает кернохранилищем образцов, сохраненных с советских времен, по северо-востоку (Красноярский край) и юго-востоку Западной Сибири (Омская и Новосибирская область). В них был проведен отбор образцов. Кроме того, в ИНГГ СО РАН был проведен дополнительный отбор образцов в большом числе скважин на территории ЯНАО и Томской области. Сведения о всех собранных анализах сведены в таблицу 2.13.

Всего в коллекцию вошло 4998 анализов из 268 скважин – по керну (Таблица 2.13) и 102320 определений  $C_{\text{орг}}$  – по ГИС из 1627 скважин (Таблица 2.14).

На рисунке 2.27 приведена карта баженовского горизонта, охарактеризованная аналитическими определениями  $C_{опг}$  по керну, на рисунке 2.28 – охарактеризованная данными по керну и измерениями  $C_{опг}$  в породах по ГИС.

Таблица 2.13 – Количество аналитических определений содержания органического углерода в породах баженовского горизонта

Свита	Субъект федерации	Площади, скважины	Количество анализов	Организация
<b>Баженовская</b>	Томская область	Александровская (3, 11), Арчинская (47), Болтная (1, 2), Глуховская (4), Горстовая (91), Западно-Квензерская (4), Ледовая (8), Новонадеждинская (1), Первомайская (Весенняя) (2287), Полонская (1), Приграничная (5), Северо-Фестивальная (1), Среднеолжавская (10), Столбовая (84), Толпаровская (2), Южно-Майская (413)	356	ИНГТ СО РАН
	<b>Итого:</b>	<i>Томская область (17 скважин, 16 площадей)</i>	<b>356</b>	
ХМАО		Асомкинская (55), Восточно-Правдинская (1305), Горшковская (3, 1017, 1018), Западно-Котутгинская (123), Западно-Салымская (1), Западно-Самотлорская (181), Киевская (9), Колик-Еланская (148), Малобалыкская (1, 21, 107, 901), Ново-Куль-Ёганская (520), Пермяковская (42, 64), Повховская (70), Приобская (32), Северо-Нивагальская (8155), Удачная, (500), Чупальская (67), Эниторская (971), Южно-Ягунская (306)	629	ИНГТ СО РАН
ХМАО		Версигийская (4045), Дружная (230, 322, 4255), Западно-Асомкинская (803, 807), Салымская (78, 123, 141, 169, 170, 174, 176, 184, 2802), Северо-Салымская (169, 1183), Среднебалыкская (3127)	458	ВНИГНИ – ИНГТ СО РАН
ХМАО		Ай-Пимская (4006, 4020, 4025, 4031, 4003, 4012, 4022, 4023, 4032, 4033, 4034, 4036), Биттемская (25, 50), Ван-Еганская (107), Варъеганская (2153), Ватинская (814), Ватъеганская (1190), Вачимская (37), Восточно-Асомкинская (230), Восточно-Бигтемская (3261), Восточно-Студеная (3262), Восточно-Сургутская (63, 970), Ершовая (180), Заозерная (16, 17), Западно-Ай-Пимская (7050, 7052, 7053, 7062, 7065, 7054), Западно-Маслиховская (18), Зимняя (25), Калиновая (1, 2, 3),	2329	ВНИГНИ

Продолжение таблицы 2.13

Свита	Субъект Федерации	Площади, скважины	Количество анализов	Организация
		Лисорская (42), Лопаслорская (3256), Малокондинская (19), Мало-Метельная (3215), Маслиховская (25, 25, 3281), Мегионская (67), Мицкская (41), Молодежная (3, 4, 6), Назаргаевская (3220), Новоаганская (205), Новооргяунская (187), Новопокурская (224), Приразломная (312), Равенская (175), Самотлорская (1055, 1056), Сахалинская (17, 20), Северная (40), Северо-Вайская (38), Северо-Кочевская (129), Северо-Маслиховская (3251), Среднекондинская (20), Синеганская (8), Сыхтынгорская (3303), Торьеганская (1), Угурская (17), Ульяновская (3304, 3305, 3307), Усть-Вайская (37), Южно-Камынская (3233, 3234, 3206), Южно-Сургутская (853)		
	<b>Итого:</b>	<b>ХМАО (107 скважин, 70 площадей)</b>	<b>3422</b>	
ЯНАО		Восточно-Медвежья (86), Вынгапуровская (317), Вэнгаяхинская (355), Губкинская (42, 45), Ево-Яхинская (356), Ен-Яхинская (501), Западно-Пурлейская (710), Медвежья (30, 1001), Надымская (2), Ортыгунская (15), Пякутинская (536), Пяяхинская (2011), Северо-Часельская (52, 53), Соколиня (140), Тюменская (6), Умсейская (48), Уренгойская (673, 739), Харасавейская (103), Хейгинская (4), Южно-Инучинская (352), Южно-Ярайнерская (50, 51), Ярайнерская (12, 23), Ярохинская (21)	384	ИНГТ СО РАН
ЯНАО		Самбургская (700)	2	ВНИГНИ – ЗапСибНИГНИ – ИНГТ СО РАН
ЯНАО		Бованенковская (114, 116), Геологическая (35), Сутмутская (423)	25	ВНИГНИ
	<b>Итого:</b>	<b>ЯНАО (35 скважин, 28 площадей)</b>	<b>411</b>	

Продолжение таблицы 2.13

Свита	Субъект Федерации	Площади, скважины	Количество анализов	Организация
Новосибирская область	Верхне-Чековская (1), Веселовская (1), Горбуновская (1), Межевская (4, 5, 11), Прибелинская (1), Ракитинская (4)	87	ИНГТ СО РАН	
<b>ИТОГО:</b>	<b>Новосибирская область (8 скважин, 6 площадей)</b>	<b>87</b>		
Омская область	Баклянская (3), Нагалинская (1), Тайтымская (5)	8	ИНГТ СО РАН	
<b>ИТОГО:</b>	<b>Омская область (3 скважины, 3 площади)</b>	<b>8</b>		
Тюменская область, юг	Восточно-Демьянская (181), Гусеничная (10), Северо-Демьянская (1, 21), Северо-Ендырская (12), Северо-Кальчинская (54)	139	ВНИГНИ	
<b>ИТОГО:</b>	<b>Тюменская область, юг (6 скважин, 5 площадей)</b>	<b>139</b>		
Прочие площади (по одному образцу):	Томская область (Южно-Карасевская, 75)	1	ИНГТ СО РАН	
	Омская область (Айсазская, (1, 2); Ивановская, 1)	3		
	Новосибирская область (Буйновская, 1; Веселовская, 4; Витинская, 1; Касманская, 1; Красногорская, 1; Мурашовская, 1)	6	ИНГТ СО РАН	
	ЯНАО (Верхнетольканская, 3, 4, 5; Ево-Яхинская, 351; Северо-Есетинская, 301; Уренгойская, 81; Южно-Пякутинская, 17; Янчинская, 71; Ярайнерская, 3)	9	ИНГТ СО РАН	
	ЯНАО (Самбургская, 400)	1	ВНИГНИ – ЗапСибНИГНИ – ИНГТ СО РАН	
	ЯНАО Новопортовская (51, 58)	2	ЗапСибНИГНИ – ИНГТ СО РАН	
	ХМАО (Горишковская 3; Малобалыкская, 21)	2	ИНГТ СО РАН	
	ХМАО (Аганская, 29; Ай-Гульская, 824; Ачимовская, 442; Восточно-Сургутская, 63; Доманная, 41; Ларкинская, 155; Нижне-Вартовская, 97; Нижнесортымская, 226; Омбинская, 1; Северо-Варьеганская, 66; Тепловская, 274; Умсейская, 4)	12	ВНИГНИ	

## Продолжение таблицы 2.13

Свита	Субъект Федерации	Площади, скважины	Количество анализов	Организация
	ХМАО (Западно-Асомкинская, 807; Салымская, 78; 123)	3	ВНИГНИ - ИНГТ СО РАН	
<i>ИТОГО:</i>	<i>Прочие площади (по одному образцу) (40 скважин, 22 площади)</i>	<b>21</b>		
<b>Тутлеймская (нижняя часть)</b>	<b>Баженовская свита</b>	<b>4439</b>		
ХМАО	Восточно-Янготская (3), Западно-Ташинская (10), Камынская (3236, 78-б), Кондинская (18), Куртымская (43), Посткарпоманская (7071), Ташинская (4), Турумевская, (1, 4), Южно-Шебурская (1)	180	ВНИГНИ	
<i>ИТОГО:</i>	<i>Прочие площади (по одному образцу).</i>			
	ХМАО (13 скважин, 11 площадей)	<b>182</b>		
<b>Даниловская (верхняя часть)</b>	<b>Тумпеймская (нижняя часть) свита</b>	<b>182</b>		
ХМАО	Даниловская (2077)	1	ВНИГНИ	
<i>ИТОГО:</i>	<i>ХМАО (1 скважина, 1 площадь)</i>	<b>1</b>		
<b>Марьяновская</b>	<b>Даниловская (верхняя часть) свита</b>	<b>1</b>	<b>ИНГТ СО РАН</b>	
ХМАО	Боровая (8), Восточно-Пытькараминская (11), Сыхтинская (500)	23	ИНГТ СО РАН	
<i>ИТОГО:</i>	<i>ХМАО (3 скважины, 3 площади)</i>	<b>23</b>	<b>ИНГТ СО РАН</b>	
Томская область	Восток (1, 3)	27	СНИИГГиМС	
<i>Прочие площади (по одному образцу):</i>	Томская область (Ажарминская, 1)	1		
<i>ИТОГО:</i>	<i>Томская область (4 скважины, 3 площади)</i>	<b>28</b>		
<b>Яновстанская</b>	<b>Марьиновская свита</b>	<b>51</b>	<b>ИНГТ СО РАН</b>	
ЯНАО	Русско-Часельская (100), Светлогорская (308), Термокарстовая (65), Южно-Русская (12)	45	ИНГТ СО РАН	
ЯНАО	Газовская (52)	2	ВНИГНИ	
<i>ИТОГО:</i>	<i>ЯНАО (8 скважин, 6 площадей)</i>	<b>47</b>		

Продолжение таблицы 2.13

Свита	Субъект Федерации	Площади, скважины	Количество анализов	Организация
Красноярский край	Медvez'ya (316), Туколандо-Вадинская (320)	39	ИНГ СО РАН	
Красноярский край	Озерная (10), Сузунская (4)	28	ИГИРГИ – ИНГ СО РАН	
Красноярский край	Долганская (1, 2, 3), Западно-Ермаковская (1), Майская (1), Суходудинская (1, 2), Туруханская (1)	64	СНИИПГиМС	
Красноярский край	Хальмертаютинская (2099)	8	ВНИГНИ	
<i>ИТОГО:</i>	<i>Красноярский край (14 скважин, 11 площадей)</i>	<b>140</b>		
<i>ИТОГО:</i>	<b>Яновостанская свита</b>	<b>187</b>		
<b>Гольчихинская</b>	Паяхская (1, 4), Пеляткинская (15), Ушаковская (1), Яровская (2)	70	ИНГ СО РАН	
Красноярский край	Восточно-Кубалахская (357), Западно-Кубалахская (359), Логатская (361), Среднеяровская (3)	31	ИГИРГИ – ИНГ СО РАН	
Красноярский край	Дерябинская (5, 9), Среднеписинская (2), Турковская (1, 2)	31	СНИИПГиМС	
<i>ИТОГО:</i>	<i>Красноярский край (13 скважин, 10 площадей)</i>	<b>132</b>		
<i>Прочие площади (по одному образцу):</i>	Красноярский край (Береговая, 2)	1	ИНГ СО РАН	
<i>ИТОГО:</i>	<b>Гольчихинская свита</b>	<b>133</b>		
	<b>ИТОГО:</b>	<b>Количество проанализированных образцов</b>	<b>4998</b>	
		Количество скважин – 268		
		Количество площадей – 195		
<b>Количество образцов по свитам</b>	баженовская свита	4444		
	Тутлемская (нижняя часть)	182		
	яновостанская	187		
	гольчихинская	133		
	марьяновская	51		

Окончание таблицы 2.13

Свита	Субъект Федерации	Площади, скважины	Количество анализов	Организация
	даниловская (верхняя часть)		1	
<b>Количество образцов по субъектам Федерации</b>				
	ХМАО	3627		
	ЯНАО	470		
	Томская область	385		
	Тюменская область	139		
	Новосибирская область	93		
	Омская область	11		
	Красноярский край	273		

Таблица 2.14 – Количество измерений содержания органического углерода в породах баженовского горизонта по зависимостям «керн – ГИС» (ИНГТ СО РАН)

Свита	Субъект федерации	Площади, скважины	Количество измерений
<b>Баженовская</b>	Томская область (462 скважины, 208 площадей)	Айгольская (11), Ай-Куланская (1), Айполловская (1), Айсазская (1), Александровская (2, 10, 11), Алленкинская (102, 103), Армическая (1), Арчинская (41, 43, 49, 51, 58), Бабушкинская (1), Басмасовская (1), Болтная (1, 2), Боровая (1), Вартовская (335), Вастоганская (2), Вахская (36, 40, 75, 78, 88), Вертолетная (362), Верхнезаячья (80), Верхнекарзинская (1), Верхнекомбарская (295), Верхнесалагская (25), Верховая (1), Весенняя (248, 249, 250, 251, 253, 254, 255, 257, 266, 270, 287), Водораздельная (2), Воскресенская (2), Восточно-Моисеевская (1), Вычи-Игайская (5), Герасимовская (1, 6, 7, 9, 10, 15, 16), Глухарина (1), Глуховская (1, 3, 4), Головная (352), Гордеевская (1), Горстовая (90, 91, 92, 93, 95, 100), Григорьевская (7), Грушевая (215, 220, 223), Гужихинская (270, 271), Двуреченская (12), Дуклинская (1, 2), Еллей-Игайская (1, 4), Еллейская (1), Западная (1), Западно-Весенняя (241), Западно-Карандашовская (1), Западно-Карасевская (72), Западно-Квензерская (4), Западно-Катыльгинская (14), Западно-Крапивинская (220, 223), Западно-Крыловская (1), Западно-Лугинецкая (183), Западно-Моисеевская (21, 22), Западно-Назинская (95), Западно-Останинская (441), Западно-Сомовская (9), Заячья (50), Зимняя (1), Игольская (1, 2, 3, 4, 6, 7, 8, 10, 11, 12, 13, 14, 15, 16), Игольско-Галовая (18, 20, 23, 24, 25, 26), Ильяская (1), Инкинская (10), Казанская (3, 7), Калиновая (3, 4, 6, 7, 22), Карайская (1, 2, 3, 4, 7, 8, 9), Карабевская (60, 61, 64, 65, 73), Каргасокская (1), Катыльгинская (100), Квартовая (5, 7, 9), Квензерская (2), Киев-Еланская (350, 353, 355, 357, 360), Кильсинская (381), Киндалльская (440), Ключевская (61), Колотушная (260, 274, 278), Комсомольская (112), Кондаковская (31, 32, 34), Косальская (15), Крапивинская	19620

Продолжение таблицы 2.14

Свита	Субъект федерации	Площади, скважины	Количество измерений
		(190, 191, 192, 193, 194, 196, 197, 198, 199, 201, 202, 208, 209, 210, 212, 213, 214, 215, 216, 218, 221, 222, 224, 226), Кузьрская (320), Кулгинская (142, 144, 145), Куль-Ёганская (1, 3, 4, 5, 6), Кыкинская (1), Куланская (100), Ледовая (7, 8), Летняя (2), Линейная (2, 3), Ломовая (202, 209), Лонтынь-Яхская (67), Лосинская (1), Лугинецкая (155, 166, 181, 182, 190), Льзовская (14), Лысогорская (11), Люк-Пайская (2), Майская (1, 390, 391), Малореченская (118, 120, 121, 122), Маркинская (2), Матюшкинская (34), Межозерная (197), Мирная (407, 408, 410, 411, 412, 416), Можанская (1), Моисеевская (9, 15), Мыльтынская (306), Назинская (1, 7), Налимья (5, 8), Нань-Яхская (1), Нижне-Вартовская (98, 100, 102, 103, 104, 105, 106), Нижнетабаганская (22, 23), Новоникольская (Трассовая) (1), Ноябрьская (1), Ньюлинская (1), Обская (1), Осиновская (45), Останинская (417, 418, 420, 421, 423, 424, 426, 428, 429, 436, 451), Павловская (2, 4), Панковская (1), Пельгинская (2, 3), Первомайская (265, 268, 269, 271, 272, 2287), Перкагская (9), Пинджинская (1, 3, 4, 5), Пионерская (1, 258), Пограничная (1), Поисковая (2), Пологая (1, 3), Полонская (1, 2), Полуденная (221, 222, 223), Пономаревская (1, 2), Поселковая (2, 4), Приграничная (5, 6, 8), Приколтогорская (1), Проточная (1, 2, 3, 4, 6, 7, 8), Путлальмская (86, 93), Речная (280, 285), Рогалевская (143, 145), Саймовская (1), Северная (211, 412, 424), Северо-Айсазская (1, 2), Северо-Басюганская (2, 5, 9, 16, 17), Северо-Залесная (1), Северо-Калиновая (23, 28), Северо-Карабесская (67), Северо-Мыльдинская (1), Северо-Останинская (1, 2, 4, 5, 17), Северо-Сильгинская (7), Северо-Тамбаевская (2), Северо-Фестивальная (1), Северо-Юлжавская (1), Селимхановская (1, 2), Сельвейкинская (1, 2), Сенькинская (37, 38), Смоляная (6), Среднеюлжавская (10, 43), Соболиная (173, 174), Советская	

Продолжение таблицы 2.14

Свита	Субъект федерации	Площади, скважины	Количество измерений
		(3, 25, 26, 33, 48, 646), Солоновская (44, 45), Сомовская (145), Среднеолжавская (10), Средненорольская (41, 43), Средняя (10), Стариковская (36), Столбовая (79, 80, 82, 83, 84, 85, 88, 92), Стрежевская (11, 12, 14, 16, 17, 82), Ступенчатая (7), Суглинская (1), Тагайская (1, 6, 12), Тайкинская (17), Галовая (1, 3, 11), Тальянская (1, 2), Тамбаевская (2), Тамратская (2), Тибинская (241, 242), Толпаровская (2), Траверсная (1), Трайгородская (2), Трассовая (317), Тростниковая (281), Туганская (1), Тунгольская (3), Урманская (2, 9, 10), Усть-Сильгинская (14), Усть-Тымская (1), Федоркинская-Резервная (1, 5, 9, 12), Фестивальная (255), Хвойная (1), Чагвинская (1, 2, 3), Чапаевская (1, 2), Чарымовская (80), Чворовая (3), Чебачья (218, 219), Чегалинская (3), Чинжарская (4), Чкаловская (4, 9, 11, 21), Шингинская (297, 298, 299), Широтная (50, 51), Шудельская (210), Эмторская (300), Юбилейная (403), Южная (1), Южно-Александровская (4, 5), Южно-Колтогорская (1), Южно-Майская (413), Южно-Матюшкинская (41), Южно-Моисеевская (7), Южно-Мыльдюканская (27, 29), Южно-Соснинская (1), Южно-Табаганская (130, 131, 134, 135), Южно-Тамбаевская (76), Южно-Фестивальная (3, 4), Южно-Урманская (1, 2), Южно-Черемшанская (335, 336, 339, 342), Южно-Чкаловская (15), Ясная (21)	38506
XMAO (659 скважин, 146 площадей)		Аганская (9, 21, 22, 25, 29, 31, 122, 407, 904, 907, 909, 912, 914), Ай-Яунская (14), Алпорная (1), Ариольская (15), Акомкинская (10, 11, 13, 17, 20, 21, 24, 26, 31, 44, 48, 49, 51, 54), Асомкинская-Файнская (56, 57, 59, 67), Аэросейсмическая (100), Бахиловская (123), Ватинская (807, 814, 822, 826), Верситыйская (4040, 4045, 4047), Верхне-Надымская (62, 66), Восточно-Лартельская (14), Восточно-Малобалыкская (54), Восточно-Правдинская (1305),	38506

Продолжение таблицы 2.14

Свита	Субъект федерации	Площади, скважины	Количество измерений
		Восточно-Сургутская (28, 29, 30, 32, 33, 36, 38, 41, 42, 53, 56, 66, 71, 73, 80, 83, 87, 90, 91, 95, 1268, 1269, 1271, 1273), Восточно-Тайлаковская (121, 152, 157, 164, 165, 171), Восточно-Фроловская (51), Восточно-Хохряковская (107), Восточно-Юганская (104), Встречная (11, 4044), Вуемская (3), Гальнадская (844, 845), Горелая (17), Горшковская (1005, 1017, 1018), Дружная (69, 230, 322), Ефремовская (4023, 4025, 4031, 4032), Заозерная (3, 7, 15, 17), Западно-Асомкинская (35, 800, 803, 806, 807, 812, 823, 825), Западно-Балыкская (21), Западно-Каркагеевская (2), Западно-Котухтинская (123, 141), Западно-Малобалыкская (44, 45), Западно-Перевальная (98), Западно-Салымская (1), Западно-Самотлорская (181), Западно-Тевлинская (59), Западно-Тепловская (94), Западно-Утупская (3051, 3053, 3054, 3056, 3057, 3059, 3060, 3062, 3063), Западно-Усть-Балыкская (1196, 2003, 2004), Западно-Ютымская (138, 166, 167, 183, 184, 186, 189), Зимняя (14, 142), Икилорская (302, 303, 305), Итьихская (300), Кетовская (50, 51, 52, 55, 56, 61, 63, 64, 78), Кечимовская (160), Киевская (9), Киняминская (206, 211, 213, 217, 218, 222, 229, 282), Когалымская (161), Колпик-Еганская (148), Конитлорская (291), Кошильская (300, 305, 312, 337, 347), Кустовая (108), Лартельская (1), Лас-Ёганская (152, 185, 209), Ливадийская (131), Лисорская (42), Локосовская (30), Лульяхская (1, 2, 3, 5), Лунинская (10, 11), Майская (1226, 1229, 4005, 4017, 4022), Максимкинская (503), Мало-Аганская (831), Малобалыкская (1, 4, 6, 15, 21, 95, 107, 901), Малокондинская (19), МалоТепловская (2, 3), Мало-Юганская (402), Мамонтовская (10, 1141, 1142, 1143, 1144, 1145, 1146, 1147, 1229, 1230), Мегионская (62, 65), Молодежная (6), Мултановская (8), Мысхайская (159), Нивагальская (204, 208, 210, 211, 250), Нижнекеумская (100), Новолокурская (245, 270),	

Продолжение таблицы 2.14

Свита	Субъект федерации	Площади, скважины	Количество измерений
		Новооутымская (51, 56, 61), Ожерельная (1), Омбинская (1, 2, 3, 6, 7, 8, 9, 13, 14, 16, 19, 24, 25, 28), Онтохская (5, 10, 11, 13, 17, 18), Ореховская (400), Петелинская (3, 501, 502), Покачевская (12, 13, 15, 17, 33, 40, 41, 72, 206, 378), Полуденная (301, 302, 304, 305, 306), Поточная (31, 32, 58, 106), Правдинская (76, 1180, 1182, 1192), Приобская (174, 175, 187, 245, 253, 296, 330, 332, 409, 435, 624, 625), Приразломная (124, 129, 161, 188, 191, 198, 214, 216, 224, 282, 312, 314, 320), Равенская (150, 161, 162, 168, 170, 171, 172, 173, 174, 175, 177, 178, 185, 199, 290, 291, 317, 319), Рогожниковская (706), Рускинская (201, 202, 212, 213, 214, 217, 224, 225, 239, 240, 241, 242, 255, 256, 257, 258), Салымская (2, 15, 16, 32, 33, 34, 40, 43, 49, 61, 63, 65, 70, 71, 73, 82, 88, 91, 94, 907, 100, 105, 106, 108, 114, 116, 118, 120, 121, 123, 128, 130, 131, 134, 145, 149, 150, 153, 157, 163, 167, 169, 173, 174, 176, 177, 182, 189, 190, 196, 200, 301, 305, 307, 308, 311, 2802), Северная (40), Северо-Асомкинская (850), Северо-Вайская (38), Северо-Варьеганская (3, 6, 7, 12, 19), Северо-Вать-Ёганская (404), Северо-Вахская (101), Северо-Конитлорская (296, 307), Северо-Ореховская (506, 507, 550), Северо-Островная (100, 101), Северо-Покамасовская (65), Северо-Покачевская (98, 102, 103, 104, 106, 109, 110, 111, 112, 113, 114, 115, 116, 117, 118, 119, 120, 121, 123, 124, 125, 127, 128, 134, 135, 136, 143, 160, 211, 213, 221, 224), Северо-Покурская (24, 400, 404, 405, 406, 409 ), Северо-Поточная (54, 137, 145 ), Северо-Салымская (84, 1183), Северо-Чупальская (30), Селияровская (15, 16, 17, 18), Согорская (3021, 3023), Солкинская (1153, 1167), Соровская (40), Сорымско-Иминская (2, 8, 12, 16, 25, 28), Среднеаманьская (132), Среднебалыкская (3100, 3103, 3105, 3106, 3108, 3109, 3110, 3113, 3114, 3126, 3127), Среднекондинская (20), Среднеугутская (80, 107, 108),	

Продолжение таблицы 2.14

Свита	Субъект федерации	Площади, скважины	Количество измерений
		Средне-Шапинская (123), Тайлаковская (139, 140, 142, 143, 151, 158, 159, 160, 161, 162, 163, 169, 185, 187, 189, 196, 256, 257), Тевлинская (20, 101, 102, 108, 113, 120, 153), Тевлинско-Руссинская (112, 244, 2922), Тепловская (1163, 1323), Тетеревская (826, 1125), Травяная (91, 201, 203, 204), Тундринская (47, 100), Тюменская (214), Угутская (5, 14, 28, 29, 33, 37, 49, 58, 66, 78), Удачная, (500), Урьевская (81, 133, 134, 178, 206, 213), Усть-Балыкская (540, 1149, 1150, 1169, 1195, 2000, 2001, 2002), Усть-Вайская (37), Фаинская (70, 71), Фроловская (50, 53, 61), Ханты-Мансийская (2, 15, 25), Чупальская (67), Эниторская (971), Энтельская (1, 2, 3, 5), Эргинская (44), Южно-Аганская (1330), Южно-Балыкская (1174, 1199), Южно-Владигорская (209), Южно-Киняминская (250, 251), Южно-Покамасовская (119), Южно-Покачевская (63, 78, 79, 80, 81, 82, 84, 87, 98, 100, 104, 108, 109, 110, 111, 112, 114, 115, 119, 134), Южно-Сургутская (4, 17, 684, 853, 1154, 1155, 1159, 1160, 1163, 1164, 1165, 1170, 1171, 1172, 1250, 1251, 1252, 1253, 1255, 1257, 1259, 1260, 1261, 1263, 1264, 1276), Южно-Тайлаковская (168), Южно-Ягунская (158), Юккунская (149), Яккунь-Яхская (170, 172, 173, 174, 175, 176, 177, 178, 192, 193), Яхлинская (2, 4, 7, 8, 18, 27, 28)	4960
Тюменская область, юг (83 скважины, 50 площадей)	Валентиновская (50), Вареятская (1), Васькинская (24), Восточно-Густореченская (42), Восточно-Демьянская (182), Герасимовская (36), Демьянская (20, 23), Ендырская (14), Жерняковская (183), Западно-Ишимская (2, 6), Западно-Лумкойская (96), Западно-Пихтовая (300), Зимняя (6), Иртышская (16), Кальчинская (61, 72), Качкарская (711), Куниякская (231, 252), Кустюмовская (281), Левобережная (192), Лигиурская (40), Лыхская (70), Мутуньская (40), Немчиновская (1, 42), Пекманская (274), Перилская (90),		

Продолжение таблицы 2.14

Свита	Субъект федерации	Площади, скважины	Количество измерений
		Петрегская (60, 61), Пихтовая (302, 304), Радонежская (122), Ракитинская (3), Северо-Демьянская (7), Северо-Кальчинская (51, 52, 55), Северо-Немчиновская (44), Северо-Тямынская (224), Сложная (90), Среднекеумская (70), Тальцайская (16, 20), Тамаргинская (53), Томская (50), Тямынская (208, 209), Уренская (10, 17, 19, 28, 30, 33, 34, 35, 36, 37, 39, 40, 42, 56, 58, 60), Уурная (1), Усть-Тегусская (6, 100, 102, 106, 112, 113), Центрально-Альмская (2), Эпасская (1, 2), Южно-Вареягская (4), Южно-Венихъяртская (19), Южно-Южно-Демьянская (4), Южно-Лигиарская (41), Южно-Нюрымская (12), Ютымская (80)	
	Новосибирская область (60 скважин, 37 площадей)	Бергульская (1, 2), Биазинская (1), Буйновская (1), Верхнетарская (1, 4, 7, 17, 30), Верхне-Чековская (1), Веселовская (1, 3, 4, 5, 6), Витинская (1), Восточная (3, 7), Восточно-Межовская (8, 13), Восточно-Тарская (3), Горбуновская (1), Дедовская (1, 3), Заречная (2), Камышинская (1), Касманская (1, 10), Майзасская (1), Мало-Ичская (2, 3, 5, 20, 22), Межовская (11, 102), Мурашовская (1), Надеждинская (2), Новотроицкая (1), Пахомовская (1), Пограничная (2), Прибелинская (1), Пустоваловская (1), Раздельная (1, 3), Ракитинская (4), Северо-Межовская (7), Сергеевская (2, 3), Тай-Дасская (2, 3), Тартасская (1, 3), Томиловская (1), Тракторная (1), Ургульская (4), Чековская (2), Южно-Ракитинская (9), Южно-Тарская (1, 2)	3594
	Омская область (28 скважин) 18 площадей	Азановская (1), Аксеновская (1); Баклянская (2, 5), Дорожная (1), Западно-Большереченская (1), Ивановская (1), Кулайская (3), Муромцевская (1), Нагалинская (2), Новоомская (1), Орловская (2), Прирахтовская (1, 3, 5, 6, 7), Сапрыкинская (1, 2), Северо-Кулайская (10), Тайтымская (2), Тяпугинская (1), Угловская (1), Ягыл-Яхская (1, 3, 5, 7), Ай-Хеттинская (110), Активная (154), Апакалурская (53), Бованенковская (114), Верхне-Пурпейская (95, 202), Верхнеголькинская (4),	1522

Продолжение таблицы 2.14

Свита	Субъект федерации	Площади, скважины	Количество измерений
ЯНАО (160 скважин, 99 площадей)	Восточно-Еты-Пуровская (190), Восточно-Лакъюганская (746), Восточно-Лакъюганская (105, 112), Восточно-Медвежья (86, 5025), Восточно-Таркосалинская (913), Восточно-Уренгойская (306), Восточно-Хеттинская (151), Восточно-Янгинская (106), Вынгапуровская (116, 166, 300, 317), Вэнгаяхинская (30, 37, 355), Геологическая (3, 10, 35, 36, 602), Горностаевская (12), Губкинская (42, 45), Дельтовая (60), Ево-Яхинская (350, 351, 356, 358), Ен-Яхинская (7, 496, 498, 500, 501, 503, 504), Еты-Пуровская (82, 89, 171, 172, 177, 178, 196), Етыахская (70), Западно-Вынгапуровская (102), Западно-Лудчаяхская (67), Западно-Медвежья (101, 102, 103), Западно-Новогодняя (70, 201), Западно-Надымская (70), Западно-Новогодняя (201), Западно-Ноябрьская (709), Западно-Ортьягунская (8), Западно-Пайсятская (214), Западно-Харампурская (554), Западно-Ягенетская (12), Иохтурская (517, 525), Крайняя (51, 69, 74), Кушелевская (45), Лакъюганская (101), Лензитская (70, 72, 74, 75, 76, 77, 80), Мало-Ортьягунская (7), Мало-Пякутинская (510), Мариэтгинская (1, 2), Марьинская (4), Миллеская (41), Надымская (2), Насельская (561), Нгарская (5101), Нерутинская (2, 5), Нижне-Хадыгинская (50), Новогодняя (125, 168), Ново-Портовская (51, 58, 100, 103), Ныдинская (64, 75, 82), Ортьягунская (15), Отдельная (51, 66), Полуйская (200, 201, 202, 204), Прислоновая (54), Пикупурская (720), Пякутинская (536), Пякхинская (2011), Самбургская (259, 400), Самородская (82), Сандбинская (5), Северо-Губкинская (53, 803), Северо-Есетинская (301), Северо-Комсомольская (452, 467), Северо-Лакъюганская (103), Северо-Ноябрьская (115), Северо-Пьямалихская (32), Северо-Романовская (107), Северо-Соимлорская (131), Северо-	16302	

Продолжение таблицы 2.14

Свита	Субъект федерации	Площади, скважины	Количество измерений
		Соколиная (140), Северо-Тагринская (132), Северо-Уренгойская (426), Семиганская (126), Соколиная (140), Средне-Игарская (790), Средне-Киртыгorskая (109), Средне-Хулымская (52), Сутмутская (423, 430, 464, 483), Сюнай-Салинская (41, 43), Тюменская (6), Умсейская (9, 48, 74), Уренгойская (114, 252, 254, 282, 286, 289, 403, 411, 673, 739), Харампурская (309, 311, 331), Харасавейская (103), Хейгинская (1, 2, 4), Холмистая (662), Юбилейная (100, 2001, 2002), Южно-Инучинская (352), Южно-Марьинская (9), Южно-Падинская (5034), Южно-Пякутинская (17), Южно-Ярайнерская (50, 51), Ямсовейская (83), Янчинская (71), Ярайнерская (12, 24, 31), Ярэйская (486)	
	<i>Итого:</i>	<b>Баженовская свита</b>	<b>84504</b>
<b>Тутлеймская (нижняя часть)</b>	ХМАО (48 скважин, 30 площадей)	Апрельская (4), Вонь-Ёганская (1, 20, 30), Восточно-Камская (1), Восточно-Шебурская (2, 3, 28, 29, 30, 31), Восточно-Янлотская (3), Галляновская (10, 37, 38, 2031, 2034, 2035), Ем-Еловская (171, 426, 826), Западно-Вандимторская (30), Западно-Ташинская (10), Западно-Фроловская (62), Каменная (201), Камская (19, 22), Карабинская (15), Кашатская (23), Кондинская (18), Коралловая (85, 86), Крестьянская (35), Куртымская (43), Кушнохская (1, 12), Назымская (21), Нарыкарская (120), Поснокортская (832), Согомская (8), Сохолская (80), Средне-Назымская (223, 3001, 3002), Ташинская (4), Турумеевская, (4), Хангакуртская (828), Южно-Шебурская (1)	4674
	Тюменская область, юг (3 скважины) 3 площади	Абалакская (3), Верхнетюменская (34), Черкашинская (2)	342
	<i>Итого:</i>	<b>Гумпелтимская (нижняя часть)</b>	<b>5016</b>

Продолжение таблицы 2.14

Свита	Субъект федерации	Площади, скважины	Количество измерений
<b>Мульминская (нижняя часть)</b>	ХМАО (49 скважин, 19 площадей)	Западно-Ловинская (63), Картоплинская (7, 10, 11, 12, 14, 18), Лазаревская (10123, 10139, 10270, 10394), Ловинская (36), Мало-Тапская (1, 3), Мансингянская (10072), Мортыминская (135), Навская (10202), Пайтыхская (50), Половинкинская (101, 110), Потанайская (11, 17, 65), Славинская (9050, 9051, 9054, 10332, 10341, 10342), Супринская (10611), Сыморь-Яхская (10228, 10232, 10241, 10242), Терпевская (22), Убинская (301, 306, 309, 313, 314, 316, 328, 346), Филипповская (2), Шугурская (1), Шухтунгортская (309, 332, 381)	5466
	<b>ИТОГО:</b>	<b>Мульминская (нижняя часть)</b>	<b>5466</b>
<b>Даниловская (верхняя часть)</b>	ХМАО (21 скважина, 4 площади)	Даниловская (61, 86, 89, 92, 107, 108, 110, 10008, 100014, 100017), Золотая (10025), Северо-Даниловская (10151, 10152, 10157, 10158, 10167, 10179), Тальниковая (10085, 10087, 10090, 10177)	2390
	<b>ИНАО (2 скважины, 1 площадь)</b>	Янтарная (2 скважины, 1 площадь)	Верхне-Реченская (2, 3)
	Тюменская область, Юг (6 скважин, 3 площади)	Борковская (1, 3, 4, 5), Михайловская (2), Тараскульская (7)	138
	<b>ИТОГО:</b>	<b>Даниловская (верхняя часть) свита</b>	<b>408</b>
<b>Марьиновская</b>	ХМАО (7 скважин, 7 площадей)	Боровая (8), Восточно-Пилькараминская (11), Восточно-Сабунская (10), Западно-Сабунская (1), Кульинь-Игольская (2), Приозерная (92), Северо-Сабунская (2)	2936
	Томская область (32 скважины, 26 площадей)	Ажарминская (1), Береговая (1), Вездеходная (1, 2, 3, 4), Верхнекенгская (1), Восток (1, 3), Громовская (1), Еланская (1), Западная (1), Западно-Колпанцевская (1), Карбинская (1, 2), Кенгская (135), Колпашевская (7), Корбыльская (1), Крыловская (1), Кургинская (235), Малочимулякская (1), Мартовская (431), Няргинская (1), Парбигская (1, 3), Песчаная (1), Поськоевская (1), Пульсекая (40), Северо-	392
			3054

Продолжение таблицы 2.14

Свита	Субъект федерации	Площади, скважины	Количество измерений
	Колпашевская (81), Чунгельская (1)	(1), Тымская (1),	
	Западно-Калгачская (1), Чановская (1)		186
Новосибирская область (2 скважины, 2 площади)			
<b>ИТОГО:</b>	<b>Марьяновская свита</b>	<b>3632</b>	
Томская область (3 скважины, 3 площади)	Татьяновская (1), Чачанская (1), Ярская (2)	428	
<b>Максимоярская (верхняя часть) ИТОГО:</b>	<b>Максимоярская (верхняя часть)</b>	<b>428</b>	
Новосибирская область (2 скважины, 2 площади)	Доволенская (1), Южно-Чулымская (1)	338	
<b>Баганская ИТОГО:</b>	<b>Баганская свита</b>	<b>338</b>	
	<b>ИТОГО:</b>	<b>102320 (из них ЯНАО – 16440)</b>	
	Количество скважин – 1627 (из них ЯНАО – 162)		
	Площади – 658 (из них ЯНАО – 100)		
<b>Количество образцов по свитам</b>	<b>ИТОГО</b>	<b>84504</b>	
	баженовская свита – 1452 скважины (ЯНАО – 160) (из них без ЯНАО – 1292 скважин)	68202	
	Тутлемская (нижняя часть), скважины – 51	5016	
	Мульминская (нижняя часть), скважины – 49	5466	
	Даниловская (верхняя часть), скважины – 29	2936	
	Марьяновская (верхняя часть), скважины – 41 скважина	3632	
	Максимоярская (верхняя часть), скважины – 3	428	
	Баганская (верхняя часть), скважины – 2	338	
	Яновстанская – нет	нет	
	Гольчихинская – нет	нет	

Окончание таблицы 2.14

Свита	Субъект федерации	Площади, скважины	Количество измерений
<b>Количество образцов по Административным округам</b>	<b>ХМАО (784 скважины)</b>		<b>51428</b>
	Томская область (497 скважин)		23102
	Тюменская область, юг (92 скважины)		5710
	Новосибирская область (64 скважины)		4118
	Омская область (28 скважин)		1522
	ЯНАО (162 скважины)		16440
	Красноярский край (не использован ГИС)	нет	

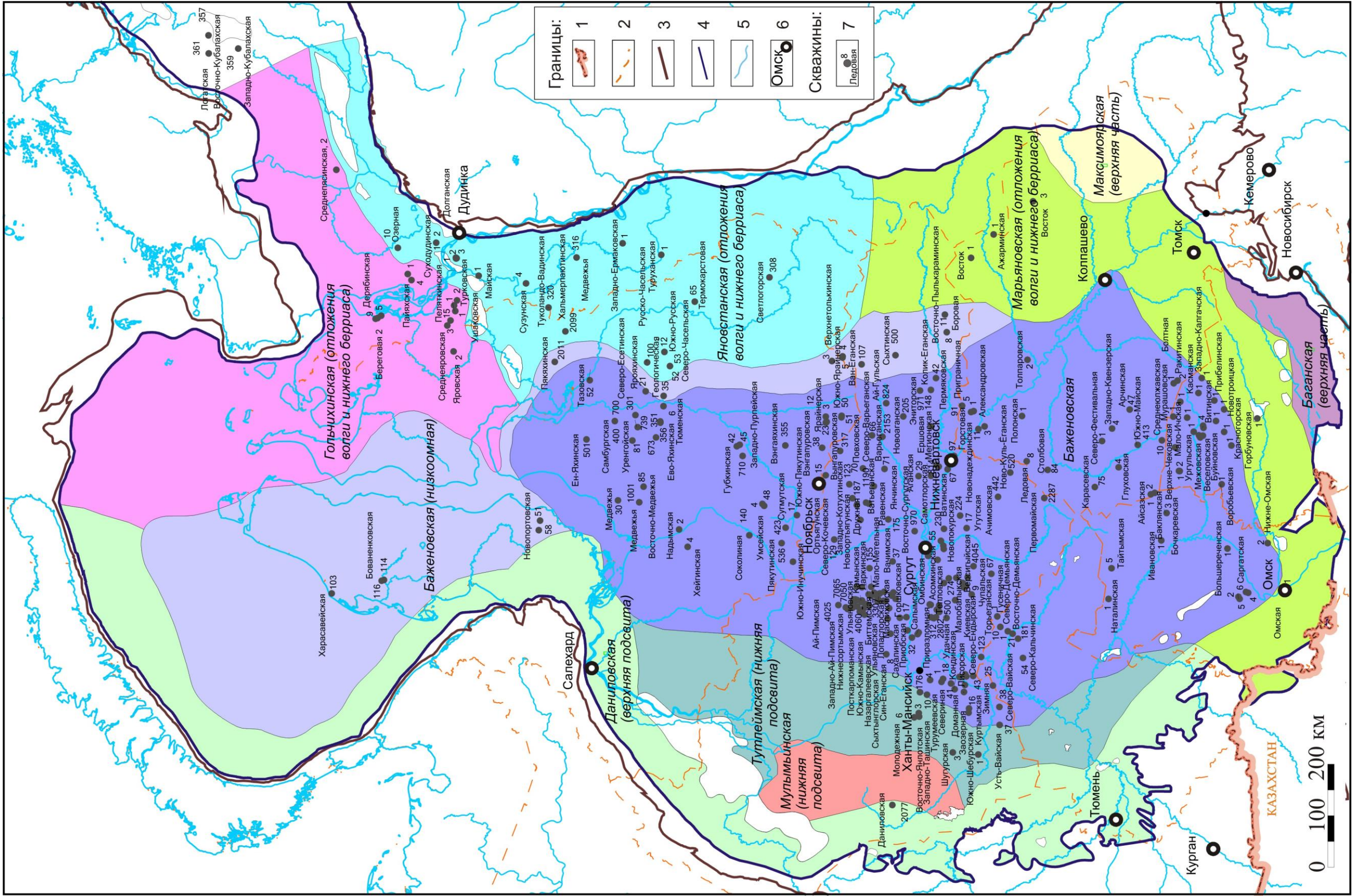


Рисунок 2.27 – Изученность территории исследования керном

Условные обозначения: 1–4 – границы: 1 – государственная; 2 – административная; 3 – распространения отложений мезозоя; 4 –площадного распространения верхнеюрских отложений. 5 – гидросеть; 6 – населенные пункты; 7 – скважины с аналитическими определениями  $C_{\text{опг}}$  по керну.

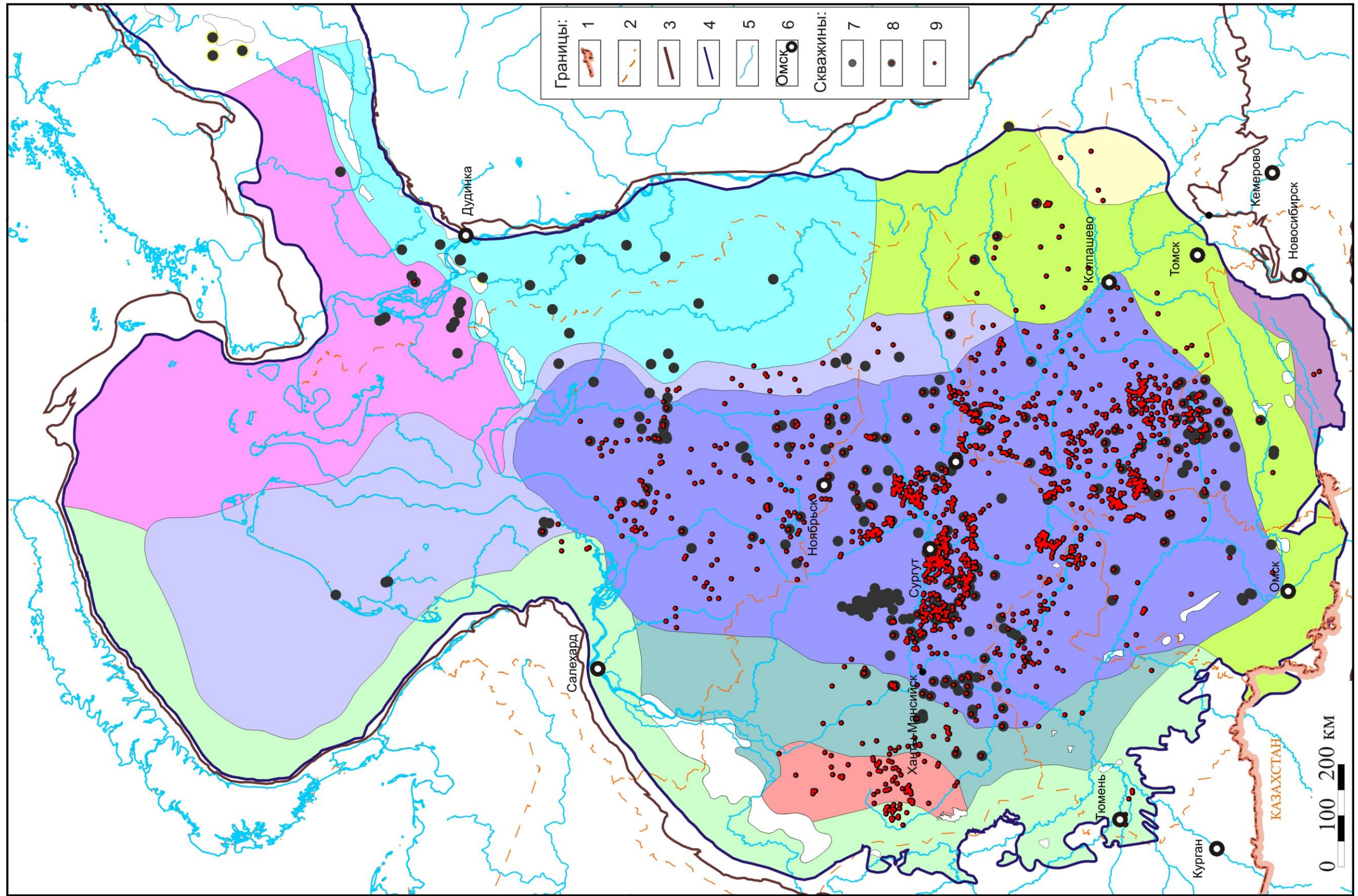


Рисунок 2.28 – Изученность территории исследования керном и ГИС

Условные обозначения: 1–4 – границы: 1 – государственная; 2 – административная; 3 – распространения отложений мезозоя; 4 –площадного распространения верхнегорских отложений. 5 – гидросеть; 6 – населенные пункты; 7 – скважины с аналитическими определениями  $C_{\text{опр}}$  по керну и определениями  $C_{\text{опр}}$  по ГИС; 8 – скважины с определениями  $C_{\text{опр}}$  по керну и определениями  $C_{\text{опр}}$  по ГИС.

### **Глава 3. РАСПРЕДЕЛЕНИЕ КОНЦЕНТРАЦИЙ ОРГАНИЧЕСКОГО УГЛЕРОДА В ОСАДОЧНЫХ ПОРОДАХ БАЖЕНОВСКОГО ГОРИЗОНТА**

Сообщения о том, что в разрезах мезозоя Западно-Сибирского осадочного бассейна более всего обогащены органическим углеродом отложения верхней юры появились в 1958-1959 гг. [Никонов, 1959; Сверчков, 1958; Гураи, 1959; Черников, Запивалов, 1958].

В главах 1 и 2 автором было отмечено, что попытки описать закономерности распределения органического углерода в породах баженовского горизонта, и особенно баженовской свиты, начиная с 60-х годов прошлого века предпринимались неоднократно. Часто это были схематические построения, опирающиеся на относительно ограниченный аналитический материал, либо они выполнялись для локальных территорий. Применение метода определения концентраций  $C_{\text{орг}}$  в породах по данным ГИС с помощью зависимости «керн – ГИС» позволило разным авторам [Плуман, 1975; Хабаров и др., 1980; Гураи и др., 1988; Конторович, 2002; и др.], использовавшим при поисках зависимости «керн – ГИС» средние значения  $C_{\text{орг}}$ , полученные при лабораторных исследованиях керна в скважине, со средними значениями каротажа для всего интервала баженовской свиты, значительно увеличить плотность наблюдения на площади, обеспечивая детальность построений 2D. В настоящей работе был применен аналогичный методический подход, но в отличие от предыдущих исследователей, зависимости «керн – ГИС» строились для всей совокупности определений  $C_{\text{орг}}$  по керну и значений  $V$ -активности пород по данным ГК в каждой скважине, что позволило изучить распределение  $C_{\text{орг}}$  во всем разрезе точечно через каждые 0.5 м в каждой скважине, охарактеризованной данными радиоактивного каротажа. В результате выбранной в работе комплексной методики определения  $C_{\text{орг}}$  были выявлены основные параметры

распределения органического углерода в разрезе и закономерности латерального распределения органического углерода в породах баженовского горизонта и отдельных свит в его составе. Ниже последовательно излагаются результаты этих исследований.

### **3.1 Средние содержания органического углерода в баженовском горизонте и отдельных свитах, его слагающих**

В настоящей работе во всём баженовском горизонте по данным керна и ГИС было использовано 107318 определений по 1895 скважинам. Согласно проведённым исследованиям, современные концентрации  $C_{\text{опр}}$  в породах горизонта меняются от долей процента до 25 % и более, среднее содержание  $C_{\text{опр}} = 4.5 \%$ , модальное значение – 3 % (Рисунок 3.1).

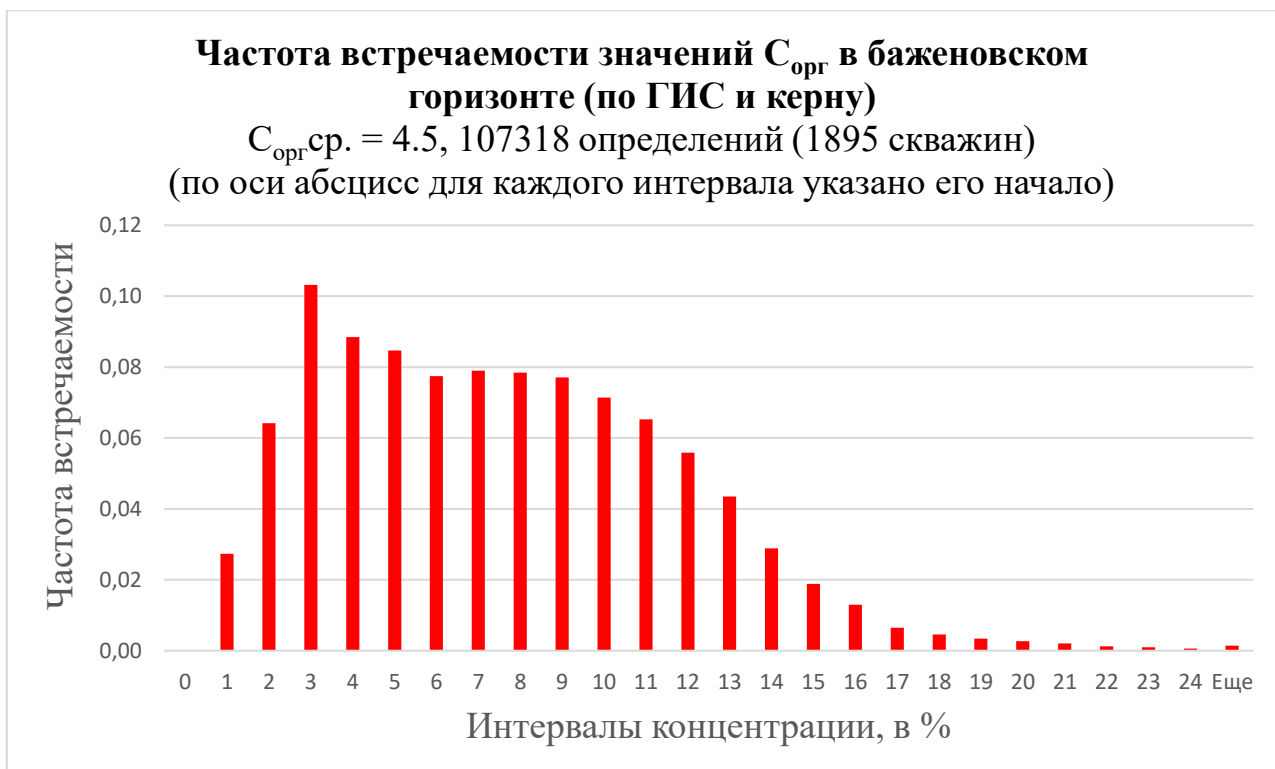


Рисунок 3.1 – Распределение концентраций  $C_{\text{опр}}$  в баженовском горизонте

В работе для баженовской свиты было выполнено 88948 определений по 1667 скважинам, среднее значение – 7.1 %, модальное значение – 9 % (Рисунок 3.2).

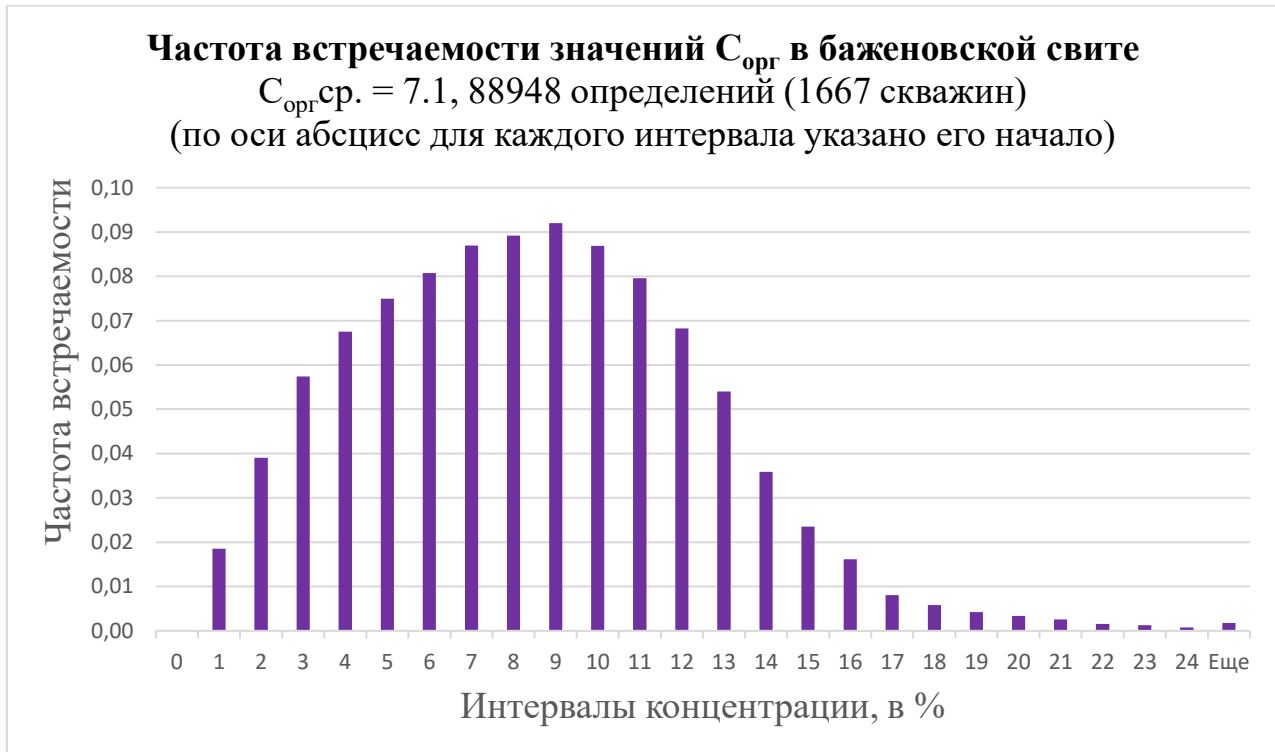
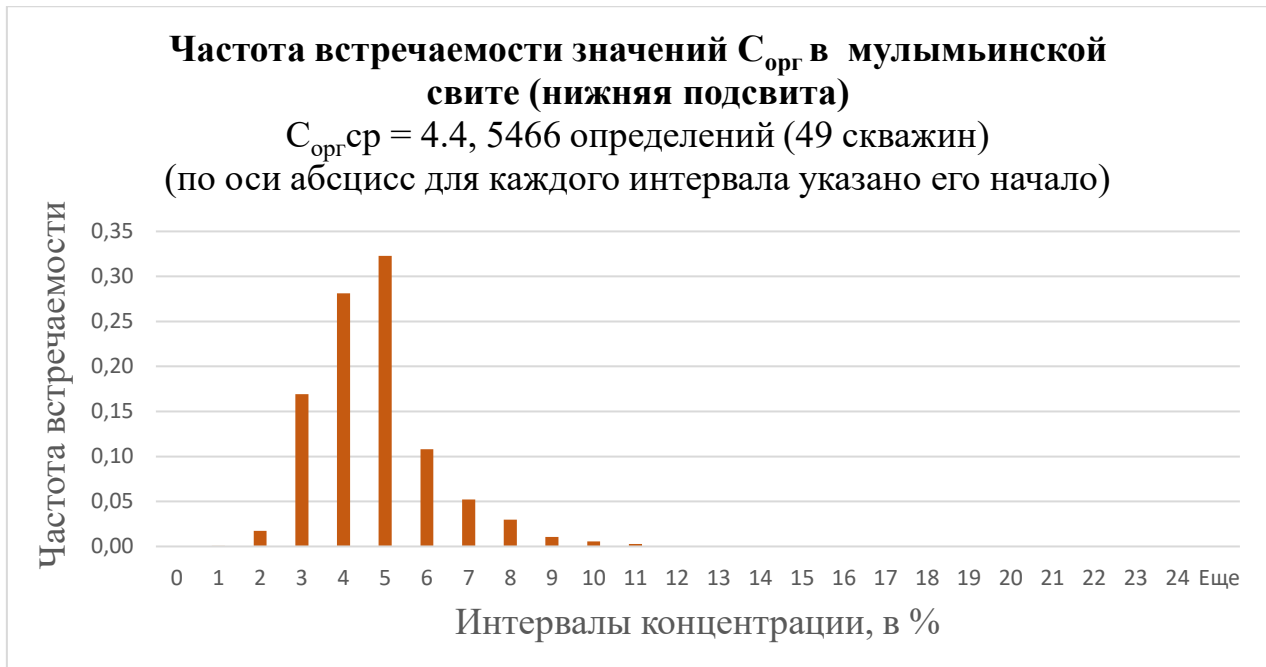


Рисунок 3.2 – Распределение концентраций  $C_{opr}$  в баженовской свите

Для нижнетутлеймской подсвиты было выполнено 5198 определений по 63 скважинам, среднее значение – 6.1 %, модальное значение – 6 % (Рисунок 3.3).

Аналогичные оценки были выполнены для других свит баженовского горизонта (Рисунок 3.4, Рисунок 3.5, Рисунок 3.6, Рисунок 3.7, Рисунок 3.8, Рисунок 3.9, Рисунок 3.10).

Для нижней подсвиты мулымъинской свиты было выполнено 5466 определений по 49 скважинам, среднее значение – 4.4 %, модальное значение – 5 % (Рисунок 3.4).

Рисунок 3.3 – Распределение концентраций  $C_{\text{опр}}$  в нижнетутлеймской подсвитеРисунок 3.4 – Распределение концентраций  $C_{\text{опр}}$  в нижней подсвите мулымьинской свиты

Для марьяновской свиты было выполнено 3683 определений по 47 скважинам, среднее значение – 2.9 %, модальное значение – 3 % (Рисунок 3.5).

Для даниловской свиты (верхняя подсвита) было выполнено 2937 определений по 30 скважинам, среднее значение – 2.0 %, модальное значение – 3 % (Рисунок 3.6).

Для максимоярской свиты (верхняя часть) было выполнено 428 определений по 3 скважинам, среднее значение – 1.7 %, модальное значение – 2 % (Рисунок 3.7).



Рисунок 3.5 – Распределение концентраций  $C_{\text{опр}}$  в марьяновской свите (верхняя часть)

**Частота встречаемости значений  $C_{\text{опр}}$  в даниловской свите  
(верхняя подсвита)**  
 $C_{\text{опр}} \text{ср.} = 2.0, 2937$  определений (30 скважин)  
(по оси абсцисс для каждого интервала указано его начало)

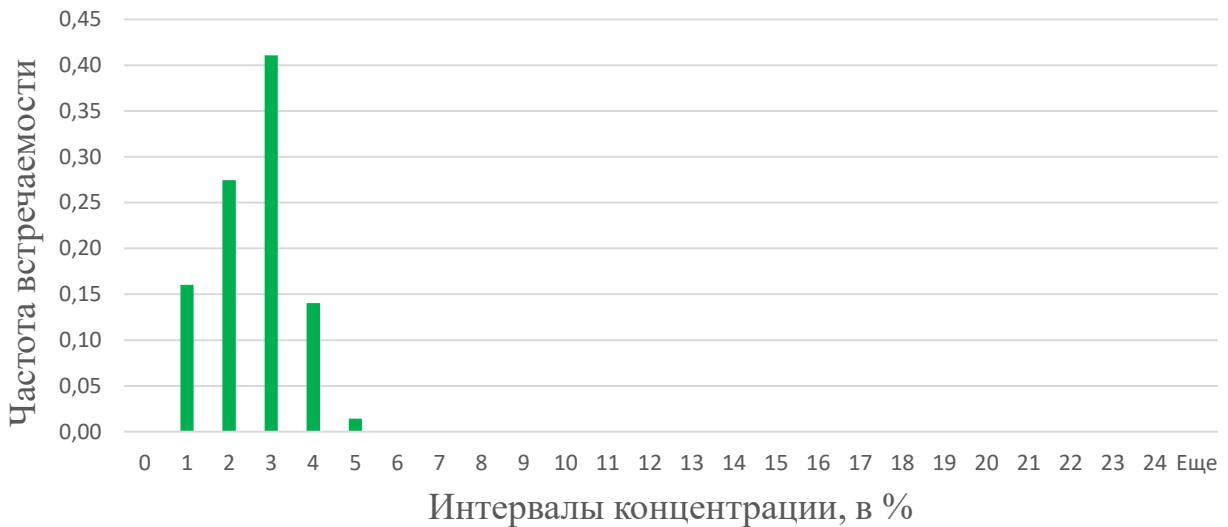


Рисунок 3.6 – Распределение концентраций  $C_{\text{опр}}$  в верхнеданиловской подсвите

**Частота встречаемости значений  $C_{\text{опр}}$  в максимоярской свите (верхняя часть)**

$C_{\text{опр}} \text{ср.} = 1.7, 428$  определений (3 скважины)  
(по оси абсцисс для каждого интервала указано его начало)



Рисунок 3.7 – Распределение концентраций  $C_{\text{опр}}$  в максимоярской свите (верхняя часть)

Для баганской свиты (верхняя часть) было выполнено 338 определений в 2 скважинах, среднее значение – 2.3 %, мода равна 1 % (Рисунок 3.8).



Рисунок 3.8 – Распределение концентраций  $C_{\text{орг}}$  в баганской свите (верхняя часть)

Для гольчихинской свиты было выполнено 133 определений в 15 скважинах, среднее значение – 2.4 %, мода равна 2 % (Рисунок 3.9).

Для яновстанской свиты было выполнено 187 определений в 19 скважинах, среднее значение – 1.5 %, мода равна 2 % (Рисунок 3.10).

Еще исследования 60-х-70-х годов прошлого века показали тенденцию роста концентраций органического углерода в породах от окраин бассейна седиментации волжского века к его центральной, наиболее глубокой части [Гураги и др., 1963; Конторович, 1967; Конторович и др., 1971, 1975]. Выполненные в рамках настоящей работы исследования подтвердили и детализировали на представительном материале выявленные ранее тенденции распределения  $C_{\text{орг}}$  в Западно-Сибирском осадочном бассейне.



Рисунок 3.9 – Распределение концентраций  $C_{\text{опр}}$  в гольчихинской свите (верхняя часть)

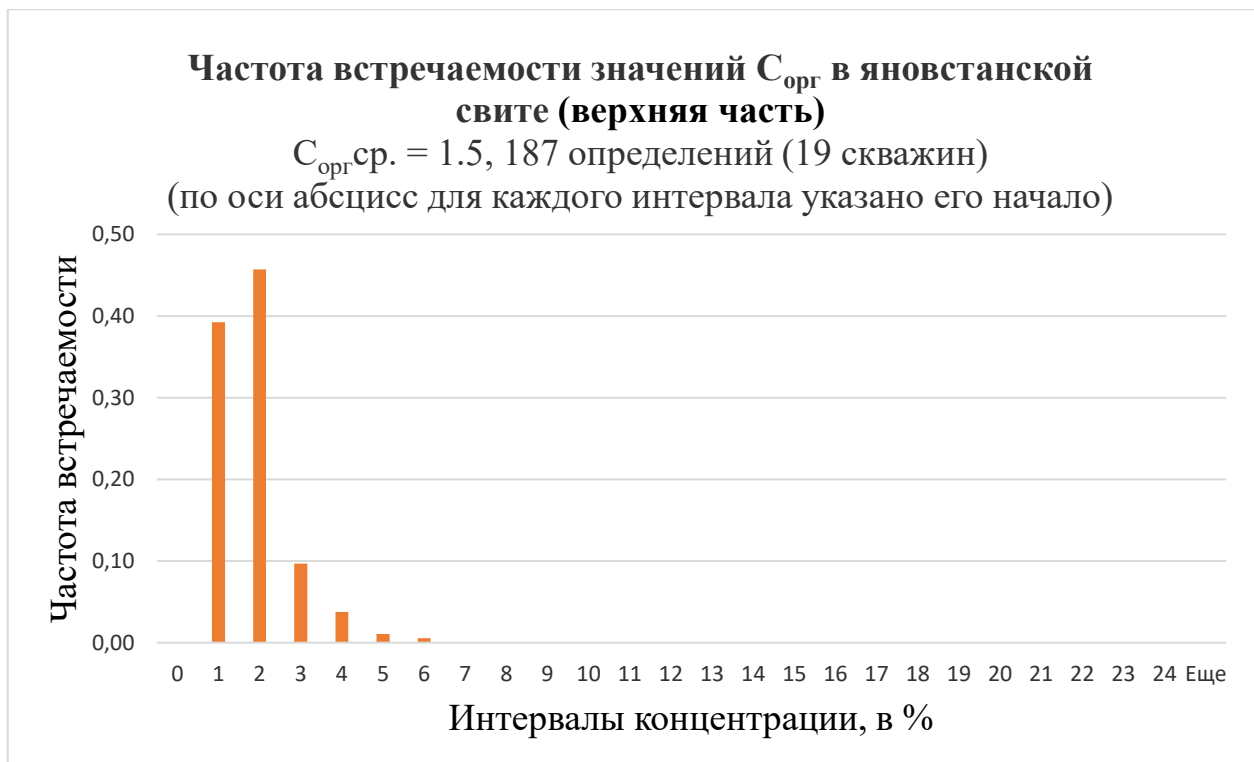


Рисунок 3.10 – Распределение концентраций  $C_{\text{опр}}$  в яновстанской свите (верхняя часть)

Данные, полученные при исследовании частоты встречаемости значений  $C_{\text{орг}}$  в отдельных свитах, приведены на карте фациально-стратиграфического районирования баженовского горизонта на рисунке 3.11. Как видно, средние значения  $C_{\text{орг}}$  по свитам изменяются от 1.5 % – по периферии бассейна – в яновстанской свите (верхняя часть), до 7.1 % – в центральной части осадочного бассейна – в баженовской свите.

В таблице 3.1 вышеперечисленные данные (средние, максимальные и модальные концентрации  $C_{\text{орг}}$  в породах) приведены в виде сводной таблицы для разных свит баженовского горизонта. Видно, что максимальные значения варьируют от 3 % – в максимоярской свите (верхняя часть), до 25 % – в баженовской и тутлеймской (нижняя подсвита) свитах. При этом модальные значения по свитам изменяются от 1 % – в баганской свите (верхняя часть) до 9 % – в баженовской свите.

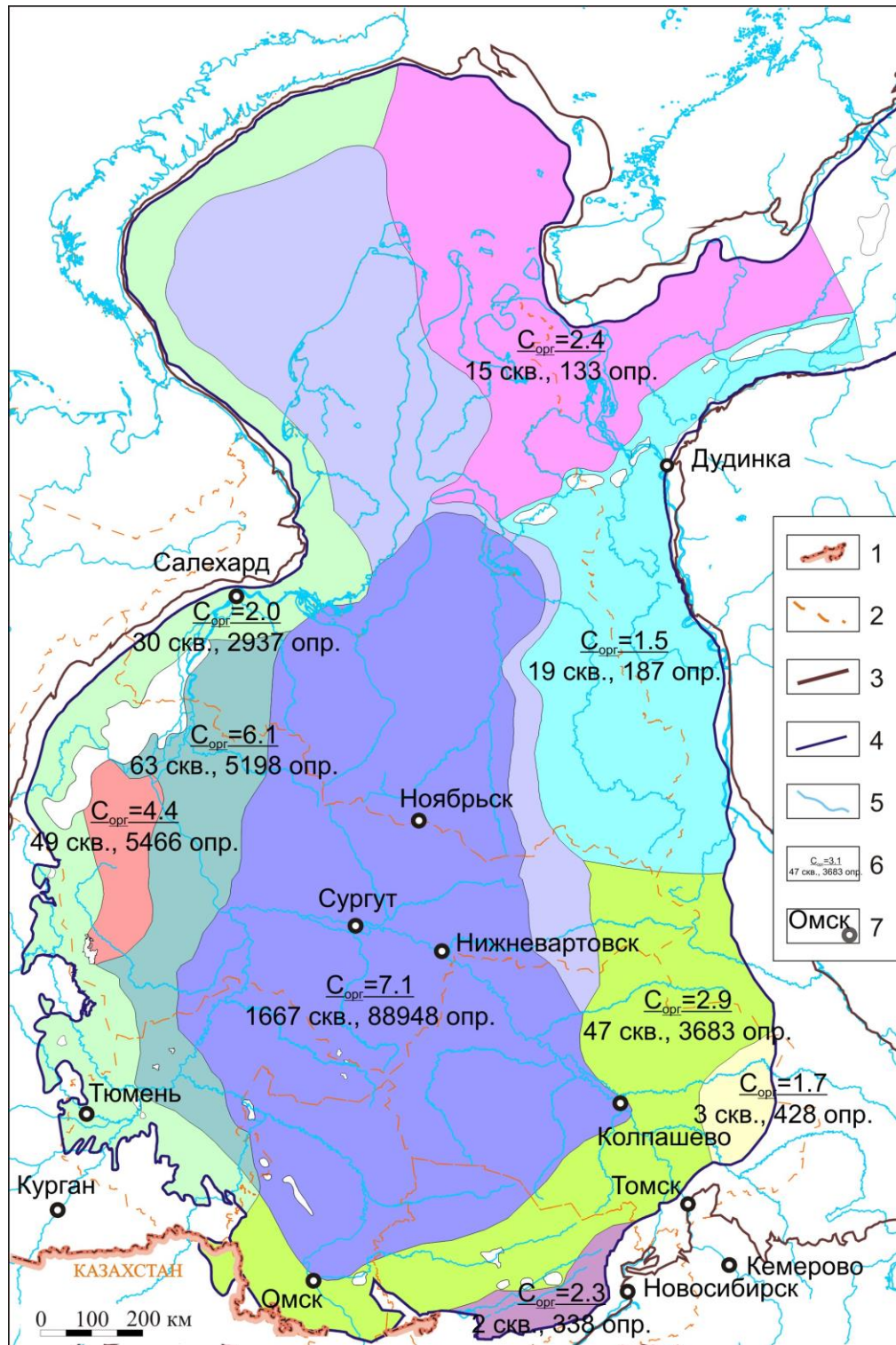


Рисунок 3.11 – Средние значения  $C_{\text{орг}}$  в свитах баженовского горизонта

Условные обозначения: 1–2 – границы: 1 – государственная; 2 – административная. 3 – площадного распространения отложений мезозоя; 4 – площадного распространения верхнеюрских отложений; 5 – гидросеть; 6 – средние концентрации  $C_{\text{орг}}$  в отдельных свитах по керну и ГИС (указано в числителе), количество скважин и определений – указано в знаменателе; 7 – населенные пункты.

Таблица 3.1 – Распределение современных средних, максимальных и модальных концентраций  $C_{opr}$  по свитам баженовского горизонта

№ п.п.	Свита	$C_{opr}$ среднее, %	$C_{opr}$ макс., %	$C_{opr}$ мода, %
1.	Баженовская	7.1	25.0	9.0
2.	Тутлеймская (нижняя подсвита)	6.1	25.0	6.0
3.	Мулымыинская (нижняя подсвита)	4.4	11.0	5.0
4.	Даниловская (верхняя подсвита)	2.0	5.0	3.0
5.	Гольчихинская (верхняя часть)	2.4	6.0	2.0
6.	Яновстанская (верхняя часть)	1.5	6.0	2.0
7.	Марьиновская (верхняя часть)	2.9	9.0	3.0
8.	Максимоярская (верхняя часть)	1.7	3.0	2.0
9.	Баганская (верхняя часть)	2.3	5.0	1.0

Если принять по Н.Б. Вассоевичу [Вассоевич, 1972] кларк  $C_{opr}$  в осадочных породах, равным 1 %, то 99 % пород баженовского горизонта имеют значения  $C_{opr}$  выше кларка (Таблица 3.2).

Таблица 3.2 – Современное содержание органического углерода в породах свит баженовского горизонта

Свита	Всего определений	Количество определений C <sub>орг</sub> меньше 1 %		Количество определений C <sub>орг</sub> от 1 % до 3 %		Количество определений C <sub>орг</sub> от 3 % до 5 %		Количество определений C <sub>орг</sub> от 5 % до 7 %		Количество определений C <sub>орг</sub> больше 7 %		Количество определений C <sub>орг</sub> спр.	C <sub>орг</sub> спр. %
		% определений C <sub>орг</sub>	Количество определений C <sub>орг</sub> от 1 % до 3 %	% определений C <sub>орг</sub> от 3 % до 5 %	Количество определений C <sub>орг</sub> от 5 % до 7 %	% определений C <sub>орг</sub> больше 7 %	Количество определений C <sub>орг</sub> спр.	% определений C <sub>орг</sub> спр.					
баженовская	88948	0	0	2164	2	9359	11	11644	13	65783	74	7.1	1667
тулаймская (ниж. подсв.)	5198	0	0	468	9	1087	21	1215	23	2427	47	6.1	63
мульминская (ниж. подсв.)	5466	0	0	98	2	2460	45	2355	43	552	10	4.4	49
даниловская (верх. подсв.)	2937	0	0	1277	43	1618	55	42	1	0	0	2.0	30
марьяновская (верхняя часть)	3683	0	0	649	18	2501	68	373	10	159	4	2.9	47
баганская (верхняя часть)	338	5	1	304	90	25	7	4	1	0	0	2.3	2
максимовская (верхняя часть)	428	0	0	352	82	76	18	0	0	0	0	1.7	3
гольчихинская (верхняя часть)	133	0	0	54	41	45	34	8	6	0	0	2.4	15
янновстанская (верхняя часть)	187	0	0	150	80	25	13	3	2	0	0	1.5	19
<b>Сумма:</b>	<b>107318</b>	<b>5</b>	<b>0</b>	<b>5516</b>	<b>5</b>	<b>17196</b>	<b>16</b>	<b>15644</b>	<b>15</b>	<b>68921</b>	<b>64</b>	<b>3.4</b>	<b>1895</b>

### 3.2 Пространственные закономерности распределения современных концентраций органического углерода в отдельных разрезах баженовского горизонта

Согласно результатам выполненных исследований по керну и ГИС, в центральной части Западно-Сибирского осадочного бассейна, где развиты баженовская и тутлеймская (нижняя подсвита) свиты, содержание органического углерода в породах меняется от 1-2 % до 25 % и выше. Наиболее часто встречающиеся современные концентрации  $C_{\text{орг}}$  в породах этих свит составляют от 6.0 % до 10.0 %, среднее по результатам 94146 (1730 скважин) анализов – 6.6 % (Рисунок 3.12).

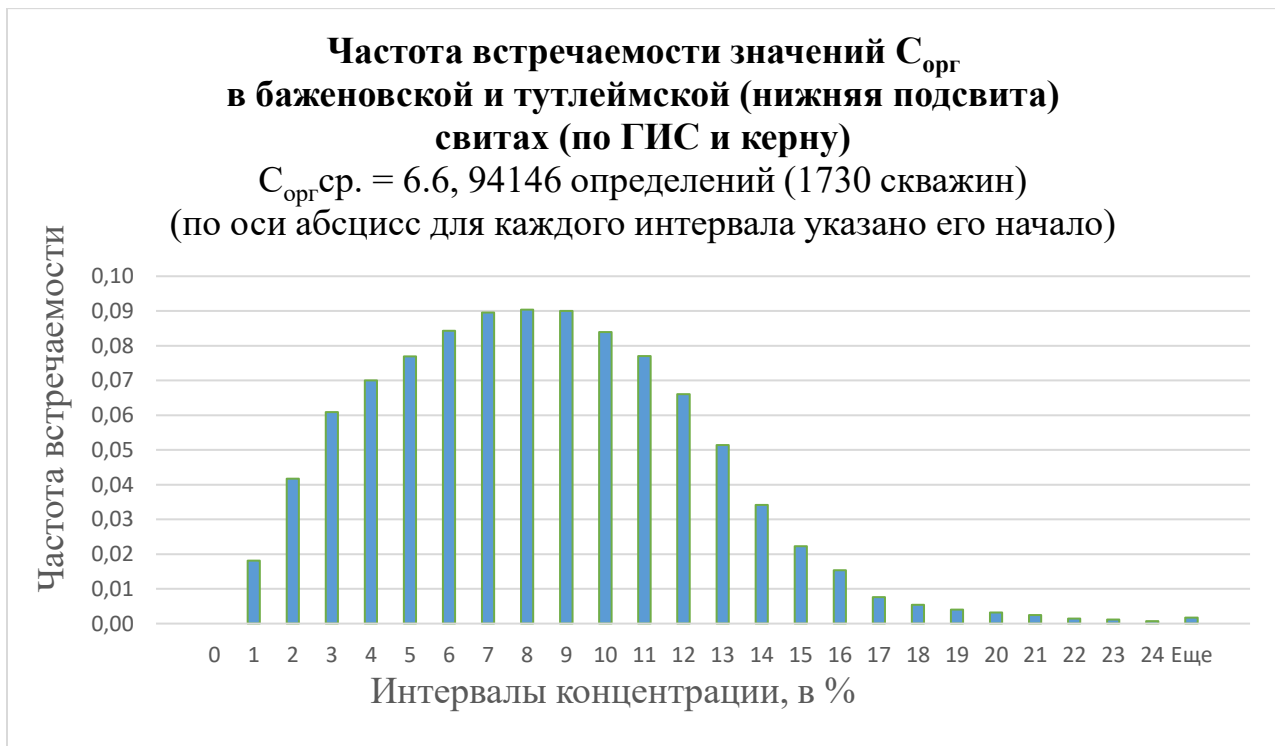


Рисунок 3.12 – Распределение концентраций  $C_{\text{орг}}$  в породах волжско-раннеберриасского возраста в центральных районах Западно-Сибирского осадочного бассейна

На западной, юго-западной, южной и юго-восточной периферии бассейна, где развиты даниловская (верхняя подсвита), мулыминская (нижняя подсвита), верхние части баганской, марьяновской и максимоярской свит, по данным керна и ГИС в 131 скважине концентрация  $C_{\text{орг}}$  меняется от долей процента до 10-11 %. В этой части бассейна обработка полученных данных (12852 анализов)  $C_{\text{орг}}$  в породах

дала среднее значение – 2.7 %. Наиболее часто встречающиеся концентрации органического углерода в породах волжско-раннеберриасского возраста на этой территории – 2-4 % (Рисунок 3.13).



Рисунок 3.13 – Распределение концентраций  $C_{\text{опр}}$  в породах волжско-раннеберриасского возраста в западных, юго-западных, южных и юго-восточных районах Западно-Сибирского осадочного бассейна

На восточной и северо-восточной периферии бассейна, где развиты гольчихинская и яновстанская (верхние части) свиты, по данным керна из 34 скважин концентрации органического углерода меняются от долей процента до 5-6 %. Наиболее часто встречающиеся концентрации  $C_{\text{опр}}$  в породах этих свит составляют 1-3 %, среднее по результатам 320 анализов – 2.0 % (Рисунок 3.14).

Используя выбранную методику, учитывающую аналитические определения  $C_{\text{опр}}$  и данные, полученные с помощью зависимости «керн – ГИС», была построена карта современных средних концентраций органического углерода в породах баженовского горизонта на территории Западной Сибири (Рисунок 3.15).



Рисунок 3.14 – Распределение концентраций  $C_{\text{орг}}$  в породах волжско-раннеберриасского возраста в восточных и северо-восточных районах Западно-Сибирского осадочного бассейна

Была принята следующая методика картопостроения. На первом этапе были сформированы базы данных по соответствующим целевым характеристикам (толщины, содержания органического углерода по данным керна и ГИС) в формате Microsoft Excel (с применением программы Geosolver). При построении предварительных вариантов карт из баз исключались данные с «уроганными» значениями, существенно уклоняющимися от значений в ближайшей окрестности. В итоговые базы вошли данные по разрезам скважин с аналитическими определениями по керну, а также по ГИС, в т.ч. 1023 скважины центральных и южных районов Западной Сибири.

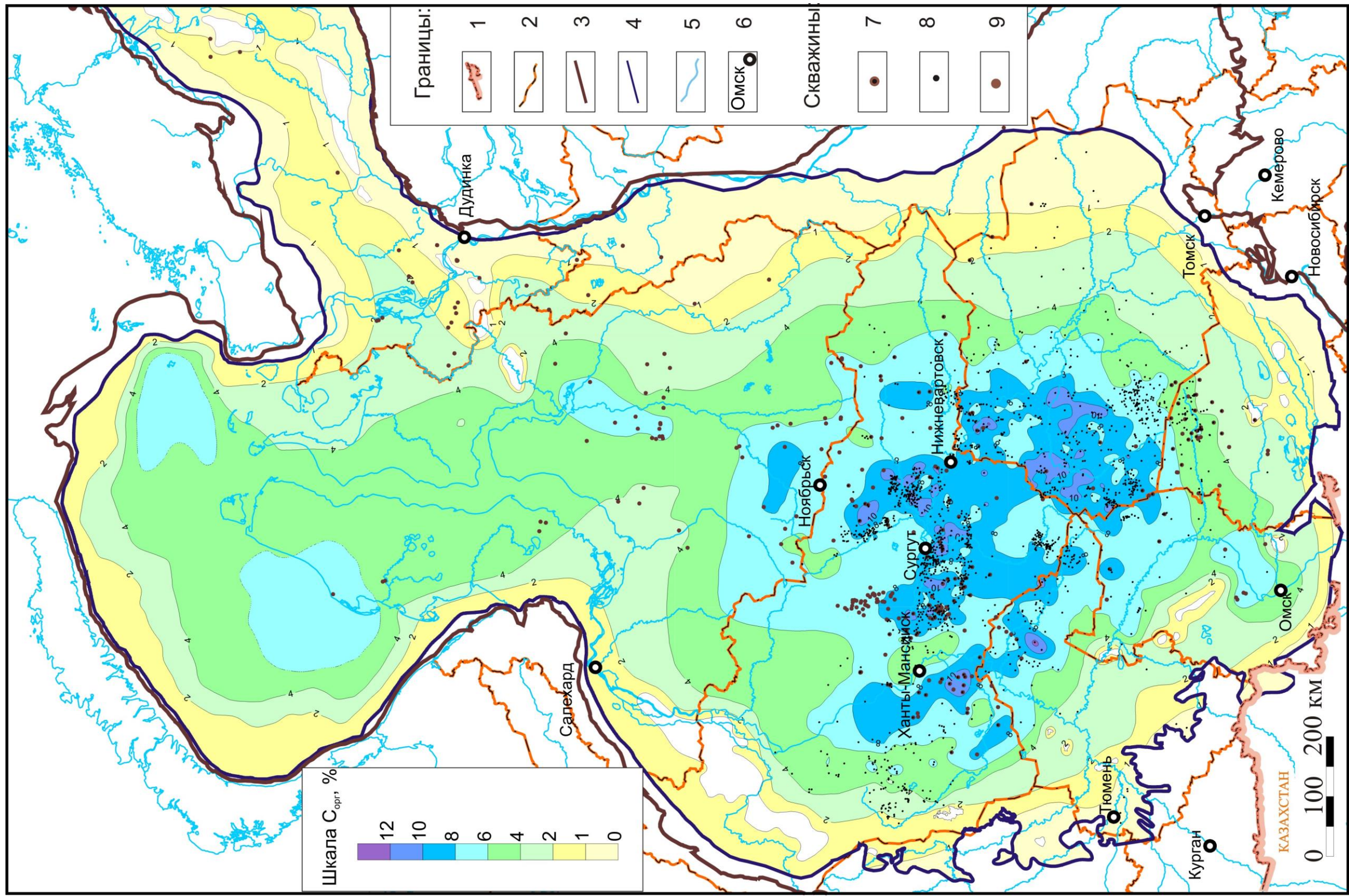


Рисунок 3.15 – Карта средних концентраций органического углерода в породах баженовского горизонта на территории Западной Сибири, в %

Условные обозначения: 1–2 – границы: 1 – государственная; 2 – административная; 3 – площадного распространения осадочного чехла Западно-Сибирской геосинеклизы; 4 – площадного распространения отложений баженовского горизонта. 5 – гидросеть; 6 – населенные пункты. 7–9 – скважины: 7 – с коррекцией по результатам аналитических определений; 8 – с данными ГИС, определения  $C_{\text{орг}}$  в разрезе выполнены по эталонным зависимостям «керн – ГИС»; 9 – с коррекцией по результатам аналитических определений  $C_{\text{орг}}$  отсутствуют, определения  $C_{\text{орг}}$  в разрезе выполнены по эталонным зависимостям «керн – ГИС»; 9 – с аналитическими определениями  $C_{\text{орг}}$ , данные ГИС отсутствуют.

Следует заметить, что исходные данные размещены по территории исследований достаточно неравномерно. В независимости от используемого метода интерполяции, это может приводить к недостаточно обоснованным результатам в зонах отсутствия фактических данных, например, на периферии бассейна. Для предотвращения этого эффекта в таких зонах эксперто, на основе общих тенденций пространственного изменения картируемого параметра, вводились дополнительные данные. Например, для учета тенденции к снижению содержаний органического углерода к периферии Западно-Сибирского бассейна за пределами границы распространения верхнеюрских отложений были введены дополнительные искусственные точки с содержаниями  $C_{\text{орг}}$  менее 1 %.

Каждой карте соответствует равномерная сеточная модель с шагом 1 км, построенная в проекции Гаусса-Крюгера (система координат Пулково 1942, 14 зона). Интерполяция исходных данных выполнялась методом «Kriging» в программе Surfer (разработка Golden Software, LLC). Дополнительная обработка (сглаживание, зональная и точечная коррекция) проводилась в программе GridMaster (разработка В.В. Лапковского, ИНГГ СО РАН). Для окончательного графического оформления карт использовалась программа CorelDRAW X4.

При построениях карт  $C_{\text{орг}}$  учитывалось, что устойчивые корреляционные связи между содержанием урана и органического углерода, имеют место при разбросе концентраций органического углерода от 4-5 % до 15-25 % и выше. В связи с этим в северной части и периферийных районах Западно-Сибирского осадочного бассейна, где концентрации  $C_{\text{орг}}$  редко достигают 5-6 %, применить зависимости «керн – ГИС» не удалось. Для этих территорий карты распределения содержаний  $C_{\text{орг}}$  в породах баженовского горизонта построены методом интерполяции по тренду аналитических данных.

На приведенной карте (Рисунок 3.15) показано, что средние концентрации органического углерода в породах возрастают от долей процента – по периферии бассейна, до 10-12 % – в его центральной части. Территории с содержанием  $C_{\text{орг}}$  в породах баженовского горизонта более 8 % находятся в пределах Мансийской синеклизы – в районе Тундринской и Юганской мегавпадин, Средне-Тобольского

наклонного мегапрогиба, юго-западного склона Нижневартовского свода и юго-западном борту Колтогорско-Нюрольского жёлоба. На отдельных участках концентрация  $C_{\text{опрг}}$  достигает 10 % и более: в Мансийской синеклизе – это в Тундринской мегавпадине, Северо-Гантельской и Южно-Гантельской впадинах; Нюрольской мегавпадине, а также на склонах некоторых сводов и антеклиз; в Хантейской гемиантеклизе – область между Сургутским и Нижневартовским сводами. На севере Западно-Сибирского бассейна кольцо концентраций органического углерода 6-8 % замыкается на территории Южно-Надымской мегамоноклизы.

Области с высокими (8-10 %) концентрациями органического углерода в породах баженовского горизонта концентрически окаймляются территориями, на которых концентрация органического углерода равна 6-8 % и, образуя еще две кольцеобразных полосы, 4-6 % и 2-4 %. В тектоническом плане кольца с концентрациями 2-6 % на западе занимают территорию погруженных склонов Красноленинской мегамоноклизы, на юго-западе – склоны Тюменской мегамоноклизы, на юге – северные склоны Каймысовского свода и Верхнедемьянского мегавала, на востоке – восточного склона Александровского свода и Усть-Тымской мегавпадины.

В распределении  $C_{\text{опрг}}$  в бассейне имеет место асимметрия. Во-первых, область максимальных концентраций  $C_{\text{опрг}}$  занимает центральную и южную части бассейна. В северной половине бассейна концентрации  $C_{\text{опрг}}$  даже в его осевой части составляют порядка 4-6 % и лишь для отдельных депрессий в южной части Карского моря предполагается, что они достигают 6-8 %. Помимо описанной асимметрии в направлении «юг – север» имеет место асимметрия в направлении «восток – запад». Область высоких концентраций  $C_{\text{опрг}}$  смешена от приенисейской части бассейна на запад, в его приуральскую часть.

Для понимания литологии, органической геохимии и процессов нефтегазообразования в баженовской свите важно знать концентрации в породах не только органического углерода, а и органического вещества. При известном содержании в составе керогена углерода (C), водорода (H), азота (N), серы (S) и

кислорода (O) (в % на горючую массу) можно рассчитать содержание в породе органического вещества (керогена) [Успенский, Инденбом и др., 1958; Конторович, Рогозина, 1967; Успенский, Неручев, Радченко и др., 1973; Конторович и др. 1975; Неручев и др., 1976; Богородская и др., 2005]. Такая информация была использована в настоящей работе. Совместная обработка этой информации позволила построить карту современных содержаний органического вещества (OB – керогена) в породах баженовской свиты [Конторович и др., 2018]. Она показана на рисунке 3.16. В общих чертах картина изменений содержаний OB, естественно, повторяет картину изменения содержаний  $C_{\text{опг}}$ .

В породах баженовского горизонта средние содержания органического вещества (керогена) равны в баженовской свите – 8.2 %, в нижней подсвите тутлеймской свиты – 6.9 %, в окраинных районах Западно-Сибирской бассейна в разных свитах средние содержания – 2.3-2.9 % (Таблица 3.3).

Как известно, органическое вещество в ходе катагенеза теряет значительную часть своей начальной массы в виде газообразных ( $\text{CH}_4$ - $\text{C}_4\text{H}_{10}$ ,  $\text{CO}_2$ ,  $\text{NH}_3$ ) и жидких ( $\text{H}_2\text{O}$ , нефть) соединений [Конторович, 1967, Конторович и др., 1971; Неручев, Рогозина, 2010; и др.]. Для палеоландшафтных реконструкций, для оценки начального генерационного потенциала нефтематеринских пород карта содержаний органического вещества в породах баженовской свиты к началу катагенеза необходима. Такая карта показана на рисунке 3.17. На карте видно, что к началу катагенеза концентрация органического вещества в литифицирующейся осадке достигала на юге бассейна в центральной, наиболее удаленной от границ бассейна его части 30-40 %. Хорошо известно, что в диагенезе при накоплении осадков баженовской свиты и ее аналогов имели место восстановительная обстановка и биохимическая редукция сульфат-иона и окислов серы, а также новообразование пирита, элементной серы и сероорганических соединений, в том числе осернение и частичное окисление формирующегося протокерогена [Конторович, 1967; Конторович и др., 1971; 1974; 1975 и др.]. При этом значительная часть органического вещества, в первую очередь, его белково-углеводные компоненты, подвергались окислению. Именно за счет этих процессов

в диагенезе начинал формироваться преимущественно полимерлипидный по составу и химической структуре кероген [Конторович, 1976; Конторович, 1967; 1974; 1985; Неручев, 1967; Неручев и др., 1976].

Таблица 3.3 – Средние содержания органического углерода и органического вещества в породах баженовского горизонта (верхняя волга – нижний берриас) Западно-Сибирского бассейна (площади и оценки – без акватории Карского моря)

Свита	Параметры				
	площадь, тыс. кв. км	средняя толщина, м	объем, тыс. куб. км	содержание С <sub>орг</sub> , средневзв., в % масс.	содержание ОВ, средневзв., в % масс.
баженовская	783.7	25.0	19.6	6.6	8.2
тутлеймская	151.6	23.3	3.5	5.5	6.9
мулымынская	41.0	23.9	1.0	4.4	5.6
даниловская	196.9	14.0	2.7	1.9	2.6
марьяновская	282.4	25.2	7.1	2.2	2.9
гольчихинская	238.8	84.5	20.2	1.8	2.3
яновстанская	294.3	72.4	21.3	1.7	2.3
максимоярская	26.8	22.9	0.6	0.7	0.9
баганская	27	6.5	0.2	1.0	1.4
<b>Для всей территории:</b>	<b>2042.5</b>	<b>37.3</b>	<b>76.2</b>	<b>3.2</b>	<b>4.1</b>

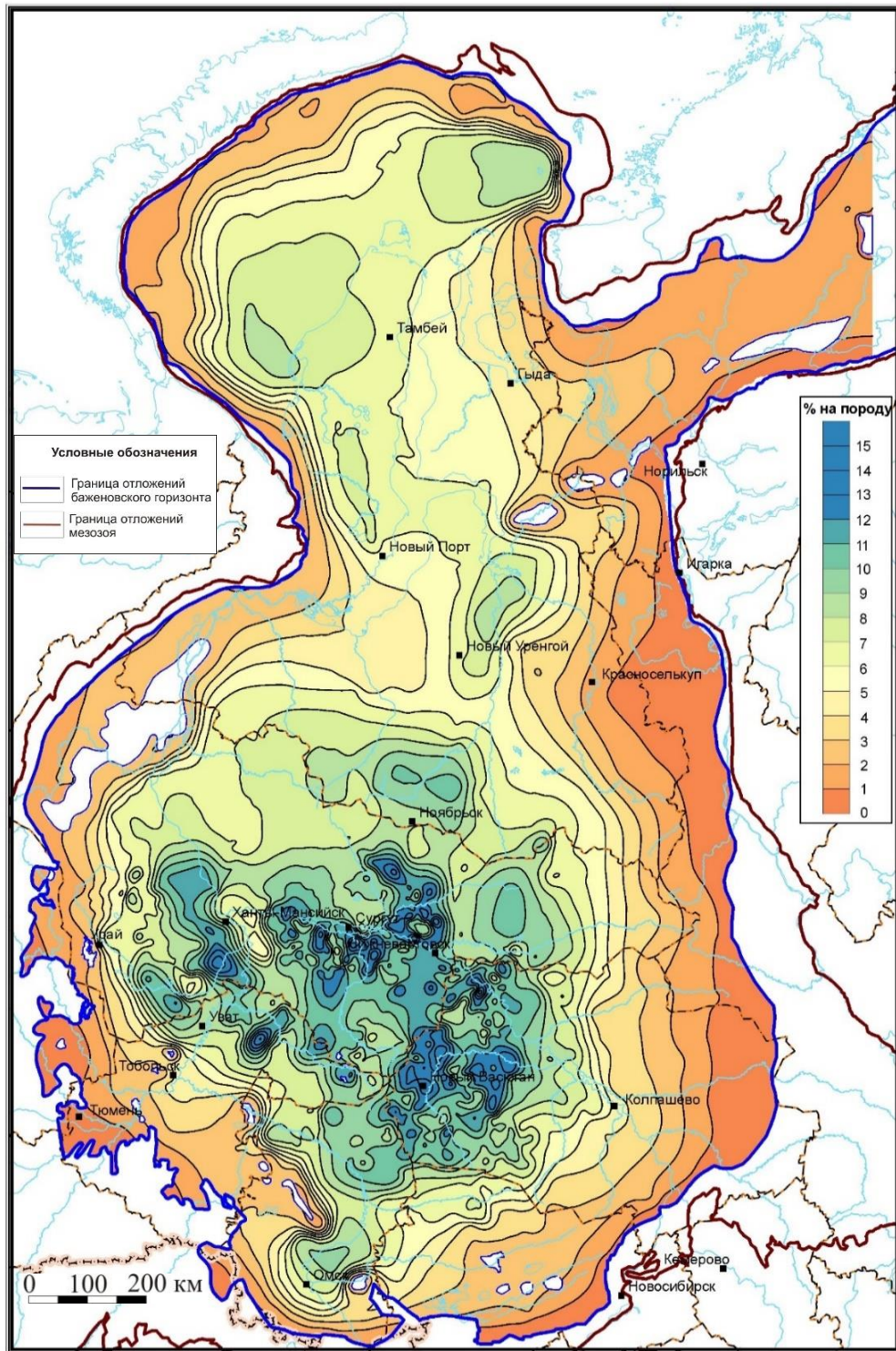


Рисунок 3.16 – Карта современных содержаний органического вещества в породах баженовского горизонта, в % на породу [Геологическая..., 2014-2016ф]

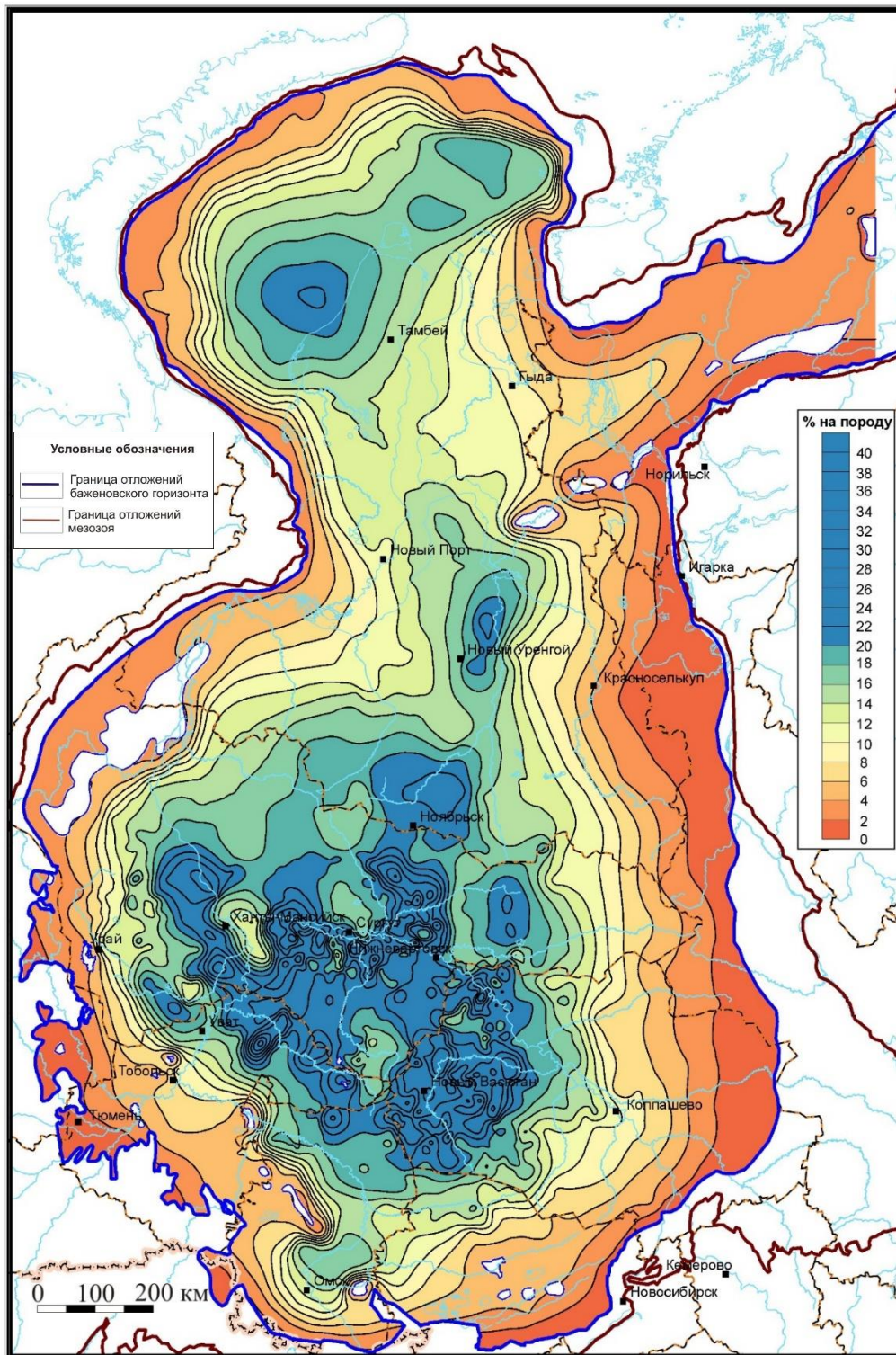


Рисунок 3.17 – Карта содержаний органического вещества на начало катагенеза в породах баженовского горизонта, в % на породу [Геологическая..., 2014-2016г]

### **3.3 Схематические численные модели пространственного распределения органического углерода в породах баженовского горизонта**

Выявленные распределения  $C_{\text{орг}}$  на площади Западно-Сибирского осадочного бассейна, тем не менее, не дают представления о концентрациях органического вещества в разрезе отложений. Для получения более объективной характеристики распределения органического углерода в баженовском горизонте были рассмотрены толщины пород с разными концентрациями  $C_{\text{орг}}$  и распределение  $C_{\text{орг}}$  в разных частях разреза. Для этого были построены карты толщин пород баженовского горизонта с содержанием  $C_{\text{орг}}$  менее 5 %, 5-7 %, 7-10 % и более 10 % (Рисунок 3.18, Рисунок 3.19, Рисунок 3.20, Рисунок 3.21).

Как видно на рисунке 3.10, повышенные (более 60 м) толщины пород баженовского горизонта с концентрацией  $C_{\text{орг}}$  менее 5 % (Рисунок 3.18) приурочены к восточной окраине Западно-Сибирского бассейна, что соответствует представлениям о действии маргинального фильтра в восточной части баженовского моря [Лисицын, 1994; Конторович и др., 2019]. Отложения с концентрацией  $C_{\text{орг}}$  в породах равной 5-7 % (Рисунок 3.19) развиты повсеместно в центральной части бассейна. Породы с концентрацией органического углерода более 7 % (Рисунок 3.20, Рисунок 3.21) сосредоточены в южной половине бассейна и наибольшие их толщины (до 15 м) находятся в центральных, западных и юго-западных районах. Повышенные (до 20 м) толщины пород с концентрацией  $C_{\text{орг}}$  более 10 % (Рисунок 3.21) приурочены, в основном, к центральным районам, со смещением на юго-запад.

В таблице 3.3 приведены средневзвешенные содержания  $C_{\text{орг}}$  в породах баженовского горизонта и отдельных свит, его образующих. Среднее содержание  $C_{\text{орг}}$  в породах баженовского горизонта 3.2 %. Более всего обогащены органическим углеродом породы баженовской свиты и нижнетулеймской подсвиты. В этих свитах средневзвешенные значения  $C_{\text{орг}}$  равны 6.6 % и 5.5 % соответственно.

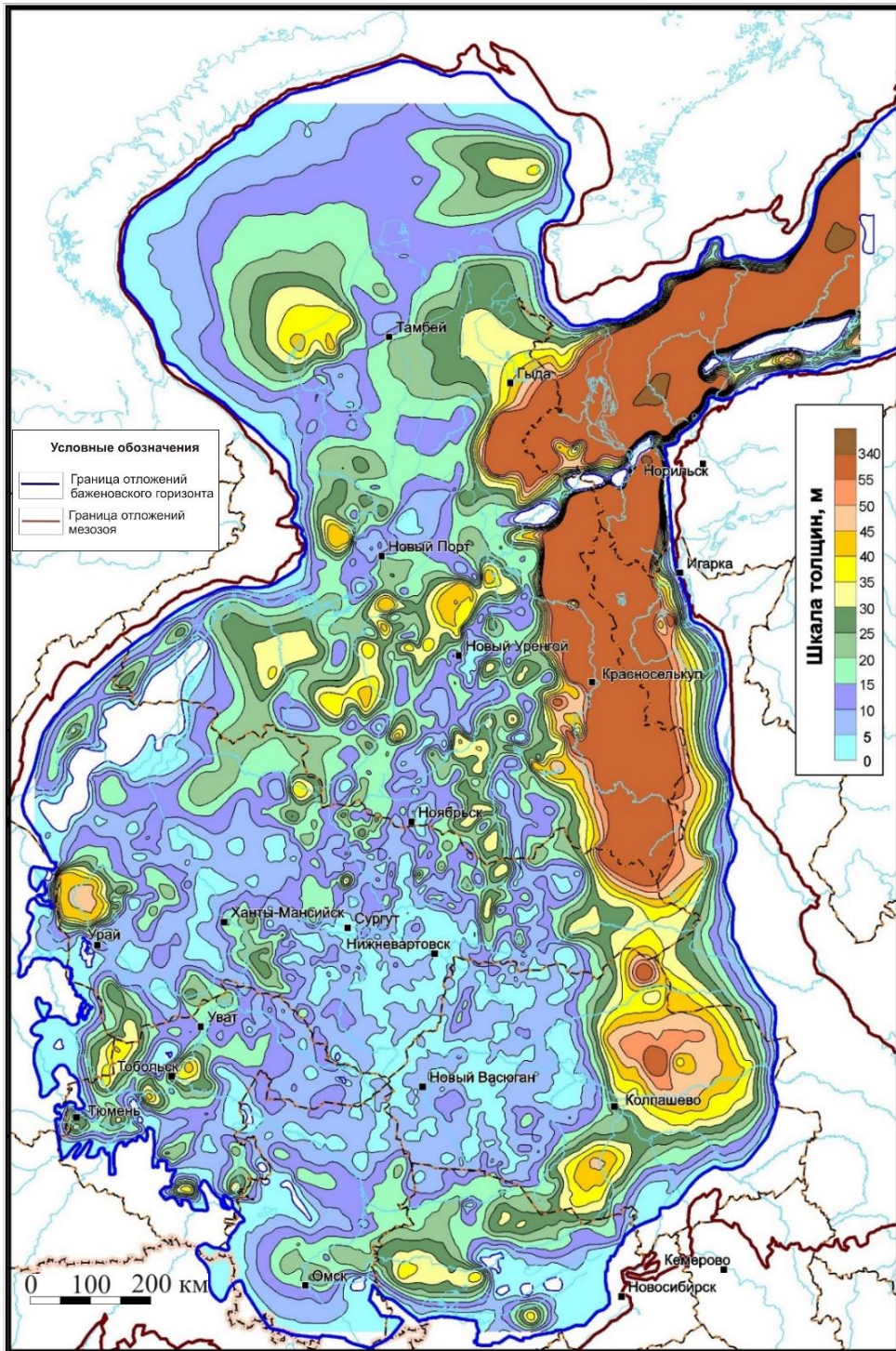


Рисунок 3.18 – Карта толщин пород баженовского горизонта с современным содержанием органического углерода менее 5 %

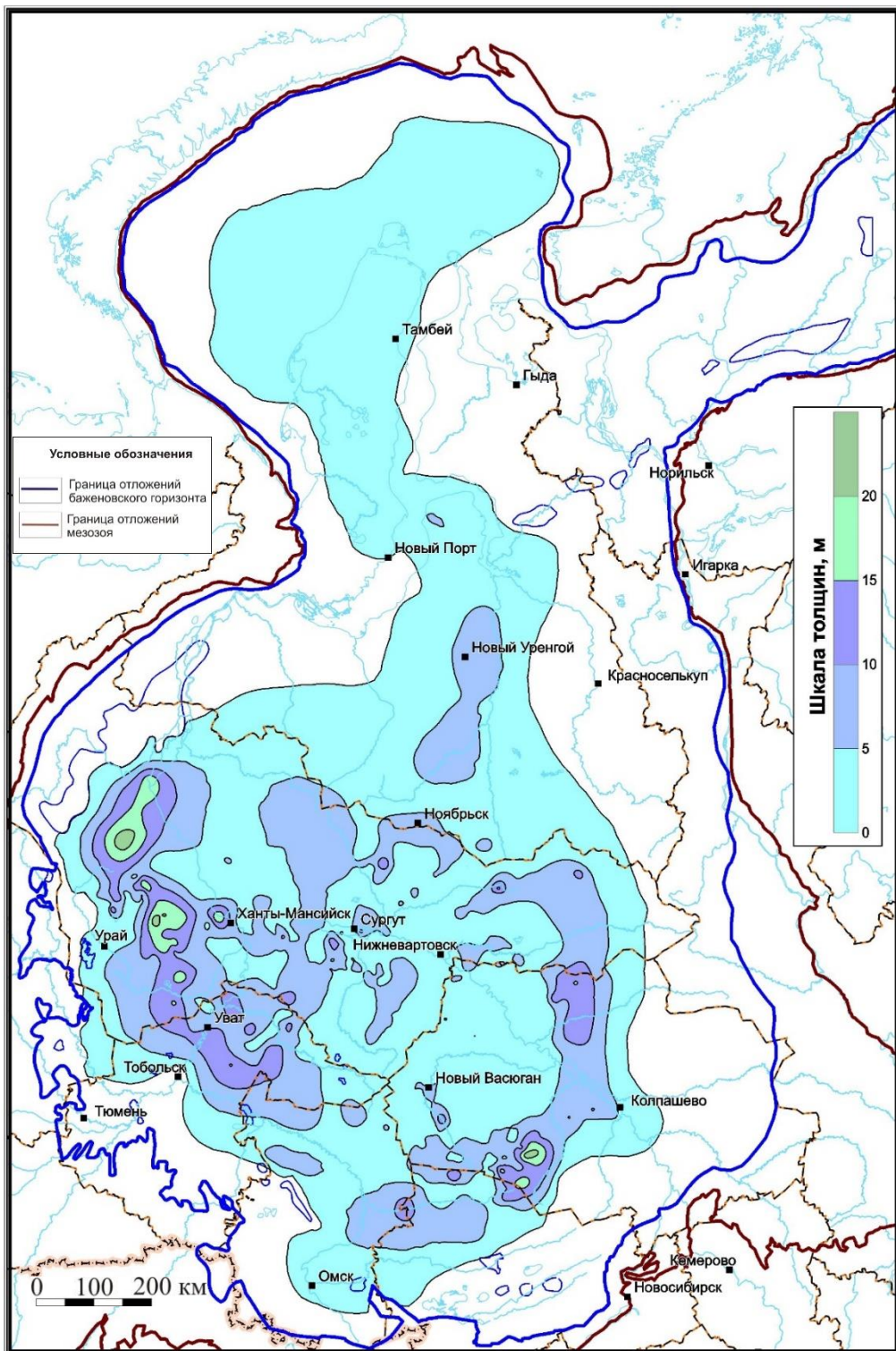


Рисунок 3.19 – Карта толщин пород баженовского горизонта с современным содержанием органического углерода 5-7 %

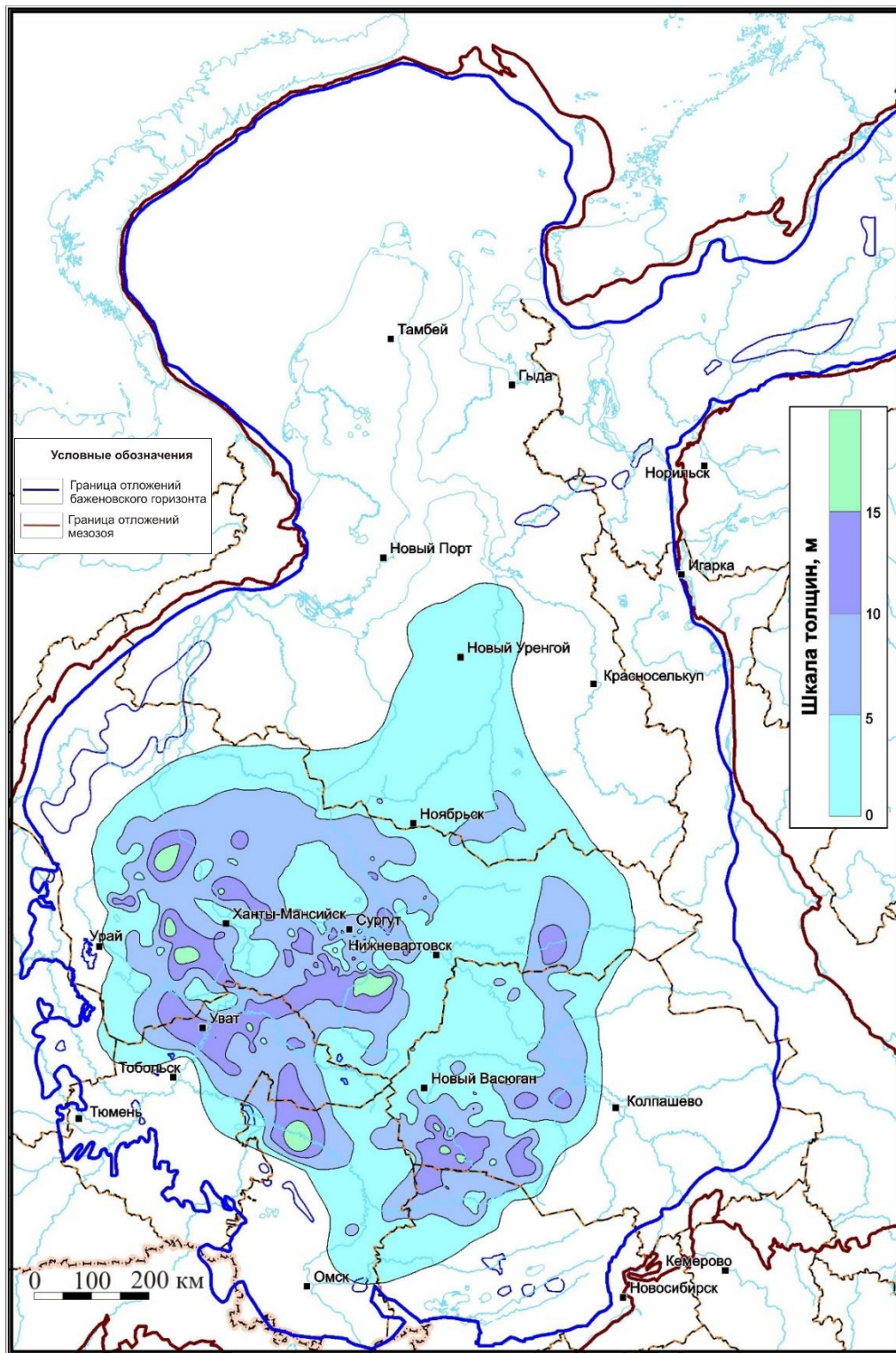


Рисунок 3.20 – Карта толщин пород баженовского горизонта с современным содержанием органического углерода 7-10 %

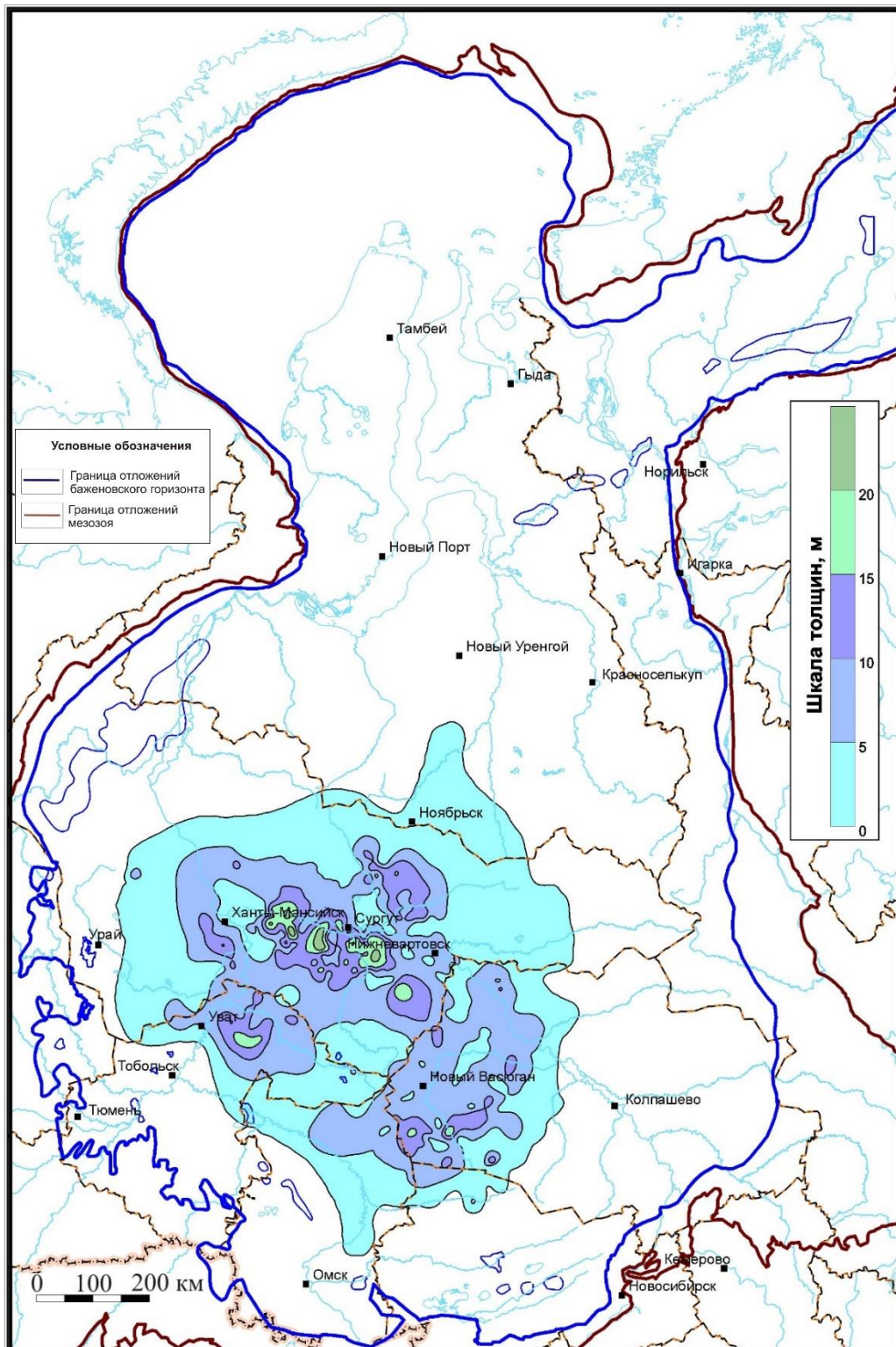


Рисунок 3.21 – Карта толщин пород баженовского горизонта с современным содержанием органического углерода более 10 %

Для того, чтобы понять, как изменяются концентрации  $C_{\text{опр}}$  в интервале баженовского горизонта по вертикали, разрезы баженовской и тутлеймской (нижняя подсвита) свит в каждой изученной скважине (1023 скважин) были условно разделены на три равные по толщине «пачки» (части). Для каждой «пачки» были посчитаны средневзвешенные концентрации  $C_{\text{опр}}$  в породах (Таблица 3.4) и построены карты средних концентраций  $C_{\text{опр}}$  для трёх условных уровней (Рисунок 3.22, Рисунок 3.23, Рисунок 3.24). Выше уже было отмечено, что зависимости «керн – ГИС» можно использовать только для наиболее богатых органическим углеродом центральных и южных районов Западно-Сибирского бассейна. По этой причине карты  $C_{\text{опр}}$  в породах в разных частях разреза баженовского горизонта построены только для этих территорий.

Согласно полученным картам (Рисунок 3.22, Рисунок 3.23, Рисунок 3.24) и данным изменения средних содержаний органического углерода по разрезу (Таблица 3.4), наиболее высокие концентрации  $C_{\text{опр}}$  находятся в средней «пачке» баженовского горизонта – до 16 %. В верхней «пачке» значения  $C_{\text{опр}}$  в породах достигают 12 %, а в нижней – не превышают 10 %. По мнению автора, неравномерное распределение  $C_{\text{опр}}$  в разрезе связано с изменением обстановок осадконакопления, в частности, изменением содержаний урана в водной толще волжского бассейна [Пономарева, 2018].

Таким образом, в работе по данным керна и ГИС в 1895 скважинах были оценены средние содержания органического углерода в породах баженовского горизонта и отдельных свит в его составе, построена карта средних концентраций органического углерода в породах горизонта, созданы численные модели пространственного распределения концентраций  $C_{\text{опр}}$  в баженовском горизонте. Было выявлено, что область максимальных содержаний  $C_{\text{опр}}$  распределена ассиметрично и смешена в юго-западную часть бассейна, оконтурены территории с концентрациями  $C_{\text{опр}} < 5 \%$ ,  $5-7 \%$ ,  $7-10 \%$ ,  $>10 \%$ , и показано, что более всего в разрезе обогащены органическим углеродом средняя и верхняя «пачки» баженовского горизонта.

Таблица 3.4 – Изменение средних содержаний органического углерода по разрезу в породах баженовской и тутлеймской свит (баженовский горизонт) в центральных и южных районах Западно-Сибирского бассейна

Свита	Площадь, тыс. кв. км	Средняя толщина, м	Объем, тыс. куб. км	Содержание С <sub>орг</sub> , средневзв., в % масс.		
				нижняя часть разреза	средняя часть разреза	верхняя часть разреза
баженовская	583.3	24.9	14.5	4.4	7.7	7.5
тутлеймская, нижняя подсвита	100.2	26.2	2.6	3.5	6.0	5.8
<b>Для всей территории:</b>	<b>683.5</b>	<b>25.0</b>	<b>17.1</b>	<b>4.3</b>	<b>7.4</b>	<b>7.2</b>

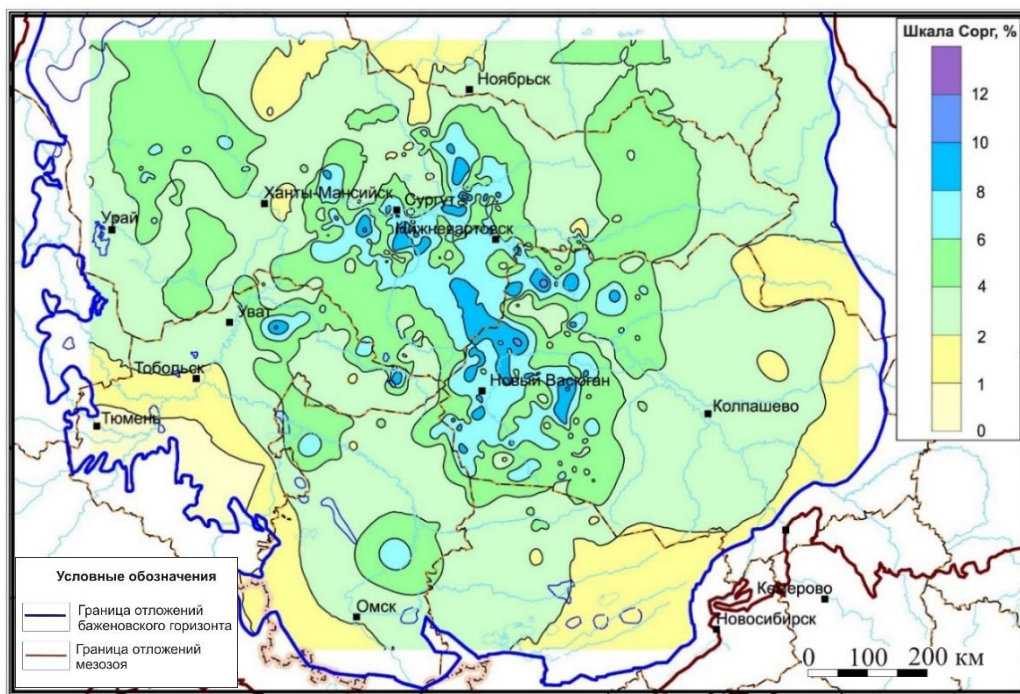


Рисунок 3.22 – Карта средних концентраций органического углерода в породах нижней части разреза баженовского горизонта центральных и южных районов Западно-Сибирского бассейна, в %

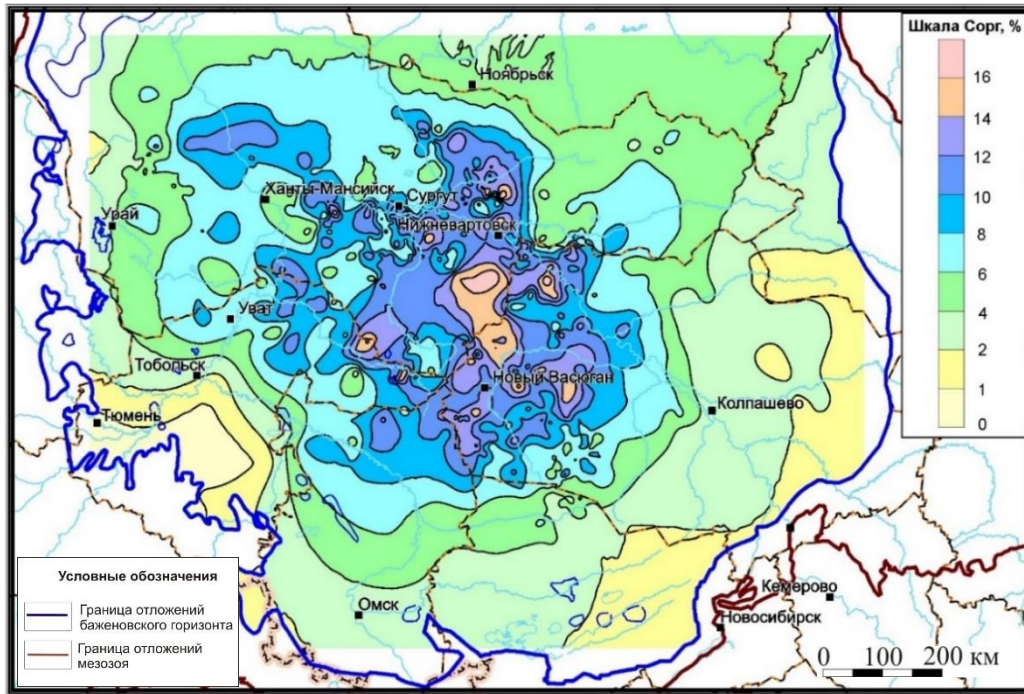


Рисунок 3.23 – Карта средних концентраций органического углерода в породах средней части разреза баженовского горизонта центральных и южных районов Западно-Сибирского бассейна, в %

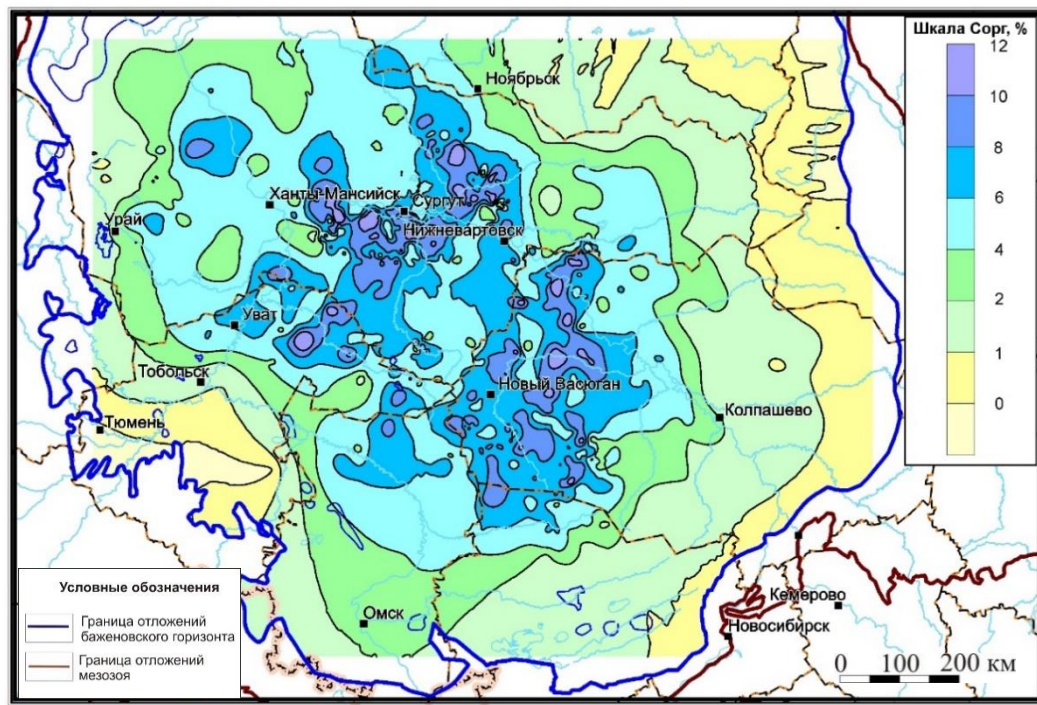


Рисунок 3.24 – Карта средних концентраций органического углерода в породах верхней части разреза баженовского горизонта центральных и южных районов Западно-Сибирского бассейна, в %

## ЗАКЛЮЧЕНИЕ

Осадочно-миграционная (биогенная) теория образования нефти и газа позволяет создать целостную, непротиворечивую схему количественной оценки перспектив нефтегазоносности, и изучение распределения органического углерода и органического вещества в породах является первым шагом такой оценки. Методика и результаты первого этапа работы были изложены в главах 2 и 3 настоящей работы. Главной её особенностью является избранный автором комплексный подход к решению этой задачи, который позволил использовать при определении содержания  $C_{\text{орг}}$  в образцах пород сочетание химического метода определения органического углерода, метода Rock-Eval и геофизического метода «керн – ГИС». Это, в свою очередь, обеспечило максимальную плотность наблюдений, как на площади развития баженовского горизонта, так и в интервале каждой скважины, охарактеризованной данными радиоактивного каротажа. При применении такой комплексной методики удалось получить максимально полную аналитическую информацию для построения карты распределения средних в каждой скважине значений  $C_{\text{орг}}$  и численных моделей пространственного распределения концентраций  $C_{\text{орг}}$  в баженовском горизонте. Ранее с такой детальностью подобные исследования баженовского горизонта, и насколько известно автору, других нефтепроизводящих горизонтов и свит ни в Западной Сибири, ни в других регионах не проводились. Полученные результаты крайне важны для понимания закономерностей накопления органического вещества в осадочных бассейнах.

Однако, только знания закономерностей распределения органического вещества в нефтепроизводящих породах для прогноза нефтегазоносности недостаточно. Для этого необходимо также детально изучить генетический тип органического вещества, особенности его диагенеза, уровень катагенетических преобразований, состав и распределение в породах битумоидов. Сам такой подход был разработан Н.Б. Вассоевичем, В.А. Успенским, А.А. Трофимуком, Д. Вельте, А.Э. Конторовичем, С.Г. Неручевым, Б. Тиссо, Т.К. Баженовой, Е.А. Рогозиной и

др. В Западной Сибири он в разные годы был реализован Н.М. Бабиной, Л.И. Богородской, Л.С. Борисовой, Л.М. Бурштейном, Ф.Г. Гураи, Г.Ф. Григорьевой, Н.П. Запиваловым, А.Э. Конторовичем, М.М. Колгановой, Н.С. Ким, Е.А. Костыревой, Л.Ф. Липницкой, В.Н. Меленевским, В.М. Мельниковой, В.И. Москвиным, И.И. Нестеровым, Г.М. Парпаровой, И.И. Плуманом, Е.А. Рогозиной, А.В. Рыльковым, Ф.К. Салмановым, П.А. Трушковым, А.Н. Фоминым, А.С. Фомичевым, К.А. Черниковым и др. На современном этапе исследования с использованием единого методического подхода задачу изучения распределения  $C_{\text{орг}}$  в породах баженовского горизонта полностью решала автор.

1. На основании 107318 определений  $C_{\text{орг}}$  (по керну и ГИС) в 1895 скважинах установлено, что современные концентрации  $C_{\text{орг}}$  в породах баженовского горизонта меняются от долей процента до 25 % и более, среднее содержание – 4.5 %, модальное значение – 3.0 %. Богаче всего органическим углеродом породы баженовской свиты и нижнетутлеймской подсвиты, в которых средние содержания  $C_{\text{орг}}$  равны 7.1 % и 6.1 %, соответственно. В остальных свитах распределение средних значений  $C_{\text{орг}}$  следующее: в нижней подсвите мулымынской свиты – 4.4 %; в марьяновской (верхняя часть) – 2.9 %; в гольчихинской (верхняя часть) – 2.4 %; в баганской (верхняя часть) – 2.3 %; в верхнеданиловской подсвите – 2.0 %; в максимоярской (верхняя часть) – 1.7 %; в яновстанской (верхняя часть) – 1.5 %.
2. В центральной части Западно-Сибирского бассейна, где развиты баженовская и тутлеймская (нижняя подсвита) свиты, содержание  $C_{\text{орг}}$  в породах меняется от 1-2 % до 25 % и выше. Наиболее часто встречающиеся значения органического углерода в породах этих свит составляют от 6.0 % до 10.0 %, среднее по результатам 94146 анализов – 6.6 %. На западной (южная половина), южной, юго-западной и юго-восточной периферии бассейна, где развиты мулымынская (нижняя подсвита), даниловская (верхняя подсвита), верхние части марьяновской, баганской и максимоярской свит, по результатам 12852 анализов среднее значение  $C_{\text{орг}}$  составляет 2.7 %. В этой

части бассейна концентрация  $C_{\text{орг}}$  меняется от долей процента до 10-11 %. На восточной периферии бассейна, где развиты гольчихинская и яновстанская свиты (верхние части) по результатам 320 анализов концентрация  $C_{\text{орг}}$  меняется от долей процента до 5-6 %. Наиболее часто встречающиеся значения органического углерода в породах этих свит от 1.0 % до 2.0 %.

3. В Западно-Сибирском осадочном бассейне наблюдается асимметричное распределение концентраций органического вещества в породах баженовского горизонта: максимальные концентрации  $C_{\text{орг}}$  смещены на юго-запад глубоководной части бассейна; наибольшие толщины (до 15-20 м) пород с концентрацией  $C_{\text{орг}}$  более 7.0 % находятся в южной половине бассейна – в центральных, западных и юго-западных районах; в разрезе баженовской и тутлеймской свит более всего обогащены органическим углеродом средняя и верхняя (условное разделение по толщине отложений) «пачки» горизонта.

Выявленные автором закономерности распределения концентраций  $C_{\text{орг}}$  в баженовском горизонте подтверждают и на представительном материале детализируют закономерности, описанные ранее в Западно-Сибирском нефтегазоносном бассейне.

Полученные материалы являются исходной базой для количественной оценки перспектив нефтеносности оксфордских (васюганский горизонт) и берриас-аптских отложений. По оценкам Л.М. Бурштейна и А.Э. Конторовича несколько большая масса баженовской нефти сосредоточена в открытом поровом пространстве самой баженовской свиты.

Перспективой дальнейшей разработки изученной автором темы должно быть уточнение закономерностей распределения концентраций органического углерода в северных и арктических, а также периферийных районах Западно-Сибирского осадочного бассейна.

## **СПИСОК СОКРАЩЕНИЙ**

- АК – акустический каротаж  
 БК – боковой каротаж  
 ГЗН – главная зона нефтеобразования  
 ГИС – геофизические исследования скважин  
 ГК-каротаж ( $\gamma$ -каротаж) – гамма-каротаж  
 ГФН – главная фаза нефтеобразования  
 ДК – диэлектрический каротаж  
 ЕР – естественная радиоактивность  
 ЗС – Западная Сибирь  
 ЗСБ – Западно-Сибирский бассейн  
 ЗСП – Западно-Сибирская плита  
 ИК – индукционный каротаж  
 ИК-детектор – инфракрасный детектор  
 КП – куполовидное поднятие  
 КС – каротаж кажущегося сопротивления  
 ЛП – локальное поднятие  
 МОВ – метод отраженных волн в сейсморазведке  
 МОГТ – метод общей глубинной точки в сейсморазведке  
 МСК – Межведомственный стратиграфический комитет  
 НГК – нейтронный гамма-каротаж  
 НГО – нефтегазоносная область  
 НГП – нефтегазоносная провинция  
 НГР – нефтегазоносный район  
 НОВ – дебитуминизированная, нерастворимая в хлороформе часть ОВ  
 ОВ – органическое вещество  
 ПЗ – переходная зона  
 ПИД – пламенно-ионизационный детектор  
 ПС – каротаж потенциалов самопроизвольной поляризации

РОВ – рассеянное органическое вещество

СФО – структурно-фациальная область

СФР – структурно-фациальный район

УВ – углеводороды

УЭС – удельное электрическое сопротивление

ФЕС – фильтрационно-емкостные свойства

А – зольность

$C^\Gamma$  – содержание углерода

$C_{\text{орг}}$  – органический углерод

$\text{CO}_2$  – углекислый газ

CPI – соотношение нечетных насыщенных УВ к четным

$H^\Gamma$  – содержание водорода

$\text{H}_2\text{S}$  – сероводород

$N_{\text{пр}}$  – показатель преломления мацералов ОВ

NDIR – недисперсионный инфракрасный датчик

$\text{NH}_3$  – аммиак

Q – теплотворная способность

$R_{vt}^0$  – отражательная способность витринита (коллинита)

$V^\Gamma$  – выход летучих веществ

$W^\Gamma$  – влажность

$\beta_{\text{хл}}$  – выход битумоидов (экстракция хлороформом)

$\rho$  – плотность

## СПИСОК ЛИТЕРАТУРЫ

1. Алексеев, А.Д. Литологические особенности строения нижнетулеймской подсвиты Фроловской НГО в связи с особенностями ее нефтеносности / А.Д. Алексеев, В.Д. Немова, В.Н. Колосков, С.С. Гаврилов // Геология нефти и газа. – 2009. – № 2. – С. 27-33.
2. Алескерова, З.Т. Геологическое строение и перспективы нефтегазоносности Западно-Сибирской низменности / З.Т. Алескерова, Г.С. Крицук, П.Ф. Ли, И.В. Литвиненко, Д.В. Осадчая, А.С. Остроумова, Т.И. Осыко, О.В. Равдоникас, Н.Н. Ростовцев, Т.Н. Симоненко, М.А. Толстихина, Б.Э. Хесин / под ред. Н.Н. Ростовцева. – М.: Госгеолтехиздат, 1958. // Труды ВСЕГЕИ – 391 с.
3. Аммосов, И.И. Стадии изменения углей и парагенетические отношения горючих ископаемых / И.И. Аммосов, Тян-сю-и. – М.: Изд-во АН СССР, 1961. – 119 с.
4. Амон, Э.О. Радиолярии в экосистеме баженовского моря (поздняя юра – начало раннего мела), Западная Сибирь / Э.О. Амон // Литология и геология горючих ископаемых: межвуз. науч. темат. сб. под ред. В.П. Алексеева. – 2011. – С. 145-170.
5. Аринушкина, Е.В. Руководство по химическому анализу почв / Е.В. Аринушкина. – М., Изд. МГУ, 1970. – 488 с.
6. Атлас «Геология и нефтегазоносность Ханты-Мансийского автономного округа». Ханты-Мансийск, Государственное предприятие Ханты-Мансийского автономного округа «Научно-аналитический центр рационального недропользования им. В.И. Шпильмана», 2004. – 149 с.
7. Атлас моллюсков и фораминифер морских отложений верхней юры и неокома Западно-Сибирской нефтегазоносной области. В 2-х томах. М.: Недра, 1990, Т. 1. – 286 с., Т. 2. – 359 с.
8. Атлас и объяснительная записка к атласу литолого-палеогеографических карт юрского и мелового периодов Западно-Сибирской равнины // Под ред. И.И. Нестерова. – 1:5000000. – Тюмень: Тр. ЗапСибНИГНИ, 1976. – 85 с.

9. Балушкина, Н.С. Закономерности строения баженовского горизонта и верхов абалакской свиты в связи с перспективами добычи нефти / Н.С. Балушкина, Г.А. Калмыков, Т.А. Кирюхина, Н.И. Коробов, Д.В. Корост, Е.В. Соболева, А.В. Ступакова, Н.П. Фадеева, Р.А. Хамидуллин, Т.А. Шарданова // Геология нефти и газа. – 2013. – № 3. – С. 48-61.
10. Белкина, С.Г. Предложения по изменению и уточнению корреляционной стратиграфической схемы мезозойских и кайнозойских отложений Западно-Сибирской низменности / С.Г. Белкина, В.С. Бочкарев, Г.К. Боярских, Ю.В. Брадучан, А.А. Булынникова, И.И. Ващенко, В.Г. Гоголева, И.Г. Зальцман, Ю.Ф. Захаров, Х.А. Иштириякова, Ю.Н. Карагодин, Н.Х. Кулахметов, В.И. Левина, В.А. Мартынов, И.И. Нестеров, М.Д. Поплавская, С.И. Пуртова, Е.Б. Раевская, А.Н. Резапов, Л.В. Ровнина, Н.Н. Ростовцев, М.Я. Рудкевич, Л.Я. Трушкова, П.Е. Харитонов, Г.С. Ясович // М.: Недра, 1965. Труды ЗапСибНИГНИ. – Вып. 1. – С. 3-26.
11. Богородская, Л.И. Химический состав рассеянного в осадочных породах органического вещества и пути его классификации / Л.И. Богородская, А.Э. Конторович // Седикахиты на разных этапах литогенеза. – М.: Наука, 1982. – С. 49-59.
12. Богородская, Л.И. Кероген: Методы изучения, геохимическая интерпретация / Л.И. Богородская, А.Э. Конторович, А.И. Ларичев. – Новосибирск: Изд-во СО РАН, филиал "Гео", 2005. – 254 с.
13. Борисова, Л.С. Комплекс химических и физических методов получения и исследования компонентов органического вещества пород и нафтидов: Методическое пособие / Борисова Л.С., Е.А. Фурсенко, Е.А. Костырева, И.Д. Тимошина. – Новосибирск: НГУ, 2011. – 86 с.
14. Бочкарев, В.С. Проблемы тектоники Западной Сибири / В.С. Бочкарев // Тектоника Западной Сибири. – Тюмень, 1987. – С. 5-29.
15. Бочкарев, В.С. Тектоника и магматизм синорогенных, эпиорогенных и дейтероорогенных рифтовых систем / В.С. Бочкарев // Тектоника, геодинамика

и процессы магматизма и метаморфизма. Материалы XXXII Тектонического совещания. – М.: ГЕОС, 1999. – Т. I., – С. 97-102.

16. Бочкарев, В.С. Вопросы тектоники Ямало-Гыданского региона и прилегающих территорий / В.С. Бочкарев, А.М. Брехунцов, Н.П. Дещеня, В.А. Ордин, Л.А. Насонова, П.В. Пенягин, Д.П. Куликов, О.Н. Хорошева, В.М. Безруков, Ю.В. Рослов // Горные ведомости. – 2014. – № 12 (19). – С. 42-63.

17. Боярских, Г.К. Тектоническая схема платформенного чехла Западно-Сибирской плиты / Г.К. Боярских, Ю.Н. Карагодин, Н.Н. Ростовцев и др. // М.: Недра, 1965. Труды ЗапСибНИГНИ. – Вып. 1. – С. 71-91.

18. Брадучан, Ю.В. Баженовский горизонт Западной Сибири (стратиграфия, палеогеография, экосистема, нефтеносность) / Ю.В. Брадучан, А.В. Гольберт, Ф.Г. Гурали, В.А. Захаров, С.П. Булынникова, И.Г. Климова, М.С. Месежников, Н.П. Вячкелева, Г.Э. Козлова, А.И. Лебедев, Т.И. Нальняева, А.С. Турбина – Новосибирск: Наука, 1986, – 217 с.

19. Брадучан, Ю.В. Даниловская свита / Ю.В. Брадучан, Г.С. Ясович // Тр. ЗапСибНИГНИ, 1984. – Вып. 188, – С. 31-39.

20. Булынникова, С.П. Фораминиферы нефтегазоносных отложений неокома Западно-Сибирской равнины / С.П. Булынникова – М.: Недра, 1973. – 129 с.

21. Булынникова, С.П. Палеобиофации нефтегазоносных волжских и неокомских отложений Западно-Сибирской плиты / С.П. Булынникова, А.В. Гольберт, И.Г. Климова, А.Э. Конторович, И.Д. Полякова, М.А. Решетникова, А.С. Турбина / Под ред. А.В. Гольберта, А.Э. Конторовича. Тр. СНИИГГиМС. – М.: Недра. 1978. Вып. 248. – 86 с.

22. Булынникова, А.А. Геологическое строение и перспективы нефтегазоносности приенисейской части Западно-Сибирской низменности / А.А. Булынникова, А.Н. Резапов, В.В. Пучкина, А.А. Стороженко – Новосибирск, Недра, 1968. – 216 с.

23. Варламов, И.П. Новейшая тектоника нефтегазоносных областей Сибири / И.П. Варламов, Р.О. Галабала, П.П. Генералов и др. / Под ред. Н.А. Флоренсова, И.П. Варламова – М.: Недра, 1981. – 239 с.

24. Вассоевич, Н.Б. Образование нефти в терригенных отложениях (на примере чокракско-караганских слоев Терского передового прогиба) / Н.Б. Вассоевич // Труды ВНИГРИ. – Л., 1958. – Вып. 128. – С. 9-220.
25. Вассоевич, Н.Б. Теория осадочно-миграционного происхождения нефти (исторический обзор и современное состояние) / Н.Б. Вассоевич // Известия академии наук СССР, серия геологическая. – 1967. – № 11. – С. 135-156.
26. Вассоевич, Н.Б. Происхождение нефти газа и формирование их месторождений / Н.Б. Вассоевич. – М.: Недра, 1972. – С. 39-70.
27. Вебер, В.В. Условия битуминозности баженовской свиты / В.В. Вебер, Л.А. Коцеруба // Геология нефти и газа. 1979. – № 9. – С. 15-19.
28. Вышемирский, В.С. Геологические условия метаморфизма углей и нефтей / В.С. Вышемирский. – Саратов: Изд-во Саратовск. Ун-та, 1973. – 377 с.
29. Гавшин, В.М. Закономерности распределения микроэлементов в баженовской свите / В.М. Гавшин, В.А. Бобров // Доманикиты Сибири и их роль в нефтегазоносности. – Новосибирск: изд. СНИИГГиМС, 1982. – С.76-91.
30. Генерация углеводородов в процессе литогенеза осадков / Отв. ред. А.А. Трофимук, С.Г. Неручев // Труды института геологии и геофизики. – Вып. 330. – 1976. – 200 с.
31. Геология и геохимия нефти и газа: Учебник / Под ред. Б.А. Соколова. О.К. Баженова, Ю.К. Бурлин, Б.А. Соколов, В.Е. Хайн. – М.: МГУ, 2000. – 384 с.
32. Геология и геохимия нефти и газа. Учебник / О. К. Баженова, Ю.К. Бурлин, Б.А. Соколов, В.Е. Хайн. – 2-е изд. –М.: Издат. центр «Академия», 2004. – 415 с.
33. Геология и нефтеносность Западно-Сибирской низменности / под ред. Д.В. Дробышева и В.П. Казаринова // Тр. ВНИГРИ. – Л.: Гостоптехиздат. – 1958. Вып. 114. – 274 с.
34. Серебренникова, О.В. Геохимические методы при поиске и разведке месторождений нефти и газа: Учебное пособие / О.В. Серебренникова. – Ханты-Мансийск: Редакционно-издательский центр ЮГУ, 2008. – 172 с.

35. Неручев, С.Г. Геохимические основы прогноза нефтегазоносности. Курс лекций для молодых специалистов / С.Г. Неручев, Е.А. Рогозина. – СПб.: ВНИГРИ, 2010. – 280 с.
36. Гончаров, И.В. Некоторые закономерности в составе асфальтенов и смол нефти Западной Сибири / И.В. Гончаров, Т.А. Бабичева, А.Н. Бодак и др. // Нефтехимия. – 1985. – Т. XXV. – № 3. – С. 333-343.
37. ГОСТ 23740-79 Грунты. Методы лабораторного определения содержания органических веществ. – М., Изд. стандартов, 1979. – 17 с.
38. Гураи, Ф.Г. Геология и перспективы нефтегазоносности Обь-Иртышского междуречья / Ф.Г. Гураи. – Л.: Гостоптехиздат, 1959. – 174 с.
39. Гураи, Ф.Г. Геология и нефтегазоносность Западно-Сибирской низменности – новой нефтяной базы СССР / Ф.Г. Гураи, В.П. Казаринов, Ю.К. Миронов, В.Д. Наливкин, И.И. Нестеров, Т.И. Осыко, Л.И. Ровнин, Н.Н. Ростовцев, М.Я. Рудкевич, Т.Н. Симоненко, В.Н. Соколов, А.А. Трофимук, Н.Г. Чочиа, Ю.Г. Эрвье. – Н.: Изд-во СО АН СССР, 1963. – 200 с.
40. Гураи, Ф.Г. Тектоника мезозойско-кайнозойского чехла Западно-Сибирской плиты / Ф.Г. Гураи, К.И. Микуленко, В.С. Старосельцев и др. – Новосибирск: СНИИГГиМС, 1971. – 149 с.
41. Гураи, Ф.Г. Формирование залежей нефти в аргиллитах баженовской свиты Западной Сибири / Ф.Г. Гураи, И.Ф. Гураи // Геология нефти и газа. – 1974. – № 5. – С. 36–40.
42. Гураи, Ф.Г. Доманикиты и их нефтегазоносность / Ф.Г. Гураи // Советская геология. – 1981. – № 11. – С. 3-12.
43. Гураи, Ф.Г. Условия формирования и методика поисков залежей нефти в аргиллитах баженовской свиты / Ф.Г. Гураи, Э.Я. Вайц, В.Н. Меленевский, В.И. Москвин, Г.Н. Перозио, Е.А. Предтеченская, Д.И. Рудницкая, О.Ф. Стасова, В.Х. Фролов, Л.А. Фролова. – М.: Недра, 1988. – 199 с.
44. Гурова, Т.И. О вещественном составе верхнеюрских отложений Западно-Сибирской низменности / Т.И. Гурова // Докл. АН СССР. – 1960. – Т. 134. – № 4. – С. 924-927.

45. Гурова, Т.И. Литология и палеогеография Западно-Сибирской низменности в связи с нефтегазоносностью / Т.И. Гурова, В.П. Казаринов. – М.: Гостоптехиздат, 1962. – 296 с.
46. Девятов, В.П. Палеогеография Сибири в юрском периоде на этапах основных перестроек / В.П. Девятов, Б.Л. Никитенко, Б.Н. Шурыгин // Новости палеонтологии и стратиграфии. – 2011, – Вып. 16-17: Приложение к журналу «Геология и геофизика». – Т. 52. – С. 87-101.
47. Добрецов, Н.Л. Основы тектоники и геодинамики: Учеб. Пособие / Н.Л. Добрецов. – Новосибирск: НГУ, 2011. – 492 с.
48. Добрецов, Н.Л. Глубинная геодинамика / Н.Л. Добрецов, А.Г. Кирдяшкин. – Новосибирск: Изд-во СО РАН, НИЦ ОИГМ СО РАН, 1994. – 229 с.
49. Добрынин, В.М. Проблемы коллектора нефти в битуминозных глинистых породах баженовской свиты / В.М. Добрынин // Изв. АН СССР, Сер. Геол. – 1982. – № 3. – С. 120-127.
50. Доманикиты Сибири и их роль в нефтегазоносности / Под ред. Ф.Г. Гуари. – Н.: 1982. – С. 138.
51. Дорофеева, Т.В. Особенности формирования коллекторских свойств баженовской свиты Салымского месторождения / Т.В. Дорофеева, Б.А. Лебедев, Т.В. Петрова // Геология нефти и газа. – 1979. – № 9. – С. 20-23.
52. Дорофеева, Т.В. Коллекторы нефти баженовской свиты Западной Сибири / Т.В. Дорофеева, С.Г. Краснов, Б.А. Лебедев, Г.В. Петрова, Б.В. Позиненко. – Л.: Недра, 1983. – 31 с.
53. Дучков, А.Д. Каталог данных по тепловому потоку Сибири (1966-1984) / А.Д. Дучков. – Новосибирск: изд. ИГи Г СО АН СССР, 1985. – 82 с.
54. Желтов, Ю.В. Обоснование особенностей строения и продуктивности / Ю.В. Желтов, Г.Е. Малофеев, Л.А. Толстов, А.Я. Хавкин, О.А. Московцев, В.И. Погонищев, А.С. Сибгатуллин // Геология нефти и газа. – 1984, – № 8. – С. 1-6.
55. Занин, Ю.Н. Корреляционные связи органического вещества с минеральными компонентами в баженовской свите / Ю.Н. Занин,

- А.Г. Замирайлова, В.Ю. Давыдов, В.Н. Меленевский // Геология нефти и газа. – 1997. – № 1. – С. 23-25.
56. Занин, Ю.Н. О двух вещественно-генетических типах черных сланцев баженовской свиты / Ю.Н. Занин, А.Г. Замирайлова, В.Н. Меленевский, В.Ю. Давыдов // Доклады академии наук. – 1999. – Т. 368, – № 1. – С. 91-94.
57. Западная Сибирь. Геология и полезные ископаемые России / В шести томах. Т. 2 / Под ред. А.Э. Конторовича, В.С. Суркова. – ВСЕГЕИ, 2000. – 477 с.
58. Зарипов, О.Г. Закономерности размещения коллекторов в глинистых отложениях баженовской свиты и ее возрастных аналогов в Западной Сибири / О.Г. Зарипов, И.И. Нестеров // Советская геология. – 1977. – № 3. – С.19-25.
59. Захаров, В.А. Биостратиграфия неокома Северного Приобья Западной Сибири / В.А. Захаров, В.А. Казаненков, Ю.И. Богомолов, Н.К. Лебедева, В.А. Маринов, Ю.Н. Карогодин, Е.Б. Пещевицкая // Геология и геофизика. – 1999. – Т. 40. – № 8. – С. 1135–1148.
60. Захаров, В.А. Условия формирования волжско-берриасской высокоуглеродистой баженовской свиты Западной Сибири по данным палеоэкологии / В.А. Захаров // Эволюция биосферы и биоразнообразия. К 70-летию А.Ю. Розанова. – М.: Т-во научных изданий КМК, 2006. – С. 552-568.
61. Зимин, Ю.Г. Основные черты гидрогеологии и геотермии осадочного чехла / Ю.Г. Зимин, А.Э. Конторович, Э.Э. Фотиади // в кн. Закономерности размещения и условия формирования залежей нефти и газа в мезозойских отложениях Западно-Сибирской низменности. – Труды СНИИГиМС. – 1972. – Вып. 131. Под ред. А.А. Трофимука, Э.Э. Фотиади, Ф.Г. Гураги. – М.: Недра. – С. 67-81.
62. Зубков, М.Ю. Геологические и литолого-geoхимические критерии промышленной нефтеносности отложений баженовской свиты Западной Сибири / М.Ю. Зубков, В.П. Сонич, О.Г. Зарипов // Сборник научн. тр. ИГиРГИ «Проблемы нефтеносности баженовской свиты Западной Сибири». – Москва. – 1986. – С. 5-14.

63. Зубков, М.Ю. Литолого-стратиграфическая характеристика отложений баженовской и абалакской свит центральной части Красноленинского свода / Зубков М.Ю., Мулявин К.М., Чуйко А.И. // Сборник научных трудов «Основные направления научно-исследовательских работ в нефтяной промышленности Западной Сибири». – Тюмень. – 1998. – С. 138-158.
64. Зубков, М.Ю. Литолого-петрофизическая характеристика отложений баженовской и абалакской свит центральной части Красноленинского свода / Зубков М.Ю. // Геология и геофизика. – 1999. – Т. 40. – № 12. – С. 1821-1836.
65. Изотова, Т.С. Методика и программы привязки глубины отбора керна к диаграммам каротажа / Т.С. Изотова, А.А. Сорока, А.О. Пуш. – Львов: УкрНИГРИ, 1981.
66. Ильин, Ю.М. Западная Сибирь. Палеогеографические схемы стратиграфических горизонтов юры / Ю.М. Ильин, В.В. Сапьяник, Л.Ф. Найденов и др. – Тюмень, 2005. ЗАО «Тюменский нефтяной центр», – 84 с.
67. Клубова, Т.Т. Диагенетические и эпигенетические минералы в меловых глинах из Омской опорной скважины / Т.Т. Клубова // Докл. АН СССР. – 1960. – Т. 134. – № 4. – С. 928-930.
68. Казаринов, В.П. Мезозойские и кайнозойские отложения Западной Сибири / В.П. Казаринов. – М.: Гостоптехиздат, 1958. – 324 с.
69. Калмыков, Г.А. Пустотное пространство пород баженовской свиты и насыщающие его флюиды / Г.А. Калмыков, Н.С. Балушкина, В.С. Белохин, С.И. Билибин, Т.Ф. Дьяконова, Т.Г. Исакова // Недропользование XXI век. – 2015. – № 1. – С. 64-71.
70. Кислухин, В.И. Литолого-фаунистическое районирование юрских и нижнемеловых отложений севера Западной Сибири / В.И. Кислухин // Нефтегазоносность отложений Северных районов Западной Сибири. Сборник научных трудов. – Тюмень: ЗапСибНИГНИ, 1986. – С. 13-31.
71. Колганова, М.М. Некоторые черты геохимии ванадия и никеля в осадочных породах и нефтях / Колганова М.М., Конторович А.Э. // Геология

- нефтегазоносных районов Западно-Сибирской низменности. – Труды СНИИГГиМС. Новосибирск, 1966. – Вып. 47. – С. 184-197.
72. Конторович, А.Э. Геохимия юрских и нижнемеловых отложений Западно-Сибирской низменности в связи с оценкой перспектив их нефтегазоносности: Автореф. Дис. ... канд. геол.-мин. наук: 04.00.17 / Конторович Алексей Эмильевич. – Новосибирск: СНИИГГиМС, 1964. – 20 с.
73. Конторович, А.Э. Геохимия верхнеюрских отложений Западно-Сибирской плиты / А.Э. Конторович // Литология и полезные ископаемые. – 1967. – № 3. – С. 90-102.
74. Конторович, А.Э. Метаморфизм органического вещества и некоторые вопросы нефтегазоносности (на примере мезозойских отложений Западно-Сибирской низменности) / А.Э. Конторович, Г.М. Парпарова, П.А. Трушков // Геология и геофизика. – 1967а. – №2. – С. 16-29.
75. Конторович, А.Э. Геотермическая характеристика мезозойских отложений Западно-Сибирского нефтегазоносного бассейна / А.Э. Конторович, Ю.Г. Зимин, Л.И. Швыдкова // Геология и геофизика. – 1967б. – № 5. – Переиздание. Конторович, А.Э. Геология нефти и газа. Том II. Новосибирск, 2008. – С. 328-335.
76. Конторович, А.Э. Масштабы образования углеводородных газов в мезозойских отложениях Западно-Сибирской низменности / А.Э. Конторович, Е.А. Рогозина // Геология и нефтегазоносность юго-востока Западно-Сибирской плиты. Труды СНИИГГиМС. Новосибирск, 1967. – Вып. 65.– С.13-25.
77. Конторович, А.Э. Некоторые особенности температурного поля в отложениях осадочного чехла Западно-Сибирской плиты / А.Э. Конторович, Ю.Г. Зимин // Материалы по тектонике нефтегазоносных областей Сибири. – Новосибирск: СНИИГГиМС, 1969. – Переиздание. Конторович, А.Э. Геология нефти и газа. Том II. Новосибирск, 2008. – С. 356-362.
78. Конторович, А.Э. Закономерности накопления органического вещества в древних осадочных толщах (на примере мезозойских отложений Сибири. / А.Э. Конторович, И.Д. Полякова, А.С. Фомичев // Литология и полезные

- ископаемые. – 1971. – № 6. – Переиздание. Конторович, А.Э. Геология нефти и газа. Том II. Новосибирск, 2008. С. 82-92.
79. Конторович, А.Э. Катагенез рассеянного органического вещества и нефтегазообразование / А.Э. Конторович, С.Г. Неручев // Проблемы нефтеносности Сибири. Новосибирск: Наука, 1971. – С. 51-69.
80. Конторович, А.Э. Условия накопления и преобразования органического вещества в осадочных толщах / А.Э. Конторович, П.А. Трушков, А.С. Фомичев // Закономерности размещения и условия формирования залежей нефти и газа в мезозойских отложениях Западно-Сибирской низменности. Труды СНИИГГиМС. – 1972а. – Вып. 131. – С. 201-227.
81. Конторович, А.Э. Первичная миграция углеводородов и диагностика нефтегазопroducingих толщ / А.Э. Конторович, Е.А. Рогозина, А.А. Трофимук // Закономерности размещения и условия формирования залежей нефти и газа в мезозойских отложениях Западно-Сибирской низменности. Труды СНИИГГиМС. – 1972б.– Вып. 131. – С. 227-260.
82. Конторович, А.Э. Рациональный комплекс современных методов анализа в органической геохимии / А.Э. Конторович // Современные методы анализа в органической геохимии. – Новосибирск: СНИИГГиМС, 1973. – Переиздание. Конторович, А.Э. Геология нефти и газа. Том II. Новосибирск, 2008. – С. 374-382.
83. Конторович, А.Э. Природный фактор, вызывающий преобразование ископаемого органического вещества / А.Э. Конторович, А.А. Трофимук, Н.В. Черский, В.С. Вышемирский, Э.М. Галимов, О.Л. Кузнецов, Ю.А. Пецюха, Т.И. Сороко, В.П. Царев, В.Г. Чахмачев // Геология и геофизика. – 1973. – № 9. – Переиздание. Конторович, А.Э. Геология нефти и газа. Том II. Новосибирск, 2008. – С. 121-125.
84. Конторович, А.Э. Анаэробные превращения органического вещества в древних морских осадках / А.Э. Конторович, Л.И. Богородская, В.М. Мельникова // Изв. АН СССР. Сер. Геол. – 1974. – № 9. – С. 112-123.

85. Конторович, А.Э. Геология нефти и газа Западной Сибири / А.Э. Конторович, И.И. Нестеров, Ф.К. Салманов, В.С. Сурков, А.А. Трофимук, Ю.Г. Эрвье. – М.: Недра, 1975. – 680 с.
86. Конторович А.Э. Геохимические методы количественного прогноза нефтегазоносности / А.Э. Конторович // Тр. СНИИГГиМС. М.: Недра, 1976. – Вып. 229. – 249 с.
87. Конторович А.Э. Распределение стабильных изотопов углерода в седиментах различной генетической природы / А.Э. Конторович Л.И. Богородская, С.И. Голышев // Геология и геофизика. – 1985. – № 7. – С. 3-11.
88. Конторович А.Э. Пиролиз как метод изучения нефтегазогенерационного потенциала материнских пород / А.Э. Конторович, В.Н. Меленевский, А.С. Фомичев, Г.Ю. Шведенков // Геология нефти и газа. – 1986. – № 12. – Переиздание. Конторович, А.Э. Геология нефти и газа. Том II. Новосибирск, 2008. – С. 398-403.
89. Конторович А.Э. Литология, органическая геохимия и условия формирования основных типов пород баженовской свиты (Западная Сибирь) А.Э. Конторович, В.Н. Меленевский, Ю.Н. Занин, А.Г. Замирайлова, В.А. Казаненков, В.В. Казарбин, Е.Н. Махнева, Л.С. Ямковая // Геология и геофизика. – 1998. – Т. 39. – № 11. – С. 1477-1491.
90. Конторович А.Э. Нефтематеринские формации Западной Сибири: старое и новое видение проблемы / А.Э. Конторович, В.П. Данилова, Е.А. Костырева, В.Н. Меленевский, В.И. Москвин, А.Н. Фомин, Е.Н. Махнева // Органическая геохимия нефтепроизводящих пород Западной Сибири. Новосибирск: Издательство СО РАН, НИЦ ОИГГМ. – 1999б. – С. 10-12.
91. Конторович А.Э. Твердые битумы баженовской свиты Западно-Сибирской плиты и главные особенности их геохимии / А.Э. Конторович, Занин Ю.Н., В.Н. Меленевский, А.Г. Замирайлова, А.Н. Фомин, Д.Ю. Давыдов // Геохимия. – 1999а. – № 8. – С. 888-896.

92. Конторович А.Э. Катагенез органического вещества в кровле и подошве юрского комплекса Западно-Сибирского мегаполиса / А.Э. Конторович, А.Н. Фомин, В.О. Красавчиков, А.В. Истомин // Геология и геофизика. – 2009. – Т. 50. – № 11. – С. 1191-1200.
93. Конторович А.Э. Палеогеография Западно-Сибирского осадочного бассейна в юрском периоде / А.Э. Конторович, В.А. Конторович, С.В. Рыжкова, Б.Н. Шурыгин, Л.Г. Вакуленко, Е.А. Гайдебурова, В.П. Данилова, В.А. Казаненков, Н.С. Ким, Е.А. Костырева, В.И. Москвин, П.А. Ян // Геология и геофизика. – 2013. – Т. 54. – № 8. – С. 972-1012.
94. Конторович, А.Э. Баженовская свита – главный источник ресурсов нетрадиционной нефти в России / А.Э. Конторович, Л.М. Бурштейн, В.А. Казаненков, В.А. Конторович, Е.А. Костырева, Е.В. Пономарева, С.В. Рыжкова, П.А. Ян // Электронный научный журнал. «Георесурсы. Геоэнергетика. Геополитика. – 2014. Выпуск 2(10) (зарегистрирован под номером 3599). – С. 1-8. / [http://oilgasjournal.ru/vol\\_10/kontorovich.html](http://oilgasjournal.ru/vol_10/kontorovich.html).
95. Конторович, А.Э. Классификация пород баженовской свиты / А.Э. Конторович, П.А. Ян, А.Г. Замирайлова, Е.А. Костырева, В.Г. Эдер // Геология и геофизика. – 2016. – Т. 57. – №11. – С. 2034-2043.
96. Конторович А.Э. Распределение органического вещества в породах баженовского горизонта / А.Э. Конторович, Е.В. Пономарева, Л.М. Бурштейн, В.Н. Глинских, Н.С. Ким, Е.А. Костырева, М.А. Павлова, А.П. Родченко, П.А. Ян // Геология и геофизика. – 2018. – Т. 59. – № 3. – С. 357-371.
97. Конторович, А.Э. Маргинальный фильтр волжско-раннеберриасского Западно-Сибирского морского бассейна и его влияние на распределение осадков / А.Э. Конторович, Л.М. Бурштейн, Б.Л. Никитенко, С.В. Рыжкова, Е.В. Борисов, С.В. Ершов, Е.А. Костырева, В.А. Конторович, А.Ю. Нехаев, Е.В. Пономарева, М.А. Фомин, П.А. Ян // Литология и полезные ископаемые. – 2019. – № 3. – С. 199-210.
98. Конторович, В.А. Тектоническое строение и история развития Западно-Сибирской геосинеклизы в мезозое и кайнозое / В.А. Конторович, С.Ю. Беляев,

А.Э. Конторович, В.О. Красавчиков, А.А. Конторович, О.И. Супруненко // Геология и геофизика. – 2001. – Т. 42. – № 11-12. – С. 1832-1845.

99. Конторович, В.А. Тектоника и нефтегазоносность мезозойско-кайнозойских отложений юго-восточных районов Западной Сибири / В.А. Конторович. – Новосибирск: Издательство СО РАН филиал «ГЕО», 2002. – 253 с.

100. Кругликов, Н.М. Гидрогеология Западно-Сибирского нефтегазоносного мегабассейна и особенности формирования залежей углеводородов / Н.М. Кругликов, В.В. Нелюбин, О.Н. Яковлев. Л.: Недра, – 1985. – 363 с.

101. Кузнецова, Г.П. Методические приемы привязки керна к геофизическим исследованиям / Г.П. Кузнецова // Территория «НЕФТЕГАЗ». – 2017. – № 1-2. – С. 20-26.

102. Кукушкина, Т.С. Районирование верхнеюрских осадочных образований по типам разрезов (Заполярные районы Западной-Сибири) Т.С. Кукушкина, В.И. Кислухин // Тезисы докладов VI научно-технической конференции молодых ученых и специалистов ЗапСибНИГНИ (23-24 марта 1983 г.). – Тюмень, 1983. – С. 20-21.

103. Куляпин, П.С. Прогноз коллекторов в разрезе баженовской свиты по материалам керна и геофизических исследований скважин / П.С. Куляпин, Т.Ф. Соколова // Известия Томского политехнического университета. – 2015. – Т. 326. – № 1. – С. 118-133.

104. Курчиков, А.Р. Геотермический режим углеводородных скоплений Западной Сибири / А.Р. Курчиков // Геология и геофизика. 2001. – Т. 42 (11-12). – с. 1846-1853.

105. Курчиков, А.Р. Гидрогеотермические критерии нефтегазоносности / А.Р. Курчиков. – М.: Недра, 1992. – 231 с.

106. Курчиков, А.Р. Геотермия нефтегазоносных областей Западной Сибири / А.Р. Курчиков, Б.П. Ставицкий. – М.: Изд. Недра, 1987. – 134 с.

107. Лебедев, Б.А. Вещественный состав и природа емкости глинисто-сапропелево-кремнистых нефтеносных отложений баженовской свиты (верхняя

- юра) Западной Сибири / Б.А. Лебедев, Т.В. Дорофеева, О.Г. Краснов, Г.В. Лебедева, Г.В. Петрова // Литология и полезные ископаемые. – 1979. – № 2. – С. 90-101.
108. Лисицын, А.П. Маргинальный фильтр океанов / А.П. Лисицын // Океанология. – 1994. – Т. 34. – №5. – С. 735-748.
109. Лопатин, Н.В. Пиролиз в нефтегазовой геохимии / Н.В. Лопатин, Т.П. Емец – М.: Наука, 1987. – 144 с.
110. Маринов, В.А. Биофациальный анализ верхнеюрских и нижнемеловых отложений центральных районов Западной Сибири / В.А. Маринов, С.В. Меледина, О.С. Дзюба, О.С. Урман, О.В. Язикова, В.А. Лучинина, А.Г. Замирайлова, А.Н. Фомин // Стратиграфия. Геол. корреляция. – 2006. – Т. 14. – № 4. – С. 81-96.
111. Маринов, В.А. Биостратиграфия верхней юры и нижнего мела центральной части Западной Сибири / В.А. Маринов, С.В. Меледина, О.С. Дзюба, О.С. Урман // Новости палеонтологии и стратиграфии. – Вып. 12. Геология и геофизика. Прил., 2009. – Т. 50. – С. 119–142.
112. Мегакомплексы и глубинная структура земной коры Западно-Сибирской плиты / Под ред. В.С. Сурков. – М.: Недра, 1986. – 149 с.
113. Меленевский, В.Н. Методические рекомендации по применению пиролитических методов моделирования в органической геохимии / В.Н. Меленевский. – Новосибирск: СНИИГГиМС, 1991. – 48 с.
114. Методические рекомендации по подсчету геологических запасов нефти и газа объемным методом / Под ред. В.И. Петерсилье, В.И. Пороскуна, Г.Г. Яценко. – Москва-Тверь: ВНИГНИ, НПЦ «Тверьгеофизика», 2003. – 258 с.
115. Васильев, В.В. Методы оценки качества нефтегазоматеринских пород: Учебное пособие / В.В. Васильев. – Ухта: УГТУ, – 2012. – 56 с.
116. Микуленко, К.И. Перспективы нефтегазоносности отложений баженовской свиты центральных и южных районов Западно-Сибирской плиты / К.И. Микуленко // Геология и нефтегазоносность Сибири. Труды СНИИГГиМС, 1974. – Вып. 194. – С. 37-41.

117. Немова, В.Д. Процессы формирования карбонатизированных коллекторов в глинисто-кремнистых отложениях баженовского горизонта на западе Широтного Приобья / В.Д. Немова, В.Н. Колосков, Б.Г. Покровский // Разведка и охрана недр. – 2011. – № 12. – С. 31-35.
118. Неручев, С.Г. Теоретические основы геохимических методов поисков нефтяных и газовых месторождений / С.Г. Неручев // Вопросы методики диагностики нефтепроизводящих свит. Материалы первой секции подсекции по нефти и газу Сибирской секции Межведомственного совета по проблеме «Научные основы геохимических методов поисков месторождений полезных ископаемых», 17-19 января 1972 г. Академия наук СССР. Новосибирск, 1973. – С. 64-84.
119. Неручев, С.Г. Эпохи интенсивного накопления планктона в истории Земли и их причины / С.Г. Неручев // Микрофитофоссилии протерозоя и раннего палеозоя. Л.: Наука, 1974. – С. 38-48.
120. Неручев, С.Г. Уран и жизнь в истории Земли / С.Г. Неручев. – Л.: Недра, 1982. – С. 208
121. Неручев, С.Г. Уран и жизнь в истории Земли / С.Г. Неручев. // 2-е изд., испр. и доп. – СПб.: ВНИГРИ, 2007. – 328 с.
122. Неручев, С.Г. О шкале катагенеза в связи с нефтегазообразованием / С.Г. Неручев, Н.Б. Вассоевич, Н.В. Лопатин // Горючие ископаемые. Проблемы геологии и геохимии нафтидов и битуминозных пород. – М.: Наука, 1976. – С. 47-62.
123. Нестеров, И.И. Новый тип коллектора нефти и газа / И.И. Нестеров // Геология нефти и газа. – 1979. – № 10. – С. 26-29.
124. Нестеров, И.И. Литолого-фацальная характеристика берриас-валанжинский седиментационно-сейсмических комплексов Среднего Приобья / И.И. Нестеров, В.Н. Высоцкий // Сейсморазведка для литологии и стратиграфии. Тюмень: ЗапСибНИГНИ, 1985. – С.41-54.

125. Нестеров, И.И. Нефтегазоносность глинистых пород Западной Сибири / И.И. Нестеров, И.Н. Ушатинский, А.Я. Малыхин, Б.П. Ставицкий, Б.Н. Пьянков // Мин-во геологии РСФСР. ЗапСибНИГНИ. – М.: Недра, 1987. – 256 с.
126. Нефтепроизводящие толщи и условия образования нефти в мезозойских отложениях Западно-Сибирской низменности / А.Э. Конторович, Н.М. Бабина, Л.И. Богородская, Б.Г. Винокур. – Л.: Недра, 1967. – 224 с.
127. Никонов, В.Ф. Аутигенное железо, сера, органический углерод и битумы в осадках мезозоя Восточного Приуралья / В.Ф. Никонов // ДАН. – 1959. – Т. 124. – № 2. – С. 392-394.
128. Новиков, Г.Р. Перспективы открытия крупных залежей нефти в трещиноватых аргиллитах баженовской свиты / Г.Р. Новиков, Ф.К. Салманов, А.В. Тян // Нефть и газ Тюмени. – 1970. – №7. – С. 1-3.
129. Объяснительная записка к атласу литолого-палеогеографических карт юрского и мелового периодов Западно-Сибирской равнины в масштабе 1 : 5000000 / Атлас литолого-палеогеографических карт юрского и мелового периодов Западно-Сибирской равнины в масштабе 1 : 5000000 / Алексеев Е.Я., Бочкин В.С., Брадучан Ю.В., Волков А.М., Горский А.Т., Зырянов Л.Н., Кулакметов Н.Х. (зам. ред.), Куликов П.К., Лебедев И.В., Нестеров И.И. (гл. ред.), Подсосова Л.Л., Потеряев А.Г., Прозорович Г.Э., Ростовцев Н.Н., Рудкевич М.Я., Рыльков А.В., Сидоренков А.И., Смирнов В.Г., Соболевский В.В., Соколовский А.П., Ставицкий Б.П., Стерлин Д.Я., Сторожев А.Д., Тихомиров Ю.П., Ушатинский И.Н., Федорцов В.К., Шпильман В.И., Шпильман К.А., Ясович Г.С. / Под ред. И.И. Нестерова. – ЗапСибНИГНИ, 1976. – 83 с.
130. Парпарова, Г.М. Углепетрографические методы в изучении осадочных пород и полезных ископаемых / Г.М. Парпарова, А.В. Жукова. – Л.: Недра, 1990. – 308 с.
131. Парфенова, Т.М. Использование гамма-каротажа для определения содержания органического вещества в высокоуглеродистых осадочных формациях (на примере баженовской свиты) / Т.М. Парфенова,

В.Н. Меленевский, В.И. Москвин. // Геология, геофизика и разработка нефтяных месторождений. – 1999. – № 11. – С. 29-34

132. Плуман, И.И. Ураноносность черных аргиллитов волжского яруса Западно-Сибирской плиты как критерий геохимических условий осадконакопления / И.И. Плуман // Геохимия. Издательство «Наука», 1971. – Т. 9. – С. 1138-1143.

133. Плуман, И.И. Распределение урана, тория и калия в отложениях Западно-Сибирской плиты / И.И. Плуман // Геохимия. – 1975. – № 5. – С. 756-767.

134. Плуман, И.И. Возможности использования данных по радиоактивности для решения некоторых задач нефтяной геологии в Западной Сибири / И.И. Плуман // Тр. ЗапСибНИГНИ. Тюмень, 1976. – Вып. 116. – С. 108-114.

135. Плуман, И.И. Условия образования битуминозных аргиллитов волжского яруса Западно-Сибирской нефтегазоносной провинции / И.И. Плуман, Н.П. Запивалов. – Изв. АН СССР. Сер. Геол. – 1977. – № 9. – С. 111-117.

136. Пономарева, Е.В. Распределение значений естественной гаммаактивности в породах баженовской свиты в центральных и южных районах Западно-Сибирского осадочного бассейна / Е.В. Пономарева // Интерэспро ГЕО-Сибирь-2018. XIV Междунар. науч. конгресс и выставка, 23-27 апреля 2018 г., Новосибирск: Междунар. науч. конф. «Недропользование. Горное дело. Направления и технологии поиска, разведки и разработки месторождений полезных ископаемых. Экономика. Геоэкология»: Сборник материалов в 6 т. – 2018. – Т. 1. – С. 128-135. <http://geosib.sugigit.ru/>

137. Прозорович, Г.Э. Новые данные о трещинных коллекторах баженовской свиты / Г.Э. Прозорович, А.П. Соколовский, А.Г. Малых // Проблемы нефти и газа Тюмени. Научно-технический сборник. Тюмень, 1973а. – Вып. 18. – С. 7-9.

138. Прозорович, Г.Э. Минеральные новообразования в нефтесодержащих глинах волжского яруса Салымского месторождения (Западная Сибирь) / Г.Э. Прозорович, А.П. Соколовский, А.Г. Малых // ДАН. – 1973б. – Т. 208. – № 4. – С. 945-947.

139. Решения и труды Межведомственного совещания по доработке и уточнению унифицированной и корреляционной стратиграфических схем Западно-Сибирской низменности Часть 1 // Тюмень. – 1969. – 143 с.
140. Решения V Межведомственного регионального стратиграфического совещания по мезозойским отложениям Западно-Сибирской равнины (Тюмень, 1990 г.) // Тюмень. – 1991. – 54 с.
141. Решение 6-го межведомственного стратиграфического совещания по рассмотрению и принятию уточненных стратиграфических схем мезозойских отложений Западной Сибири, Новосибирск, 2003 г. // СНИИГГиМС, ИГНГ СО РАН, Новосибирск, 2004. – 114.
142. Рожкова, К.Г. Катагенетическое преобразование рассеянного органического вещества в системах открытого и закрытого типа мезозойских отложений Западно-Сибирской плиты // Органическое вещество, процессы его превращения и генерации углеводородов в условиях свободного и затрудненного оттока флюидов / К.Г. Рожкова / Под ред. С.Г. Неручева и Г.М. Парпаратовой. – СПб.: Недра, 1993. – С. 41-52.
143. Ростовцев, Н.Н. Проект классификации структур платформенного чехла Западно-Сибирской низменности (в связи с нефтегазоносностью) / Н.Н. Ростовцев // Новосибирск. СНИИГГиМС, 1961. – 23 с.
144. Руководство по анализу битумов и рассеянного органического вещества горных пород (для лабораторий геологоразведочных организаций) / Под ред. В.А. Успенского, К.Ф. Родионовой, А.И. Горской, А.П. Шишковой. – Л., Недра, 1966, – 315 с.
145. Рыльков, А.В. Распределение органического вещества в битуминозных отложениях баженовского горизонта Западной Сибири в условиях компенсированного осадконакопления / А.В. Рыльков, Г.Ф. Григорьева // Сб. науч. тр. Под ред. И.И. Нестерова: Строение и нефтегазоносность баженитов Западной Сибири. Тюмень: ЗапСибНИГНИ. – 1985. – С. 73-80.
146. Рыжкова, С.В. Баженовский горизонт Западной Сибири: строение, корреляция и толщины / С.В. Рыжкова, Л.М. Бурштейн, С.В. Ершов,

В.А. Казаненков, А.Э. Конторович, В.А. Конторович, А.Ю. Нехаев,  
 Б.Л. Никитенко, М.А. Фомин, Б.Н. Шурыгин, А.Л. Бейзель, Е.В. Борисов,  
 О.В. Золотова, Л.М. Калинина, Е.В. Пономарева // Геология и геофизика. – 2018.  
 – Т. 59. – № 7. – С. 1053-1074.

147. Салымский нефтеносный район / Под ред. И.И. Нестерова, Г.Р. Новикова,  
 И.Н. Ушатинского и др. // Тюмень: Тр. ЗапСибНИГНИ. – 1970. – Вып. 41. – 314  
 с.

148. Сараев, С.В. Петрохимический метод в изучении минерального состава  
 пород баженовской свиты Западной Сибири / С.В. Сараев // Геология и  
 геофизика. – 1987. – № 10. – С. 33-38.

149. Сверчков, Г.П. Формирование нефтяных и газовых залежей в северо-  
 западной части Западно-Сибирской низменности / Г.П. Сверчков // Геология  
 нефти. – 1958. – № 6. – С. 8-14.

150. Славкин, В.С. Некоторые аспекты геологического строения и перспектив  
 нефтеносности баженовской свиты на западе Широтного Приобья /  
 В.С. Славкин, А.Д. Алексеев, В.Н. Колосков // Нефтяное хозяйство. – 2007. – №  
 8. – С. 100-104.

151. Степанов, В.П. Основные итоги и перспективы разработки баженовской  
 свиты Салымского месторождения / В.П. Степанов, М.Ю. Ахапкин,  
 В.П. Табаков, А.Г. Пасынков, В.В. Быков и др., // Геофизика. – 2007. – № 4. – С.  
 211-218.

152. Страхов, Н.М. К геохимии органического вещества: О связи рассеянных  
 битумов с петрографическими типами осадочных пород / Н.М. Страхов,  
 К.Ф. Родионова // Бюлл. МОИП. Отд. геол. – 1954. – Т. 29. – № 2. – С. 3-20.

153. Страхов, Н.М. Основы теории литогенеза. Том II. Закономерности  
 состава и размещения гумидных отложений / Н.М. Страхов. – М.: АН СССР,  
 1962. – 551 с.

154. Сурков, В.С. Фундамент и развитие платформенного чехла Западно-  
 Сибирской плиты / В.С. Сурков, О.Г. Жеро. – Москва: Недра, 1981. – 143 с.

155. Толстолыткин, В.П. Промыслово-геофизические исследования скважин / В.П. Толстолыткин, Б.Н. Зубарев // Нефтяное хозяйство. – 1984. – № 6. – С. 38-43.
156. Трофимук, А.А. Баженовская свита - уникальный природный резервуар нефти / А.А. Трофимук, Ю.Н. Карогодин // Геология нефти и газа. – 1981. – № 4. – С.29-33.
157. Успенский, В.А. К разработке генетической классификации рассеянного органического вещества / В.А. Успенский, Ф.Б. Инденбом, А.С. Чернышева, В.Н. Сенникова // Вопросы образования нефти. Л.: Гостоптехиздат, 1958. Тр. ВНИГРИ. – Вып. 128. – С. 221-362.
158. Успенский, В.А. Формирование основных типов ископаемого органического вещества и их эволюция на последовательных этапах литогенеза / В.А. Успенский, С.Г. Неручев, О.А. Радченко, Е.А. Рогозина, Г.М. Парпарова, Т.Э. Баранова, Е.А. Глебовская, А.И. Горская, И.А. Зеличенко, А.И. Шапиро, И.А. Шакс, Е.А. Файзуллина // Природа ОВ современных и ископаемых осадков. – М.: Наука, 1973. – С. 68-78.
159. Ушатинский, И.Н. Литология и перспективы нефтеносности юрско-неокомских битуминозных отложений Западной Сибири / И.Н. Ушатинский // Советская геология. – 1981. – № 2. – С. 11-22.
160. Ушатинский, И.Н. Основные литотипы и петрофизические свойства пород баженовской свиты. Петрофизическое обеспечение подсчета запасов нефти и газа / И.Н. Ушатинский / Под ред. А.Я. Малыхина. – Тюмень, ЗапСибНИГНИ, 1989. – С. 43-51.
161. Филина, С.И. Палеогеография и нефтеносность баженовской свиты Западной Сибири / С.И. Филина, М.В. Корж, М.С. Зонн. – М.: Наука, 1984. – 36 с.
162. Фомин, А.Н. Диагностика стадий катагенеза по отражательной способности псевдовитринита / А.Н. Фомин // Методы исследования природных органических веществ / Под ред. А.А. Трофимука. – Новосибирск: Наука, 1985. – С. 32-37.

163. Фомин, А.Н. Катагенез органического вещества и перспективы нефтегазоносности юрских, триасовых и палеозойских отложений Западно-Сибирского мегабассейна / А.Н. Фомин, А.Э. Конторович, В.О. Красавчиков // Геология и геофизика. – 2001. – Т. 42. – № 11-12. – С. 1875-1887.
164. Фомин, А.Н. Катагенез органического вещества и нефтегазоносность мезозойских и палеозойских отложений Западно-Сибирского мегабассейна / А.Н. Фомин; Научн. ред. Академик А.Э. Конторович / Рос. Акад. Наук, Сиб. Новосибирск: ИНГГ СО РАН, 2011. – 331 с.
165. Хабаров, В.В. Уран, калий и торий в битуминозных породах баженовской свиты Западной Сибири / В.В. Хабаров, О.М. Нелепченко, Е.Н. Волков, О.В. Барташевич / Советская геология. – М., Недра, 1980. – С. 94-105.
166. Хабаров, В.В. Выделение и литостратиграфическое расчленение битуминозных пород в разрезах Западной Сибири / В.В. Хабаров, Т.В. Первухина / Литология разрезов Западной Сибири по геофизическим исследованиям. – Тюмень, 1989. – С. 82-89.
167. Шурыгин, Б.Н. Стратиграфия нефтегазоносных бассейнов Сибири. Юрская система / Б.Н. Шурыгин, Б.Л. Никитенко, В.П. Девятов, В.И. Ильина, С.В. Меледина, Е.А. Гайдебурова, О.С. Дзюба, А.М. Казаков, Н.К. Могучева // Новосибирск: Изд-во СО РАН, филиал "Гео", 2000. – 480 с.
168. Шурыгин, Б.Н., Граница юры и мела на севере Сибири и бореально-тетическая корреляция приграничных толщ / Б.Н. Шурыгин, О.С. Дзюба // Геология и геофизика. – 2015. – Т. 56. – № 4. – С. 830-833.
169. Черников, К.А. К вопросу о выделении нефтематеринских пород в разрезе мезозоя Западно-Сибирской низменности / К.А. Черников, Н.П. Запивалов // Вестник Зап. Сиб. и Новосибирского геол. управления. – Томск: ТГУ, 1958. – № 2. – С. 12-25.
170. Эдер, В.Г. Некоторые типы разрезов верхнеюрских баженовской и георгиевской свит Обь-Иртышского междуречья / В.Г. Эдер // Геология и геофизика. – 2006. – Т. 46, – № 6. – С. 746-754.

171. Эдер, В.Г. Литолого-geoхимические и геофизические особенности приграничных толщ баженовского и куломзинского горизонтов (основание нижнего мела) центральных районов Западной Сибири / В.Г. Эдер, С.В. Рыжкова, Е.А. Костырева, М.А. Павлова, И.С. Сотнич, А.Г. Замирайлова, Е.В. Пономарева // Геология и геофизика – 2020. – Т. 61. – № 7. – С. 943-961.
172. Bordenave M.L. Applied petroleum geochemistry // Paris: Ed. Technip, 1993. – XI. – 524 p.
173. Espitalie, J. Role of mineral matrix in kerogen pyrolysis: influence on petroleum generation and migration / J. Espitalie, M. Madec, B. Tissot // The american association of petroleum geologists bulletin. – 1980. – V. 64. – № 3. – P. 59-66.
174. Issler, D.R. Organic carbon content determined from well logs: examples from Cretaceous sediments of western Canada / Issler D.R., Hu K., Bloch J.D., Katsebe T.J. // GSC Open File 4362. 2002. Available at: [http://geogratis.gc.ca/api/en/nrcan\\_rncan/ess-sst/d9a3707d-03aa-542e-974e-0e45aa19e964.html](http://geogratis.gc.ca/api/en/nrcan_rncan/ess-sst/d9a3707d-03aa-542e-974e-0e45aa19e964.html) (accessed 01 February 2014).
175. Peters, K.E. Guidelines for evaluation petroleum source rock using programmed pyrolysis / K.E. Peters // The American association of petroleum geologists. – 1986. – V. 70. – № 3. – P. 318-329.
176. Peters, K.E. Multiple Oil Families in the West Siberian Basin / K.E. Peters, A.E. Kontorovich, J.M. Moldovan, et al //American Association of Petroleum Geologists Bulletin. – 1994. – V.78. – P. 893-899.
177. Passey, Q.R. A Practical Model for Organic Richness from Porosity and Resistivity Logs. / Q.R. Passey, S. Creaney, J.B. Kulla // The AAPG Bulletin, 1990. V. 74, – № 17. – P. 1777-1794.
178. Tissot, B.P. Petroleum Formation and Occurrence / B.P. Tissot, D.H. Welte // Springer-Verlag, Berlin, Heidelberg, New York, Tokyo 1984. – 699 p.

## ФОНДОВЫЕ РАБОТЫ

1. Геологическая модель, литолого-geoхимические и геолого-геофизические критерии прогноза нефтеносности, обоснование типа коллектора, бассейновое

моделирование генерации, количественная оценка начальных геологических ресурсов нефти в баженовской свите Западно-Сибирской НГП. Заключительный отчет по Договору подряда № 7/14 от 26 февраля 2014 г. / ФГУП «ВНИГНИ», ФГБУН ИНГГ СО РАН / Научный руководитель А.Э. Конторович; отв. исполнитель: к.г.-м.н. С.В. Рыжкова. – Новосибирск, 2016. – В 3-х книгах и 1 папке (50 графических приложений/50 л.).

## СПИСОК РИСУНКОВ

Рисунок 1.1 – Фациально-стратиграфическое районирование отложений баженовского горизонта Западно-Сибирского осадочного бассейна [Рыжкова и др., 2018] со схемой расположения залежей нефти в пласте Ю<sub>0</sub> и горизонтах берриас-апта.

Рисунок 1.2 – Свиты, выделяемые в составе келловея и верхней юры Западно-Сибирского осадочного бассейна [Рыжкова и др., 2018].

Рисунок 1.3 – Структурная карта по кровле юрского комплекса Западно-Сибирской геосинеклизы [Конторович и др., 2001].

Рисунок 1.4 – Карта тектонического районирования кровли юрского комплекса Западно-Сибирской геосинеклизы [Конторович и др., 2001].

Рисунок 1.5 – Палеогеографическая карта. Волжский век [Конторович и др., 2019].

Рисунок 1.6 – Карта толщин баженовского горизонта [Рыжкова и др., 2018].

Рисунок 1.7 – Карта массы минеральных компонентов в осадках (безводных) баженовского горизонта на конец диагенеза, тыс. т/км<sup>2</sup> [Конторович и др., 2019].

Рисунок 1.8 – Интенсивность генерации углеводородных газов и битумоидов и эмиграции битумоидов ОВ баженовской свиты [Неручев, Рогозина, 2010].

Рисунок 1.9 – Схематическая карта катагенеза органического вещества в кровле юрского комплекса Западно-Сибирского мегабассейна [Конторович и др., 2009, с изменениями автора].

Рисунок 1.10 – Карта пластовых температур верхней части баженовского горизонта [Геологическая..., 2014-2016ф].

Рисунок 1.11 – Карта районирования Западно-Сибирского осадочного бассейна по величине геотермического градиента [Геологическая..., 2014-2016ф].

Рисунок 2.1. – Схема исследования рассеянного органического вещества в ИНГГ СО РАН [Борисова и др., 2011].

Рисунок 2.2 – Схема экспресс-анализатора АН-7529 для определения  $C_{\text{опг}}$  [Конторович, 1973].

Рисунок 2.3 – Карта со скважинами с аналитическими определениями  $C_{\text{опг}}$  и с построенными корреляционными зависимостями «керн – ГИС».

Рисунок 2.4 – Районирование территории Западно-Сибирского осадочного бассейна по методике построения карт содержания  $C_{\text{опг}}$  в породах баженовского горизонта.

Рисунок 2.5 – Изменение содержаний  $C_{\text{опг}}$  в разрезе баженовской свиты в скв. Горшковская 1017.

Рисунок 2.6 – Диаграмма зависимости «керн – ГИС» содержания  $C_{\text{опг}}$  от значений  $\text{Y}$ -активности пород баженовской свиты по данным ГИС в скв. Горшковская 1017

Рисунок 2.7 – Изменение содержаний  $C_{\text{опг}}$  в разрезе баженовской свиты в скв. Салымская 2802.

Рисунок 2.8 – Диаграмма зависимости «керн – ГИС» содержания  $C_{\text{опг}}$  от значений  $\text{Y}$ -активности пород баженовской свиты по данным ГИС в скв. Салымская 2802.

Рисунок 2.9 – Изменение содержаний  $C_{\text{опг}}$  в разрезе баженовской свиты в скв. Малобалыкская 901.

Рисунок 2.10 – Диаграмма зависимости «керн – ГИС» содержания  $C_{\text{опг}}$  от значений  $\text{Y}$ -активности пород баженовской свиты по данным ГИС в скв. Малобалыкская 901.

Рисунок 2.11 – Диаграмма зависимости «керн – ГИС» содержания  $C_{\text{опг}}$  от значений  $\text{Y}$ -активности пород баженовской свиты по данным ГИС в скв. Чупальская 67.

Рисунок 2.12 – Изменение содержаний  $C_{\text{опг}}$  в разрезе баженовской свиты в скв. Чупальская 67.

Рисунок 2.13 – Изменение содержаний  $C_{\text{опг}}$  в разрезе баженовской свиты в скв. Эниторская 971.

Рисунок 2.14 – Диаграмма зависимости «керн – ГИС» содержания  $C_{\text{опг}}$  от значений  $\text{Y}$ -активности пород баженовской свиты по данным ГИС в скв. Эниторская 971.

Рисунок 2.15 – Изменение содержаний  $C_{\text{опр}}$  в разрезе баженовской свиты в скв. Столбовая 84.

Рисунок 2.16 – Диаграмма зависимости «керн – ГИС» содержания  $C_{\text{опр}}$  от значений  $\text{V}$ -активности пород баженовской свиты по данным ГИС в скв. Столбовая 84.

Рисунок 2.17 – Изменение содержаний  $C_{\text{опр}}$  в разрезе баженовской свиты в скв. Толпаровская 2.

Рисунок 2.18 – Диаграмма зависимости «керн – ГИС» содержания  $C_{\text{опр}}$  от значений  $\text{V}$ -активности пород баженовской свиты по данным ГИС в скв. Толпаровская 2.

Рисунок 2.19 – Изменение содержаний  $C_{\text{опр}}$  в разрезе баженовской свиты в скв. Западно-Квензерская 4.

Рисунок 2.20 – Диаграмма зависимости «керн – ГИС» содержания  $C_{\text{опр}}$  от значений  $\text{V}$ -активности пород баженовской свиты по данным ГИС в скв. Западно-Квензерская 4.

Рисунок 2.21 – Изменение содержаний  $C_{\text{опр}}$  в разрезе баженовской свиты в скв. Среднеюлжавская 10.

Рисунок 2.22 – Диаграмма зависимости «керн – ГИС» содержания  $C_{\text{опр}}$  от значений  $\text{V}$ -активности пород баженовской свиты по данным ГИС в скв. Среднеюлжавская 10.

Рисунок 2.23 – Изменение содержаний  $C_{\text{опр}}$  в разрезе баженовской свиты в скв. Ракитинская 4.

Рисунок 2.24 – Диаграмма зависимости «керн – ГИС» содержания  $C_{\text{опр}}$  от значений  $\text{V}$ -активности пород баженовской свиты по данным ГИС в скв. Ракитинская 4.

Рисунок 2.25 – Изменение содержаний  $C_{\text{опр}}$  в разрезе баженовской свиты в скв. Боровая 8.

Рисунок 2.26 – Диаграмма зависимости «керн – ГИС» содержания  $C_{\text{опр}}$  от значений  $\text{V}$ -активности в скв. Боровая 8.

Рисунок 2.27 – Изученность территории исследования керном.

Рисунок 2.28 – Изученность территории исследования керном и ГИС.

Рисунок 3.1 – Распределение концентраций  $C_{\text{опг}}$  в баженовском горизонте.

Рисунок 3.2 – Распределение концентраций  $C_{\text{опг}}$  в баженовской свите.

Рисунок 3.3 – Распределение концентраций  $C_{\text{опг}}$  в нижнетутлеймской подсвите.

Рисунок 3.4 – Распределение концентраций  $C_{\text{опг}}$  в нижней подсвите мулымьинской свиты.

Рисунок 3.5 – Распределение концентраций  $C_{\text{опг}}$  в марьяновской свите (верхняя часть).

Рисунок 3.6 – Распределение концентраций  $C_{\text{опг}}$  в верхнеданиловской подсвите.

Рисунок 3.7 – Распределение концентраций  $C_{\text{опг}}$  в максимоярской свите (верхняя часть).

Рисунок 3.8 – Распределение концентраций  $C_{\text{опг}}$  в баганской свите (верхняя часть).

Рисунок 3.9 – Распределение концентраций  $C_{\text{опг}}$  в гольчихинской свите (верхняя часть).

Рисунок 3.10 – Распределение концентраций  $C_{\text{опг}}$  в яновстанской свите (верхняя часть).

Рисунок 3.11 – Средние значения  $C_{\text{опг}}$  в свитах баженовского горизонта.

Рисунок 3.12 – Распределение концентраций  $C_{\text{опг}}$  в породах волжско-раннеберриасского возраста в центральных районах Западно-Сибирского осадочного бассейна.

Рисунок 3.13 – Распределение концентраций  $C_{\text{опг}}$  в породах волжско-раннеберриасского возраста в западных, юго-западных, южных и юго-восточных районах Западно-Сибирского осадочного бассейна.

Рисунок 3.14 – Распределение концентраций  $C_{\text{опг}}$  в породах волжско-раннеберриасского возраста в восточных и северо-восточных районах Западно-Сибирского осадочного бассейна.

Рисунок 3.15 – Карта средних концентраций органического углерода в породах баженовского горизонта на территории Западной Сибири, в %.

Рисунок 3.16 – Карта современных содержаний органического вещества в породах баженовского горизонта, в % на породу [Геологическая..., 2014-2016ф].

Рисунок 3.17 – Карта содержаний органического вещества на начало катагенеза в породах баженовского горизонта, в % на породу [Геологическая..., 2014-2016ф].

Рисунок 3.18 – Карта толщин пород баженовского горизонта с современным содержанием органического углерода менее 5 %.

Рисунок 3.19 – Карта толщин пород баженовского горизонта с современным содержанием органического углерода 5-7 %.

Рисунок 3.20 – Карта толщин пород баженовского горизонта с современным содержанием органического углерода 7-10 %.

Рисунок 3.21 – Карта толщин пород баженовского горизонта с современным содержанием органического углерода более 10 %.

Рисунок 3.22 – Карта средних концентраций органического углерода в породах нижней части разреза баженовского горизонта центральных и южных районов Западно-Сибирского бассейна, в %.

Рисунок 3.23 – Карта средних концентраций органического углерода в породах средней части разреза баженовского горизонта центральных и южных районов Западно-Сибирского бассейна, в %.

Рисунок 3.24 – Карта средних концентраций органического углерода в породах верхней части разреза баженовского горизонта центральных и южных районов Западно-Сибирского бассейна, в %.

## СПИСОК ТАБЛИЦ

Таблица 1.1 – Классификация тектонических элементов мезозойско-кайнозойских платформенных отложений Западно-Сибирской геосинеклизы [по В.Д. Наливкину (1963 г.) с уточнениями В.А. Конторовича и др., 2001].

Таблица 1.2 – Обозначения градаций катагенеза, применяемые российскими исследователями (по [Неручев и др., 1976], [Конторович, 1976]).

Таблица 1.3 – Выход продуктов катагенетических преобразований аквагенного керогена по данным Л.М. Бурштейна, А.Э. Конторовича [Геологическая..., 2014-2016ф].

Таблица 2.1 – Сводные показатели зависимости  $C_{опг} = a \cdot \gamma + b$  «керн – ГИС» в эталонных скважинах.

Таблица 2.2 – Значения содержаний  $C_{опг}$  в породах баженовской свиты по аналитическим данным и зависимости «керн – ГИС» в скв. Горшковская 1017.

Таблица 2.3 – Значения содержаний  $C_{опг}$  в породах баженовской свиты по аналитическим данным и зависимости «керн – ГИС» в скв. Салымская 2802.

Таблица 2.4 – Значения содержаний  $C_{опг}$  в породах баженовской свиты по аналитическим данным и зависимости «керн – ГИС» в скв. Малобалыкская 901.

Таблица 2.5 – Значения содержаний  $C_{опг}$  в породах баженовской свиты по аналитическим данным и зависимости «керн – ГИС» в скв. Чупальская 67.

Таблица 2.6 – Значения содержаний  $C_{опг}$  в породах баженовской свиты по аналитическим данным и зависимости «керн – ГИС» в скв. Эниторская 971.

Таблица 2.7 – Значения содержаний  $C_{опг}$  в породах баженовской свиты по аналитическим данным и зависимости «керн – ГИС» в скв. Столбовая 84.

Таблица 2.8 – Значения содержаний  $C_{опг}$  в породах баженовской свиты по аналитическим данным и зависимости «керн – ГИС» в скв. Толпаровская 2.

Таблица 2.9 – Значения содержаний  $C_{опг}$  в породах баженовской свиты по аналитическим данным и зависимости «керн – ГИС» в скв. Западно-Квензерская 4.

Таблица. 2.10 – Значения содержаний  $C_{\text{опр}}$  в породах баженовской свиты по аналитическим данным и зависимости «керн – ГИС» в скв. Среднеюльжавская 10.

Таблица. 2.11 – Значения содержаний  $C_{\text{опр}}$  в породах баженовской свиты по аналитическим данным и зависимости «керн – ГИС» в скв. Ракитинская 4.

Таблица. 2.12. Значения содержаний  $C_{\text{опр}}$  в породах баженовской свиты по аналитическим данным и зависимости «керн – ГИС» в скв. Боровая 8.

Таблица 2.13 – Количество аналитических определений содержания органического углерода в породах баженовского горизонта.

Таблица 2.14 – Количество измерений содержания органического углерода в породах баженовского горизонта по зависимостям «керн – ГИС» (ИНГГ СО РАН).

Таблица 3.1 – Распределение современных средних, максимальных и модальных концентраций  $C_{\text{опр}}$  по свитам баженовского горизонта.

Таблица. 3.2 – Современное содержание органического углерода в породах свит баженовского горизонта.

Таблица 3.3 – Средние содержания органического углерода и органического вещества в породах баженовского горизонта (верхняя волга – нижний берриас) Западно-Сибирского бассейна (площади и оценки – без акватории Карского моря).

Таблица 3.4 – Изменение средних содержаний органического углерода по разрезу в породах баженовской и тутлеймской свит (баженовский горизонт) в центральных и южных районах Западно-Сибирского бассейна.